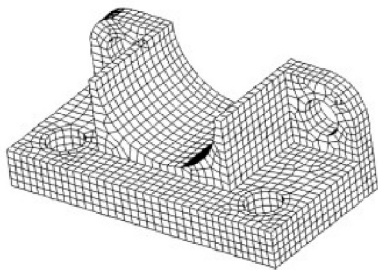


21世纪全国应用型本科 土木建筑 系列实用规划教材

# 有限单元法

【第2版】

主 编◎丁 科 殷水平



- 增加对空间体单元的介绍
- 采用C/C++语言编写计算函数
- 融入最新实例及操作性较强的案例



北京大学出版社  
PEKING UNIVERSITY PRESS

## 说 明

本书版权属于北京大学出版社有限公司。版权所有，侵权必究。

本书电子版仅提供给高校任课教师使用，如有任课教师需要全本教材浏览或需要本书课件等相关教学资料，请联系北京大学出版社客服，微信手机同号：15600139606，扫下面二维码可直接联系。

由于教材版权所限，仅限任课教师索取，谢谢！





21 世纪全国应用型本科土木建筑系列实用规划教材

# 有限单元法(第 2 版)

主 编 丁 科 殷水平



北京大学出版社  
PEKING UNIVERSITY PRESS

## 内 容 简 介

本书主要介绍了有限单元法的基本理论和方法。全书按照由浅入深、由简单到复杂的原则,介绍了连续体结构、杆系结构、薄板弯曲问题、动力学问题的有限单元法,并对有限元分析中的一些问题,如形函数构造的几何方法、有限元分析结果的精度、不同单元的组合、约束条件的处理等问题进行了介绍。书中附有适当的计算函数(用 C/C++ 语言编写),以便读者学习时编写计算程序。此外,为了便于对相关知识的回顾与应用,书后附录还介绍了弹性力学的基本知识以及线性方程组的求解方法。

本书可以作为土木、水利、机械、力学等专业本科学生学习有限单元法的教材,也可作为相关专业研究生和科技工作者的参考资料。

### 图书在版编目(CIP)数据

有限单元法/丁科,殷水平主编. —2 版. —北京:北京大学出版社,2012.5

(21 世纪全国应用型本科土木建筑系列实用规划教材)

ISBN 978-7-301-20591-4

I. ①有… II. ①丁…②殷… III. ①有限单元法—高等学校—教材 IV. ①O241.82

中国版本图书馆 CIP 数据核字(2012)第 083058 号

书 名:有限单元法(第 2 版)

著作责任者:丁 科 殷水平 主 编

策 划 编 辑:吴 迪 卢 东

责 任 编 辑:伍大维

标 准 书 号:ISBN 978-7-301-20591-4/TU·0233

出 版 者:北京大学出版社

地 址:北京市海淀区成府路 205 号 100871

网 址:<http://www.pup.cn> <http://www.pup6.cn>

电 话:邮购部 62752015 发行部 62750672 编辑部 62750667 出版部 62754962

电 子 邮 箱:[pup\\_6@163.com](mailto:pup_6@163.com)

印 刷 者:

发 行 者:北京大学出版社

经 销 者:新华书店

787 毫米×1092 毫米 16 开本 15.5 印张 359 千字

2006 年 1 月第 1 版

2012 年 5 月第 2 版 2012 年 5 月第 1 次印刷(总第 3 次印刷)

定 价:30.00 元

未经许可,不得以任何方式复制或抄袭本书之部分或全部内容。

版权所有,侵权必究

举报电话:010-62752024

电子邮箱:[fd@pup.pku.edu.cn](mailto:fd@pup.pku.edu.cn)



## 第 2 版前言

本书自 2006 年出版以来,经有关院校教学使用,反映良好。考虑到目前 C/C++ 语言在高校较普及的情况,本书用 C/C++ 语言编写了有关计算函数,与理论知识的介绍紧密结合,使学生在掌握基本理论的前提下,通过实际应用加深对理论的理解。

这次修订主要做了以下工作:

(1) 在内容体系上进行了重新组织,将弹性力学平面问题、空间轴对称问题、等参单元合并为一章,并增加了空间体单元的介绍;

(2) 增加了有限元分析中一些特殊问题的介绍,包括形函数几何构造法、有限元分析结果的精度、不同单元的组合、约束条件的处理;

(3) 用 C/C++ 语言编写了有关计算函数;

(4) 对全书的框架进行了全新的编排,增加了基本概念、引例和本章小结。

经修订,本书具有以下特点:

(1) 编写体例新颖。借鉴优秀教材特点的写作思路、写作方法以及章节安排,编排新颖活泼、图文并茂、深入浅出,适合当代大学生使用。

(2) 注重与相关课程的关联融合。明确知识点的重点和难点以及与其他课程的关联性,做到新旧知识内容的融合和综合运用。

(3) 注重知识拓展应用可行。强调锻炼学生的思维能力以及运用概念解决问题的能力。在编写过程中有机地融入最新的实例以及操作性较强的案例,并对实例进行有效的分析,以应用实例或生活类比案例来引出全章的知识点,从而提高教材的可读性和实用性。在提高学生学习和效果的同时,培养学生的职业意识和职业能力。

(4) 注重知识体系实用有效。以学生就业所需的专业知识和操作技能为着眼点,在适度的基础知识与理论体系覆盖下,着重讲解应用型人才培养所需的内容和关键点,知识点讲解顺序与实际设计程序一致,突出实用性和可操作性,使学生学而有用,学而能用。

本书由中南林业科技大学丁科、殷水平修订,其中丁科修订第 1 章、第 2 章、第 4 章、第 6 章、附录 A 和附录 B;殷水平修订第 3 章、第 5 章。

由于编者水平有限,对于本书存在的不足和疏漏之处,欢迎读者批评指正。对使用本书、关注本书以及提出修改意见的同行们表示深深的感谢。

编 者

2012 年 1 月

# 第 1 版前言

有限元方法作为一种数值计算方法已经在土木、机械、航空航天、热传导、电磁场、原子工程、生物医学工程等众多学科领域得到了广泛应用，成为人们进行科学研究、工程计算、工程设计等的重要手段。

本书可以作为土木、水利、机械等工科专业本科学生学习有限元方法的教材。本书依次介绍了杆系结构、平面问题、空间轴对称问题、平板弯曲问题、结构振动问题的有限元方法。在编写时力求概念清晰、简明扼要、系统性强，遵循由简单到复杂、由浅入深的原则。

本书第 1 章主要介绍有限单元法的概念，利用有限单元法分析问题的基本思想，有限单元法的历史发展过程和发展趋势，有限单元法在实践工作中的应用，并对目前常用的有限单元分析软件进行简单的介绍。

本书第 2 章以杆系结构为例，介绍了有限单元法的分析步骤。主要分析单元刚度矩阵的建立方法，局部坐标系下的单元矩阵转换为整体坐标系下单元矩阵的方法，如何由单元刚度矩阵集成整体刚度矩阵，等效结点荷载的求取方法，如何用计算机实现对平面结构的有限单元分析。

本书第 3 章结合平面三角形单元和矩形单元这两种基本单元对弹性力学平面问题的有限元方法进行了介绍。从位移场的选取、单元刚度矩阵的建立、等效结点荷载的计算、整体分析等方面详细介绍了有限元方法的分析过程。同时，对平面问题的程序设计方法进行了介绍，对程序结构进行了分析。

本书第 4 章简单介绍了运用三角形单元对空间轴对称问题进行有限元分析的方法和过程，包括位移函数的选取、单元刚度矩阵的建立等。

本书第 5 章介绍了平面等参单元和空间轴对称等参单元。

本书第 6 章就平板弯曲问题的有限元分析进行了介绍。分别运用三角形单元、矩形单元、八结点四边形等参单元等单元划分形式对平板弯曲问题进行介绍，包括位移模式、单元分析、整体分析、等效结点荷载计算等方面。

本书第 7 章是介绍结构的振动问题，包括结构振动方程的建立、结构振动的特性与应用、结构动力响应的有限元分析等。

为了便于学生对以往知识的回顾与应用，本书最后还介绍了矩阵的基本知识、线性方程组的计算方法以及弹性理论的有关知识。

根据教学实践的需要，全部讲授本书大约需要 60 学时(包括约 16 学时的上机实验)。各学校可以根据自己的实际情况和结合各专业的特点讲授其中的部分内容。

由于编者水平有限，书中缺点、错误在所难免，恳切期望读者予以批评指正，在此深表感谢！

编 者

2006 年 1 月

# 目 录

## 第 1 章 绪论 ..... 1

1.1 概述 .....	2
1.2 有限单元法的发展 .....	3
1.3 有限单元法的分析过程及应用 .....	4
1.3.1 有限单元法的特性 .....	5
1.3.2 有限单元法的分析过程 .....	5
1.3.3 有限单元法的应用 .....	6
1.4 常用工程应用软件简介 .....	7
本章小结 .....	10
习题 .....	10

## 第 2 章 连续体结构的有限单元法 ..... 11

2.1 概述 .....	12
2.1.1 有限单元法的分析步骤 .....	12
2.1.2 位移函数的要求 .....	14
2.2 平面 3 结点三角形单元 .....	15
2.2.1 单元位移函数 .....	15
2.2.2 单元应变场 .....	17
2.2.3 单元应力场 .....	17
2.2.4 单元刚度矩阵 .....	18
2.2.5 单元刚度矩阵的性质 .....	19
2.2.6 等效结点荷载的计算 .....	20
2.2.7 单元分析的有关计算函数 .....	21
2.2.8 整体分析 .....	27
2.2.9 约束条件的处理 .....	32
2.2.10 实例计算 .....	34
2.3 平面 4 结点矩形单元 .....	36
2.3.1 单元位移函数 .....	37
2.3.2 单元应变场 .....	38
2.3.3 单元应力场 .....	38
2.3.4 单元刚度矩阵 .....	39
2.4 平面 6 结点三角形单元 .....	40

2.4.1 面积坐标 .....	40
2.4.2 面积坐标下的位移函数 .....	41
2.4.3 单元应变场 .....	42
2.4.4 单元应力场 .....	44
2.4.5 单元刚度矩阵 .....	44
2.5 轴对称问题有限元分析 .....	45
2.5.1 环形 3 结点三角形单元 .....	45
2.5.2 环形 4 结点矩形单元 .....	50
2.6 空间 4 结点四面体单元 .....	51
2.6.1 单元位移函数 .....	52
2.6.2 单元应变场和应力场 .....	53
2.6.3 单元刚度矩阵 .....	54
2.6.4 等效结点荷载计算 .....	55
2.7 空间 8 结点正六面体单元 .....	55
2.7.1 单元位移函数 .....	56
2.7.2 单元应变场和应力场 .....	56
2.7.3 单元刚度矩阵 .....	57
2.8 其他高阶单元 .....	58
2.8.1 高阶平面单元 .....	58
2.8.2 高阶四面体单元 .....	59
2.8.3 高阶六面体单元 .....	61
2.9 等参单元与数值积分 .....	62
2.9.1 等参变换 .....	63
2.9.2 平面 4 结点四边形等参单元 .....	68
2.9.3 平面 8 结点四边形等参单元 .....	78
2.9.4 空间轴对称等参单元 .....	79
2.9.5 数值积分 .....	81
本章小结 .....	87
习题 .....	88

## 第 3 章 杆系结构的有限单元法 ..... 92

3.1 概述 .....	93
--------------	----



3.1.1 结构离散化 .....	93	4.2.3 单元刚度方程 .....	157
3.1.2 杆系结构有限单元法的 基本步骤 .....	94	4.2.4 等效结点荷载 .....	159
3.1.3 力和位移的正负号规定 .....	96	4.3 矩形薄板单元 .....	160
3.2 局部坐标系下的单元分析 .....	97	4.3.1 单元位移函数 .....	160
3.2.1 拉(压)杆单元 .....	97	4.3.2 应力分析 .....	163
3.2.2 扭转杆单元 .....	99	4.3.3 单元刚度矩阵 .....	165
3.2.3 仅考虑弯曲的杆单元 .....	100	4.3.4 等效结点荷载的计算 .....	166
3.2.4 平面一般杆件单元 .....	102	4.3.5 实例分析 .....	166
3.2.5 空间杆件单元 .....	104	4.4 8 结点四边形薄板等参单元 .....	167
3.2.6 单元刚度矩阵的性质 .....	108	4.4.1 Hencky 理论 .....	168
3.3 整体分析 .....	109	4.4.2 8 结点 Hencky 板单元的 位移函数 .....	168
3.3.1 平面问题坐标变换 矩阵 .....	110	4.4.3 单元刚度矩阵 .....	170
3.3.2 空间问题坐标变换 矩阵 .....	113	本章小结 .....	172
3.3.3 杆系结构的整体分析 .....	117	习题 .....	172
3.4 等效结点荷载和边界条件 .....	123	<b>第5章 动力学问题的有限单元法</b> .....	174
3.4.1 非结点荷载的处理 .....	123	5.1 概述 .....	175
3.4.2 等效结点荷载 .....	128	5.2 动力学问题的基本方程 .....	175
3.4.3 边界条件的处理 .....	128	5.3 质量矩阵与阻尼矩阵 .....	180
3.5 应用实例 .....	130	5.3.1 局部坐标系下的单元 质量矩阵 .....	180
3.6 有限元程序设计方法 .....	139	5.3.2 总体质量矩阵 .....	183
3.6.1 结构化与模块化程序设计 方法 .....	139	5.3.3 阻尼矩阵 .....	184
3.6.2 杆系结构基本处理 模块 .....	141	5.4 运动方程的简化 .....	184
本章小结 .....	142	5.5 结构动力响应 .....	186
习题 .....	143	5.5.1 特征值问题 .....	186
<b>第4章 薄板弯曲问题的有限单元法</b> .....	147	5.5.2 特征值与振型的性质 .....	187
4.1 薄板弯曲基本方程 .....	148	5.6 动力问题求解 .....	189
4.1.1 基本假设 .....	149	5.6.1 振型叠加法 .....	189
4.1.2 几何方程 .....	149	5.6.2 逐步积分法 .....	191
4.1.3 物理方程 .....	150	5.7 动力分析实例 .....	194
4.2 三角形薄板单元 .....	153	本章小结 .....	200
4.2.1 直角坐标系下的单元位移 函数 .....	154	习题 .....	200
4.2.2 面积坐标下的单元位移 函数 .....	155	<b>第6章 有限单元法分析的几个问题</b> .....	203
		6.1 构造 $C_0$ 类单元形函数的 几何法 .....	204
		6.2 有限单元法分析结果的精度 .....	208

6.2.1 求解精度的估计 .....	209	A.2 能量原理 .....	223
6.2.2 分析结果的性质 .....	209	<b>附录 B 线性方程组的求解</b> .....	225
6.2.3 共用结点上应力的 处理 .....	211	B.1 Gauss(高斯)消元法 .....	225
6.2.4 提高精度的方法 .....	212	B.2 Gauss - Jordan(高斯—约当) 消元法 .....	229
6.3 不同单元的组合 .....	213	B.3 雅可比(Jacobi)迭代法 .....	232
6.4 约束方式的模拟 .....	216	B.4 共轭梯度法 .....	234
本章小结 .....	220	<b>参考文献</b> .....	237
习题 .....	220		
<b>附录 A 弹性力学基本知识</b> .....	221		
A.1 基本方程 .....	221		

北京大学出版社版权所有  
禁止转载



# 第 1 章

## 绪 论

### 教学目标

本章主要讲述有限单元法分析问题的基本思想，有限单元法的发展过程和发展趋势，有限单元法的基本分析过程及其应用。通过本章的学习，应达到以下目标。

- (1) 了解有限单元法的基本思想、有限单元法的历史发展过程和发展趋势。
- (2) 熟悉有限单元法的应用领域。
- (3) 掌握有限单元法分析问题的基本过程。

### 教学要求

知识要点	能力要求	相关知识
基本思想	(1) 理解有限单元法的基本思想 (2) 了解有限单元法的发展过程和发展趋势 (3) 了解有限单元法的特点	(1) 有限单元法的实质和基本思想 (2) 有限单元法的发展历史和发展趋势 (3) 有限单元法的特点
应用领域	(1) 了解常用的有限单元法分析软件 (2) 熟悉有限单元法的应用领域	(1) 静力平衡问题 (2) 结构的固有频率和振型 (3) 动态响应分析
基本分析过程	掌握有限单元法分析问题的基本过程	(1) 结构物的离散 (2) 单元分析 (3) 整体分析 (4) 求解与结果分析



### 基本概念

有限单元法、结点、单元、离散、单元分析。



### 引例

在工程技术领域中,许多问题尽管可以得到其基本方程和边界条件,但仍得不到解析解。于是在一定的假设条件下,将复杂问题简单化,求得问题在简化状态下的近似解,这种近似解往往导致误差过大甚至是错误的结论。此外,还存在许多无法得到其控制方程和边界条件的问题,如汽车碰撞问题等。这样,需要运用数值计算方法来进行分析,有限单元法是目前应用最为广泛的一种数值计算方法。

如1990年10月,美国波音公司开始在计算机上对新型客机B-777进行无纸化设计,仅用三年多的时间,于1994年4月成功试飞第一架B-777飞机。在B-777的结构设计和评判过程中,大量采用了有限单元法这一重要手段,其设计过程中起到了极为关键的作用。

## 1.1 概述

有限单元法(Finite Element Method, FEM)是力学、数学物理学、计算方法、计算机技术等多种学科综合发展和结合的产物。在人类研究自然界的三大科学研究方法(理论分析、科学实验、科学计算)中,对大多数新型领域来说,由于科学理论和科学实验的局限性,科学计算成为一种重要的研究手段。在大多数工程研究领域,有限单元法是进行科学计算的极为重要的方法之一。利用有限单元法几乎可以对任意复杂的工程结构进行分析,获取结构的各种机械性能信息,对工程结构进行评判,对工程事故进行分析。

人们对各种力学问题进行分析、求解,其方法归结起来可以分为解析法(Analytical Method)和数值法(Numeric Method)。如果给定一个问题,通过一定的推导可以用具体的表达式来获得问题的解答,这样的求解方法就称为解析法。但由于实际结构物的复杂性,除了少数非常简单的问题外,绝大多数科学研究和工程计算问题用解析法求解是非常困难的。因此,数值法求解已成为一种不可替代的广泛应用的方法,并得到了不断发展。

目前,在工程技术领域常用的数值计算方法有:有限单元法、有限差分法、边界元法、离散单元法等。其中,有限单元法应用最为广泛,在工程计算领域得到了广泛的应用。有限单元法是20世纪中期伴随着计算机技术的发展而迅速发展起来的一种数值分析方法,它数学逻辑严谨,物理概念清晰,应用非常广泛,能灵活处理和求解各种复杂问题,它采用矩阵形式表达基本公式,便于计算机编程,这些优点赋予了它强大的生命力。

有限单元法的实质是将复杂的连续体划分为有限多个简单的单元体(图1.1),化无限自由度问题为有限自由度问题,将连续场函数的(偏)微分方程的求解问题转化成有限个参

数的代数方程组的求解问题。用有限单元法分析工程结构问题时,将一个理想体离散化后,如何保证其数值解的收敛性和稳定性是有限元理论讨论的主要内容之一,而数值解的收敛性与单元的划分及单元形状有关。在求解过程中,通常以位移为基本变量,使用虚位移原理或最小势能原理来求解。

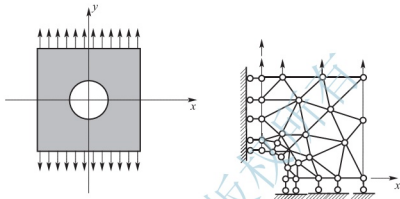


图 1.1 单元划分示意图

有限单元法的基本思想是先化整为零,再集零为整,也就是把一个连续体人为地分割成有限个单元,即把一个结构看成由若干通过结点相连的单元组成的整体,先进行单元分析,然后再把这些单元组合起来代表原来的结构进行整体分析。从数学的角度来看,有限单元法是将一个偏微分方程化成一个代数方程组,利用计算机求解。由于有限元法是采用矩阵算法,故借助计算机这个工具可以快速地算出结果。

## 1.2 有限单元法的发展

有限单元法基本思想的提出,通常认为起源于20世纪40年代,其实早在公元3世纪的时候,我国数学家刘徽提出的用“割圆术”求圆周长的方法即是有限元基本思想的体现。经典结构力学求解刚架内力的位移法,将刚架看成是由有限个在结点处连接的杆件单元组成,先研究每个杆件单元,最后将其组合进行综合分析,这种先离散、后整合的方法便是有限单元法的基本思想。

1941年,雷尼柯夫(Hrenikoff)首次提出用框架方法求解力学问题,但这种方法仅限于用杆系结构来构造离散模型。1943年,柯兰特(Courant)发表了一篇使用三角形区域的多项式函数来求解扭转问题的论文,第一次假设挠曲函数在一个划分的三角形单元集合体的每个单元上为简单的线性函数。这是第一次用有限单元法来处理连续体问题。

20世纪50年代,航空事业的飞速发展对飞机结构提出了越来越高的要求,这样需要更精确地设计和计算。1956年,特纳(Turner)、克拉夫(Clough)、马丁(Martin)和托普(Top)等将刚架分析中的位移法扩展到弹性力学平面问题中,并用于飞机的结构分析和设计,系统地研究了离散杆、梁、三角形的单元刚度表达式,并求得了平面应力问题的正确解答。他们的研究工作开始了利用电子计算机求解复杂弹性力学问题的新阶段。1955年,德国斯图加特大学的J. H. Argyris教授发表了一组关于能量原理与矩阵分析的论文,奠定



了有限单元法的理论基础。

1960年,克拉夫(Clough)在处理剖面弹性问题时,第一次提出并使用“有限单元法”的名称,使人们进一步认识到这一方法的特性和功效。此后,大量学者、专家开始使用这一离散方法来处理结构分析、流体分析、热传导、电磁学等复杂问题。从1963年到1964年,贝塞林(Besseling)、卞学璜(T. H. Pian)等人的研究工作表明,有限单元法实际上是弹性力学变分原理中瑞雷-里兹法的一种形式,从而在理论上为有限单元法奠定了数学基础,确认了有限单元法是处理连续介质问题的一种普遍方法,扩大了有限单元法的应用范围。但有限单元法更为灵活,适应性更强,计算精度更高,这一成果也大大刺激了变分原理的研究和发展,先后出现了一系列基于变分原理的新型有限元模型,如混合元、非协调元、广义协调元等。1967年,Zienkiewicz和Cheung出版了第一本关于有限元分析的专著。

20世纪70年代后,随着计算机技术和软件技术的发展,有限单元法进入了发展的快速期。这一时期,人们对有限单元法进行了深入研究,涉及内容包括数学和力学领域所依据的理论,单元划分的原则,形函数的选取,数值计算方法及误差分析、收敛性和稳定性研究,计算机软件开发,非线性问题,大变形问题等。1972年,Oden出版了第一本关于处理非线性连续体的专著。

我国著名力学家、教育家徐芝纶院士首次将有限元法引入中国。他于1974年编写了我国第一部关于有限元法的专著——《弹性力学问题的有限单元法》,从此开创了我国有限元应用及发展的历史。其他的一些科技工作者,如胡昌海提出了广义变分原理,钱伟长最先研究了拉格朗日乘子法与广义变分原理之间的关系,冯康研究了有限单元法的精度和收敛性问题,钱令希研究了余能原理等,他们的研究成果得到了国际学术界的认可。

近年来,有限单元法的发展主要表现在以下两方面:一方面,新的单元类型不断出现,如等参元、高次元、不协调元、拟协调元、杂交元、样条元、边界元、罚单元等,此外还有半解析的有限条等不同单元;另一方面,求解方法不断改进,如半带宽与变带宽消去法、超矩阵法、波前法、子结构法、子空间迭代法等。同时,能解决各种复杂耦合问题的软件和软件系统不断涌现,对网格自动划分和网格自适应过程的研究,也大大加强了有限单元法的解题能力,使有限单元法逐渐趋于成熟。

## 1.3 有限单元法的分析过程及应用

有限单元法从20世纪40年代发展至今,经过70多年的发展和创新,它已经成为科学计算必不可少的工具。其应用已由弹性力学平面问题扩展到空间问题、板壳问题,由静力平衡问题扩展到稳定问题、动力问题和波动问题。其分析的对象从弹性材料扩展到塑性、粘弹性、粘塑性和复合材料等,从固体力学扩展到流体力学、渗流与固结理论、热传导与热应力问题、磁场问题以及建筑声学及噪声问题。不仅涉及稳态场问题,而且涵盖材料非线性、几何非线性、时间问题和断裂力学问题等。

### 1.3.1 有限单元法的特性

(1) 对复杂几何形态构件的适应性。由于有限单元法的单元划分在空间上可以是一维的,也可以是二维、三维的,并且可以有不同的形状,如二维单元可以为三角形、四边形,三维单元可以是四面体、五面体、六面体等,同时各种单元可以有不同的连接形式。因此,工程实际中遇到的任何复杂结构或构造都可以离散为有限个单元组成的集合体。

(2) 对各种构型问题都有可适应性。有限单元法分析的研究范围已由最初杆件结构问题发展到目前的弹塑性问题、粘弹塑性问题、动力问题,可以应用于流体力学、热力学、电磁学、空气动力学问题,并且可以解决复杂的非线性问题。

(3) 理论基础的可靠性。有限单元法的理论基础(变分原理、能量守恒原理)在数学上、物理上得到了可靠的证明,只要研究问题的数学模型建立适当,实现有限元方程的算法稳定收敛,则求得的解是真实可靠的。

(4) 计算精度的可信性。只要所研究问题本身是有解的,在相同条件下随着单元数目的增加,其计算的精度不断提高,近似解不断趋近于精确解。

(5) 计算的高效性。由于有限元分析的各个步骤可用矩阵形式表示,最终的求解归结为标准的矩阵代数问题,将许多复杂的微分、偏微分方程的求解问题转化为求解代数方程组问题,特别适合于计算机编程实现。

### 1.3.2 有限单元法的分析过程

有限单元法的基础思想是化整为零,分散分析,再集零为整,也就是将连续的变形固体离散成有限个单元组成的结构,单元与单元之间仅在结点处连接。利用变分原理或其他方法,建立联系结点位移和结点荷载的代数方程组,求解这些方程组,得到未知结点位移,再求得各单元内的其他物理量,包括以下三个步骤。

#### 1. 结构物的离散化

对一个结构物进行有限元分析的第一步是对其进行离散,根据求解问题的不同精度要求、效能要求等诸多因素,将整个结构划分为有限个单元,单元与单元之间、单元与边界之间通过结点连接。在进行离散时,必须注意以下几点。

(1) 单元类型的选择,包括单元形状、结点数、结点自由度数等几个方面。

(2) 单元划分应有一定的规律性,便于计算机自动生成网格,并且有利于以后对网格进行加密处理,同一单元应由同一种材料组成等问题。

#### 2. 进行单元分析

单元分析就是将离散化后的每个单元看做一个研究对象,研究结点位移与结点力之间的关系,包括以下两方面的内容。

##### 1) 确定单元的位移模式

对于位移型有限单元法,将单元中任意一点的位移用单元的结点位移来表示,而单元位移是结点位移的函数。位移函数的假设是否合理,直接影响到有限元分析的计算精度、



效率和可靠度。

### 2) 单元特性分析

在建立了单元的位移函数之后,可以根据应力、应变、位移之间的关系,利用虚位移原理或最小势能原理,建立单元结点力和结点位移之间的关系,得到单元刚度矩阵。这一步还必须将单元上的荷载等效为结点荷载,进行单元分析的过程实际上是建立单元刚度矩阵和等效结点荷载矩阵的过程。

### 3. 整体分析

在确定了每个单元的单元刚度方程之后,可以将各单元集成整体结构进行分析,建立起表示整个结构结点平衡的方程组,即整体刚度方程,然后引入结构的边界条件,对方程组进行求解,得出结点位移,进而求出各单元的内力和变形。

## 1.3.3 有限单元法的应用

经过 60 多年的发展,有限单元法的应用范围已由杆状构件问题发展到弹性力学平面问题,并进一步扩展到空间问题、板壳问题,由静力平衡问题扩展到稳定问题、动力问题、波动问题、接触问题。其研究的对象从弹性材料扩展到弹塑性、粘弹性、粘塑性复合材料问题,从研究小变形问题到研究大变形问题,从简单的线性问题到复杂的非线性问题,从固体力学扩展到流体力学、热传导、电磁学等连续介质领域。可以说,有限单元法作为一门数值计算方法已渗透到了科学、工程的方方面面,成为人们进行科学研究、工程计算、工程设计等的重要手段。

有限单元法的应用不只局限在固体力学领域。可以这么说,有限单元法可以解决几乎所有的连续介质和场的问题,在机械工程、土木工程、航空结构、热传导、电磁场、流体力学、流体动力学、地质力学、原子工程和生物医学工程等各个领域得到了越来越广泛的应用。根据有限元求解问题的性质可以把它在应用中解决的问题分为以下三类。

- (1) 平衡问题——不依赖时间的问题,即稳态问题。
- (2) 特征值问题——固体力学和流体力学的特征值问题是平衡问题的推广。
- (3) 瞬态问题——随时间变化的问题。

在工程实践中,有限元分析软件与 CAD 系统的集成应用使设计水平发生了质的飞跃,主要表现在以下几个方面:增加设计功能,减少设计成本;缩短设计和分析的循环周期;增加产品和工程的可靠性;采用优化设计,降低材料的消耗或成本;在产品制造或工程施工前预先发现潜在的问题;模拟各种试验方案,减少试验时间和经费;进行机械事故分析,查找事故原因。在大力推广 CAD 技术的今天,从自行车到航天飞机,所有的设计制造都离不开有限元分析计算,FEA 在工程设计和分析中将得到越来越广泛的重视。

在结构工程、航空工程等方面,人们常用有限单元法对梁、板壳进行结构分析,对各种复杂结构进行二维、三维应力分析,研究应力波的传播特性和各种结构对非周期荷载的动态响应,并对结构进行稳定性分析、研究结构的固有频率和振型等。

在土力学、岩石力学、基础工程学等领域,常用有限单元法研究填筑和开挖问题、边

坡稳定性问题、土壤与结构的相互作用, 坝、隧洞、钻孔、涵洞、船闸等的应力分析, 土壤与结构的动态相互作用, 应力波在土壤和岩石中的传播问题。

在流体力学、水利工程学等领域, 常用有限单元法研究流体的势流、流体的粘性流动、蓄水层和多孔介质中的定常(非定常)渗流、水工结构和大坝分析, 流体在土壤和岩石中的稳态渗流, 波在流体中传播, 污染的扩散问题。

在电磁学、热传导领域, 常用有限单元法研究固体和流体中的稳态温度分布、瞬态热流问题, 对二维、三维时变、高频电磁场进行分析等。

## 1.4 常用工程应用软件简介

随着现代科学技术的发展, 人们正在不断建造更为快速的交通工具、更大规模的建筑物、更大跨度的桥梁、更大功率的发电机组和更为精密的机械设备。这一切都要求工程师在设计阶段就能精确地预测出产品和工程的技术性能, 需要对结构的静、动力强度以及温度场、流场、电磁场和渗流等技术参数进行分析计算。例如, 分析计算高层建筑和大跨度桥梁在地震时所受到的影响, 看看是否会发生破坏性事故; 分析计算核反应堆的温度场, 确定传热和冷却系统是否合理; 分析涡轮机叶片内的流体动力学参数, 以提高其运转效率。这些都可归结为求解物理问题的控制偏微分方程式, 这些问题的解析计算往往是不现实的。因此, 有限元软件应运而生。有限元软件的应用极大地提高了力学学科解决自然科学和工程实际问题的能力, 进一步促进了有限单元法的发展。

有限元软件可以分为通用软件和专用软件两类。通用软件适应性广, 规格规范, 输入方法简单, 有比较成熟齐全的单元库, 大多提供二次开发的接口。即使通用软件的功能再强, 对于一些比较专业的问题, 尤其是处于研究阶段的内容, 也往往显得无能为力。因此, 针对某些特定领域、特定问题开发的专用软件, 在解决专有问题时显得更为有效。不管是通用软件还是专用软件, 其分析过程都包括前处理、分析计算、后处理三个步骤。目前常用的有限元软件有: ANSYS、MARC、ABQUS、NASTRAN、ADINA、ALGOR、SAP、STRAND、FEPG 等。

### 1. ANSYS

ANSYS 软件是融结构、流体、电场、磁场、声场分析于一体的大型通用有限元分析软件, 目前最新版本为 14.0。它是由世界上最大的有限元分析软件公司之一的美国 ANSYS 公司开发出来的软件, 能与多数 CAD 软件接口, 实现数据的共享和交换, 如 Pro/Engineer、UG、NASTRAN、Alogor、I-DEAS、AutoCAD 等, 是现代产品设计中的高级 CAD 工具之一。该软件主要包括三个部分: 前处理模块、分析计算模块和后处理模块。前处理模块提供了一个强大的实体建模及网格划分工具, 用户可以方便地构造有限元模型; 分析计算模块包括结构分析(可进行线性分析、非线性分析和高度非线性分析)、流体动力学分析、电磁场分析、声场分析、压电分析以及多物理场的耦合分析, 可模拟多种物理介质的相互作用, 具有灵敏度分析及优化分析能力; 后处理模块可将计算结果以彩色等值线显示、梯度显示、矢量显示、粒子流迹显示、立体切片显示、透明及半透明显示(可看到结构内部)等图形方式显示出来, 也可将计算结果以图表、曲线形式显示或输出。软





件提供了 100 种以上的单元类型,用来模拟工程中的各种结构和材料。该软件有多种不同版本,可以运行在从个人机到大型机的多种计算机设备上,如 PC、SGI、HP、SUN、DEC、IBM、CRAY 等。

### 2. MARC

MARC 具有极强的结构分析能力,可以处理各种线性和非线性结构分析,包括线性/非线性静力分析、模态分析、简谐响应分析、频谱分析、随机振动分析、动力响应分析、自动的静/动力接触、屈曲/失稳、失效和破坏分析等。它提供了丰富的结构单元、连续单元和特殊单元的单元库,几乎每种单元都具有处理大变形几何非线性、材料非线性和包括接触在内的边界条件非线性以及组合的高度非线性的超强能力。

### 3. ABAQUS

ABAQUS 是美国 HKS 公司的产品,它是一套先进的通用有限元系统,也是功能最强的有限元软件之一,可以分析复杂的固体力学和结构力学系统。ABAQUS 有两个主要分析模块:ABAQUS/Standard 提供了通用的分析能力,如应力和变形、热交换、质量传递等;ABAQUS/Explicit 应用对时间进行显式积分求解,为处理复杂接触问题提供了有力的工具,适合于分析短暂、瞬时的动态事件。

### 4. NASTRAN

NASTRAN 是世界上功能最全面、应用最广泛的大型通用结构有限元分析软件之一,同时也是工业标准的 FEA 原代码程序及国际合作和国际招标中工程分析和校验的首选工具,可以解决各类结构的强度、刚度、屈曲、模态、动力学、热力学、非线性、声学、流体-结构耦合、气动弹性、超单元、惯性释放及结构优化等问题。通过 MSC/NASTRAN 的分析,可确保各个零部件及整个系统在合理的环境下正常工作。此外,程序还提供了开放式用户开发环境和 DMAP 语言及多种 CAD 接口,以满足用户的特殊需要。MSC/DYTRAN 主要用于求解高度非线性、瞬态动力学、流体及流固耦合等问题,其先进的技术可解决广泛复杂的工程问题,如金属成型、爆炸、碰撞、搁浅、冲击、穿透、安全气囊(带)、液-固耦合、晃动、安全防护等。程序采用有限单元法及有限体方法,并可二者混合使用。MSC/FATIGUE 是专用的耐久性疲劳寿命分析软件系统,可用于零部件的初始裂纹分析、裂纹扩展分析、应力寿命分析、焊接寿命分析、随机振动寿命分析、整体寿命预估分析、疲劳优化设计等各种分析。同时该软件还拥有丰富的与疲劳断裂有关的材料库、疲劳载荷和时间历程库等,使分析的最终结果具有可视化特点。MSC/Construct 是基于 MSC/PATRAN 和 MSC/NASTRAN 用于拓扑及形状优化的概念化设计软件系统。MSC/MARC 是功能齐全的高级非线性结构有限元分析系统,体现了有限元分析的理论方法和软件实践的完美结合,它具有极强的结构分析能力,可以处理各种线性和非线性结构分析问题,包括线性/非线性静力分析、模态分析、简谐响应分析、频谱分析、随机振动分析、动力响应分析、自动的静/动力接触、屈曲/失稳、失效和破坏分析等;可以解决各种高度复杂的结构非线性、动力、耦合场及材料等工程问题,尤其适用于冶金、核能、橡胶等领域。

### 5. ADINA

ADINA 是美国 ADINA R&D Inc. 开发的一套大型通用有限元分析软件,被广泛应用



于各个行业的工程仿真分析,包括机械制造、材料加工、航空航天、汽车、土木建筑、电子电器、国防军工、船舶、铁道、石化、能源等各个工业领域,能真正实现流场、结构、热的耦合分析。

#### 6. ALGOR

ALGOR 作为世界著名的大型通用工程仿真软件,被广泛应用于各个行业的设计、有限元分析、机械运动仿真中,包括静力、动力、流体、热传导、电磁场、管道工艺流程设计等,能够帮助设计分析人员预测和检验在真实状态下的各种情况,快速、低成本地完成更安全更可靠的设计项目。ALGOR 以其分析功能齐全、使用操作简便和对硬件的要求低等特点,在从事设计、分析的科技工作者中享有盛誉。作为中高档 CAE 分析工具的代表之一,ALGOR 在汽车、电子、航空航天、医学、日用品生产、军事、电力系统、石油、大型建筑以及微电子机械系统等诸多领域中均有广泛的应用。工程师们通过使用 ALGOR 进行设计,虚拟测试和性能分析,缩短了产品投入市场的时间,并能以更低的成本制造出优质可靠的产品。

#### 7. SAP

SAP 是结构分析程序 (Structural Analysis Program) 的英文缩写。SAP 程序作为一个大型的结构分析有限元通用程序,是由美国加州大学伯克利分校首先开发研制的,其第一个版本完成于 1970 年,至今已发行了 SAP 2000 版。它除了能求解三维杆单元、三维梁单元、三维块体单元、薄板薄壳单元、平面应力、平面应变外,还能同时进行历程响应分析、响应谱分析、频率响应及塑性分析,并且有完善的图形前后处理功能,支持网格的自动生成、结点带宽优化及图形显示等多种功能。

#### 8. STRAND

STRAND 是由澳大利亚 G&D Computing 公司开发的大型有限元程序系统,具有功能齐全、操作方便、性能/价格比高等特点。精心设计的交互界面直观明了,用户只需要很短的时间就能学会软件的使用方法,并用来解决实际工程问题。其 Strand 7 的网格自动生成器可读取各种 CAD 数据,直接快速地将几何模型转换成有限元模型。Strand 7 的高效求解器可在几十分钟内完成具有数百万自由度模型的分析计算,从而在计算机上就可以对体育场馆、超高层建筑、车体、大型机械等大型结构进行准确的三维模拟,使结构设计更合理、更可靠。其应用领域包括土木工程、岩土工程、结构工程、机械工程、交通工程、重工业工程、材料处理工程、航空工程、汽车工程等。

#### 9. FEPP

北京飞箭软件有限公司开发的有限元程序自动生成系统 FEPP (Finite Element Program Generator) 是一套有限元分析和计算机辅助工程分析 (CAE) 的软件平台。用户只需输入有限元法所需的各种表达式和公式,即可由 FEPP 自动产生所需的全部有限元计算的源程序,包括单元子程序、算法程序等,免去了大量的、烦琐的有限元编程劳动,保证了程序的正确性和统一性。FEPP 的开发思想是采用元件化的程序设计方法和人工智能技术,根据有限元法统一的数学原理及其内在规律,以类似于数学公式推理的方式,由微分方程表达式和算法表达式自动产生有限元源程序。



## 本章小结

本章主要介绍了有限单元法的基本思想,有限单元法的发展过程和发展趋势,有限单元法的基本分析过程及其应用,并对目前常用的一些有限单元法分析软件进行了介绍。有限元方法的基本思想是先化整为零,再集零为整。有限单元法从出现至今不过70多年的历史,但其应用领域已渗透到科学研究和工程计算的各个方面,已成为科技工作者进行科学研究、解决工程技术问题的强有力的工具。

有限单元法的分析过程包括结构物的离散、单元分析、整体分析三步。一般的有限单元法计算软件包括前处理、分析计算、后处理,其中前处理是进行几何建模和单元划分,后处理部分主要是对计算结果进行处理,以图形或动画的形式显示结果。

## 习 题

- 1.1 简述有限单元法的基本思想。
- 1.2 简述有限单元法的基本分析过程。

# 第2章

## 连续体结构的有限单元法

### 教学目标

本章主要讲述连续体结构有限单元法分析的基本原理,包括平面问题、空间问题、空间轴对称问题和等参单元。通过本章的学习,应达到以下目标。

- (1) 了解位移函数应满足的条件。
- (2) 掌握单元分析的基本过程。
- (3) 掌握整体分析的方法。
- (4) 掌握约束条件的处理方法。
- (5) 能够运用计算机语言编制连续体结构的有限单元法计算程序。

### 教学要求

知识要点	能力要求	相关知识
平面问题有限元分析	<ol style="list-style-type: none"><li>(1) 了解有限单元法分析的基本步骤</li><li>(2) 掌握单元的分析过程</li><li>(3) 有限单元法的特点</li><li>(4) 掌握整体分析的方法</li><li>(5) 掌握约束条件的处理方法</li></ol>	<ol style="list-style-type: none"><li>(1) 位移函数满足的条件</li><li>(2) 平面3结点三角形单元分析</li><li>(3) 平面4结点矩形单元分析</li><li>(4) 面积坐标的表示方法</li><li>(5) 平面6结点三角形单元分析</li><li>(6) 整体刚度矩阵形成方法</li><li>(7) 约束条件处理方法</li></ol>
空间问题有限元分析	<ol style="list-style-type: none"><li>(1) 了解体积坐标的表示方法</li><li>(2) 掌握空间轴对称单元分析</li><li>(3) 掌握空间四面体单元的分析</li><li>(4) 掌握空间正六面体单元的分析</li><li>(5) 了解其他高阶单元形函数的构造</li></ol>	<ol style="list-style-type: none"><li>(1) 空间轴对称单元分析</li><li>(2) 体积坐标的表示方法</li><li>(3) 空间4结点四面体单元的分析</li><li>(4) 空间8结点正六面体单元的分析</li><li>(5) 空间10结点四面体单元的分析</li><li>(6) 其他高阶单元</li></ol>
等参单元	<ol style="list-style-type: none"><li>(1) 了解等参单元的概念</li><li>(2) 掌握坐标变换方法</li></ol>	<ol style="list-style-type: none"><li>(1) 等参单元的概念</li><li>(2) 坐标变换</li><li>(3) 平面等参单元</li><li>(4) 空间轴对称等参单元</li></ol>
数值积分	<ol style="list-style-type: none"><li>(1) 了解 Newton-Cotes 积分方法</li><li>(2) 掌握高斯积分方法</li></ol>	<ol style="list-style-type: none"><li>(1) Newton-Cotes 积分方法</li><li>(2) 高斯积分方法</li></ol>



## 基本概念

位移函数、形函数、面积坐标、体积坐标、等参单元、数值积分、刚度集成法。



## 引例

在工程实际中经常需要对比较复杂的结构进行分析,以了解结构物在特定荷载作用下的变形和应力分布情况,为工程设计和材料选择提供依据。这种分析通常是基于有限单元法进行的。那么如何将一个复杂的结构体离散成有限个单元呢?通常我们需要根据实际情况选择不同的单元类型,经常用到的平面单元有三角形单元、矩形单元、直四边形等参单元、曲四边形等参单元等;而空间问题的单元有四面体单元、正六面体单元以及对应的等参单元;对于轴对称问题同样有三角形单元、矩形单元以及四边形等参单元等。同一个问题可以选择不同类型的单元进行分析,其计算精度也会不一样。实际中我们必须根据多方面的因素来选择单元类型。

# 2.1 概述

## 2.1.1 有限单元法的分析步骤

有限单元法的基本思想是将一个连续的求解区域离散成有限个形状简单的单元,单元之间通过结点相连,以结点的某个物理参数(如结构分析中的位移、热分析中的温度)作为基本未知量进行求解分析。首先了解一下有限单元法分析问题的基本步骤。

第一步,对结构物进行离散化,划分为有限个单元。根据分析对象和求解精度的不同,需要选择不同类型的单元。有限单元法分析的基本单元有以下几种情况:一维单元、二维单元、三维单元(图2.1)。其中一维单元主要用于杆系结构的分析,主要有2结点和3结点两种类型的单元;二维单元主要用于平面连续体问题分析,其单元形状通常有三角形和四边形;三维单元主要用于空间连续体问题分析,主要有四面体和六面体两种形状。单元划分的多少,则需根据求解问题的精度和计算效益来决定。对于线性静力分析,单元划分得越多,则精度越高,但所需要的计算费用也随之越高。但对于非线性分析,单元的多少还涉及求解的收敛问题,并不是单元越多精度越高。因为单元太多有可能引起求解时不收敛。此外,单元划分时应注意各边长度尽量相等。

第二步,对各结点和单元进行编码。在对单元进行划分完后,为了便于编程计算,必须按一定的规律对各结点和单元进行编码。通常对结点的编码以自然数1、2、3...表示,而对单元采用①、②、③...表示,编码时每个单元的结点编号尽量连续。如图2.2所示为连续体的网络划分。

第三步,建立坐标系。我们知道,求解任何力学问题都必须建立坐标系,各种矢量(如位移、力、力矩等)的正负只有在特定的坐标系下才有意义。离开特定的坐标系,各种矢量只有方向的区别,而不能谈正负的概念。因此进行有限元分析时,对于整个系统,我

们必须建立整体坐标系，通常以  $Oxy$  表示。结点的位置以坐标来表示。

第四步，对已知参数进行准备和整理。对于各单元，如杆单元需要准备的数据包括单元截面积  $A$ 、单元长度  $l$ 、单元弹性模量  $E$ 、单元剪切模量  $G$ 、单元惯性矩  $I$  等。二维单元需要弹性模量  $E$ 、泊松比  $\mu$ 、单元厚度  $h$  等。

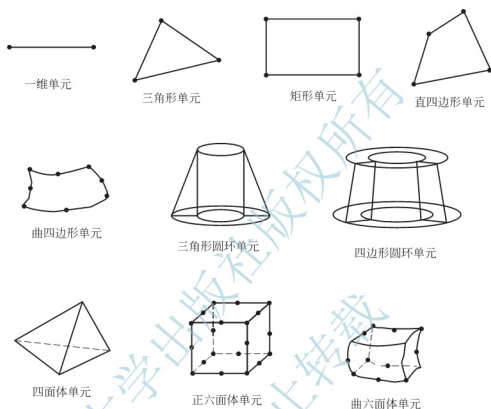


图 2.1 各种形状的单元

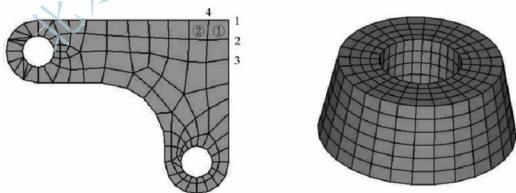


图 2.2 连续体的网格划分

第五步，进行单元分析，形成单元刚度矩阵。通常运用虚位移原理或最小势能原理来进行单元分析，建立单元刚度矩阵  $k^e$  和荷载矩阵  $F^e$ 。

第六步，进行整体分析，形成整体刚度矩阵  $K$  和整体荷载矩阵  $F$ 。我们进行单元分析的最终目的是要对结构进行整体分析，因此必须由单元特性矩阵构成整体特性矩阵。

第七步，引入边界条件。边界条件的引入可以使问题具有解的唯一性，否则我们的问



题就是不稳定的。

第八步,求解方程组,计算结构的整体结点位移矩阵 $\delta$ ,并进一步计算各单元的位移、应力、应变等物理量。

第九步,对计算成果进行整理、分析,用表格、图线示出所需的位移及应力。大型商业软件(如 ANSYS 等)一般都具有强大的后处理功能,由计算机自动绘制彩色云图,制作图线、表格乃至动画显示。

## 2.1.2 位移函数的要求

将连续体离散为有限个单元的集合后,通常以结点的位移作为基本未知量,以离散位移场代替连续位移场。连续体内实际的位移分布可以用单元内的位移分布函数来分块近似地描述。单元内的位移变化可以用一个函数来表示,这个函数称为单元位移函数(有时称为单元位移模式),即单元内任意点的位移通过结点位移进行插值得到。位移函数的选取是灵活的,一般选择多项式函数作为位移函数。在选择多项式时,为了使有限单元法的计算精度和收敛性得到保障,位移函数需要满足下列条件:

- (1) 位移函数必须能反映单元的刚体位移;
- (2) 位移函数必须能反映单元的常量应变;
- (3) 位移函数应尽可能地反映位移的连续性。

其中(1)和(2)称为完备性条件,这是所有单元位移函数都必须满足的两个条件,(3)称为协调性条件,满足此条件的单元称为协调单元,否则称为非协调单元。此外,因为坐标变量与我们建立的坐标系有关,因此选择位移函数还必须考虑坐标变量的对称性。

根据上述位移函数的要求,一般按照帕斯卡(Pascal)三角形(图 2.3)来选择多项式的阶数。

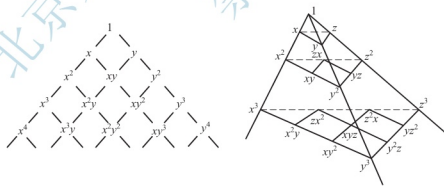


图 2.3 平面和空间单元多项式选择顺序

对于二维单元,其位移函数形式如下:

$$\begin{aligned} u &= a_1 + a_2x + a_3y + a_4x^2 + a_5xy + a_6y^2 + \cdots \\ v &= b_1 + b_2x + b_3y + b_4x^2 + b_5xy + b_6y^2 + \cdots \end{aligned} \quad (2-1)$$

对于三维单元,其位移函数的形式如下:

$$\begin{aligned} u &= a_1 + a_2x + a_3y + a_4z + a_5x^2 + a_6y^2 + a_7z^2 + a_8xy + a_9yz + a_{10}zx + \cdots \\ v &= b_1 + b_2x + b_3y + b_4z + b_5x^2 + b_6y^2 + b_7z^2 + b_8xy + b_9yz + b_{10}zx + \cdots \\ w &= c_1 + c_2x + c_3y + c_4z + c_5x^2 + c_6y^2 + c_7z^2 + c_8xy + c_9yz + c_{10}zx + \cdots \end{aligned} \quad (2-2)$$

## 2.2 平面 3 结点三角形单元

平面 3 结点三角形单元是求解平面连续体问题的一种最简单的单元，它以三角形的三个顶点作为结点，对边界的适应性较强。这种单元本身的计算精度较低，使用时需要较细的网格，但仍然是一种较为常用的单元。通过这种单元，可以很好地理解有限单元法的本质特征，下面对这种单元进行分析。

### 2.2.1 单元位移函数

如图 2.4 所示的平面 3 结点三角形单元，结点  $i$ 、 $j$ 、 $m$  的坐标分别为  $(x_i, y_i)$ 、 $(x_j, y_j)$ 、 $(x_m, y_m)$ 。结点位移分别为  $u_i$ 、 $v_i$ 、 $u_j$ 、 $v_j$ 、 $u_m$ 、 $v_m$ 。记单元的结点位移矩阵  $\delta^e$  和结点荷载矩阵  $F^e$  为：

$$\delta^e = [u_i \quad v_i \quad u_j \quad v_j \quad u_m \quad v_m]^T \quad (2-3)$$

$$F^e = [F_{xi} \quad F_{yi} \quad F_{xj} \quad F_{yj} \quad F_{xm} \quad F_{ym}]^T \quad (2-4)$$

根据位移函数应满足的条件，选取 3 结点三角形单元的位移函数如下：

$$\begin{cases} u = a_1 + a_2x + a_3y \\ v = b_1 + b_2x + b_3y \end{cases} \quad (2-5)$$

式中， $a_1$ 、 $a_2$ 、 $a_3$ 、 $b_1$ 、 $b_2$ 、 $b_3$  为待定系数。将 3 个结点  $i$ 、 $j$ 、 $m$  的坐标和结点位移分别代入式 (2-5) 就可以将六个待定系数用结点坐标和结点位移分量表示出来。

如将水平位移分量和结点坐标分别代入式 (2-5) 中的第一式，得到：

$$\begin{cases} u_i = a_1 + a_2x_i + a_3y_i \\ u_j = a_1 + a_2x_j + a_3y_j \\ u_m = a_1 + a_2x_m + a_3y_m \end{cases}$$

写成矩阵形式，有：

$$\begin{bmatrix} u_i \\ u_j \\ u_m \end{bmatrix} = \begin{bmatrix} 1 & x_i & y_i \\ 1 & x_j & y_j \\ 1 & x_m & y_m \end{bmatrix} \begin{bmatrix} a_1 \\ a_2 \\ a_3 \end{bmatrix} \quad (2-6)$$

设  $\det \begin{bmatrix} 1 & x_i & y_i \\ 1 & x_j & y_j \\ 1 & x_m & y_m \end{bmatrix} = 2A$ ， $A$  为三角形单元的面积。注意为了避免出现  $A < 0$  的情况，

三个结点的排列顺序必须与坐标系的旋转方向一致。由式 (2-6) 可以得到：

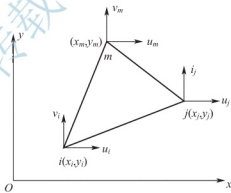


图 2.4 平面 3 结点平面三角形单元



$$\begin{bmatrix} a_1 \\ a_2 \\ a_3 \end{bmatrix} = \begin{bmatrix} 1 & x_i & y_i \\ 1 & x_j & y_j \\ 1 & x_m & y_m \end{bmatrix}^{-1} \begin{bmatrix} u_i \\ u_j \\ u_m \end{bmatrix} \quad (2-7)$$

同理, 将竖向位移和结点坐标代入式(2-5)中的第二式, 可以得到:

$$\begin{bmatrix} b_1 \\ b_2 \\ b_3 \end{bmatrix} = \begin{bmatrix} 1 & x_i & y_i \\ 1 & x_j & y_j \\ 1 & x_m & y_m \end{bmatrix}^{-1} \begin{bmatrix} v_i \\ v_j \\ v_m \end{bmatrix} \quad (2-8)$$

将式(2-7)、式(2-8)代入式(2-5)整理后可得:

$$\begin{cases} u = \frac{1}{2A} [(a_i + b_i x + c_i y) u_i + (a_j + b_j x + c_j y) u_j + (a_m + b_m x + c_m y) u_m] \\ v = \frac{1}{2A} [(a_i + b_i x + c_i y) v_i + (a_j + b_j x + c_j y) v_j + (a_m + b_m x + c_m y) v_m] \end{cases} \quad (2-9)$$

其中系数  $a_i = x_j y_m - x_m y_j$ ,  $b_i = y_j - y_m$ ,  $c_i = -x_j + x_m$  (下标  $i \rightarrow j \rightarrow m \rightarrow i$  轮换)。设

$$N_r = \frac{1}{2A} (a_r + b_r x + c_r y) \quad (r=i, j, m) \quad (2-10)$$

可得:

$$\begin{bmatrix} u \\ v \end{bmatrix} = \begin{bmatrix} N_i & 0 & N_j & 0 & N_m & 0 \\ 0 & N_i & 0 & N_j & 0 & N_m \end{bmatrix} \begin{bmatrix} u_i \\ v_i \\ u_j \\ v_j \\ u_m \\ v_m \end{bmatrix} \quad (2-11)$$

即单元的位移函数可以简写成:

$$\mathbf{d}^e = \mathbf{N} \boldsymbol{\delta}^e \quad (2-12)$$

通常把  $\mathbf{N}$  称为形函数矩阵,  $N_r$  称为形函数。根据形函数的定义,  $N_r$  具有以下性质:

$$(1) N_r(x_i, y_i) = \begin{cases} 1 & (r=s) \\ 0 & (r \neq s) \end{cases} \quad (r, s=i, j, m)$$

$$(2) N_i(x, y) + N_j(x, y) + N_m(x, y) = 1$$

**例 2-1** 如图 2.5 所示三角形单元, 求其形函数矩阵  $\mathbf{N}$ 。

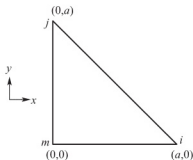


图 2.5 三角形单元

**解:** 由  $a_i = x_j y_m - x_m y_j$ ,  $b_i = y_j - y_m$ ,  $c_i = x_m - x_j$

在公式中轮换下标可以计算得:

$$a_i = x_j y_m - x_m y_j = 0 \times 0 - 0 \times a = 0, \quad b_i = y_j - y_m = a - 0 = a,$$

$$c_i = x_m - x_j = 0 - 0 = 0$$

$$a_j = x_m y_i - x_i y_m = 0 \times 0 - a \times 0 = 0, \quad b_j = y_m - y_i = 0 - 0 = 0,$$

$$c_j = x_i - x_m = a - 0 = a$$

$$a_m = x_i y_j - x_j y_i = a \times a - 0 \times 0 = a^2, \quad b_m = y_i - y_j = 0 - a = -a$$

$$c_m = x_j - x_i = 0 - a = -a$$



三角形面积为:  $A = \frac{a^2}{2}$

形函数为:

$$N_i = \frac{1}{2A}(a_i + b_i x + c_i y) = \frac{1}{a^2}(0 + ax + 0) = \frac{x}{a}$$

$$N_j = \frac{1}{2A}(a_j + b_j x + c_j y) = \frac{1}{a^2}(0 + 0 + ay) = \frac{y}{a}$$

$$N_m = \frac{1}{2A}(a_m + b_m x + c_m y) = \frac{1}{a^2}(a^2 - ax - ay) = 1 - \frac{x}{a} - \frac{y}{a}$$

则形函数矩阵为:

$$\mathbf{N} = \begin{bmatrix} \frac{x}{a} & 0 & \frac{y}{a} & 0 & 1 - \frac{x}{a} - \frac{y}{a} & 0 \\ 0 & \frac{x}{a} & 0 & \frac{y}{a} & 0 & 1 - \frac{x}{a} - \frac{y}{a} \end{bmatrix}$$

## 2.2.2 单元应变场

根据单元位移函数表达式(2-11), 由位移与应变的关系, 可以得到单元的应变场表达式为:

$$\boldsymbol{\varepsilon} = \begin{bmatrix} \frac{\partial u}{\partial x} \\ \frac{\partial v}{\partial y} \\ \frac{\partial u}{\partial y} + \frac{\partial v}{\partial x} \end{bmatrix} = \frac{1}{2A} \begin{bmatrix} b_i & 0 & b_j & 0 & b_m & 0 \\ 0 & c_i & 0 & c_j & 0 & c_m \\ c_i & b_i & c_j & b_j & c_m & b_m \end{bmatrix} \begin{bmatrix} u_i \\ u_j \\ u_m \\ v_i \\ v_j \\ v_m \end{bmatrix} \quad (2-13)$$

记为:

$$\boldsymbol{\varepsilon} = \mathbf{B} \boldsymbol{\delta}^{\textcircled{\text{e}}} \quad (2-14)$$

其中,  $\mathbf{B}$  矩阵称为几何矩阵, 它可以表示为分块矩阵的形式:

$$\mathbf{B} = [\mathbf{B}_i \quad \mathbf{B}_j \quad \mathbf{B}_m] \quad (2-15)$$

其中,

$$\mathbf{B}_r = \frac{1}{2A} \begin{bmatrix} b_r & 0 \\ 0 & c_r \\ c_r & b_r \end{bmatrix} \quad (r = i, j, m)$$

## 2.2.3 单元应力场

根据应力与应变的关系及式(2-14), 可以得到单元的应力场表达式为:

$$\boldsymbol{\sigma} = \mathbf{B} \boldsymbol{\varepsilon} = \mathbf{D} \mathbf{B} \boldsymbol{\delta}^{\textcircled{\text{e}}} = \mathbf{S} \boldsymbol{\delta}^{\textcircled{\text{e}}} \quad (2-16)$$

其中  $\mathbf{S} = \mathbf{D} \mathbf{B}$  为应力矩阵,  $\mathbf{D}$  称为弹性矩阵, 对于弹性力学平面应力问题, 有



$$\mathbf{D} = \frac{E}{(1-\mu^2)} \begin{bmatrix} 1 & \mu & 0 \\ \mu & 1 & 0 \\ 0 & 0 & \frac{1-\mu}{2} \end{bmatrix} \quad (2-17)$$

将应力矩阵表示为分块矩阵的形式,有

$$\mathbf{S} = [\mathbf{S}_i \quad \mathbf{S}_j \quad \mathbf{S}_m] \quad (2-18)$$

其中,

$$\mathbf{S}_r = \mathbf{D}\mathbf{B}_r = \frac{E}{2A(1-\mu^2)} \begin{bmatrix} b_r & \mu c_r \\ \mu b_r & c_r \\ \frac{1-\mu}{2} c_r & \frac{1-\mu}{2} b_r \end{bmatrix} \quad (r=i, j, m) \quad (2-19)$$

对于弹性力学平面应变问题,只需将  $E$  换为  $\frac{E}{1-\mu^2}$ ,  $\mu$  换为  $\frac{\mu}{1-\mu}$ , 本书以后只讨论平面应力问题,对于平面应变问题的处理类似。

由式(2-13)、式(2-19)可以看出,3 结点三角形单元内任意一点的应变和应力都只与  $\mathbf{B}_r$  有关,而  $\mathbf{B}_r$  中的元素又只与  $(x_i, y_i)$  相关,所以他们是常数。因而求出的  $\mathbf{B}$  和  $\mathbf{S}$  为常数矩阵,不随  $x, y$  变化,即三角形单元在单元内任意一点的应变和应力都相同。因此,3 结点三角形单元称为常应变单元。在应变梯度较大的部位,单元划分应适当密集,否则将不能反映应变的真实变化而导致较大的误差。

## 2.2.4 单元刚度矩阵

进行单元分析的主要目的是得到单元的刚度矩阵,得到单元刚度矩阵的方法通常可以利用虚位移原理或极小势能原理。下面我们利用虚位移原理来导出 3 结点三角形单元的刚度矩阵。

设结点产生的虚位移为:

$$\Delta \mathbf{d}^{\circ} = [\Delta u_i \quad \Delta v_i \quad \Delta u_j \quad \Delta v_j \quad \Delta u_m \quad \Delta v_m]^T$$

则单元上任意一点的虚位移为:

$$\Delta \mathbf{d}^{\circ} = \mathbf{N} \Delta \mathbf{d}^{\circ}$$

单元上任意一点的虚应变为:

$$\Delta \boldsymbol{\varepsilon} = \mathbf{B} \Delta \mathbf{d}^{\circ}$$

单元的虚应变能为:

$$\Delta U = \int_V \boldsymbol{\varepsilon}^T \boldsymbol{\sigma} dV = \int_V \Delta \mathbf{d}^{\circ T} \mathbf{B}^T \mathbf{D} \mathbf{B} \Delta \mathbf{d}^{\circ} dV = \Delta \mathbf{d}^{\circ T} \int_V \mathbf{B}^T \mathbf{D} \mathbf{B} dV \Delta \mathbf{d}^{\circ}$$

若单元体内部作用有体积力  $\mathbf{p}_v$ , 单元边界上作用有面力  $\mathbf{p}_s$ , 加上单元的结点荷载, 这些外力所做的虚功为:

$$\begin{aligned} \Delta W &= \Delta \mathbf{d}^{\circ T} \mathbf{F}_d^{\circ} = \int_V \Delta \mathbf{d}^T \mathbf{p}_v dV + \int_S \Delta \mathbf{d}^T \mathbf{p}_s dS \\ &= \Delta \mathbf{d}^{\circ T} \mathbf{F}_d^{\circ} + \int_V \Delta \mathbf{d}^{\circ T} \mathbf{N}^T \mathbf{p}_v dV + \int_S \Delta \mathbf{d}^{\circ T} \mathbf{N}^T \mathbf{p}_s dS \\ &= \Delta \mathbf{d}^{\circ T} \left( \mathbf{F}_d^{\circ} + \int_V \mathbf{N}^T \mathbf{p}_v dV + \int_S \mathbf{N}^T \mathbf{p}_s dS \right) \end{aligned}$$

根据虚位移原理虚功方程,外力所做的虚功等于虚的应变能,即  $\Delta U = \Delta W$ ,有

$$\Delta \delta^{\otimes T} \int_V \mathbf{B}^T \mathbf{D} \mathbf{B} dV \delta^{\otimes} = \Delta \delta^{\otimes T} \left( \mathbf{F}_d^{\otimes} + \int_V \mathbf{N}^T \mathbf{p}_v dV + \int_S \mathbf{N}^T \mathbf{p}_s dS \right) \quad (2-20)$$

由于结点虚位移的任意性,有

$$\int_V \mathbf{B}^T \mathbf{D} \mathbf{B} dV \delta^{\otimes} = \mathbf{F}_d^{\otimes} + \int_V \mathbf{N}^T \mathbf{p}_v dV + \int_S \mathbf{N}^T \mathbf{p}_s dS \quad (2-21)$$

记

$$\int_V \mathbf{B}^T \mathbf{D} \mathbf{B} dV = \mathbf{k}^{\otimes} \quad (2-22)$$

$$\mathbf{F}_d^{\otimes} + \int_V \mathbf{N}^T \mathbf{p}_v dV + \int_S \mathbf{N}^T \mathbf{p}_s dS = \mathbf{F}_d^{\otimes} + \mathbf{F}_E^{\otimes} = \mathbf{F}^{\otimes} \quad (2-23)$$

则式(2-21)可写为:

$$\mathbf{k}^{\otimes} \delta^{\otimes} = \mathbf{F}^{\otimes} \quad (2-24)$$

上式即为描述单元荷载和结点位移之间关系的平衡方程,其中  $\mathbf{k}^{\otimes}$  称为单元刚度矩阵,  $\mathbf{F}_E^{\otimes}$  称为单元等效结点荷载矩阵。在3结点等厚三角形单元中  $\mathbf{B}$  和  $\mathbf{D}$  的分量均为常量,则单元刚度矩阵可以表示为:

$$\mathbf{k}^{\otimes} = \mathbf{B}^T \mathbf{D} \mathbf{B} h A \quad (2-25)$$

其中,  $h$ 、 $A$  分别为单元的厚度和面积。单元刚度矩阵  $\mathbf{k}^{\otimes}$  可以表示为分块矩阵的形式:

$$\mathbf{k}^{\otimes} = \begin{bmatrix} k_{ii} & k_{ij} & k_{im} \\ k_{ji} & k_{jj} & k_{jm} \\ k_{mi} & k_{mj} & k_{mm} \end{bmatrix} \quad (2-26)$$

其中,

$$\mathbf{k}_{rs} = \mathbf{B}_r^T \mathbf{D} \mathbf{B}_s = \begin{bmatrix} k_{rx,rx} & k_{rx,xy} \\ k_{ry,rx} & k_{ry,xy} \end{bmatrix} \quad (r, s = i, j, m)$$

对于平面应力问题,其刚度矩阵的显式为:

$$\mathbf{k}_{rs} = \frac{Eh}{4A(1-\mu^2)} \begin{bmatrix} b_r b_s + \frac{1-\mu}{2} c_r c_s & \mu b_r c_s + \frac{1-\mu}{2} c_r b_s \\ \mu c_r b_s + \frac{1-\mu}{2} b_r c_s & c_r c_s + \frac{1-\mu}{2} b_r b_s \end{bmatrix} \quad (r, s = i, j, m) \quad (2-27)$$

对于平面应变问题,只需将  $E$  换为  $\frac{E}{1-\mu^2}$ ,  $\mu$  换为  $\frac{\mu}{1-\mu}$ 。

## 2.2.5 单元刚度矩阵的性质

从前面的分析可以看出,单元刚度矩阵具有以下性质:

(1) 单元刚度矩阵  $\mathbf{k}^{\otimes}$  为对称矩阵。

(2) 单元刚度矩阵  $\mathbf{k}^{\otimes}$  中的每个元素代表单位杆端位移引起的杆端力。如  $k_{rx,rx}$  表示  $s$  结点在  $x$  方向产生单位位移时,在结点  $r$  的  $x$  方向上需要施加的结点力。

(3) 一般单元的单元刚度矩阵  $\mathbf{k}^{\otimes}$  是奇异矩阵,它的元素组成的行列式等于零,即  $\det \mathbf{k}^{\otimes} = 0$ 。根据奇异矩阵的性质,  $\mathbf{k}^{\otimes}$  没有逆矩阵。也就是说,如果给定单元结点位移  $\delta^{\otimes}$ ,根据式(2-24)可以求出结点荷载  $\mathbf{F}^{\otimes}$  的唯一解,但反过来,如果已知结点荷载  $\mathbf{F}^{\otimes}$ ,则不



能根据  $\delta^{\circ} = (\mathbf{k}^{\circ})^{-1} \mathbf{F}^{\circ}$  来确定杆端位移  $\delta^{\circ}$  的唯一解。因为单元无任何约束, 因此除单元自身变形外, 还可以发生任意的刚体位移。

(4) 单元刚度矩阵  $\mathbf{k}^{\circ}$  具有分块的性质, 即可以用子矩阵表示  $\mathbf{k}^{\circ}$ , 如式(2-26)所示。

## 2.2.6 等效结点荷载的计算

有限单元法分析时只考虑作用在结点上的荷载, 因此如果在单元上作用有荷载, 必须将其移置到结点上成为等效结点荷载。根据圣维南原理, 进行移置时只要遵循静力等效的原则, 就只会对应力分布产生局部影响。如果单元划分越来越密, 这种影响会逐步降低。所谓静力等效是指原荷载与等效结点荷载在虚位移上所做的功相等。

### 1. 集中力的移置

若单元上  $A(x, y)$  点作用有集中荷载  $\mathbf{Q} = [Q_x \quad Q_y]^T$ , 如图 2.6 所示, 则其等效结点荷载为:

$$\mathbf{F}_E^{\circ} = \mathbf{N}^T \mathbf{Q}$$

### 2. 分布体力的移置

如图 2.7 所示, 在均质、等厚的三角形单元  $ijm$  内作用有分布体力  $\mathbf{p}_v = [p_x \quad p_y]^T$ , 由式(2-23)可得其等效结点荷载为:

$$\mathbf{F}_E^{\circ} = \int_V \mathbf{N}^T \mathbf{p}_v dV = h \int_A \mathbf{N}^T \mathbf{p}_v dA$$

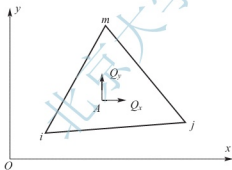


图 2.6 三角形单元上的集中力移置

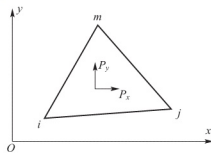


图 2.7 三角形单元上的分布体力移置

例如三角形单元  $ijm$  受到分布体力是沿  $y$  轴负方向的重力荷载, 即  $\mathbf{p}_v = [0 \quad -\gamma]^T$ , 这里  $\gamma$  为容重, 则其等效结点荷载为:

$$\begin{aligned} \mathbf{F}_E^{\circ} &= h \int_A \mathbf{N}^T \mathbf{p}_v dA = h \int_A \begin{bmatrix} N_i & 0 & N_j & 0 & N_m & 0 \end{bmatrix}^T \begin{bmatrix} 0 \\ -\gamma \end{bmatrix} dA \\ &= -h \int_A \begin{bmatrix} 0 & N_i \gamma & 0 & N_j \gamma & 0 & N_m \gamma \end{bmatrix}^T dA \end{aligned}$$

其中,

$$\begin{aligned} \iint N_i dA &= \iint \frac{1}{2A} (a_i + b_i x + c_i y) dA \\ &= \frac{1}{2A} [a_i A + b_i A x_c + c_i A y_c] = A \frac{1}{2A} (a_i + b_i x_c + c_i y_c) = \frac{1}{3} A \end{aligned}$$

式中,  $(x_c, y_c)$  为三角形形心位置。故有

$$F_y = -\frac{1}{3}\gamma Ah$$

同理,  $F_{y_j} = -\frac{1}{3}\gamma Ah$ ,  $F_{y_m} = -\frac{1}{3}\gamma Ah$ 。因此其等效结点荷载为:

$$\mathbf{F}_E^{\oplus} = -\frac{1}{3}\gamma Ah \begin{bmatrix} 0 & 1 & 0 & 1 & 0 \end{bmatrix}^T$$

### 3. 分布面力的移置

设在等厚的三角形单元  $ijm$  的边上分布有面力  $\mathbf{p}_i = [p_x \quad p_y]^T$ , 同样可以得到其等效结点荷载为:

$$\mathbf{F}_E^{\oplus} = \int_S \mathbf{N}^T \mathbf{p}_i dS = h \int_i \mathbf{N}^T \mathbf{p}_i dl$$

如图 2.8(a) 中,  $ij$  边上作用有沿  $x$  方向按三角形分布的荷载, 其等效结点荷载为:

$$\mathbf{F}_E^{\oplus} = \frac{qhl_{ij}}{2} \begin{bmatrix} \frac{1}{3} & 0 & \frac{2}{3} & 0 & 0 & 0 \end{bmatrix}^T$$

式中,  $l_{ij}$  为  $ij$  边的长度。

如图 2.8(b) 中,  $jm$  边上作用有沿  $x$  方向均布面力, 其等效结点荷载为:

$$\mathbf{F}_E^{\oplus} = qhl_{jm} \begin{bmatrix} 0 & 0 & \frac{1}{2} & 0 & \frac{1}{2} & 0 \end{bmatrix}^T$$

式中,  $l_{jm}$  为  $jm$  边的长度。

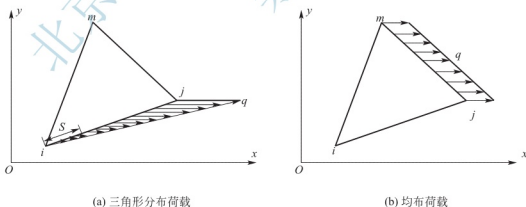


图 2.8 三角形单元上的分布面力移置

## 2.2.7 单元分析的有关计算函数

运用 C/C++ 语言编写有关平面 3 结点三角形单元的计算函数, 本部分程序由两大部分组成, 一部分是基本程序, 本书所有程序都可以调用的函数, 包括分配和释放二维数组



内存的函数、矩阵乘法和转置的计算函数;另一部分是专门针对平面3结点三角形单元的程序,包括几何矩阵、弹性矩阵、应力矩阵、单元刚度矩阵的计算函数。

### 1. 分配和释放二维数组内存的函数

```
float**Alloc2Float(int n1,int n2)
```

```
/* -----
```

功能:分配二维实型数组存储空间,  $a[n1][n2]$

```
-----
```

输入:  $n1$ :二维数组的第一维,  $a[n1][n2]$

$n2$ :二维数组的第二维,  $a[n1][n2]$

返回:指向二维数组空间的二维指针

```
-----*/
```

```
{
    int i,size;
    void**a1;
    if(n2<=0) n2=n1;
    size=sizeof(float);
    a1=(void**)malloc(n1*sizeof(void*));
    a1[0]=(void*)malloc(n1*n2*size);
    for (i=0;i<n1;i++)
        a1[i]=(char*)a1[0]+size*n2*i;
    return (float**)a1;
}
```

```
void free2float(float **p)
```

```
{
    free(p[0]);
    free(p);
}
```

### 2. 矩阵乘法和转置的计算函数

```
void MatrixMul(float**a,float**b,float**c,int n,int k,int m)
```

```
/* -----
```

功能:实现矩阵相加,  $a*b=c$

```
-----
```

输入:

$a$ :二维数组,  $a[n][k]$

$b$ :二维数组,  $b[k][m]$

$n$ :第一个矩阵的行数

$m$ :第二个矩阵的列数

$k$ :第一个矩阵的列数、第二个矩阵的行数

输出:

```

c:二维数组,c[n][m]
-----*/
{
    int i,j,l;

    for(i=0;i<n;i++){
        for(j=0;j<m;j++){
            c[i][j]=0.0;
            for(l=0;l<k;l++){
                c[i][j]+=a[i][l]*b[l][j];
            }
        }
    }
}

```

```
void MatrixTran(float**a,float**b,int n,int m)
```

```
/* -----
```

功能:实现矩阵转置

```
-----*/
```

输入:

a:二维数组,a[n][m]

n:矩阵的行数

m:矩阵的列数

输出:

b:二维数组,存放转置后的矩阵,b[m][n]

```
-----*/
```

```

{
    int i,j;

    for(i=0;i<n;i++){
        for(j=0;j<m;j++){
            b[j][i]=a[i][j];
        }
    }
}

```

### 3. 几何矩阵的计算程序

```
void Plane3Node_B(float xi,float yi,float xj,float yj,float xm,float ym,float **B)
```

```
/* -----
```

功能:计算平面 3 结点三角形单元的几何矩阵

```
-----*/
```

输入:

xi,yi,xj,yj,xm,ym:分别为三个结点的坐标



输出:

B:二维数组,存放几何矩阵,  $B[3][6]$ ,调用该程序前 B 必须分配内存

```

-----*/
{
    int i,j;
    float ai,aj,am,bi,bj,bm,ci,cj,cm;
    float A2;
    ai=xj*ym-xm*yj;aj=xm*yi-xi*ym;am=xi*yj-xj*yi;
    bi=yj-ym;bj=ym-yi;bm=yi-yj;
    ci=-xj+xm;cj=-xm+xi;cm=-xi+xj;
    A2=ai+aj+am;
    for(i=0;i<3;i++){
        for(j=0;j<6;j++) B[i][j]=0.0;
    }
    B[0][0]=bi/A2; B[0][2]=bj/A2; B[0][4]=bm/A2;
    B[1][1]=ci/A2; B[1][3]=cj/A2; B[1][5]=cm/A2;
    B[2][0]=ci/A2; B[2][2]=cj/A2; B[2][4]=cm/A2;
    B[2][1]=bi/A2; B[2][3]=bj/A2; B[2][5]=bm/A2;
}

```

#### 4. 弹性矩阵的计算程序

```
void plane_elastic_matrix(float E,float mu,float**D,int flag)
```

/\*

功能:计算平面单元的弹性矩阵(适应于所有平面弹性单元)

-----\*/

输入:

E:弹性模量

mu:泊松比

flag:>0 平面应力问题;<= 0 平面应变问题

输出:

D:二维数组,存放弹性矩阵,  $B[3][3]$ ,调用该程序前 D 必须分配内存

-----\*/

```

{
    int i,j;
    float E1,mul,coef;

    if(flag>0){ // 平面应力问题
        E1=E;
        mul=mu;
    }else{ // 平面应变问题
        E1=E/(1-mu*mu);
        mul=mu/(1-mu);
    }
}

```



```

D[0][0]=1.0; D[0][1]=mul; D[0][2]=0.0;
D[1][0]=mul; D[1][1]=1.0; D[1][2]=0.0;
D[2][0]=0.0; D[2][1]=0.0; D[2][2]=(1-mul)/2.0;
coef=E1/(1-mul*mul);
for (i=0;i<3;i++){
    for (j=0;j<3;j++){
        D[i][j]*=coef;
    }
}

```

### 5. 应力矩阵的计算程序

```

void Plane3Node_S(float xi,float yi,float xj,float yj,float xm,float ym,float E,
    float mu,float **S,int flag)

```

/\* -----

功能:计算平面 3 结点三角形单元的应力矩阵  $S=D*B$

-----

输入:

xi, yi, xj, yj, xm, ym: 分别为三个结点的坐标

E: 弹性模量

mu: 泊松比

flag: >0 平面应力问题; <=0 平面应变问题

输出:

S: 二维数组, 存放几何矩阵,  $S[3][6]$ , 调用该程序前 S 必须分配内存

----- \*/

```

{
    float**B=NULL;
    float**D=NULL;

    B=Alloc2Float(3,6);
    D=Alloc2Float(3,3);
    Plane3Node_B(xi,yi,xj,yj,xm,ym,B);
    Plane3Node_D(E,mu,D,flag);
    MatrixMul(D,B,3,3,6,S);
    Free2Float(B);
    Free2Float(D);
}

```

### 6. 单元刚度矩阵的计算程序

```

void Plane3Node_ke(float xi,float yi,float xj,float yj,float xm,float ym,float E0,
    float mu0,float h,float**ke,int flag)

```

/\* -----

功能:计算平面 3 结点三角形单元的单元刚度矩阵

-----



输入:

$x_i, y_i$ : 单元  $i$  结点  $x, y$  坐标

$x_j, y_j$ : 单元  $j$  结点  $x, y$  坐标

$x_m, y_m$ : 单元  $m$  结点  $x, y$  坐标

$E$ : 材料弹性模量

$\mu$ : 泊松比

$h$ : 单元厚度

$flag$ :  $>0$  平面应力问题;  $\leq 0$  平面应变问题

输出:

$ke$ : 二维数组,  $ke[6][6]$ , 单元刚度矩阵

```

-----*/
{
    int i, j;
    float tmp, mu2;
    float bi, bj, bm, ci, cj, cm;
    float E, mu, tmp;
    bi = yj - ym;    bj = ym - yi;    bm = yi - yj;
    ci = -xj + xm;    cj = -xm + xi;    cm = -xi + xj;
    A = (bj * cm - bm * cj) / 2.0;
    if (flag > 0) { // 平面应力问题
        E = E0;    mu = mu0;
    } else { // 平面应变问题
        E = E0 / (1 - mu0 * mu0);    mu = mu0 / (1 - mu0);
    }
    mu2 = (1.0 - mu) / 2.0;
    ke[0][0] = bi * bi + mu2 * ci * ci;    ke[0][1] = mu * bi * ci + mu2 * ci * bi; // kii
    ke[1][0] = k[0][1];    ke[1][1] = ci * ci + mu2 * bi * bi;
    ke[0][2] = bi * bj + mu2 * ci * cj;    ke[0][3] = mu * bi * cj + mu2 * ci * bj; // kij
    ke[1][2] = mu * ci * bj + mu2 * bi * cj;    ke[1][3] = ci * cj + mu2 * bi * bj;
    ke[0][4] = bi * bm + mu2 * ci * cm;    ke[0][5] = mu * bi * cm + mu2 * ci * bm; // kim
    ke[1][4] = mu * ci * bm + mu2 * bi * cm;    ke[1][5] = ci * cm + mu2 * bi * bm;
    ke[2][2] = bj * bj + mu2 * cj * cj;    ke[2][3] = mu * bj * cj + mu2 * cj * bj; // kjj
    ke[3][2] = k[2][3];    ke[3][3] = cj * cj + mu2 * bj * bj;
    ke[2][4] = bj * bm + mu2 * cj * cm;    ke[2][5] = mu * bj * cm + mu2 * cj * bm; // kjm
    ke[3][4] = mu * cj * bm + mu2 * bj * cm;    ke[3][5] = cj * cm + mu2 * bj * bm;
    ke[4][4] = bm * bm + mu2 * cm * cm;    ke[4][5] = mu * bm * cm + mu2 * cm * bm; // kmn
    ke[5][4] = k[4][5];    ke[5][5] = cm * cm + mu2 * bm * bm;

    tmp = E * h / (4 * A * (1 - mu * mu));
    for (i = 0; i < 6; i++) {
        for (j = i; j < 6; j++) ke[i][j] = tmp * ke[i][j];
    }
    for (i = 1; i < 6; i++) {

```

```

for(j=0;j<i;j++) ke[i][j]=ke[j][i];
}
}

```

## 2.2.8 整体分析

整体分析的目的是将单元分析得到的结果进行综合,得到整个结构的平衡方程,包括将单元刚度矩阵集成为整体刚度矩阵,并形成整体荷载矩阵。

### 1. 整体刚度矩阵

将单元刚度矩阵的元素集成到整体刚度矩阵之中通常采用刚度集成法。首先求出各单元的贡献矩阵,然后将它们叠加起来形成整体刚度矩阵。但这样处理在实际中很少采用,因为在编程过程时需先将各单元的贡献矩阵储存起来,而各单元贡献矩阵的阶数与整体刚度矩阵的阶数相同,因此占用的空间非常巨大,不利于节约资源,并且在实际中有可能耗尽所有的资源。故在实际中并不是采用贡献矩阵法,而是利用各单元的定位数组,采用“边定位,边累加”的方法。

所谓单元的定位数组,就是将单元 $\textcircled{e}$ 的结点位移编码按照结点顺序排成一行形成的一个一维数组。如图2.9所示的三角形单元,其局部结点码与整体结点编号的对应关系为: $i \rightarrow 3$ 、 $j \rightarrow 6$ 、 $m \rightarrow 1$ ,1号结点位移码为1、2,3号结点的位移码为5、6,6号结点的位移码为11、12,则单元定位数组可以写成如下的形式:

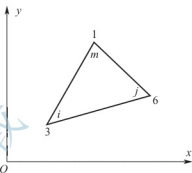
$$m^{\textcircled{e}} = (5 \quad 6 \quad 11 \quad 12 \quad 1 \quad 2)$$

设上述单元对应的单元刚度矩阵和定位数组的元素表示成如下的形式:

$$k^{\textcircled{e}} = \begin{array}{c} \begin{array}{cc|cc|cc} 5 & 6 & 11 & 12 & 1 & 2 \\ \hline k_{11} & k_{12} & k_{13} & k_{14} & k_{15} & k_{16} \\ k_{21} & k_{22} & k_{23} & k_{24} & k_{25} & k_{26} \\ k_{31} & k_{32} & k_{33} & k_{34} & k_{35} & k_{36} \\ k_{41} & k_{42} & k_{43} & k_{44} & k_{45} & k_{46} \\ k_{51} & k_{52} & k_{53} & k_{54} & k_{55} & k_{56} \\ k_{61} & k_{62} & k_{63} & k_{64} & k_{65} & k_{66} \end{array} \begin{array}{l} \textcircled{e} \\ 5 \\ 6 \\ 11 \\ 12 \\ 1 \\ 2 \end{array} \end{array}$$

则单元刚度矩阵的元素在整体刚度矩阵中的位置可以根据定位数组确定:右边的定位数组元素确定了该元素在整体刚度矩阵中所处的行号,上部的定位数组元素确定了该元素在整体刚度矩阵中所处的列号,集成时将该元素累加到整体刚度矩阵中对应元素上。上述单元刚度矩阵元素在整体刚度矩阵中的对应关系为:

图 2.9 局部结点码与整体结点编号的对应关系





$k_{11}^{\textcircled{1}} \rightarrow K_{35}$	$k_{12}^{\textcircled{1}} \rightarrow K_{36}$	$k_{13}^{\textcircled{1}} \rightarrow K_{5,11}$	$k_{14}^{\textcircled{1}} \rightarrow K_{5,12}$	$k_{15}^{\textcircled{1}} \rightarrow K_{51}$	$k_{16}^{\textcircled{1}} \rightarrow K_{52}$
$k_{21}^{\textcircled{1}} \rightarrow K_{65}$	$k_{22}^{\textcircled{1}} \rightarrow K_{66}$	$k_{23}^{\textcircled{1}} \rightarrow K_{6,11}$	$k_{24}^{\textcircled{1}} \rightarrow K_{6,12}$	$k_{25}^{\textcircled{1}} \rightarrow K_{61}$	$k_{26}^{\textcircled{1}} \rightarrow K_{62}$
$k_{31}^{\textcircled{1}} \rightarrow K_{11,5}$	$k_{32}^{\textcircled{1}} \rightarrow K_{11,6}$	$k_{33}^{\textcircled{1}} \rightarrow K_{11,11}$	$k_{34}^{\textcircled{1}} \rightarrow K_{11,12}$	$k_{35}^{\textcircled{1}} \rightarrow K_{11,1}$	$k_{36}^{\textcircled{1}} \rightarrow K_{11,2}$
$k_{41}^{\textcircled{1}} \rightarrow K_{12,5}$	$k_{42}^{\textcircled{1}} \rightarrow K_{12,6}$	$k_{43}^{\textcircled{1}} \rightarrow K_{12,11}$	$k_{44}^{\textcircled{1}} \rightarrow K_{12,12}$	$k_{45}^{\textcircled{1}} \rightarrow K_{12,1}$	$k_{46}^{\textcircled{1}} \rightarrow K_{12,2}$
$k_{51}^{\textcircled{1}} \rightarrow K_{15}$	$k_{52}^{\textcircled{1}} \rightarrow K_{16}$	$k_{53}^{\textcircled{1}} \rightarrow K_{1,11}$	$k_{54}^{\textcircled{1}} \rightarrow K_{1,12}$	$k_{55}^{\textcircled{1}} \rightarrow K_{11}$	$k_{56}^{\textcircled{1}} \rightarrow K_{12}$
$k_{61}^{\textcircled{1}} \rightarrow K_{25}$	$k_{62}^{\textcircled{1}} \rightarrow K_{26}$	$k_{63}^{\textcircled{1}} \rightarrow K_{2,11}$	$k_{64}^{\textcircled{1}} \rightarrow K_{2,12}$	$k_{65}^{\textcircled{1}} \rightarrow K_{21}$	$k_{66}^{\textcircled{1}} \rightarrow K_{22}$

实际计算时,从第1单元开始,计算其单元刚度矩阵,根据上面的规则将其元素累加到整体刚度矩阵中去,然后进行下一单元的计算,直至最后一个单元计算完成后就得到了整个结构的整体刚度矩阵。下面是将单元刚度矩阵集成为整体刚度矩阵的函数,注意 C/C++ 语言的数组索引号是从 0 开始的。

```
void MakeAK (float** ke, int* me, int n, float** AK)
/* -----
功能: 将单元刚度矩阵元素放到整体刚度矩阵中。该函数适应于所有类型的单元
----- */

输入:
    ke: 整体坐标系下的单元刚度矩阵 ke[n][n]
    me: 单元定位数组 me[n], 位移编码从 1 开始
    n: 单元刚度矩阵的大小
输出:
    AK: 整体刚度矩阵 AK[m][m]
----- */
{
    int i, j;

    for (i = 0; i < n; i++) {
        if (me[i] <= 0) continue;
        for (j = 0; j < n; j++) {
            if (me[j] <= 0) continue;
            AK[me[i]-1][me[j]-1] += ke[i][j];
        }
    }
}
```

从上面的分析可以看出,单元刚度矩阵中的四个元素  $k_{11}^{\textcircled{1}}$ 、 $k_{12}^{\textcircled{1}}$ 、 $k_{13}^{\textcircled{1}}$ 、 $k_{14}^{\textcircled{1}}$  形成的子块矩阵  $K_e$  在整体刚度矩阵中依然在一起形成子块矩阵(其他元素具有类似形式)。因此若单元刚度矩阵用分块矩阵的形式表示,则集成时可以一次将子块累加到整体刚度矩阵对应的子块位置。

如图 2.10 所示的三角形板划分为四个 3 结点三角形单元,其单元结点的局部编号与整体编号的对应关系如图所示。单元刚度矩阵写成式(2-26)所示的  $3 \times 3$  的子块矩阵形式,同时整体刚度矩阵也写成子块矩阵的形式,本例中其大小为  $6 \times 6$  的子块,其元素用  $K_n$  表示。则可以根据单元的结点码将单元刚度矩阵的子块累加到整体刚度矩阵的对应子

块上。如第①单元的刚度矩阵写成如下形式：

$$k^{(1)} = \begin{bmatrix} 3 & 1 & 2 \\ k_{ii} & k_{ij} & k_{im} \\ k_{ji} & k_{jj} & k_{jm} \\ k_{mi} & k_{mj} & k_{mm} \end{bmatrix} \begin{matrix} 3 \\ 1 \\ 2 \end{matrix}$$

则矩阵右边的结点码确定了对应元素在整体刚度矩阵中所处的行，上部的结点码确定了对应元素在整体刚度矩阵中所处的列。因此其子块元素在对应整体刚度矩阵中的位置如下：

$$\begin{aligned} k_{ii}^{(1)} &\rightarrow K_{33} & k_{ij}^{(1)} &\rightarrow K_{31} & k_{im}^{(1)} &\rightarrow K_{32} \\ k_{ji}^{(1)} &\rightarrow K_{13} & k_{jj}^{(1)} &\rightarrow K_{11} & k_{jm}^{(1)} &\rightarrow K_{12} \\ k_{mi}^{(1)} &\rightarrow K_{23} & k_{mj}^{(1)} &\rightarrow K_{21} & k_{mm}^{(1)} &\rightarrow K_{22} \end{aligned}$$

图 2.10 整体分析

第②、③、④单元的刚度矩阵写成如下形式：

$$k^{(2)} = \begin{bmatrix} 5 & 2 & 4 \\ k_{ii} & k_{ij} & k_{im} \\ k_{ji} & k_{jj} & k_{jm} \\ k_{mi} & k_{mj} & k_{mm} \end{bmatrix} \begin{matrix} 5 \\ 2 \\ 4 \end{matrix} \quad k^{(3)} = \begin{bmatrix} 5 & 3 & 2 \\ k_{ii} & k_{ij} & k_{im} \\ k_{ji} & k_{jj} & k_{jm} \\ k_{mi} & k_{mj} & k_{mm} \end{bmatrix} \begin{matrix} 5 \\ 3 \\ 2 \end{matrix} \quad k^{(4)} = \begin{bmatrix} 6 & 3 & 5 \\ k_{ii} & k_{ij} & k_{im} \\ k_{ji} & k_{jj} & k_{jm} \\ k_{mi} & k_{mj} & k_{mm} \end{bmatrix} \begin{matrix} 6 \\ 3 \\ 5 \end{matrix}$$

第②单元子块元素在对应整体刚度矩阵中的位置如下：

$$\begin{aligned} k_{ii}^{(2)} &\rightarrow K_{55} & k_{ij}^{(2)} &\rightarrow K_{52} & k_{im}^{(2)} &\rightarrow K_{54} \\ k_{ji}^{(2)} &\rightarrow K_{25} & k_{jj}^{(2)} &\rightarrow K_{22} & k_{jm}^{(2)} &\rightarrow K_{24} \\ k_{mi}^{(2)} &\rightarrow K_{45} & k_{mj}^{(2)} &\rightarrow K_{42} & k_{mm}^{(2)} &\rightarrow K_{44} \end{aligned}$$

第③单元子块元素在对应整体刚度矩阵中的位置如下：

$$\begin{aligned} k_{ii}^{(3)} &\rightarrow K_{35} & k_{ij}^{(3)} &\rightarrow K_{33} & k_{im}^{(3)} &\rightarrow K_{32} \\ k_{ji}^{(3)} &\rightarrow K_{15} & k_{jj}^{(3)} &\rightarrow K_{13} & k_{jm}^{(3)} &\rightarrow K_{12} \\ k_{mi}^{(3)} &\rightarrow K_{25} & k_{mj}^{(3)} &\rightarrow K_{23} & k_{mm}^{(3)} &\rightarrow K_{22} \end{aligned}$$

第④单元子块元素在对应整体刚度矩阵中的位置如下：

$$\begin{aligned} k_{ii}^{(4)} &\rightarrow K_{66} & k_{ij}^{(4)} &\rightarrow K_{63} & k_{im}^{(4)} &\rightarrow K_{65} \\ k_{ji}^{(4)} &\rightarrow K_{36} & k_{jj}^{(4)} &\rightarrow K_{33} & k_{jm}^{(4)} &\rightarrow K_{35} \\ k_{mi}^{(4)} &\rightarrow K_{56} & k_{mj}^{(4)} &\rightarrow K_{53} & k_{mm}^{(4)} &\rightarrow K_{55} \end{aligned}$$

这样，该三角形板的整体刚度矩阵为：

$$\begin{bmatrix} 1 & 2 & 3 & 4 & 5 & 6 \\ k_{ij}^{(1)} & & & & & \\ k_{mj}^{(1)} & k_{mm}^{(1)} + k_{jj}^{(2)} + k_{mm}^{(3)} & & & & \\ k_{ij}^{(1)} & k_{im}^{(1)} + k_{jm}^{(2)} & k_{ii}^{(1)} + k_{jj}^{(3)} + k_{jj}^{(4)} & & & \\ 0 & k_{mj}^{(2)} & 0 & & k_{mm}^{(2)} & \\ 0 & k_{ij}^{(2)} + k_{ji}^{(3)} & k_{ij}^{(3)} + k_{ji}^{(4)} & & k_{ii}^{(2)} + k_{jj}^{(4)} + k_{ii}^{(1)} & \\ 0 & 0 & k_{ij}^{(4)} & 0 & k_{im}^{(4)} & k_{ii}^{(4)} \end{bmatrix}$$



## 2. 整体刚度矩阵的性质

## 1) 对称性

由单元刚度矩阵的对称性和整体刚度矩阵的集成规则,可知整体刚度矩阵必为对称矩阵。利用对称性,计算机编程计算时只需保存整体矩阵上三角(或下三角)部分的系数即可,从而可使存储量大约节省一半。

## 2) 奇异性

与单元分析类似,整体分析时同样没有考虑结构的约束条件,因此其整体刚度矩阵依然为奇异矩阵,故仍然不能对整体刚度方程进行求解。

## 3) 稀疏性

当结构离散为单元时,就某个结点而言,与其联系的结点数总比结点总数少很多。所以单元刚度矩阵的多数元素为零,非零元素的个数只占较小的部分。

## 4) 带状性

整体刚度矩阵的非零元素分布在以对角线为中心的带形区域内,这种矩阵称为带形矩阵。在包括对角线元素的半个带形区域内,每行具有的元素个数叫做半带宽,用  $D$  表示。

$$D = (\text{单元结点编码的最大差值} + 1) \times \text{结点自由度数}$$

利用单元刚度矩阵的带状性,可以进一步节约存储空间。如图 2.11 所示的网格划分相同,但结点编号不同,则其带宽不一样。图 2.11(a) 其半带宽为 6,采用二维等带宽数组存储整体刚度矩阵只需要的二维数组。而图 2.11(b) 其半带宽为 10,采用二维等带宽数组存储整体刚度矩阵需要  $16 \times 10$  的二维数组。因此对结点进行编码时要尽量做到各单元的结点编码靠近。

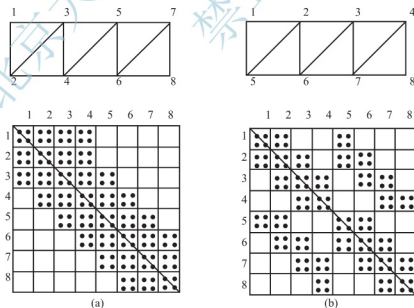


图 2.11 带宽计算

设整体刚度矩阵  $K$  为一个  $n \times n$  的矩阵,最大半带宽为  $m$ 。进行存储时,把整体刚度矩阵  $K$  每行中的上半带元素取出,保存在另一个矩阵  $K^*$  的对应行中,得到一个  $n \times m$  矩阵  $K^*$ 。若把元素在  $K$  矩阵中的行、列编码记为  $r, s$ ,在矩阵  $K^*$  中的行、列编码记为  $r^*, s^*$ 、

$s^*$ , 对应关系如下:

$$r^* = r, \quad s^* = s - r + 1$$

### 3. 整体荷载矩阵

整体荷载矩阵由两部分荷载组成: 结点荷载和等效结点荷载。结点荷载可以根据荷载作用的结点位移方向对应的位移码放入整体荷载矩阵中, 即荷载作用在第  $n$  个位移方向, 则该荷载在整体荷载矩阵中的位置为第  $n$  个元素。如图 2.12 所示的结构作用有 3 个荷载, 则其整体结点荷载矩阵为:

$$\mathbf{F}_d = [0 \quad 0 \quad 0 \quad 0 \quad P_1 \quad P_2 \quad 0 \quad 0 \quad 0 \quad -P_3 \quad 0 \quad 0]^T$$

等效结点荷载可以根据定位数组将其元素累加到整体荷载矩阵中。设单元的等效结点荷载矩阵为:

$$\mathbf{F}_E^{\text{②}} = [F_{xi} \quad F_{yi} \quad F_{xj} \quad F_{yj} \quad F_{xm} \quad F_{ym}]^T$$

其单元定位数组为:

$$m^{\text{②}} = (n_1 \quad n_2 \quad n_3 \quad n_4 \quad n_5 \quad n_6)$$

则等效结点荷载矩阵的元素在整体荷载矩阵中的位置为:

$$F_{xi} \rightarrow F_E(n_1) \quad F_{yi} \rightarrow F_E(n_2) \quad F_{xj} \rightarrow F_E(n_3)$$

$$F_{yj} \rightarrow F_E(n_4) \quad F_{xm} \rightarrow F_E(n_5) \quad F_{ym} \rightarrow F_E(n_6)$$

如图 2.12 所示的结构在 24 边上作用有均布荷载  $q$ , 设其边长为  $l$ , 单元厚度为  $h$ , 则其等效结点荷载为:

$$\mathbf{F}_E^{\text{②}} = [0 \quad 0 \quad qhl/2 \quad 0 \quad qhl/2 \quad 0]^T$$

单元定位数组为:

$$m^{\text{②}} = (9 \quad 10 \quad 3 \quad 4 \quad 7 \quad 8)$$

故其整体等效结点荷载矩阵为:

$$\mathbf{F}_E = [0 \quad 0 \quad ql/2 \quad 0 \quad 0 \quad 0 \quad ql/2 \quad 0 \quad 0 \quad 0 \quad 0 \quad 0]^T$$

整体荷载矩阵为:

$$\mathbf{F} = \mathbf{F}_d + \mathbf{F}_E = [0 \quad 0 \quad ql/2 \quad 0 \quad P_1 \quad P_2 \quad ql/2 \quad 0 \quad 0 \quad -P_3 \quad 0 \quad 0]^T$$

### 4. 将等效结点荷载矩阵元素放入整体荷载矩阵中

将等效结点荷载矩阵元素放入整体荷载矩阵中的函数如下:

```
void MakeAF(float* fe, int* me, int n, float* AF, int m)
```

```
/*
```

```
功能: 将单元结点荷载矩阵元素放到整体荷载矩阵中
```

```
输入:
```

```
fe: 整体坐标系下的单元结点荷载矩阵 fe[n]
```

```
me: 单元定位数组 me[n], 位移编码从 1 开始
```

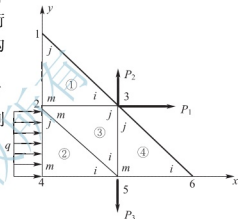


图 2.12 整体荷载矩阵计算



n:单元结点荷载矩阵的大小

输出:

AF:整体结点荷载矩阵 AF[m]

```

-----*/
{
    int i;

    for(i=0;i<n;i++){
        if(me[i]<=0) continue;
        AF[me[i]-1]+=fe[i];
    }
}

```

## 2.2.9 约束条件的处理

整体刚度矩阵  $\mathbf{K}$  和整体荷载矩阵  $\mathbf{F}$  求出后, 就得到整个结构结点荷载与结点位移之间的关系式:

$$\mathbf{K}\boldsymbol{\delta}=\mathbf{F} \quad (2-28)$$

显然,  $\mathbf{F}$  中结点力的个数和排列顺序应与  $\boldsymbol{\delta}$  中的位移一一对应。由于整体刚度矩阵的奇异性, 必须考虑边界约束条件, 排除刚体位移, 才能由式(2-28)求解结点位移。引入边界条件的处理方法通常有三种: 对角线元素改 1 法、乘大数法、降阶法。

### 1. 对角线元素改 1 法

将整体刚度方程(2-28)展开为:

$$\begin{bmatrix} k_{11} & k_{12} & \cdots & k_{1r} & \cdots & k_{1n} \\ k_{21} & k_{22} & \cdots & k_{2r} & \cdots & k_{2n} \\ \vdots & \vdots & \ddots & \vdots & \vdots & \vdots \\ k_{r1} & k_{r2} & \cdots & k_{rr} & \cdots & k_{rn} \\ \vdots & \vdots & \vdots & \vdots & \ddots & \vdots \\ k_{n1} & k_{n2} & \cdots & k_{nr} & \cdots & k_{nn} \end{bmatrix} \begin{bmatrix} u_1 \\ u_2 \\ \vdots \\ u_r \\ \vdots \\ u_n \end{bmatrix} = \begin{bmatrix} F_1 \\ F_2 \\ \vdots \\ F_r \\ \vdots \\ F_n \end{bmatrix}$$

式中,  $n$  为结构的总自由度数。若第  $r$  个自由度方向的位移分量已知, 记为  $u_r^*$ , 则将整体刚度矩阵主对角线元素  $k_{rr}$  改为 1, 第  $r$  行和第  $r$  列的元素其余元素均改为 0; 同时将荷载矩阵中第  $r$  个元素  $F_r$  改为  $u_r^*$ , 其余元素在原来的基础上减去  $k_{ir}u_r^*$  ( $i=1, 2, \cdots, n$ )。用公式表达为:

$$F_i = \begin{cases} u_r^* & (i=r) \\ F_i - k_{ir}u_r^* & (i \neq r) \end{cases}$$

$$k_{ir} = k_{ri} = \begin{cases} 0 & (i \neq r) \\ 1 & (i=r) \end{cases}$$

修改后的整体刚度方程为:



$$\begin{bmatrix} k_{11} & k_{12} & \cdots & 0 & \cdots & k_{1n} \\ k_{21} & k_{22} & \cdots & 0 & \cdots & k_{2n} \\ \vdots & \vdots & \ddots & \vdots & \vdots & \vdots \\ 0 & 0 & \cdots & 1 & \cdots & 0 \\ \vdots & \vdots & \vdots & \vdots & \ddots & \vdots \\ k_{n1} & k_{n2} & \cdots & 0 & \cdots & k_{nn} \end{bmatrix} \begin{bmatrix} u_1 \\ u_2 \\ \vdots \\ u_r \\ \vdots \\ u_n \end{bmatrix} = \begin{bmatrix} F_1 - k_{1r} u_r^* \\ F_2 - k_{2r} u_r^* \\ \vdots \\ u_r^* \\ \vdots \\ F_n - k_{nr} u_r^* \end{bmatrix}$$

当有  $m$  个约束条件时，可以依次进行处理，最终得到整个结构的整体方程进行求解。此法对于已知  $u_r^* = 0$  的情况显得比较简单，此时荷载矩阵只需要处理第  $r$  个元素。

### 2. 乘大数法

同样，若第  $r$  个自由度方向的位移分量已知，记为  $u_r^*$ ，则在整体刚度矩阵主对角线元素  $k_{rr}$  的前面乘以一个非常大的数  $N$  ( $N=10^{20} \sim 10^{30}$ )，并将荷载矩阵中第  $r$  个元素  $F_r$  改为  $Nk_{rr}u_r^*$ ，整体刚度矩阵和荷载矩阵的其余元素不变。修改后的整体刚度方程为：

$$\begin{bmatrix} k_{11} & k_{12} & \cdots & k_{1r} & \cdots & k_{1n} \\ k_{21} & k_{22} & \cdots & k_{2r} & \cdots & k_{2n} \\ \vdots & \vdots & \ddots & \vdots & \vdots & \vdots \\ k_{r1} & k_{r2} & \cdots & Nk_{rr} & \cdots & k_{rn} \\ \vdots & \vdots & \vdots & \vdots & \ddots & \vdots \\ k_{n1} & k_{n2} & \cdots & k_{nr} & \cdots & k_{nn} \end{bmatrix} \begin{bmatrix} u_1 \\ u_2 \\ \vdots \\ u_r \\ \vdots \\ u_n \end{bmatrix} = \begin{bmatrix} F_1 \\ F_2 \\ \vdots \\ Nk_{rr}u_r^* \\ \vdots \\ F_n \end{bmatrix}$$

此方法修改更加简单，通常适应于已知位移约束不为 0 的情况。

### 3. 降阶法

若第  $r$  个自由度方向的位移分量为 0，则将整体刚度矩阵第  $r$  行和第  $r$  列的元素去掉，第  $r$  行后的元素上移一行，第  $r$  列右边的元素左移一列。同时，荷载矩阵和结点位移矩阵去掉第  $r$  个元素。这样，整体刚度矩阵的大小就减少了一阶，整个方程的未知数减少了一个，故该方法称为降阶法。由于在处理约束条件时需要不断调整整体刚度矩阵的大小，因此该方法不利于计算机处理，但对于手工计算简单的问题比较适应。

### 4. 对角线元素改 1 法、乘大数法的计算程序

```
void restrict_condition_AKF(float**AK, float*AF, float n, int r, float ur)
/*
```

功能:处理约束条件, ur=0 时采用改 1 法, 否则采用乘大数法

输入:

AK:整体刚度矩阵, AK[n][n]

AF:整体荷载矩阵 AF[n]

n:结构总自由度数

r:约束条件的位置, r 从 1 开始

ur:已知位移大小

输出:

AK:修改后的整体刚度矩阵



AF:修改后的整体荷载矩阵

```

-----*/
{
    int i;
    int method;
    float N=1.0e30;

    if (r<1 || r>n) return;
    if (ur==0.0f) method=1;
    else method=0;
    if (method==1) { // 对角线元素改1法
        AF[r-1]=ur;
        for (i=0; i<n; i++) AK[i][r-1]=0.0;
        for (i=0; i<n; i++) AK[r-1][i]=0.0;
        AK[r-1][r-1]=1.0;
    } else { // 乘大数法
        AK[r-1][r-1]=N*AK[r-1][r-1];
        AF[r-1]=AK[r-1][r-1]*ur;
    }
}
}

```

## 2.2.10 实例计算

如图 2.13(a) 所示的悬臂梁, 自由端作用有均布力  $P$ , 设梁的厚度  $h=1\text{m}$ , 泊松比  $\mu=\frac{1}{4}$ 。试运用有限单元法进行应力分析。

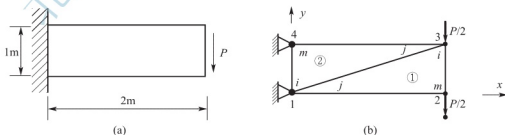


图 2.13 悬臂梁的计算

### 1. 划分单元、建立坐标系、准备数据

为了计算简单, 这里将其划分为 2 个三角形单元, 建立如图 2.13(b) 所示的坐标系, 并对结点进行编号, 其局部编号和整体编号的对应关系见图。将均布荷载分配到 2、3 两个结点上。

### 2. 计算单元刚度矩阵

单元①:  $b_i = y_j - y_m = 0$      $b_j = y_m - y_i = -1$      $b_m = y_i - y_j = 1$

$$c_i = -x_j + x_m = 2 \quad c_j = -x_m + x_i = 0 \quad c_m = -x_i + x_j = -2$$

$$\text{单元②: } b_i = y_j - y_m = 0 \quad b_j = y_m - y_i = 1 \quad b_m = y_i - y_j = -1$$

$$c_i = -x_j + x_m = -2 \quad c_j = -x_m + x_i = 0 \quad c_m = -x_i + x_j = 2$$

根据式(2-26)和式(2-27), 计算两个单元的单元刚度矩阵为:

$$k^{(1)} = k^{(2)} = \frac{E}{30} \begin{bmatrix} 12 & 0 & 0 & -6 & -12 & 6 \\ 0 & 32 & -4 & 0 & 4 & -32 \\ 0 & -4 & 8 & 0 & -8 & 4 \\ -6 & 0 & 0 & 3 & 6 & -3 \\ -12 & 4 & -8 & 6 & 20 & -10 \\ 6 & -32 & 4 & -3 & -10 & 35 \end{bmatrix} \begin{matrix} \downarrow \\ (3) \quad (1) \\ (1) \quad (3) \\ (2) \quad (4) \end{matrix}$$

3. 计算整体刚度矩阵

$$K = \frac{E}{30} \begin{bmatrix} 20 & 0 & -8 & 4 & 0 & -10 & -12 & 6 \\ 0 & 35 & 6 & -3 & -10 & 0 & 4 & -32 \\ -8 & 6 & 20 & -10 & -12 & 4 & 0 & 0 \\ 4 & -3 & -10 & 35 & 6 & -32 & 0 & 0 \\ 0 & -10 & -12 & 6 & 20 & 0 & -8 & 4 \\ -10 & 0 & 4 & -32 & 0 & 35 & 6 & -3 \\ -12 & 4 & 0 & 0 & -8 & 6 & 20 & -10 \\ 6 & -32 & 0 & 0 & 4 & -3 & -10 & 35 \end{bmatrix}$$

4. 计算荷载矩阵

整体荷载矩阵为:

$$F = \begin{bmatrix} 0 & 0 & 0 & -\frac{P}{2} & 0 & -\frac{P}{2} & 0 & 0 \end{bmatrix}^T$$

这样, 整体刚度方程为:

$$\frac{E}{30} \begin{bmatrix} 20 & 0 & -8 & 4 & 0 & -10 & -12 & 6 \\ 0 & 35 & 6 & -3 & -10 & 0 & 4 & -32 \\ -8 & 6 & 20 & -10 & -12 & 4 & 0 & 0 \\ 4 & -3 & -10 & 35 & 6 & -32 & 0 & 0 \\ 0 & -10 & -12 & 6 & 20 & 0 & -8 & 4 \\ -10 & 0 & 4 & -32 & 0 & 35 & 6 & -3 \\ -12 & 4 & 0 & 0 & -8 & 6 & 20 & -10 \\ 6 & -32 & 0 & 0 & 4 & -3 & -10 & 35 \end{bmatrix} \begin{bmatrix} u_1 \\ v_1 \\ u_2 \\ v_2 \\ u_3 \\ v_3 \\ u_4 \\ v_4 \end{bmatrix} = \begin{bmatrix} 0 \\ 0 \\ 0 \\ -P/2 \\ 0 \\ -P/2 \\ 0 \\ 0 \end{bmatrix}$$



## 5. 引入约束条件, 修改整体刚度方程

这里采用降阶法处理, 因已知  $u_1 = v_1 = u_4 = v_4 = 0$ , 对应于第 1、2、7、8 个位移分量, 故修改后的整体刚度方程为:

$$\frac{E}{30} \begin{bmatrix} 20 & -10 & -12 & 4 \\ -10 & 35 & 6 & -32 \\ -12 & 6 & 20 & 0 \\ 4 & -32 & 0 & 35 \end{bmatrix} \begin{bmatrix} u_2 \\ v_2 \\ u_3 \\ v_3 \end{bmatrix} = \begin{bmatrix} 0 \\ -P/2 \\ 0 \\ -P/2 \end{bmatrix}$$

求解上述方程组, 得到:

$$\begin{bmatrix} u_2 \\ v_2 \\ u_3 \\ v_3 \end{bmatrix} = \frac{P}{E} \begin{bmatrix} -1.75 \\ -8.5 \\ 1.5 \\ -8.0 \end{bmatrix}$$

## 6. 计算应力

单元①的结点位移矩阵为:

$$\delta^{\text{①}} = \frac{P}{E} [1.5 \quad -8.0 \quad 0 \quad 0 \quad -1.75 \quad -8.5]^T$$

单元②的结点位移矩阵为:

$$\delta^{\text{②}} = \frac{P}{E} [0 \quad 0 \quad 1.5 \quad -8.0 \quad 0 \quad 0]^T$$

由于单元材料相同, 故其弹性矩阵相同, 为:

$$D = \frac{2E}{15} \begin{bmatrix} 8 & 2 & 0 \\ 2 & 8 & 0 \\ 0 & 0 & 3 \end{bmatrix}$$

单元①、②的几何矩阵分别为:

$$B^{\text{①}} = \begin{bmatrix} 0 & 0 & -1 & 0 & 1 & 0 \\ 0 & 2 & 0 & 0 & 0 & -2 \\ 2 & 0 & 0 & -1 & -2 & 1 \end{bmatrix} \quad B^{\text{②}} = \begin{bmatrix} 0 & 0 & 1 & 0 & -1 & 0 \\ 0 & -2 & 0 & 0 & 0 & 2 \\ -2 & 0 & 0 & 1 & 2 & -1 \end{bmatrix}$$

故其应力分别为:

$$\sigma^{\text{①}} = P [-0.8 \quad 0.3 \quad -0.4]^T \quad \sigma^{\text{②}} = P [0.8 \quad 0.2 \quad -1.6]^T$$

## 2.3 平面 4 结点矩形单元

前面所述的 3 结点三角形单元由于是常应变单元, 单元内部应力是一个常量, 分析时

需要较密的网格,因此需要更多结点的单元。4 结点矩形单元就是其中最简单一种单元,也是实际中常用的单元之一,由于采用了比常应变三角形单元更高次数的位移模式,故可以更好地反映弹性体的位移状态和应力状态。

如图 2.14 所示 4 结点矩形单元,4 个结点依次为  $i$ 、 $j$ 、 $m$ 、 $k$ ,记单元的结点位移向量  $\delta^{\text{e}}$  和结点力向量  $F^{\text{e}}$  为:

$$\delta^{\text{e}} = [u_i \quad v_i \quad u_j \quad v_j \quad u_m \quad v_m \quad u_k \quad v_k]^T \quad (2-29)$$

$$F^{\text{e}} = [F_{xi} \quad F_{yi} \quad F_{xj} \quad F_{yj} \quad F_{xm} \quad F_{ym} \quad F_{xk} \quad F_{yk}]^T \quad (2-30)$$

为了能推导出简洁的结果,在这里引入无量纲坐标:  $\xi = \frac{x}{a}$ ,  $\eta = \frac{y}{b}$

### 2.3.1 单元位移函数

从图 2.14 中可以看出,结点条件共有 8 个,依据帕斯卡三角形,考虑到边界上位移的线性关系,其二次项选取  $xy$ ,因此其单元的位移场函数为:

$$\begin{cases} u = a_1 + a_2x + a_3y + a_4xy \\ v = b_1 + b_2x + b_3y + b_4xy \end{cases} \quad (2-31)$$

它们是具有完全一次项的非完全二次项。这里常数项和一次项的系数反映了单元的刚体位移和常量应变;单元边界上位移为  $x$  或  $y$  的线性函数,相邻单元公共点上有共同的结点位移值,可保证两个相邻单元在其公共边界上位移的连续性,这种单元的位移模式是完备和协调的,它的应变和应力为一次线性变化。

根据已知的结点条件,在  $x=x_r$ ,  $y=y_r$  ( $r=i, j, m, k$ ) 处,有

$$\begin{aligned} u(x_r, y_r) &= u_r \\ v(x_r, y_r) &= v_r \end{aligned} \quad (r=i, j, k, m) \quad (2-32)$$

将式(2-32)代入式(2-31)中,可以求解出待定系数  $a_1 \sim a_4$ 、 $b_1 \sim b_4$ ,然后再代入式(2-31)中经整理后,有

$$\begin{bmatrix} u \\ v \end{bmatrix} = \begin{bmatrix} N_i & 0 & N_j & 0 & N_m & 0 & N_k & 0 \\ 0 & N_i & 0 & N_j & 0 & N_m & 0 & N_k \end{bmatrix} \delta^{\text{e}} = \mathbf{N} \delta^{\text{e}} \quad (2-33)$$

其中,  $\mathbf{N}$  为单元的形函数矩阵,

$$\begin{aligned} N_i &= \frac{1}{4} \left( 1 - \frac{x}{a} \right) \left( 1 - \frac{y}{b} \right) \\ N_j &= \frac{1}{4} \left( 1 + \frac{x}{a} \right) \left( 1 - \frac{y}{b} \right) \\ N_m &= \frac{1}{4} \left( 1 + \frac{x}{a} \right) \left( 1 + \frac{y}{b} \right) \\ N_k &= \frac{1}{4} \left( 1 - \frac{x}{a} \right) \left( 1 + \frac{y}{b} \right) \end{aligned} \quad (2-34)$$

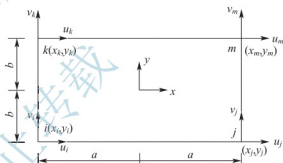


图 2.14 4 结点矩形单元



若以无量纲坐标系来表达 $\left(\xi=\frac{x}{a}, \eta=\frac{y}{b}\right)$ , 则式(2-34)可以写成

$$N_r = \frac{1}{4}(1+\xi\xi)(1+\eta\eta) \quad (r=i, j, m, k) \quad (2-35)$$

其中,

$$\xi_r = \frac{x_r}{a}, \quad \eta_r = \frac{y_r}{b} \quad (r=i, j, m, k)$$

### 2.3.2 单元应变场

根据单元的位移场函数式(3-45)、式(3-47), 由几何方程可以得到单元的应变场表达式:

$$\boldsymbol{\varepsilon} = \begin{bmatrix} \frac{\partial u}{\partial x} \\ \frac{\partial v}{\partial y} \\ \frac{\partial u}{\partial y} + \frac{\partial v}{\partial x} \end{bmatrix} = \frac{1}{ab} \begin{bmatrix} b \frac{\partial u}{\partial \xi} \\ a \frac{\partial v}{\partial \eta} \\ a \frac{\partial u}{\partial \eta} + b \frac{\partial v}{\partial \xi} \end{bmatrix} \quad (2-36)$$

记为:

$$\boldsymbol{\varepsilon} = \mathbf{B}\boldsymbol{\delta}^{\text{e}} \quad (2-37)$$

其中,  $\mathbf{B}$  矩阵称为几何矩阵。 $\mathbf{B}$  矩阵可以表示为分块矩阵的形式:

$$\mathbf{B} = [\mathbf{B}_i \quad \mathbf{B}_j \quad \mathbf{B}_m \quad \mathbf{B}_k] \quad (2-38)$$

其中,

$$\mathbf{B}_r = \frac{1}{ab} \begin{bmatrix} b \frac{\partial N_r}{\partial \xi} & 0 \\ 0 & a \frac{\partial N_r}{\partial \eta} \\ a \frac{\partial N_r}{\partial \eta} & b \frac{\partial N_r}{\partial \xi} \end{bmatrix} = \frac{1}{4ab} \begin{bmatrix} b\xi_r(1+\eta\eta) & 0 \\ 0 & a\eta_r(1+\xi\xi) \\ a\eta_r(1+\xi\xi) & b\xi_r(1+\eta\eta) \end{bmatrix} \quad (r=i, j, m, k)$$

### 2.3.3 单元应力场

根据应力与应变的关系及式(2-37), 可以得到单元的应力场表达式:

$$\boldsymbol{\sigma} = \mathbf{D}\boldsymbol{\varepsilon} = \mathbf{D}\mathbf{B}\boldsymbol{\delta}^{\text{e}} = \mathbf{S}\boldsymbol{\delta}^{\text{e}} \quad (2-39)$$

这里  $\mathbf{S} = \mathbf{D}\mathbf{B}$  为应力矩阵,  $\mathbf{D}$  称为弹性矩阵 [式(2-17)]。将应力矩阵表示为分块矩阵的形式:

$$\mathbf{S} = [\mathbf{S}_i \quad \mathbf{S}_j \quad \mathbf{S}_m \quad \mathbf{S}_k] \quad (2-40)$$

其中,

$$S_r = DB_r = \frac{E}{4ab(1-\mu^2)} \begin{bmatrix} b\xi_r(1+\eta_r\eta) & \mu a\eta_r(1+\xi_r\xi) \\ \mu b\xi_r(1+\eta_r\eta) & a\eta_r(1+\xi_r\xi) \\ \frac{1-\mu}{2}a\eta_r(1+\xi_r\xi) & \frac{1-\mu}{2}b\xi_r(1+\eta_r\eta) \end{bmatrix} \quad (r=i, j, m, k)$$

对于平面应变问题, 只需将  $E$  换为  $\frac{E}{1-\mu^2}$ ,  $\mu$  换为  $\frac{\mu}{1-\mu^2}$ 。

### 2.3.4 单元刚度矩阵

与 3 结点三角形单元的推导类似, 可以根据虚位移原理或极小势能原理导出结点位移和结点力之间的关系:

$$\mathbf{k}^{\oplus} \boldsymbol{\delta}^{\oplus} = \mathbf{F}^{\oplus}$$

其中单元刚度矩阵  $\mathbf{k}^{\oplus}$  如下:

$$\mathbf{k}^{\oplus} = \begin{bmatrix} k_{ii} & k_{ij} & k_{im} & k_{ik} \\ k_{ji} & k_{jj} & k_{jm} & k_{jk} \\ k_{mi} & k_{mj} & k_{mm} & k_{mk} \\ k_{ki} & k_{kj} & k_{km} & k_{kk} \end{bmatrix}$$

其中,

$$k_{rs} = \int_V \mathbf{B}_r^T \mathbf{D} \mathbf{B}_s dV \quad (r, s = i, j, m, k) \quad (2-41)$$

对于平面应力问题, 如果单元厚度为常数  $h$ , 则得到式(2-42):

$$k_{rs} = \frac{Eh}{4ab(1-\mu^2)} \begin{bmatrix} k_{11} & k_{12} \\ k_{21} & k_{22} \end{bmatrix} \quad (r, s = i, j, m, k) \quad (2-42)$$

其中,

$$k_{11} = b^2 \xi_r \xi_s \left( 1 + \frac{1}{3} \eta_r \eta_s \right) + \frac{1-\mu}{2} a^2 \eta_r \eta_s \left( 1 + \frac{1}{3} \xi_r \xi_s \right)$$

$$k_{12} = ab \left( \mu \xi_r \eta_s + \frac{1-\mu}{2} \eta_r \xi_s \right)$$

$$k_{21} = ab \left( \mu \eta_r \xi_s + \frac{1-\mu}{2} \xi_r \eta_s \right)$$

$$k_{22} = a^2 \eta_r \eta_s \left( 1 + \frac{1}{3} \xi_r \xi_s \right) + \frac{1-\mu}{2} b^2 \xi_r \xi_s \left( 1 + \frac{1}{3} \eta_r \eta_s \right)$$

其显示表达式为:

$$\mathbf{k}^{\oplus} = \frac{Eh}{ab(1-\mu^2)} \cdot$$



$\frac{1}{3} \left( x^2 + \frac{1-p}{2} x \right)$	$\frac{1}{6} ab(1+p)$	$\frac{1}{3} \left( x^2 - \frac{1-p}{2} x \right)$	$\frac{1}{6} ab(1-p)$	$\frac{1}{6} \left( x^2 + \frac{1-p}{2} x \right)$	$\frac{1}{6} ab(1+p)$	$\frac{1}{6} [x^2 - (1-p)x^2]$	$\frac{1}{6} ab(1-p)$
$\frac{1}{3} \left( x^2 + \frac{1-p}{2} x \right)$	$\frac{1}{6} ab(1-p)$	$\frac{1}{6} [x^2 - (1-p)x^2]$	$\frac{1}{6} ab(1+p)$	$\frac{1}{6} \left( x^2 + \frac{1-p}{2} x \right)$	$\frac{1}{6} ab(1-p)$	$\frac{1}{6} [x^2 - (1-p)x^2]$	$\frac{1}{6} ab(1+p)$
	$\frac{1}{3} \left( x^2 + \frac{1-p}{2} x \right)$	$\frac{1}{6} ab(1+p)$	$\frac{1}{6} [x^2 - (1-p)x^2]$	$\frac{1}{6} \left( x^2 + \frac{1-p}{2} x \right)$	$\frac{1}{6} ab(1-p)$	$\frac{1}{6} [x^2 - (1-p)x^2]$	$\frac{1}{6} ab(1+p)$
		$\frac{1}{3} \left( x^2 + \frac{1-p}{2} x \right)$	$\frac{1}{6} ab(1-p)$	$\frac{1}{6} [x^2 - (1-p)x^2]$	$\frac{1}{6} ab(1+p)$	$\frac{1}{6} [x^2 - (1-p)x^2]$	$\frac{1}{6} ab(1-p)$
对称				$\frac{1}{3} \left( x^2 + \frac{1-p}{2} x \right)$	$\frac{1}{6} ab(1+p)$	$\frac{1}{6} [x^2 - (1-p)x^2]$	$\frac{1}{6} ab(1-p)$
				$\frac{1}{3} \left( x^2 + \frac{1-p}{2} x \right)$	$\frac{1}{6} ab(1-p)$	$\frac{1}{6} [x^2 - (1-p)x^2]$	$\frac{1}{6} ab(1+p)$
						$\frac{1}{3} \left( x^2 + \frac{1-p}{2} x \right)$	$\frac{1}{6} ab(1+p)$

(2-43)

## 2.4 平面 6 结点三角形单元

前面所述的 3 结点三角形单元其位移模式为线性函数, 应变与应力在单元内部为常量, 其计算的精度比较低, 计算时需要较密的网格。而 4 结点矩形单元则对边界的适应能力相对较差。因此, 为了提高计算精度, 需要增加单元的结点数。这样在 3 结点三角形单元各边的中点处增加一个结点, 变成 6 结点三角形单元, 其 6 个结点按照  $i$ 、 $j$ 、 $m$ 、1、2、3 的顺序排列(图 2.15)。其结点位移矩阵和荷载矩阵分别表示为:

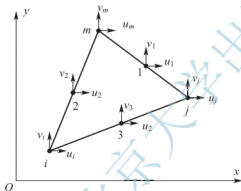


图 2.15 平面 6 结点三角形单元

$$\delta^e = [u_i \quad v_i \quad u_j \quad v_j \quad u_m \quad v_m \quad u_1 \quad v_1 \quad u_2 \quad v_2 \quad u_3 \quad v_3]$$

$$F^e = [F_{xi} \quad F_{yi} \quad F_{xj} \quad F_{yj} \quad F_{xm} \quad F_{ym} \quad F_{x1} \quad F_{y1} \quad F_{x2} \quad F_{y2} \quad F_{x3} \quad F_{y3}]^T$$

该类型单元共有 12 个自由度, 根据帕斯卡三角形, 其位移模式可以取完全的二次多项式:

$$\begin{cases} u = a_1 + a_2 x + a_3 y + a_4 x^2 + a_5 xy + a_6 y^2 \\ v = b_1 + b_2 x + b_3 y + b_4 x^2 + b_5 xy + b_6 y^2 \end{cases}$$

但由于位移函数次数较高, 需要确定的系数较多。此时如果仍然按照前面的方法来确定系数, 求取形函数, 则计算非常复杂。为了计算方便, 通常用面积坐标来代替直角坐标。

### 2.4.1 面积坐标

设三角形的顶点依次为  $i$ 、 $j$ 、 $m$ , 则三角形中任意一点  $P(x, y)$  的位置可以用面积坐



标来表示。如图 2.16 所示,  $P(x, y)$  点的面积坐标 ( $L_i$ ,  $L_j$ ,  $L_m$ ) 定义为:

$$L_i = \frac{A_i}{A}, L_j = \frac{A_j}{A}, L_m = \frac{A_m}{A} \quad (2-44)$$

式中,  $A$  为三角形  $ijm$  的面积,  $A_i$  为三角形  $Pjm$  的面积,  $A_j$  为三角形  $Pmi$  的面积,  $A_m$  为三角形  $Pij$  的面积。显然有:

$$L_i + L_j + L_m = 1 \quad (2-45)$$

根据面积坐标的定义, 平行于  $jm$  边的直线上所有点具有相同的  $L_i$  值(如图 2.16 所示虚线)。三角形三个顶点的面积坐标分别为:

顶点  $i$ :  $L_i=1, L_j=0, L_m=0$

顶点  $j$ :  $L_i=0, L_j=1, L_m=0$

顶点  $m$ :  $L_i=0, L_j=0, L_m=1$

#### 1. 用直角坐标表示面积坐标

三角形  $Pjm$  的面积  $A_i$  可以表示为:

$$A_i = \begin{vmatrix} 1 & x & y \\ 1 & x_j & y_j \\ 1 & x_m & y_m \end{vmatrix} = \frac{1}{2} [(x_j y_m - x_m y_j) + (y_j - y_m)x + (-x_j + x_m)y] \quad (i, j, m)$$

同样, 记:  $a_i = x_j y_m - x_m y_j$ ,  $b_i = y_j - y_m$ ,  $c_i = -x_j + x_m$  (下标  $i \rightarrow j \rightarrow m \rightarrow i$  轮换), 则面积可表示为:

$$A_i = \frac{1}{2} (a_i + b_i x + c_i y)$$

将上式代入式(2-44)得:

$$\begin{cases} L_i = \frac{1}{2A} (a_i + b_i x + c_i y) \\ L_j = \frac{1}{2A} (a_j + b_j x + c_j y) \\ L_m = \frac{1}{2A} (a_m + b_m x + c_m y) \end{cases} \quad (2-46)$$

将上式与平面 3 结点三角形单元的形函数进行比较可知: 面积坐标与平面 3 结点三角形单元的形函数具有以下关系:

$$L_i = N_i, L_j = N_j, L_m = N_m$$

#### 2. 用面积坐标表示直角坐标

根据式(2-46), 并结合式(2-45), 可以得到:

$$\begin{cases} x = x_i L_i + x_j L_j + x_m L_m \\ y = y_i L_i + y_j L_j + y_m L_m \end{cases} \quad (2-47)$$

### 2.4.2 面积坐标下的位移函数

平面 6 结点三角形单元共有 12 个位移分量, 由前面的分析可知, 若知道其形函数,

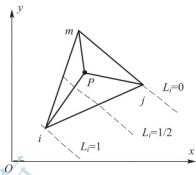


图 2.16 面积坐标



则位移函数可以表示如下形式:

$$\begin{cases} u = N_i u_i + N_j u_j + N_m u_m + N_1 u_1 + N_2 u_2 + N_3 u_3 \\ v = N_i v_i + N_j v_j + N_m v_m + N_1 v_1 + N_2 v_2 + N_3 v_3 \end{cases} \quad (2-48)$$

注意这里的  $N_i$ 、 $N_j$ 、 $N_m$  不同于 3 结点三角形单元的形函数, 这里 6 个形函数是用面积坐标表示, 各结点的坐标如图 2.17 所示。下面我们根据形函数的性质来确定上述 6 个形函数。形函数  $N_i$  在结点  $i$  上等于 1, 在其他结点上等于 0。

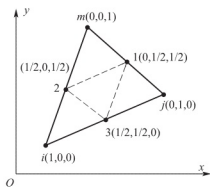


图 2.17 结点的面积坐标

(1) 在直线  $j1m$  上, 面积坐标  $L_i = 0$ , 形函数  $N_i$  在结点  $j$ 、 $1$ 、 $m$  为 0, 故  $N_i$  中应包含因子  $L_i$ ;

(2) 在直线  $23$  上, 面积坐标  $L_i = 1/2$ , 形函数  $N_i$  在结点  $2$ 、 $3$  为 0, 故  $N_i$  中应包含因子  $L_i - 1/2$ , 因此可设  $N_i = \alpha L_i (L_i - 1/2)$ ;

(3) 要满足形函数  $N_i$  在结点  $i$  上等于 1 的条件, 故有:

$$N_i = \alpha L_i (L_i - 1/2) = 1$$

得到参数  $\alpha = 2$ , 即形函数  $N_i$  的表达式为:

$$N_i = L_i (2L_i - 1)$$

同理可得:  $N_j = L_j (2L_j - 1)$ ,  $N_m = L_m (2L_m - 1)$ 。

(4) 在结点  $i$ 、 $2$ 、 $m$  上, 面积坐标  $L_j = 0$ , 形函数  $N_1 = 0$ , 故  $N_1$  应包含因子  $L_j$ ; 在结点  $i$ 、 $3$ 、 $j$  上, 形函数  $N_1 = 0$ , 故  $N_1$  应包含因子  $L_m$ , 故可设  $N_1 = \beta L_j L_m$ 。在结点  $1$  上, 有  $N_1 = 1$ , 将结点  $1$  的坐标  $(0, 1/2, 1/2)$  代入可得:  $\beta = 4$ , 即

$$N_1 = 4L_j L_m$$

同理可得:  $N_2 = 4L_m L_m$ ,  $N_3 = 4L_i L_j$ 。

这样, 6 结点三角形单元的形函数为:

$$\begin{cases} N_i = L_i (2L_i - 1) & (i, j, m) \\ N_1 = 4L_j L_m & (1, 2, 3) \end{cases} \quad (2-49)$$

## 2.4.3 单元应变场

将位移函数表达式(2-48)代入几何方程, 可得:

$$\boldsymbol{\varepsilon} = \begin{bmatrix} \frac{\partial u}{\partial x} \\ \frac{\partial v}{\partial y} \\ \frac{\partial u}{\partial y} + \frac{\partial v}{\partial x} \end{bmatrix} = \begin{bmatrix} \frac{\partial N_i}{\partial x} u_i + \frac{\partial N_j}{\partial x} u_j + \frac{\partial N_m}{\partial x} u_m + \frac{\partial N_1}{\partial x} u_1 + \frac{\partial N_2}{\partial x} u_2 + \frac{\partial N_3}{\partial x} u_3 \\ \frac{\partial N_i}{\partial y} v_i + \frac{\partial N_j}{\partial y} v_j + \frac{\partial N_m}{\partial y} v_m + \frac{\partial N_1}{\partial y} v_1 + \frac{\partial N_2}{\partial y} v_2 + \frac{\partial N_3}{\partial y} v_3 \\ \frac{\partial N_i}{\partial y} u_i + \frac{\partial N_j}{\partial y} u_j + \frac{\partial N_m}{\partial y} u_m + \frac{\partial N_1}{\partial y} u_1 + \frac{\partial N_2}{\partial y} u_2 + \frac{\partial N_3}{\partial y} u_3 + \frac{\partial N_i}{\partial x} v_i + \frac{\partial N_j}{\partial x} v_j + \frac{\partial N_m}{\partial x} v_m + \frac{\partial N_1}{\partial x} v_1 + \frac{\partial N_2}{\partial x} v_2 + \frac{\partial N_3}{\partial x} v_3 \end{bmatrix}$$

下面考虑第一个表达式, 由于形函数  $N_i$  是面积坐标  $L_i$  的函数, 形函数  $N_1$  是面积坐标  $L_j$ 、 $L_m$  的函数, 而面积坐标又是  $x$ 、 $y$  的函数, 所以这里涉及复合函数求偏导数的问题, 其中,

$$\begin{aligned}\frac{\partial N_i}{\partial x} &= \frac{\partial N_i}{\partial L_i} \frac{\partial L_i}{\partial x} = \frac{\partial}{\partial L_i} [L_i (2L_i - 1)] \frac{\partial}{\partial x} \left[ \frac{1}{2A} (a_i + b_i x + c_i y) \right] = \frac{(4L_i - 1)b_i}{2A} \\ \frac{\partial N_1}{\partial x} &= \frac{\partial N_1}{\partial L_j} \frac{\partial L_j}{\partial x} + \frac{\partial N_1}{\partial L_m} \frac{\partial L_m}{\partial x} \\ &= \frac{\partial}{\partial L_j} [4L_j L_m] \frac{\partial}{\partial x} \left[ \frac{1}{2A} (a_j + b_j x + c_j y) \right] + \frac{\partial}{\partial L_m} [4L_j L_m] \frac{\partial}{\partial x} \left[ \frac{1}{2A} (a_m + b_m x + c_m y) \right] \\ &= \frac{2(L_m b_j + L_j b_m)}{A}\end{aligned}$$

同理可得:

$$\begin{aligned}\frac{\partial N_j}{\partial x} &= \frac{(4L_j - 1)b_j}{2A}, \quad \frac{\partial N_m}{\partial x} = \frac{(4L_m - 1)b_m}{2A} \\ \frac{\partial N_2}{\partial x} &= \frac{2(L_m b_j + L_j b_m)}{A}, \quad \frac{\partial N_3}{\partial x} = \frac{2(L_j b_j + L_j b_i)}{A}\end{aligned}$$

故:

$$\begin{aligned}\varepsilon_x &= \frac{1}{2A} [(4L_i - 1)b_i u_i + (4L_j - 1)b_j u_j + (4L_m - 1)b_m u_m + \\ &\quad 4(b_j L_m + b_m L_j) u_1 + 4(b_m L_i + b_i L_m) u_2 + 4(b_i L_j + b_j L_i) u_3]\end{aligned}$$

同理可得:

$$\begin{aligned}\varepsilon_y &= \frac{1}{2A} [(4L_i - 1)c_i v_i + (4L_j - 1)c_j v_j + (4L_m - 1)c_m v_m + \\ &\quad 4(c_j L_m + c_m L_j) v_1 + 4(c_m L_i + c_i L_m) v_2 + 4(c_i L_j + c_j L_i) v_3] \\ \gamma_{xy} &= \frac{1}{2A} [(4L_i - 1)c_i u_i + (4L_j - 1)c_j u_j + (4L_m - 1)c_m u_m + \\ &\quad 4(c_j L_m + c_m L_j) u_1 + 4(c_m L_i + c_i L_m) u_2 + 4(c_i L_j + c_j L_i) u_3 + \\ &\quad (4L_i - 1)b_i v_i + (4L_j - 1)b_j v_j + (4L_m - 1)b_m v_m + \\ &\quad 4(b_j L_m + b_m L_j) v_1 + 4(b_m L_i + b_i L_m) v_2 + 4(b_i L_j + b_j L_i) v_3]\end{aligned}$$

由此得到:

$$\boldsymbol{\varepsilon} = \mathbf{B} \boldsymbol{\delta}^{\textcircled{6}} \quad (2-50)$$

其中,  $\mathbf{B}$  矩阵称为几何矩阵。 $\mathbf{B}$  矩阵可以表示为分块矩阵的形式:

$$\mathbf{B} = [\mathbf{B}_i \quad \mathbf{B}_j \quad \mathbf{B}_m \quad \mathbf{B}_1 \quad \mathbf{B}_2 \quad \mathbf{B}_3] \quad (2-51)$$

其中,

$$\mathbf{B}_i = \frac{1}{2A} \begin{bmatrix} (4L_i - 1)b_i & 0 \\ 0 & (4L_i - 1)c_i \\ (4L_i - 1)c_i & (4L_i - 1)b_i \end{bmatrix} \quad (i, j, m)$$



$$\mathbf{B}_i = \frac{1}{2A} \begin{bmatrix} 4(b_j L_m + b_m L_j) & 0 \\ 0 & 4(c_j L_m + c_m L_j) \\ 4(c_j L_m + c_m L_j) & 4(b_j L_m + b_m L_j) \end{bmatrix} \quad (1, 2, 3) (i, j, m)$$

## 2.4.4 单元应力场

根据单元应力与应变的关系可得:

$$\boldsymbol{\sigma} = \mathbf{D}\boldsymbol{\varepsilon} = \mathbf{D}\mathbf{B}\boldsymbol{\delta}^{\oplus} = \mathbf{S}\boldsymbol{\delta}^{\oplus} \quad (2-52)$$

其中,  $\mathbf{S} = \mathbf{D}\mathbf{B}$  为应力矩阵,  $\mathbf{D}$  称为弹性矩阵 [式(2-17)]。将应力矩阵表示为分块矩阵的形式:

$$\mathbf{S} = [\mathbf{S}_i \quad \mathbf{S}_j \quad \mathbf{S}_m \quad \mathbf{S}_1 \quad \mathbf{S}_2 \quad \mathbf{S}_3] \quad (2-53)$$

其中,

$$\mathbf{S}_i = \mathbf{D}\mathbf{B}_i = \frac{E(4L_i - 1)}{4A(1 - \mu^2)} \begin{bmatrix} 2b_j & 2\mu c_i \\ 2\mu b_i & 2c_i \\ (1 - \mu)c_i & (1 - \mu)b_i \end{bmatrix} \quad (i, j, m)$$

$$\mathbf{S}_1 = \mathbf{D}\mathbf{B}_1 = \frac{E}{A(1 - \mu^2)} \begin{bmatrix} 2(b_j L_m + b_m L_j) & 2\mu(c_j L_m + c_m L_j) \\ 2\mu(b_j L_m + b_m L_j) & 2(c_j L_m + c_m L_j) \\ (1 - \mu)(c_j L_m + c_m L_j) & (1 - \mu)(b_j L_m + b_m L_j) \end{bmatrix} \quad (1, 2, 3) (i, j, m)$$

## 2.4.5 单元刚度矩阵

单元刚度矩阵的推导与前面介绍的 3 结点三角形单元类似, 对于等厚度单元, 其单元刚度矩阵为:

$$\mathbf{k}^{\oplus} = h \int_S \mathbf{B}^T \mathbf{D} \mathbf{B} \, dx \, dy \quad (2-54)$$

将  $\mathbf{B}$ 、 $\mathbf{D}$  代入式(2-54), 经矩阵运算后需要对各元素进行积分, 积分时需要用到以下积分公式:

$$\int_S L_i^\alpha L_j^\beta L_m^\gamma \, dx \, dy = 2A \frac{\alpha! \beta! \gamma!}{(\alpha + \beta + \gamma + 2)!} \quad (2-55)$$

最后得到的单元刚度矩阵为:

$$\mathbf{k}^{\oplus} = \frac{Eh}{24A(1 - \mu^2)} \begin{bmatrix} \mathbf{A}_i & \mathbf{G}_{ij} & \mathbf{G}_{im} & 0 & -4\mathbf{G}_{im} & -4\mathbf{G}_{ij} \\ \mathbf{G}_{ji} & \mathbf{A}_j & \mathbf{G}_{jm} & -4\mathbf{G}_{jm} & 0 & -4\mathbf{G}_{ji} \\ \mathbf{G}_{mi} & \mathbf{G}_{mj} & \mathbf{A}_m & -4\mathbf{G}_{mj} & -4\mathbf{G}_{mi} & 0 \\ 0 & -4\mathbf{G}_{mj} & -4\mathbf{G}_{mi} & \mathbf{H}_i & \mathbf{D}_{ji} & \mathbf{D}_{im} \\ -4\mathbf{G}_{mi} & 0 & -4\mathbf{G}_{jm} & \mathbf{D}_{ji} & \mathbf{H}_j & \mathbf{D}_{jm} \\ -4\mathbf{G}_{ji} & -4\mathbf{G}_{ij} & 0 & \mathbf{D}_{mi} & \mathbf{D}_{mj} & \mathbf{H}_m \end{bmatrix} \quad (2-56)$$

对于平面应力问题:

$$\begin{aligned}
 A_i &= \begin{bmatrix} 6b_i^2 + 3(1-\mu)c_i^2 & 3(1+\mu)b_i c_i \\ 3(1+\mu)b_i c_i & 6c_i^2 + 3(1-\mu)b_i^2 \end{bmatrix} \quad (i, j, m) \\
 H_i &= \begin{bmatrix} 16(b_i^2 - b_j b_m) + 8(1-\mu)(c_i^2 - c_j c_m) & 4(1+\mu)(b_i c_i + b_j c_j + b_m c_m) \\ 4(1+\mu)(b_i c_i + b_j c_j + b_m c_m) & 16(c_i^2 - c_j c_m) + 8(1-\mu)(b_i^2 - b_j b_m) \end{bmatrix} \quad (i, j, m) \\
 G_{rs} &= - \begin{bmatrix} 2b_r b_s + (1-\mu)c_r c_s & 2\mu b_r c_s + (1-\mu)c_r b_s \\ 2\mu c_r b_s + (1-\mu)b_r c_s & 2c_r c_s + (1-\mu)b_r b_s \end{bmatrix} \quad (r, s=i, j, m) \\
 D_{rs} &= \begin{bmatrix} 18b_r b_s + 8(1-\mu)c_r c_s & 4(1+\mu)(c_r b_s + b_r c_s) \\ 4(1+\mu)(c_r b_s + b_r c_s) & 16c_r c_s + 8(1-\mu)b_r b_s \end{bmatrix} \quad (r, s=i, j, m)
 \end{aligned}$$

## 2.5 轴对称问题有限元分析

现实中有许多的结构,如活塞、厚壁容器等,它们的几何形状、约束情况以及所受荷载情况均对称于空间某一固定轴,这类问题称为轴对称问题。研究轴对称问题通常采用柱坐标系 $(r, \theta, z)$ ,并以对称轴作为 $z$ 轴,所有应力、应变、位移都与坐标 $\theta$ 无关,仅是 $r$ 和 $z$ 的函数。因此,轴对称问题基本变量为:位移分量为 $u$ (沿 $r$ 方向的径向位移)、 $w$ (沿 $z$ 方向的轴向位移);应变分量为 $\epsilon_r$ (径向正应变)、 $\epsilon_\theta$ (环向正应变)、 $\epsilon_z$ (轴向正应变)、 $\gamma_{rz}$ ( $r$ 和 $z$ 方向剪应变);应力分量为 $\sigma_r$ (径向正应力)、 $\sigma_\theta$ (环向正应力)、 $\sigma_z$ (轴向正应力)、 $\tau_{rz}$ ( $r$ 和 $z$ 方向剪应力)。

对轴对称问题进行离散时采用的是圆环形单元,其单元与 $rz$ 平面正交的截面可以有不同的形状,如3结点三角形、6结点三角形、4结点四边形、8结点四边形等。如图2.18所示为3结点三角形单元。因此,对轴对称问题进行计算时,只需要取出一个截面进行网格划分和分析。下面以3结点三角形单元和4结点矩形单元为例进行分析。

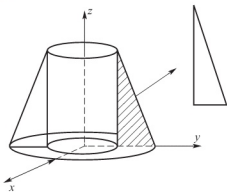


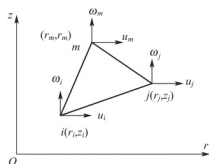
图 2.18 环形 3 结点三角形单元

### 2.5.1 环形 3 结点三角形单元

#### 1. 单元位移函数

轴对称问题分析中所使用的 3 结点单元,在对称面上是三角形(图 2.19),在整个弹性体中是三棱圆环,各单元中圆环形铰相连接。参照平面问题的三角形单元位移函数,轴对称问题的 3 结点三角形单元位移函数取为:

$$\begin{cases} u = a_1 + a_2 r + a_3 z \\ w = b_1 + b_2 r + b_3 z \end{cases}$$


 图 2.19 环形 3 结点三角形单元的  $rz$  截面

与平面 3 结点三角形单元进行比较可知, 其单元位移函数为:

$$\mathbf{d}^{\oplus} = \begin{bmatrix} u \\ w \end{bmatrix} = \begin{bmatrix} N_i & 0 & N_j & 0 & N_m & 0 \\ 0 & N_i & 0 & N_j & 0 & N_m \end{bmatrix} \begin{bmatrix} u_i \\ w_i \\ u_j \\ w_j \\ u_m \\ w_m \end{bmatrix} = \mathbf{N} \boldsymbol{\delta}^{\oplus} \quad (2-57)$$

其中形函数:

$$N_i = \frac{1}{2A}(a_i + b_j r + c_j z) \quad (\text{下标 } i, j, m \text{ 轮换}) \quad (2-58)$$

$$a_i = r_j z_m - z_m r_j, \quad b_i = z_j - z_m, \quad c_i = -r_j + r_m \quad (2-59)$$

## 2. 单元应变场

根据轴对称问题的几何方程:

$$\boldsymbol{\varepsilon} = \begin{bmatrix} \epsilon_r \\ \epsilon_\theta \\ \epsilon_z \\ \gamma_{rz} \end{bmatrix} = \begin{bmatrix} \frac{\partial u}{\partial r} \\ \frac{u}{r} \\ \frac{\partial w}{\partial z} \\ \left[ \frac{\partial u}{\partial z} + \frac{\partial w}{\partial r} \right] \end{bmatrix} \quad (2-60)$$

由式(2-57)得:

$$\frac{\partial u}{\partial r} = \frac{1}{2A}(b_i u_i + b_j u_j + b_m u_m)$$

$$\frac{\partial w}{\partial z} = \frac{1}{2A}(c_i w_i + c_j w_j + c_m w_m)$$

$$\frac{\partial u}{\partial z} = \frac{1}{2A}(c_i u_i + c_j u_j + c_m u_m)$$

$$\frac{\partial w}{\partial r} = \frac{1}{2A}(b_i w_i + b_j w_j + b_m w_m)$$

$$\frac{u}{r} = \frac{1}{2A}(f_i u_i + f_j u_j + f_m u_m)$$

故用几何矩阵表示单元的应变,

$$\boldsymbol{\varepsilon} = \mathbf{B} \boldsymbol{\delta}^{\oplus} \quad (2-61)$$

其中,

$$\mathbf{B} = [\mathbf{B}_i \quad \mathbf{B}_j \quad \mathbf{B}_m] \quad (2-62)$$

$$\mathbf{B}_s = \frac{1}{2A} \begin{bmatrix} b_s & 0 \\ f_s & 0 \\ 0 & c_s \\ c_s & b_s \end{bmatrix} \quad (s=i, j, m)$$

其中,  $f_s = \frac{a_s}{r} + b_s + \frac{c_s z}{r}$  ( $s=i, j, m$ )

由上面的分析可知,  $f_s$  是坐标  $(r, z)$  的函数,  $\epsilon_\theta$  分量在单元中不为常量, 其他三个应变分量在单元中仍为常量。

### 3. 单元应力场

由轴对称问题的物理方程, 得到其应力场的表达式为:

$$\boldsymbol{\sigma} = \mathbf{D}\boldsymbol{\epsilon} = \mathbf{D}\mathbf{B}\boldsymbol{\delta}^{\text{e}} = \mathbf{S}\boldsymbol{\delta}^{\text{e}} \quad (2-63)$$

其中弹性矩阵  $\mathbf{D}$  为:

$$\mathbf{D} = \frac{E(1-\mu)}{(1+\mu)(1-2\mu)} \begin{bmatrix} 1 & \frac{\mu}{1-\mu} & \frac{\mu}{1-\mu} & 0 \\ \frac{\mu}{1-\mu} & 1 & \frac{\mu}{1-\mu} & 0 \\ \frac{\mu}{1-\mu} & \frac{\mu}{1-\mu} & 1 & 0 \\ 0 & 0 & 0 & \frac{1-2\mu}{2(1-\mu)} \end{bmatrix} \quad (2-64)$$

由弹性矩阵  $\mathbf{D}$  和几何矩阵  $\mathbf{B}$  可以得到应力矩阵  $\mathbf{S}$ , 并计算出单元内的应力分量:

$$\mathbf{S} = \mathbf{D}\mathbf{B} = [\mathbf{S}_i \quad \mathbf{S}_j \quad \mathbf{S}_m]$$

其中,

$$\mathbf{S}_s = \mathbf{D}\mathbf{B}_s = \frac{E(1-\mu)}{2A(1+\mu)(1-2\mu)} \begin{bmatrix} b_s + A_1 f_s & A_1 c_s \\ A_1 b_s + f_s & A_1 c_s \\ A_1(b_s + f_s) & c_s \\ A_2 c_s & A_2 b_s \end{bmatrix} \quad (s=i, j, m) \quad (2-65)$$

式中,

$$A_1 = \frac{\mu}{1-\mu}, \quad A_2 = \frac{1-2\mu}{2(1-\mu)}$$

由式(2-65)可知, 除剪应力  $\tau_{rz}$  为常量外, 其他三个正应力分量都是  $r, z$  的函数。

### 4. 单元刚度矩阵

有了单元应力场和应变场, 可以利用虚位移原理或极小势能原理建立单元刚度矩阵  $\mathbf{k}^{\text{e}}$ :

$$\mathbf{k}^{\text{e}} = 2\pi \iint \mathbf{B}^T \mathbf{D} \mathbf{B} r dr dz \quad (2-66)$$

单元刚度矩阵的分块矩阵为:



$$k_{qj} = 2\pi \int_0^1 \mathbf{B}_i^T \mathbf{D} \mathbf{B}_j r dr dz \quad (s, q = i, j, m) \quad (2-67)$$

由于上述积分函数不是常量,为简化计算,可以用三角形单元形心位置的坐标( $r_c$ ,  $z_c$ )代替式(2-67)中的变量  $r$ ,  $z$ , 其中  $r_c$ 、 $z_c$  表示为:

$$\begin{cases} r_c = \frac{1}{3}(r_i + r_j + r_m) \\ z_c = \frac{1}{3}(z_i + z_j + z_m) \end{cases} \quad (2-68)$$

这样:

$$f_s \approx f_s^* = \frac{a_s}{r_c} + b_s + \frac{c_s z_c}{r_c} \quad (s = i, j, m)$$

经过这样近似后,几何矩阵  $\mathbf{B}$  和应力矩阵  $\mathbf{S}$  均为常量矩阵,根据式(2-67)可以很快计算环形3结点三角形单元的单元刚度矩阵为:

$$\mathbf{k}^{\text{e}} = 2\pi r_c \mathbf{A} \mathbf{B}^T \mathbf{D} \mathbf{B} = \begin{bmatrix} k_{ii} & k_{ij} & k_{im} \\ k_{ji} & k_{jj} & k_{jm} \\ k_{mi} & k_{mj} & k_{mm} \end{bmatrix} \quad (2-69)$$

其中子块矩阵:

$$k_{qj} = 2\pi r_c \mathbf{A} \mathbf{B}_i^T \mathbf{D} \mathbf{B}_j = \frac{\pi E (1-\mu) r_c}{2A(1+\mu)(1-2\mu)} \begin{bmatrix} H_{11} & H_{12} \\ H_{21} & H_{22} \end{bmatrix} \quad (s, q = i, j, m) \quad (2-70)$$

其中,

$$H_{11} = b_s b_q + f_s^* f_q^* + A_1 (b_s f_q^* + f_s^* b_q) + A_2 c_s c_q$$

$$H_{12} = A_1 c_q (b_s + f_s^*) + A_2 c_s b_q$$

$$H_{21} = A_1 c_s (b_q + f_q^*) + A_2 b_s c_q$$

$$H_{22} = c_s c_q + A_2 b_s b_q$$

实际计算表明,采用近似积分不仅计算简单,而且其精度也足够令人满意。因此在实际计算中对于环形3结点三角形单元通常采用上述的近似积分。

### 5. 等效结点荷载的计算

作用在环形单元上的荷载包括体力  $\mathbf{p}_e = [p_r \quad p_z]^T$ 、面力  $\mathbf{q}_e = [q_r \quad q_z]^T$ 、集聚力  $\mathbf{P} = [P_r \quad P_z]^T$ , 计算时同样必须移置于单元的结点上,形成单元等效结点荷载  $\mathbf{F}_E^e$ , 其计算公式为:

$$\text{体力: } \mathbf{F}_E^e = \int_V \mathbf{N}^T \mathbf{p}_e dV = 2\pi \int_A \mathbf{N}^T \mathbf{p}_e r dr dz$$

$$\text{面力: } \mathbf{F}_E^e = \int_S \mathbf{N}^T \mathbf{q}_e dS = 2\pi \int_l \mathbf{N}^T \mathbf{q}_e r dl \quad (2-71)$$

$$\text{集聚力: } \mathbf{F}_E^e = \mathbf{N}^T \mathbf{P}$$

**例 2-2** 若考虑单元的自重,设单元材料的容重为常量  $\gamma$ (单位体积的重量),计算其等效结点荷载(设坐标系  $z$  轴正向向上)。

$$\mathbf{F}_E^e = 2\pi \int_A \begin{bmatrix} N_i & 0 & N_j & 0 & N_m & 0 \end{bmatrix}^T \begin{bmatrix} 0 \\ -\gamma \end{bmatrix} r dr dz$$



$$= -2\pi\gamma \int_A \begin{bmatrix} 0 & N_i & 0 & N_j & 0 & N_m \end{bmatrix}^T r dr dz$$

利用前述面积坐标与直角坐标的关系,有

$$r = r_i L_i + r_j L_j + r_m L_m$$

将上式代入,并根据式(2-55),有

$$\begin{aligned} \int_S N_i r dr dz &= \int_S N_i (r_i L_i + r_j L_j + r_m L_m) dr dz \\ &= \frac{A}{12} (2r_i + r_j + r_m) = \frac{A}{12} (3r_c + r_i) \quad (i, j, m) \end{aligned}$$

因此,其等效结点荷载为:

$$\mathbf{F}_E^{\oplus} = -\frac{\pi\gamma A}{6} \begin{bmatrix} 0 & 3r_c + r_i & 0 & 3r_c + r_j & 0 & 3r_c + r_m \end{bmatrix}^T$$

**例 2-3** 设轴对称旋转机械绕对称轴  $z$  轴以角速度  $\omega$  旋转,其密度为  $\rho$ ,试计算其等效结点荷载。

**解:** 离心力为体力,其大小  $\mathbf{p}_v = [p_r \quad p_z]^T = [\rho\omega^2 r \quad 0]^T$ ,代入式(2-71)得:

$$\begin{aligned} \mathbf{F}_E^{\oplus} &= 2\pi \int_A \begin{bmatrix} N_i & 0 & N_j & 0 & N_m & 0 \end{bmatrix}^T \begin{bmatrix} \rho\omega^2 r \\ 0 \end{bmatrix} r dr dz \\ &= 2\pi\rho\omega^2 \int_A \begin{bmatrix} N_i & 0 & N_j & 0 & N_m & 0 \end{bmatrix}^T r dr dz \end{aligned}$$

式中积分:

$$\begin{aligned} \int_A N_i r^2 dr dz &= \int_A L_i (r_i L_i + r_j L_j + r_m L_m)^2 dr dz \\ &= \frac{A}{30} [(r_i + r_j + r_m)^2 + 2r_i^2 - r_j r_m] \\ &= \frac{A}{30} [9r_c^2 + 2r_i^2 - r_j r_m] \quad (i, j, m) \end{aligned}$$

因此,其等效结点荷载为:

$$\mathbf{F}_E^{\oplus} = \frac{\pi\rho\omega^2 A}{15} \begin{bmatrix} (9r_c^2 + 2r_i^2 - r_j r_m) & 0 & (9r_c^2 + 2r_j^2 - r_m r_i) & 0 & (9r_c^2 + 2r_m^2 - r_i r_j) & 0 \end{bmatrix}^T$$

**例 2-4** 如图 2.20 所示的环形三角形单元,其  $jm$  边作用有均布侧压  $q$ ,试计算其等效结点荷载,设  $jm$  边长度为  $l_{jm}$ 。

**解:** 其分布面积为:

$$\mathbf{q}_s = -q \begin{bmatrix} \sin\alpha & \cos\alpha \end{bmatrix}^T = q \begin{bmatrix} \frac{z_j - z_m}{l_{jm}} & \frac{r_m - r_j}{l_{jm}} \end{bmatrix}^T$$

代入式(2-71)得:

$$\mathbf{F}_E^{\oplus} = 2\pi q \int_l \mathbf{N}^T \begin{bmatrix} \frac{z_j - z_m}{l_{jm}} & \frac{r_m - r_j}{l_{jm}} \end{bmatrix}^T r dl$$

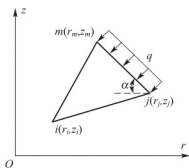


图 2.20 均布侧压荷载



$$= 2\pi g \int_l \left[ \frac{z_j - z_m}{l_{jm}} N_i \quad \frac{r_m - r_j}{l_{jm}} N_i \quad \frac{z_j - z_m}{l_{jm}} N_j \quad \frac{r_m - r_j}{l_{jm}} N_j \quad \frac{z_j - z_m}{l_{jm}} N_m \quad \frac{r_m - r_j}{l_{jm}} N_m \right]^T r dl$$

式中积分:

$$\int_l N_i r dl = \int_l L_i (r_i L_i + r_j L_j + r_m L_m) dl \quad (i, j, m)$$

注意到沿边界  $jm$  积分时  $L_i = 0$ , 并利用公式:

$$\int_l L_j^\alpha L_m^\beta dl = \frac{\alpha! \beta!}{(\alpha + \beta + 1)!} l_{jm} \quad (2-72)$$

可得:

$$\int_l N_i r dl = 0, \int_l N_j r dl = \frac{1}{6} (2r_j + r_m) l_{jm}, \int_l N_m r dl = \frac{1}{6} (2r_m + r_j) l_{jm}$$

因此, 其等效结点荷载为:

$$\mathbf{F}_E^{\oplus} = \frac{\pi g}{3} \begin{bmatrix} 0 & 0 & (z_j - z_m)(2r_j + r_m) & (r_m - r_j)(2r_j + r_m) \\ (z_j - z_m)(2r_m + r_j) & (r_m - r_j)(2r_m + r_j) \end{bmatrix}^T$$

## 2.5.2 环形4结点矩形单元

环形4结点矩形单元如图2.21所示, 该单元为横截面为4结点矩形的360°环形单元, 其横截面上的结点编号依次为  $i(-a, -b)$ 、 $j(a, -b)$ 、 $m(a, b)$ 、 $k(-a, b)$ 。在  $Oxz$  平面内, 单元结点位移有8个自由度, 其结点位移矩阵和结点荷载矩阵分别记为:

$$\boldsymbol{\delta}^{\oplus} = [u_i \quad w_i \quad u_j \quad w_j \quad u_m \quad w_m \quad u_k \quad w_k]^T \quad (2-73)$$

$$\mathbf{F}^{\oplus} = [F_{ri} \quad F_{zi} \quad F_{rj} \quad F_{zj} \quad F_{rm} \quad F_{zm} \quad F_{rk} \quad F_{zk}]^T \quad (2-74)$$

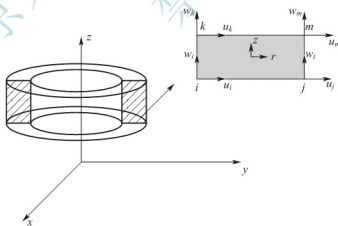


图 2.21 环形4结点矩形单元

由于单元有4个结点, 在  $r$  方向和  $z$  方向各有4个结点条件, 故可设其单元的位移函数为:

$$\begin{cases} u = a_1 + a_2 r + a_3 z + a_4 r z \\ v = b_1 + b_2 r + b_3 z + b_4 r z \end{cases} \quad (2-75)$$

与前面叙述的平面4结点矩形单元比较可知, 环形4结点矩形单元与平面4结点矩形单元

具有相同的形函数, 即:

$$\mathbf{d}^{\oplus} = \begin{bmatrix} u \\ v \end{bmatrix} = \begin{bmatrix} N_i & 0 & N_j & 0 & N_m & 0 & N_k & 0 \\ 0 & N_i & 0 & N_j & 0 & N_m & 0 & N_k \end{bmatrix} \boldsymbol{\delta}^{\oplus} = \mathbf{N} \boldsymbol{\delta}^{\oplus} \quad (2-76)$$

其中,

$$N_p = \frac{1}{4} (1 + \xi_p \xi) (1 + \eta_p \eta) \quad (p = i, j, m, k) \quad (2-77)$$

$$\xi_p = \frac{x_p}{a}, \quad \eta_p = \frac{y_p}{b} \quad (p = i, j, m, k)$$

将式(2-76)代入式(2-60), 可以得到用几何矩阵表示单元的应变,

$$\boldsymbol{\varepsilon} = \mathbf{B} \boldsymbol{\delta}^{\oplus} \quad (2-78)$$

其中,

$$\mathbf{B} = [\mathbf{B}_i \quad \mathbf{B}_j \quad \mathbf{B}_m \quad \mathbf{B}_k] \quad (2-79)$$

$$\mathbf{B}_p = \frac{1}{4ab} \begin{bmatrix} b(1+\eta_p\eta)\xi_p & 0 \\ \frac{ab}{r}(1+\xi_p\xi)(1+\eta_p\eta) & 0 \\ 0 & a(1+\xi_p\xi)\eta_p \\ a(1+\xi_p\xi)\eta_p & b(1+\eta_p\eta)\xi_p \end{bmatrix} \quad (p = i, j, m, k)$$

利用虚位移原理或极小势能原理, 得出其单元刚度方程为:

$$\mathbf{k}^{\oplus} \boldsymbol{\delta}^{\oplus} = \mathbf{F}^{\oplus}$$

其中单元刚度矩阵:

$$\mathbf{k}^{\oplus} = \int_V \mathbf{B}^T \mathbf{D} \mathbf{B} dV = 2\pi \int_A \mathbf{B}^T \mathbf{D} \mathbf{B} r dr dz = \begin{bmatrix} k_{ii} & k_{ij} & k_{im} & k_{ik} \\ k_{ji} & k_{jj} & k_{jm} & k_{jk} \\ k_{mi} & k_{mj} & k_{mm} & k_{mk} \\ k_{ki} & k_{kj} & k_{ki} & k_{kk} \end{bmatrix} \quad (2-80)$$

这里弹性矩阵  $\mathbf{D}$  如式(2-64)所示, 子块矩阵元素:

$$k_{pq} = 2\pi \int_A \mathbf{B}_p^T \mathbf{D} \mathbf{B}_q r dr dz \quad (p, q = i, j, m, k) \quad (2-81)$$

相应的单元等效结点荷载矩阵为:

$$\text{体力: } \mathbf{F}_E^{\oplus} = \int_V \mathbf{N}^T \mathbf{p}_v dV = 2\pi \int_A \mathbf{N}^T \mathbf{p}_v r dr dz \quad (2-82)$$

$$\text{面力: } \mathbf{F}_E^{\oplus} = \int_S \mathbf{N}^T \mathbf{q}_t dS = 2\pi \int_l \mathbf{N}^T \mathbf{q}_t r dl \quad (2-83)$$

## 2.6 空间4结点四面体单元

在实际工程中, 经常需要对空间结构体进行分析和计算, 这样前面介绍的平面单元和轴对称单元就不适应了, 此时需要使用空间体单元进行分析。最简单的空间单元是4结点的四面体单元(图2.22)。该单元有4个结点, 分别设为  $i$ 、 $j$ 、 $m$ 、 $k$ , 每个结点有3个自由度, 因此该单元为12个自由度单元, 其结点位移矩阵和荷载矩阵分别为:



$$\delta^{\oplus} = [u_i \quad v_i \quad w_i \quad u_j \quad v_j \quad w_j \quad u_m \quad v_m \quad w_m \quad u_k \quad v_k \quad w_k]^T$$

$$F^{\oplus} = [F_{xi} \quad F_i \quad F_{xi} \quad F_{xj} \quad F_{xj} \quad F_{xj} \quad F_{xm} \quad F_{xm} \quad F_{xm} \quad F_{xk} \quad F_{xk} \quad F_{xk}]^T$$

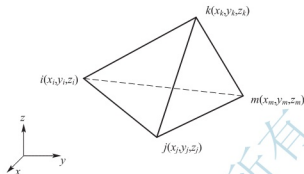


图 2.22 空间 4 结点四面体单元

### 2.6.1 单元位移函数

根据位移函数应满足的要求, 因每个结点有 3 个自由度, 可设位移函数为:

$$\begin{cases} u = a_1 + a_2x + a_3y + a_4z \\ v = b_1 + b_2x + b_3y + b_4z \\ w = c_1 + c_2x + c_3y + c_4z \end{cases} \quad (2-84)$$

以  $i, j, m, k$  4 个结点坐标代入上面第一式, 可得:

$$\begin{cases} u_i = a_1 + a_2x_i + a_3y_i + a_4z_i \\ u_j = a_1 + a_2x_j + a_3y_j + a_4z_j \\ u_m = a_1 + a_2x_m + a_3y_m + a_4z_m \\ u_k = a_1 + a_2x_k + a_3y_k + a_4z_k \end{cases}$$

求解  $a_1 \sim a_4$ , 得到:

$$\begin{bmatrix} a_1 \\ a_2 \\ a_3 \\ a_4 \end{bmatrix} = \begin{bmatrix} 1 & x_i & y_i & z_i \\ 1 & x_j & y_j & z_j \\ 1 & x_m & y_m & z_m \\ 1 & x_k & y_k & z_k \end{bmatrix}^{-1} \begin{bmatrix} u_i \\ u_j \\ u_m \\ u_k \end{bmatrix}$$

将  $a_1 \sim a_4$  代入位移函数(2-84)第一式得到:

$$u = N_i u_i + N_j u_j + N_m u_m + N_k u_k$$

其中,

$$N_r = \frac{1}{6V} (a_r + b_r x + c_r y + d_r z) \quad (r=i, j, m, k)$$

这里  $a_r, b_r, c_r, d_r$  分别为行列式:

$$\begin{vmatrix} 1 & x_i & y_i & z_i \\ 1 & x_j & y_j & z_j \\ 1 & x_m & y_m & z_m \\ 1 & x_k & y_k & z_k \end{vmatrix}$$

第  $r$  行四个元素的代数余子式, 如第一行元素:

$$a_i = (-1)^{1+1} \begin{vmatrix} x_j & y_j & z_j \\ x_m & y_m & z_m \\ x_k & y_k & z_k \end{vmatrix}, \quad b_i = (-1)^{1+2} \begin{vmatrix} 1 & y_j & z_j \\ 1 & y_m & z_m \\ 1 & y_k & z_k \end{vmatrix},$$

$$c_i = (-1)^{1+3} \begin{vmatrix} 1 & x_j & z_j \\ 1 & x_m & z_m \\ 1 & x_k & z_k \end{vmatrix}, \quad d_i = (-1)^{1+4} \begin{vmatrix} 1 & x_j & y_j \\ 1 & x_m & y_m \\ 1 & x_k & y_k \end{vmatrix} \quad (2-85)$$

而

$$V = \frac{1}{6} \begin{vmatrix} 1 & x_i & y_i & z_i \\ 1 & x_j & y_j & z_j \\ 1 & x_m & y_m & z_m \\ 1 & x_k & y_k & z_k \end{vmatrix}$$

为四面体的体积, 为了计算时使体积不为负值, 则 4 个结点的排列顺序必须依照一定的顺序, 即  $i \rightarrow j \rightarrow m$  按照右手定则转动时,  $k$  点在大拇指指向的一侧。

同理, 可以得到方程组(2-84)其余两组系数。这样, 空间 4 结点四面体单元的位移函数可以表示为:

$$\begin{bmatrix} u \\ v \\ w \end{bmatrix} = \begin{bmatrix} N_i & 0 & 0 & N_j & 0 & 0 & N_m & 0 & 0 & N_k & 0 & 0 \\ 0 & N_i & 0 & 0 & N_j & 0 & 0 & N_m & 0 & 0 & N_k & 0 \\ 0 & 0 & N_i & 0 & 0 & N_j & 0 & 0 & N_m & 0 & 0 & N_k \end{bmatrix} \delta^{\oplus}$$

即

$$\mathbf{d}^{\oplus} = \mathbf{N} \delta^{\oplus} \quad (2-86)$$

## 2.6.2 单元应变场和应力场

根据空间问题的几何方程, 其 6 个应变分量与 3 个位移分量之间的关系为:

$$\boldsymbol{\varepsilon} = \begin{bmatrix} \varepsilon_x \\ \varepsilon_y \\ \varepsilon_z \\ \gamma_{xy} \\ \gamma_{yz} \\ \gamma_{zx} \end{bmatrix} = \begin{bmatrix} \frac{\partial u}{\partial x} \\ \frac{\partial v}{\partial y} \\ \frac{\partial w}{\partial z} \\ \frac{\partial u}{\partial y} + \frac{\partial v}{\partial x} \\ \frac{\partial v}{\partial z} + \frac{\partial w}{\partial y} \\ \frac{\partial w}{\partial x} + \frac{\partial u}{\partial z} \end{bmatrix} \quad (2-87)$$

将式(2-85)代入式(2-87)得:



$$\boldsymbol{\varepsilon} = [\mathbf{B}_i \quad \mathbf{B}_j \quad \mathbf{B}_m \quad \mathbf{B}_k] \boldsymbol{\delta}^{\odot} = \mathbf{B} \boldsymbol{\delta}^{\odot} \quad (2-88)$$

其中几何矩阵  $\mathbf{B}$  的子块矩阵元素为:

$$\mathbf{B}_r = \frac{1}{6V} \begin{bmatrix} b_r & 0 & 0 \\ 0 & c_r & 0 \\ 0 & 0 & d_r \\ c_r & b_r & 0 \\ 0 & d_r & c_r \\ d_r & 0 & b_r \end{bmatrix} \quad (r=i, j, m, k) \quad (2-89)$$

根据空间弹性问题应力与应变的关系, 将式(2-87)代入其物理方程, 得到:

$$\boldsymbol{\sigma} = \mathbf{D} \boldsymbol{\varepsilon} = \mathbf{D} \mathbf{B} \boldsymbol{\delta}^{\odot} = \mathbf{S} \boldsymbol{\delta}^{\odot}$$

其中弹性矩阵  $\mathbf{D}$  为:

$$\mathbf{D} = \frac{E(1-\mu)}{(1+\mu)(1-2\mu)} \begin{bmatrix} 1 & \frac{\mu}{1-\mu} & \frac{\mu}{1-\mu} & 0 & 0 & 0 \\ & 1 & \frac{\mu}{1-\mu} & 0 & 0 & 0 \\ & & 1 & 0 & 0 & 0 \\ & & & \frac{1-2\mu}{2(1-\mu)} & 0 & 0 \\ \text{对称} & & & & \frac{1-2\mu}{2(1-\mu)} & 0 \\ & & & & & \frac{1-2\mu}{2(1-\mu)} \end{bmatrix}$$

应力矩阵  $\mathbf{S}$  为:

$$\mathbf{S} = [\mathbf{S}_i \quad \mathbf{S}_j \quad \mathbf{S}_m \quad \mathbf{S}_k]$$

其中,

$$\mathbf{S}_r = \mathbf{D} \mathbf{B}_r = \frac{A_3}{6V} \begin{bmatrix} b_r & A_1 c_r & A_1 d_r \\ A_1 b_r & c_r & A_1 d_r \\ A_1 b_r & A_1 c_r & d_r \\ A_2 c_r & A_2 b_r & 0 \\ 0 & A_2 d_r & A_2 c_r \\ A_2 d_r & 0 & A_2 b_r \end{bmatrix} \quad (r=i, j, m, k) \quad (2-90)$$

其中,

$$A_1 = \frac{\mu}{1-\mu}, \quad A_2 = \frac{1-2\mu}{2(1-\mu)}, \quad A_3 = \frac{E(1-\mu)}{(1+\mu)(1-2\mu)}$$

### 2.6.3 单元刚度矩阵

根据虚位移原理或极小势能原理可以推导其单元刚度矩阵为:

$$k^{\oplus} = \int_V B^T DB dV = B^T DBV = \begin{bmatrix} k_{ii} & k_{ij} & k_{im} & k_{ik} \\ k_{ji} & k_{jj} & k_{jm} & k_{jk} \\ k_{mi} & k_{mj} & k_{mm} & k_{mk} \\ k_{ki} & k_{kj} & k_{km} & k_{kk} \end{bmatrix}$$

其中分块矩阵  $k_n$  为:

$$\begin{aligned} k_n &= VB_n^T DB_s \\ &= \frac{A_s}{36V} \begin{bmatrix} b_i b_s + A_2(c_i c_s + d_i d_s) & A_1 b_i c_s + A_2 c_i b_s & A_1 b_i d_s + A_2 d_i b_s \\ A_1 c_i b_s + A_2 b_i c_s & c_i c_s + A_2(d_i d_s + b_i b_s) & A_1 c_i d_s + A_2 d_i c_s \\ A_1 d_i b_s + A_2 b_i d_s & A_1 d_i c_s + A_2 c_i d_s & d_i d_s + A_2(b_i b_s + c_i c_s) \end{bmatrix} \\ (r, s &= i, j, m, k) \end{aligned} \quad (2-91)$$

## 2.6.4 等效结点荷载计算

单元等效结点荷载矩阵为:

$$F_E^{\oplus} = \int_V N^T p_s dV + \int_S N^T q_s dS \quad (2-92)$$

设单元上有均匀分布的体积力:

$$p_s = [p_x \quad p_y \quad p_z]^T$$

则根据式(2-92)可计算其等效结点荷载在每一结点均相同,为:

$$F_E^{\oplus} = \frac{V}{4} [p_x \quad p_y \quad p_z]^T \quad (r=i, j, m, k)$$

若单元  $ijm$  面上有线分布的荷载  $q_s$ , 它在  $i$ 、 $j$ 、 $m$  三点的大小分别为:

$$q_i = [q_{xi} \quad q_{yi} \quad q_{zi}]^T$$

$$q_j = [q_{xj} \quad q_{yj} \quad q_{zj}]^T$$

$$q_m = [q_{xm} \quad q_{ym} \quad q_{zm}]^T$$

则单元等效结点荷载为:

$$F_{E,ijm}^{\oplus} = \frac{1}{6} A_{ijm} \begin{bmatrix} q_{xi} + \frac{1}{2}(q_{xj} + q_{xm}) \\ q_{yi} + \frac{1}{2}(q_{yj} + q_{ym}) \\ q_{zi} + \frac{1}{2}(q_{zj} + q_{zm}) \end{bmatrix} \quad (i \rightarrow j \rightarrow m)$$

$$F_{E,k}^{\oplus} = 0$$

## 2.7 空间 8 结点正六面体单元

将一个连续体划分为四面体时,由于空间形象难以想象,可能造成单元结点编码错误或漏掉单元的情况,而如果划分为六面体单元则简单得多。因此,这里介绍最简单的 8 结点正六面体单元(图 2.23)。该单元以正六面体的 8 个顶点作为结点,分别以 1~8 来表示,每



个结点有 3 个自由度, 因此该单元为 24 自由度单元, 其结点位移矩阵和荷载矩阵分别为:

$$\delta^{\text{e}} = [u_1 \quad v_1 \quad w_1 \quad u_2 \quad v_2 \quad w_2 \quad \cdots \quad u_8 \quad v_8 \quad w_8]^T$$

$$F^{\text{e}} = [F_{x1} \quad F_{y1} \quad F_{z1} \quad F_{x2} \quad F_{y2} \quad F_{z2} \quad \cdots \quad F_{x8} \quad F_{y8} \quad F_{z8}]^T$$

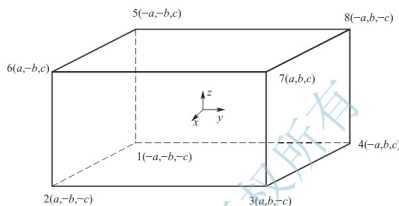


图 2.23 空间 8 结点正六面体单元

## 2.7.1 单元位移函数

根据位移函数应满足的要求, 因每个结点有 3 个自由度, 根据帕斯卡三角形, 可设位移函数为:

$$\begin{cases} u = a_1 + a_2x + a_3y + a_4z + a_5xy + a_6yz + a_7zx + a_8xyz \\ v = b_1 + b_2x + b_3y + b_4z + b_5xy + b_6yz + b_7zx + b_8xyz \\ w = c_1 + c_2x + c_3y + c_4z + c_5xy + c_6yz + c_7zx + c_8xyz \end{cases} \quad (2-93)$$

设单元沿  $x$ 、 $y$ 、 $z$  轴方向的边长分别为  $2a$ 、 $2b$ 、 $2c$ , 引入无量纲坐标:

$$\xi = \frac{x}{a}, \quad \eta = \frac{y}{b}, \quad \zeta = \frac{z}{c}$$

则单元的形函数可以统一表示为:

$$N_i = \frac{1}{8} (1 + \xi\xi_i) (1 + \eta\eta_i) (1 + \zeta\zeta_i) \quad (i=1, 2, 3, \dots, 8) \quad (2-94)$$

因此, 单元位移函数:

$$\begin{bmatrix} u \\ v \\ w \end{bmatrix} = \begin{bmatrix} N_1 & 0 & 0 & N_2 & 0 & 0 & \cdots & N_8 & 0 & 0 \\ 0 & N_1 & 0 & 0 & N_2 & 0 & \cdots & 0 & N_8 & 0 \\ 0 & 0 & N_1 & 0 & 0 & N_2 & \cdots & 0 & 0 & N_8 \end{bmatrix} \delta^{\text{e}}$$

$$\text{即 } d^{\text{e}} = N \delta^{\text{e}} \quad (2-95)$$

## 2.7.2 单元应变场和应力场

根据空间问题的几何方程, 将式(2-94)代入式(2-86)得:

$$\varepsilon = [B_1 \quad B_2 \quad B_3 \quad B_4 \quad B_5 \quad B_6 \quad B_7 \quad B_8] \delta^{\text{e}} = B \delta^{\text{e}} \quad (2-96)$$

其中几何矩阵  $B$  的子块矩阵元素为:



$$\mathbf{B}_i = \frac{1}{8abc} \begin{bmatrix} H_i & 0 & 0 \\ 0 & I_i & 0 \\ 0 & 0 & J_i \\ I_i & H_i & 0 \\ 0 & J_i & I_i \\ J_i & 0 & H_i \end{bmatrix} \quad (i=1, 2, 3, \dots, 8) \quad (2-97)$$

这里可得:

$$H_i = bc\xi_i(1+\eta\eta)(1+\zeta\zeta)$$

$$I_i = ac\eta_i(1+\xi\xi)(1+\zeta\zeta)$$

$$J_i = ab\zeta_i(1+\xi\xi)(1+\eta\eta)$$

根据空间弹性问题应力与应变的关系, 将式(2-87)代入其物理方程, 得到:

$$\boldsymbol{\sigma} = \mathbf{D}\boldsymbol{\varepsilon} = \mathbf{D}\mathbf{B}\boldsymbol{\delta}^{\oplus} = \mathbf{S}\boldsymbol{\delta}^{\oplus} \quad (2-98)$$

设

$$A_1 = \frac{\mu}{1-\mu}, \quad A_2 = \frac{1-2\mu}{2(1-\mu)}, \quad A_3 = \frac{E(1-\mu)}{(1+\mu)(1-2\mu)}$$

其中弹性矩阵  $\mathbf{D}$  为:

$$\mathbf{D} = A_3 \begin{bmatrix} 1 & A_1 & A_1 & 0 & 0 & 0 \\ A_1 & 1 & A_1 & 0 & 0 & 0 \\ A_1 & A_1 & 1 & 0 & 0 & 0 \\ 0 & 0 & 0 & A_2 & 0 & 0 \\ 0 & 0 & 0 & 0 & A_2 & 0 \\ 0 & 0 & 0 & 0 & 0 & A_2 \end{bmatrix} \quad (2-99)$$

应力矩阵  $\mathbf{S}$  为:

$$\mathbf{S} = [\mathbf{S}_1 \quad \mathbf{S}_2 \quad \mathbf{S}_3 \quad \mathbf{S}_4 \quad \mathbf{S}_5 \quad \mathbf{S}_6 \quad \mathbf{S}_7 \quad \mathbf{S}_8]$$

其中,

$$\mathbf{S}_i = \mathbf{D}\mathbf{B}_i = \frac{A_3}{8abc} \begin{bmatrix} H_i & A_1 I_i & A_1 J_i \\ A_1 H_i & I_i & A_1 J_i \\ A_1 H_i & A_1 I_i & J_i \\ A_2 I_i & A_2 H_i & 0 \\ 0 & A_2 J_i & A_2 I_i \\ A_2 J_i & 0 & A_2 H_i \end{bmatrix} \quad (i=1, 2, 3, \dots, 8) \quad (2-100)$$

## 2.7.3 单元刚度矩阵

根据虚位移原理或极小势能原理可以推导其单元刚度矩阵为:

$$\mathbf{k}^{\oplus} = \int_V \mathbf{B}^T \mathbf{D} \mathbf{B} dV = \begin{bmatrix} k_{11} & k_{12} & \cdots & k_{18} \\ k_{21} & k_{22} & \cdots & k_{28} \\ \vdots & \vdots & \ddots & \vdots \\ k_{81} & k_{82} & \cdots & k_{88} \end{bmatrix}$$



其中分块矩阵  $k_{ij}$  为:

$$k_{ij} = \int_V \mathbf{B}_i^T \mathbf{S}_j dx dy dz = abc \int_{-1}^1 \int_{-1}^1 \int_{-1}^1 \mathbf{B}_i^T \mathbf{S}_j d\xi d\eta d\zeta$$

其中,

$$\mathbf{B}_i^T \mathbf{S}_j = \frac{A_3}{64(abc)^2} \begin{bmatrix} H_i H_j + A_2 (I_i I_j + J_i J_j) & A_1 H_i I_j + A_2 I_i H_j & A_1 H_i J_j + A_2 J_i H_j \\ A_1 I_i H_j + A_2 H_i I_j & I_i I_j + A_2 (J_i J_j + H_i H_j) & A_1 I_i J_j + A_2 J_i I_j \\ A_1 J_i H_j + A_2 H_i J_j & A_1 J_i I_j + A_2 I_i J_j & J_i J_j + A_2 (H_i H_j + I_i I_j) \end{bmatrix}$$

故

$$k_{ij} = \frac{A_3}{72abc} \begin{bmatrix} G_{11} & G_{12} & G_{13} \\ G_{21} & G_{22} & G_{23} \\ G_{31} & G_{32} & G_{33} \end{bmatrix} \quad (i, j=1, 2, 3, \dots, 8) \quad (2-101)$$

$$G_{11} = b^2 c^2 \xi_i \xi_j (3 + \eta_i \eta_j) (3 + \zeta_i \zeta_j) + A_2 a^2 (3 + \xi_i \xi_j) \{ 3b^2 \zeta_i \zeta_j + \eta_i \eta_j [3c^2 + (b^2 + c^2) \zeta_i \zeta_j] \}$$

$$G_{12} = 3abc^2 (A_1 \xi_i \eta_j + A_2 \eta_i \xi_j) (3 + \zeta_i \zeta_j)$$

$$G_{13} = 3ab^2 c (A_1 \xi_i \zeta_j + A_2 \zeta_i \xi_j) (3 + \eta_i \eta_j)$$

$$G_{21} = 3abc^2 (A_1 \xi_i \eta_j + A_2 \eta_i \xi_j) (3 + \zeta_i \zeta_j)$$

$$G_{22} = a^2 c^2 \eta_i \eta_j (3 + \xi_i \xi_j) (3 + \zeta_i \zeta_j) + A_2 b^2 (3 + \eta_i \eta_j) \{ 3a^2 \zeta_i \zeta_j + \xi_i \xi_j [3c^2 + (a^2 + c^2) \zeta_i \zeta_j] \}$$

$$G_{23} = 3a^2 bc (A_1 \eta_i \zeta_j + A_2 \zeta_i \eta_j) (3 + \xi_i \xi_j)$$

$$G_{31} = 3ab^2 c (A_1 \xi_i \zeta_j + A_2 \zeta_i \xi_j) (3 + \eta_i \eta_j)$$

$$G_{32} = 3a^2 bc (A_1 \xi_i \eta_j + A_2 \eta_i \xi_j) (3 + \xi_i \xi_j)$$

$$G_{33} = a^2 b^2 \zeta_i \zeta_j (3 + \xi_i \xi_j) (3 + \eta_i \eta_j) + A_2 c^2 (3 + \zeta_i \zeta_j) \{ 3a^2 \eta_i \eta_j + \xi_i \xi_j [3b^2 + (a^2 + b^2) \eta_i \eta_j] \}$$

## 2.8 其他高阶单元

### 2.8.1 高阶平面单元

#### 1. 平面 10 结点三角形单元

前面介绍的平面 3 结点和 6 结点三角形单元分别为一次和二次单元, 为了提高计算精度, 有时需要用到更高阶的单元。因完全三次多项式有 10 项, 故除了三角形 3 个顶点外, 还取每边的三分点和形心作为结点, 形成 10 结点三角形单元(图 2.24)。

采用面积坐标可以得到其单元的形函数为:

角结点:

$$N_i = \frac{1}{2} L_i (3L_i - 1) (3L_i - 2) \quad (i=1, 2, 3)$$

棱边上结点:

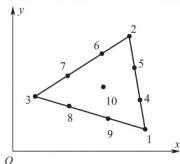


图 2.24 10 结点三角形单元

$$\begin{aligned}
 N_4 &= \frac{9}{2} L_1 L_2 (3L_1 - 1), & N_5 &= \frac{9}{2} L_1 L_2 (3L_2 - 1) \\
 N_6 &= \frac{9}{2} L_2 L_3 (3L_2 - 1), & N_7 &= \frac{9}{2} L_2 L_3 (3L_3 - 1) \\
 N_8 &= \frac{9}{2} L_3 L_1 (3L_3 - 1), & N_9 &= \frac{9}{2} L_3 L_1 (3L_1 - 1)
 \end{aligned} \quad (2-102)$$

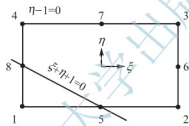
表面形心点:

$$N_{10} = 27L_1 L_2 L_3$$

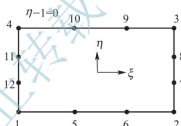
## 2. 8 结点和 12 结点矩形单元

如图 2.25(a) 所示的 8 结点矩形单元, 除矩形 4 个顶点外, 另外, 取每边的中点共 8 个点作为结点, 其单元形函数为:

$$N_i = \begin{cases} \frac{1}{4} (1 + \xi \xi_i) (1 + \eta \eta_i) (\xi_i \xi + \eta_i \eta - 1) & (i=1, 2, 3, 4) \\ \frac{1}{2} (1 - \xi^2) (1 + \eta \eta_i) & (i=5, 7) \\ \frac{1}{2} (1 - \eta^2) (1 + \xi \xi_i) & (i=6, 8) \end{cases} \quad (2-103)$$



(a) 8 结点



(b) 12 结点

图 2.25 8 结点和 12 结点矩形单元

如图 2.25(b) 所示的 12 结点矩形单元, 除矩形 4 个顶点外, 另外, 取每边的三分点共 12 个点作为结点, 其单元形函数为:

$$N_i = \begin{cases} \frac{1}{32} (1 + \xi \xi_i) (1 + \eta \eta_i) [9(\xi_i^2 + \eta_i^2) - 10] & (i=1, 2, 3, 4) \\ \frac{9}{32} (1 + \xi \xi_i) (1 - \eta^2) (1 + 9\eta \eta_i) & (i=7, 8, 11, 12) \\ \frac{9}{32} (1 + \eta \eta_i) (1 - \xi^2) (1 + 9\xi \xi_i) & (i=5, 6, 9, 10) \end{cases} \quad (2-104)$$

## 2.8.2 高阶四面体单元

### 1. 体积坐标

与面积坐标一样, 体积坐标的引入将简化四面体单元的分析过程。如图 2.26 所示四面体中取一点  $P(x, y, z)$  向四面体 4 个顶点连成直线, 这时原四面体被分割成 4 个小的四面体。则  $P$  点的位置可由以下几个参数来确定:



$$\begin{aligned} L_1 &= \frac{V_1}{V}, & L_2 &= \frac{V_2}{V} \\ L_3 &= \frac{V_3}{V}, & L_4 &= \frac{V_4}{V} \end{aligned} \quad (2-105)$$

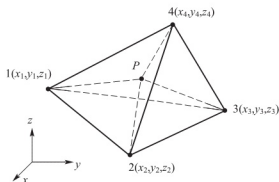


图 2.26 体积坐标

这里  $V_1$ 、 $V_2$ 、 $V_3$ 、 $V_4$  分别为四面体  $P234$ 、 $P341$ 、 $P412$ 、 $P123$  的体积, 上述四个比值即称为  $P$  点的体积坐标。其体积坐标与直角坐标之间有如下关系:

$$\begin{bmatrix} L_1 \\ L_2 \\ L_3 \\ L_4 \end{bmatrix} = \frac{1}{6V} \begin{vmatrix} a_i & b_i & c_i & d_i \\ a_j & b_j & c_j & d_j \\ a_m & b_m & c_m & d_m \\ a_k & b_k & c_k & d_k \end{vmatrix} \begin{bmatrix} 1 \\ x \\ y \\ z \end{bmatrix} \quad (2-106)$$

式中,  $a_r$ ,  $b_r$ ,  $c_r$ ,  $d_r$  ( $r=i, j, m, k$ ) 的定义为式(2-85)。显然, 体积坐标即为前面所述 4 结点四面体单元形函数, 即

$$L_1 = N_i, \quad L_2 = N_j, \quad L_3 = N_m, \quad L_4 = N_k \quad (2-107)$$

其直角坐标与体积坐标之间有如下关系:

$$\begin{bmatrix} 1 \\ x \\ y \\ z \end{bmatrix} = \begin{bmatrix} 1 & 1 & 1 & 1 \\ x_i & x_j & x_m & x_k \\ y_i & y_j & y_m & y_k \\ z_i & z_j & z_m & z_k \end{bmatrix} \begin{bmatrix} L_1 \\ L_2 \\ L_3 \\ L_4 \end{bmatrix} \quad (2-108)$$

求体积坐标的幂函数在四面体上的积分时, 与面积坐标有类似的积分公式:

$$\begin{aligned} \int_V L_1^a L_2^b L_3^c L_4^d dV &= 6V \frac{a!b!c!d!}{(a+b+c+d+3)!} \\ \int_A L_1^a L_2^b L_3^c dA &= 2A \frac{a!b!c!}{(a+b+c+2)!} \quad (A \text{ 为对应的面积}) \\ \int_A L_1^a L_2^b dl &= l \frac{a!b!}{(a+b+1)!} \quad (l \text{ 为对应的边长}) \end{aligned} \quad (2-109)$$

## 2. 10 结点四面体单元

前面所述的 4 结点四面体单元是一种常应变单元, 其位移函数是线性的。为了提高计算精度, 仿照平面三角形单元, 在四面体单元的 6 条边的中点增加一个结点, 这样该单元就变成了 10 结点四面体单元 [图 2.27(a)], 该单元的位移函数用直角坐标表示是完全的二次多项式。引入体积坐标后, 其单元形函数为:

$$\begin{aligned} \text{角结点:} & \quad N_i = L_i(2L_i - 1) \quad (i=1, 2, 3, 4) \\ \text{棱边上结点:} & \quad N_5 = 4L_1L_2, \quad N_6 = 4L_1L_3 \\ & \quad N_7 = 4L_1L_4, \quad N_8 = 4L_2L_3 \\ & \quad N_9 = 4L_3L_4, \quad N_{10} = 4L_2L_4 \end{aligned} \quad (2-110)$$

单元位移模式为:

$$u = \sum_{i=1}^{10} N_i u_i, \quad v = \sum_{i=1}^{10} N_i v_i, \quad w = \sum_{i=1}^{10} N_i w_i \quad (2-111)$$

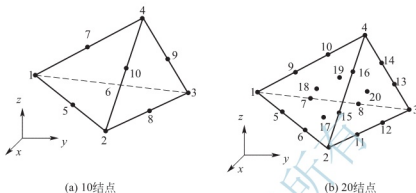


图 2.27 10 结点和 20 结点四面体单元

### 3. 20 结点四面体单元

在直角坐标系中，完全的三次多项式有 20 项，四面体单元的位移函数如果取完全三次多项式，需要 20 个结点。因此，取四面体的 4 个顶点，6 条棱边的三等分点以及四个表面的形心点作为结点，结点编码如图 2.27(b) 所示。用体积坐标表示，其单元形函数为：

$$\begin{aligned} \text{角结点: } N_i &= \frac{1}{2} L_i (3L_i - 1) (3L_i - 2) \quad (i=1, 2, 3, 4) \\ \text{棱边上结点: } N_5 &= \frac{9}{2} L_1 L_2 (3L_1 - 1), \quad N_6 = \frac{9}{2} L_1 L_2 (3L_2 - 1) \\ N_7 &= \frac{9}{2} L_1 L_3 (3L_1 - 1), \quad N_8 = \frac{9}{2} L_1 L_3 (3L_3 - 1) \\ &\dots \\ \text{表面形心点: } N_{17} &= 27 L_1 L_2 L_3, \quad N_{18} = 27 L_1 L_2 L_4 \\ N_{19} &= 27 L_1 L_3 L_4, \quad N_{20} = 27 L_2 L_3 L_4 \end{aligned} \quad (2-112)$$

## 2.8.3 高阶六面体单元

六面体单元除了前面叙述的 8 结点单元外，通常还有 20 结点和 32 结点六面体单元。下面分别介绍其形函数。

### 1. 20 结点六面体单元

该类型单元除了六面体的 8 个顶点作为结点外，在每条棱边的中点增加一个结点，就得到图 2.28(a) 所示的 20 结点六面体单元。由于每个结点有三个位移分量，故该类型单元有 60 个自由度，单元刚度矩阵为  $60 \times 60$  大小的矩阵。引入三个自然坐标  $\xi, \eta, \zeta$  ( $-1 \leq \xi, \eta, \zeta \leq 1$ )，可以得到单元形函数为：

$$\begin{aligned} \text{角结点: } N_i &= \frac{1}{8} (1 + \xi \xi_i) (1 + \eta \eta_i) (1 + \zeta \zeta_i) (\xi \xi_i + \eta \eta_i + \zeta \zeta_i - 2) \\ \text{棱边中点: } N_i &= \frac{1}{4} (1 - \xi^2) (1 + \eta \eta_i) (1 + \zeta \zeta_i) \quad (\xi_i = 0) \end{aligned} \quad (2-113)$$



$$N_i = \frac{1}{4}(1-\eta^2)(1+\xi\xi)(1+\zeta\zeta) \quad (\eta=0)$$

$$N_i = \frac{1}{4}(1-\zeta^2)(1+\xi\xi)(1+\eta\eta) \quad (\zeta=0)$$

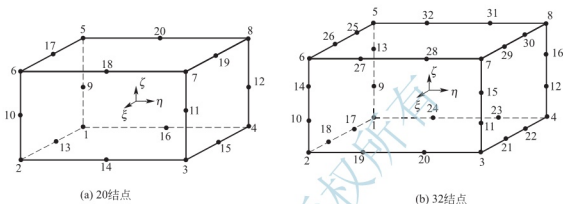


图 2.28 20 结点和 32 结点六面体单元

## 2. 32 结点六面体单元

该类型单元除了六面体的 8 个顶点作为结点外, 还取每条棱边的三分点作为结点, 就得到如图 2.28(b) 所示的 32 结点六面体单元, 其单元有 96 个自由度, 单元刚度矩阵的大小为  $96 \times 96$ 。同样, 引入三个自然坐标  $\xi$ 、 $\eta$ 、 $\zeta$  ( $-1 \leq \xi, \eta, \zeta \leq 1$ ), 可以得到单元形函数为:

$$\text{角结点: } N_i = \frac{1}{64}(1+\xi\xi)(1+\eta\eta)(1+\zeta\zeta)[9(\xi^2+\eta^2+\zeta^2)-19]$$

$$\text{棱边三分点: } N_i = \frac{9}{64}(1-\xi^2)(1+9\xi\xi)(1+\eta\eta)(1+\zeta\zeta) \left( \xi_i = \pm \frac{1}{3} \right) \quad (2-114)$$

$$N_i = \frac{9}{64}(1-\eta^2)(1+9\eta\eta)(1+\xi\xi)(1+\zeta\zeta) \left( \eta_i = \pm \frac{1}{3} \right)$$

$$N_i = \frac{9}{64}(1-\zeta^2)(1+9\zeta\zeta)(1+\eta\eta)(1+\xi\xi) \left( \zeta_i = \pm \frac{1}{3} \right)$$

## 2.9 等参单元与数值积分

从前面的分析中可知, 单元位移函数多项式的次数越高, 相应的精度也越高。从另外一个方面, 对一些具有曲线边界的结构, 如果仍采用直边单元, 进行网格划分时可能存在以折线代替曲线所带来单元数量大量增加以及模型上的误差, 这种误差是无法用提高位移函数的精度的办法来补偿的。因此需要构造一些高精度的曲边元, 以便在一定的精度要求下, 可以用少数的单元来求解。但是要构造出任意形状的单元来满足复杂边界问题存在多方面的困难。首先是难以构造出满足连续性条件的位移函数, 其次是单元分析中出现积分难以确定积分范围, 求解比较困难。能否由规则形状的单元衍生一种不规则单元呢?

数学上通过函数的映射关系, 可以将一种图形映射成另外一种图形, 如最常用到的

Fourier 变换。因此我们可以将一个坐标系下形状复杂的几何边界映射到另外一个坐标系下形成规则形状的几何边界，反之，也可以将复杂简单规则形状的几何边界映射成复杂的曲边界，即建立它们的一一对应关系。那么，可以将满足收敛条件的形状规则的高精度单元作为基本单元，通过坐标变换映射成边界任意的单元作为有限元分析的实际单元。

由基本单元映射实际单元的方法有多种，在有限单元法中最普遍采用的等参变换，即坐标变换和单元内场函数采用相同数目的结点参数和相同的插值函数，这种变换能够满足坐标变换的相容性。

## 2.9.1 等参变换

若要将局部坐标系  $O'\xi\eta\zeta$  (三维) 或  $O'\xi\eta$  (二维) 中几何形状规则的单元与整体坐标系  $Oxyz$  或  $Oxy$  中几何形状不规则的单元建立一一对应关系 (图 2.29、图 2.30)，必须建立整体坐标与局部坐标的关系，即

$$x = x(\xi, \eta, \zeta), \quad y = y(\xi, \eta, \zeta), \quad z = z(\xi, \eta, \zeta) \quad (2-115)$$

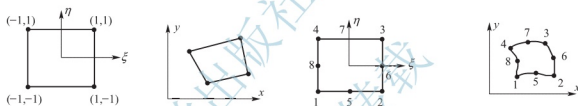


图 2.29 二维单元的坐标变换

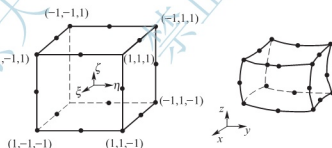


图 2.30 三维单元的坐标变换

若要建立式(2-115)所示的变换关系，通常最简单的方法是将其表示成插值函数的形式，即

$$\begin{cases} x = \sum_{i=1}^n N_i(\xi, \eta) x_i \\ y = \sum_{i=1}^n N_i(\xi, \eta) y_i \end{cases} \quad \text{或} \quad \begin{cases} x = \sum_{i=1}^n N_i(\xi, \eta, \zeta) x_i \\ y = \sum_{i=1}^n N_i(\xi, \eta, \zeta) y_i \\ z = \sum_{i=1}^n N_i(\xi, \eta, \zeta) z_i \end{cases} \quad (2-116)$$

其中  $n$  表示变换的单元结点数， $x_i$ 、 $y_i$ 、 $z_i$  是结点在  $Oxy$  坐标系中的坐标， $N_i$  是用局部坐标表示的插值基函数。满足：



$$(1) N_r(\xi, \eta, \zeta) = \begin{cases} 1 & (r=s) \\ 0 & (r \neq s) \end{cases} \quad (r, s=1, 2, \dots, n)$$

$$(2) \sum_{i=1}^n N_i(\xi, \eta, \zeta) = 1$$

由前面的分析可知, 位移函数可以表示成如下形式:

$$\begin{cases} u = \sum_{i=1}^n N_i(\xi, \eta) u_i \\ v = \sum_{i=1}^n N_i(\xi, \eta) v_i \end{cases} \quad \text{或} \quad \begin{cases} u = \sum_{i=1}^n N_i(\xi, \eta, \zeta) u_i \\ v = \sum_{i=1}^n N_i(\xi, \eta, \zeta) v_i \\ w = \sum_{i=1}^n N_i(\xi, \eta, \zeta) w_i \end{cases} \quad (2-117)$$

可以看到坐标变换关系和位移函数插值形式上是相同的, 都采用相同数目的结点, 并且使用相同的插值函数, 故这种变换称为等参数变换(简称等参变换)。由于有限单元法分析时, 涉及对形函数求关于  $x$ 、 $y$ 、 $z$  的偏导数以及对坐标变量积分, 因此需要建立整体坐标系与局部坐标系之间的关系。

### 1. 偏导数之间的关系

由于坐标变量  $x$ 、 $y$ 、 $z$  是关于变量  $\xi$ 、 $\eta$ 、 $\zeta$  的函数, 反过来,  $\xi$ 、 $\eta$ 、 $\zeta$  是关于  $x$ 、 $y$ 、 $z$  的函数, 按照多元函数偏微分的规则, 插值函数  $N_i$  对局部坐标  $\xi$  的偏导数可以写成:

$$\frac{\partial N_i}{\partial \xi} = \frac{\partial N_i}{\partial x} \frac{\partial x}{\partial \xi} + \frac{\partial N_i}{\partial y} \frac{\partial y}{\partial \xi} + \frac{\partial N_i}{\partial z} \frac{\partial z}{\partial \xi}$$

同样可以类似地写出插值函数  $N_i$  对局部坐标  $\eta$ 、 $\zeta$  的偏导数, 写成矩阵形式有:

$$\begin{bmatrix} \frac{\partial N_i}{\partial \xi} \\ \frac{\partial N_i}{\partial \eta} \\ \frac{\partial N_i}{\partial \zeta} \end{bmatrix} = \begin{bmatrix} \frac{\partial x}{\partial \xi} & \frac{\partial y}{\partial \xi} & \frac{\partial z}{\partial \xi} \\ \frac{\partial x}{\partial \eta} & \frac{\partial y}{\partial \eta} & \frac{\partial z}{\partial \eta} \\ \frac{\partial x}{\partial \zeta} & \frac{\partial y}{\partial \zeta} & \frac{\partial z}{\partial \zeta} \end{bmatrix} \begin{bmatrix} \frac{\partial N_i}{\partial x} \\ \frac{\partial N_i}{\partial y} \\ \frac{\partial N_i}{\partial z} \end{bmatrix} \quad (2-118)$$

定义

$$\mathbf{J}(\xi, \eta, \zeta) = \begin{bmatrix} \frac{\partial x}{\partial \xi} & \frac{\partial y}{\partial \xi} & \frac{\partial z}{\partial \xi} \\ \frac{\partial x}{\partial \eta} & \frac{\partial y}{\partial \eta} & \frac{\partial z}{\partial \eta} \\ \frac{\partial x}{\partial \zeta} & \frac{\partial y}{\partial \zeta} & \frac{\partial z}{\partial \zeta} \end{bmatrix} \quad (2-119)$$

称  $\mathbf{J}(\xi, \eta, \zeta)$  为雅可比(Jacobi)矩阵, 将式(2-116)代入式(2-119)得:



$$\begin{aligned}
 \mathbf{J}(\xi, \eta, \zeta) &= \begin{bmatrix} \sum_{i=1}^n \frac{\partial N_i}{\partial \xi} x_i & \sum_{i=1}^n \frac{\partial N_i}{\partial \xi} y_i & \sum_{i=1}^n \frac{\partial N_i}{\partial \xi} z_i \\ \sum_{i=1}^n \frac{\partial N_i}{\partial \eta} x_i & \sum_{i=1}^n \frac{\partial N_i}{\partial \eta} y_i & \sum_{i=1}^n \frac{\partial N_i}{\partial \eta} z_i \\ \sum_{i=1}^n \frac{\partial N_i}{\partial \zeta} x_i & \sum_{i=1}^n \frac{\partial N_i}{\partial \zeta} y_i & \sum_{i=1}^n \frac{\partial N_i}{\partial \zeta} z_i \end{bmatrix} \\
 &= \begin{bmatrix} \frac{\partial N_1}{\partial \xi} & \frac{\partial N_2}{\partial \xi} & \cdots & \frac{\partial N_n}{\partial \xi} \\ \frac{\partial N_1}{\partial \eta} & \frac{\partial N_2}{\partial \eta} & \cdots & \frac{\partial N_n}{\partial \eta} \\ \frac{\partial N_1}{\partial \zeta} & \frac{\partial N_2}{\partial \zeta} & \cdots & \frac{\partial N_n}{\partial \zeta} \end{bmatrix} \begin{bmatrix} x_1 & y_1 & z_1 \\ x_2 & y_2 & z_1 \\ \vdots & \vdots & \vdots \\ x_n & y_n & z_n \end{bmatrix} \quad (2-120)
 \end{aligned}$$

若  $\det \mathbf{J} \neq 0$ , 则可以得到:

$$\begin{bmatrix} \frac{\partial}{\partial x} \\ \frac{\partial}{\partial y} \\ \frac{\partial}{\partial z} \end{bmatrix} = \mathbf{J}^{-1} \begin{bmatrix} \frac{\partial}{\partial \xi} \\ \frac{\partial}{\partial \eta} \\ \frac{\partial}{\partial \zeta} \end{bmatrix} \quad (2-121)$$

这里  $\det \mathbf{J}$  表示  $\mathbf{J}$  矩阵对应行列式的值,  $\mathbf{J}^{-1}$  表示  $\mathbf{J}$  矩阵的逆矩阵。

## 2. 雅可比(Jacobi)矩阵计算程序

```
float plane_jacobi(float**XY,float**DN,float**Jacobi,float**InvJacobi,float
**DNxy,int numNode)
```

/\* -----

功能:计算平面等参单元雅可比矩阵及其逆矩阵、形函数对整体坐标 x、y 的偏导数

----- \*/

输入:

numNode:单元结点数

XY:结点坐标数组, numNode x 2

DN:形函数关于局部坐标的偏导数数组, numNode x 2

输出:

Jacobi:雅可比矩阵数组, 2\*2

InvJacobi:雅可比矩阵的逆矩阵数组, 2\*2

DNxy:形函数对整体坐标 x、y 的偏导数数组, numNode x 2

返回:

雅可比矩阵行列式的值

----- \*/

```
{
    int dim=2;    // 表示二维
    int i,j,k;
    float detJ;
```



```

// 计算 jacobin 矩阵
for (i=0; i<dim; i++) {
    for (j=0; j<dim; j++) {
        Jacobin[i][j]=0.0;
        for (k=0; k<numNode; k++)    Jacobin[i][j]+=DN[k][i]*XY[k][j];
    }
}
// 计算 jacobin 矩阵行列式的值
detJ=Jacobian[0][0]*Jacobian[1][1]-Jacobian[0][1]*Jacobian[1][0];
if (fabs(detJ)<1.0e-10)    exit(0);

// 计算 jacobin 矩阵的逆矩阵
InvJacobian[0][0]=Jacobian[1][1]/detJ;
InvJacobian[0][1]=-Jacobian[0][1]/detJ;
InvJacobian[1][0]=-Jacobian[1][0]/detJ;
InvJacobian[1][1]=Jacobian[0][0]/detJ;

// 计算形函数对整体坐标 x,y 的偏导数
for (i=0; i<numNode; i++) {
    for (j=0; j<dim; j++) {
        DNxy[i][j]=0.0;
        for (k=0; k<dim; k++)    DNxy[i][j]+=InvJacobian[j][k]*DN[i][k];
    }
}
return detJ;
}

```

### 3. 体积微元、面积微元的变换

在整体坐标系内  $d\xi$ 、 $d\eta$ 、 $d\zeta$  所形成的体积微元为:

$$dV = d\xi \cdot (d\eta \times d\zeta) \quad (2-122)$$

其中,

$$\begin{cases} d\xi = \frac{\partial x}{\partial \xi} d\xi i + \frac{\partial y}{\partial \xi} d\xi j + \frac{\partial z}{\partial \xi} d\xi k \\ d\eta = \frac{\partial x}{\partial \eta} d\eta i + \frac{\partial y}{\partial \eta} d\eta j + \frac{\partial z}{\partial \eta} d\eta k \\ d\zeta = \frac{\partial x}{\partial \zeta} d\zeta i + \frac{\partial y}{\partial \zeta} d\zeta j + \frac{\partial z}{\partial \zeta} d\zeta k \end{cases} \quad (2-123)$$

这里  $i$ 、 $j$ 、 $k$  分别是笛卡尔坐标系  $Oxyz$  中  $x$ 、 $y$ 、 $z$  方向的单位矢量。将式(2-123)代入式(2-122), 可以得到:

$$dV = \begin{bmatrix} \frac{\partial x}{\partial \xi} & \frac{\partial y}{\partial \xi} & \frac{\partial z}{\partial \xi} \\ \frac{\partial x}{\partial \eta} & \frac{\partial y}{\partial \eta} & \frac{\partial z}{\partial \eta} \\ \frac{\partial x}{\partial \zeta} & \frac{\partial y}{\partial \zeta} & \frac{\partial z}{\partial \zeta} \end{bmatrix} d\xi d\eta d\zeta = \det J d\xi d\eta d\zeta \quad (2-124)$$

关于面积微元, 如在  $\xi=c$  (常数) 的面上, 有

$$\begin{aligned} dA &= \det(\mathbf{d}\boldsymbol{\eta} \times d\boldsymbol{\zeta}) \\ &= \left[ \left( \frac{\partial y}{\partial \eta} \frac{\partial z}{\partial \xi} - \frac{\partial y}{\partial \xi} \frac{\partial z}{\partial \eta} \right)^2 + \left( \frac{\partial z}{\partial \eta} \frac{\partial x}{\partial \xi} - \frac{\partial z}{\partial \xi} \frac{\partial x}{\partial \eta} \right)^2 + \left( \frac{\partial x}{\partial \eta} \frac{\partial y}{\partial \xi} - \frac{\partial x}{\partial \xi} \frac{\partial y}{\partial \eta} \right)^2 \right]^{1/2} d\eta d\xi \\ &= A d\eta d\xi \end{aligned} \quad (2-125)$$

经过上述变换后, 对于不规则区域的积分最终转化成在规则区域内的积分, 如:

$$\begin{aligned} \int_V G(x, y, z) dx dy dz &= \int_{-1}^1 \int_{-1}^1 \int_{-1}^1 G^*(\xi, \eta, \zeta) \det \mathbf{J} d\xi d\eta d\zeta \\ \int_A g(x, y, z) dA &= \int_{-1}^1 \int_{-1}^1 g^*(c, \eta, \zeta) A d\eta d\zeta \end{aligned}$$

对于二维情况, 上面各式进行相应的简化, 如 Jacobi 矩阵为:

$$\mathbf{J}(\xi, \eta) = \begin{bmatrix} \sum_{i=1}^n \frac{\partial N_i}{\partial \xi} x_i & \sum_{i=1}^n \frac{\partial N_i}{\partial \xi} y_i \\ \sum_{i=1}^n \frac{\partial N_i}{\partial \eta} x_i & \sum_{i=1}^n \frac{\partial N_i}{\partial \eta} y_i \end{bmatrix} = \begin{bmatrix} \frac{\partial N_1}{\partial \xi} & \frac{\partial N_2}{\partial \xi} & \dots & \frac{\partial N_n}{\partial \xi} \\ \frac{\partial N_1}{\partial \eta} & \frac{\partial N_2}{\partial \eta} & \dots & \frac{\partial N_n}{\partial \eta} \end{bmatrix} \begin{bmatrix} x_1 & y_1 \\ x_2 & y_2 \\ \vdots & \vdots \\ x_n & y_n \end{bmatrix} \quad (2-126)$$

两偏导数之间的关系为:

$$\begin{bmatrix} \frac{\partial}{\partial x} \\ \frac{\partial}{\partial y} \end{bmatrix} = \mathbf{J}^{-1} \begin{bmatrix} \frac{\partial}{\partial \xi} \\ \frac{\partial}{\partial \eta} \end{bmatrix} \quad (2-127)$$

$d\xi$  和  $d\eta$  在笛卡尔坐标系内形成的面积微元为:

$$dA = \det \mathbf{J} d\xi d\eta \quad (2-128)$$

在  $\xi=c$  的曲线上,  $d\eta$  的微线段长度为:

$$ds = \left[ \left( \frac{\partial x}{\partial \eta} \right)^2 + \left( \frac{\partial y}{\partial \eta} \right)^2 \right]^{1/2} d\eta = s d\eta \quad (2-129)$$

#### 4. 面积或体积坐标与笛卡尔坐标之间的变换

因为面积坐标和体积坐标不是完全对立, 如面积坐标之间有  $L_1 + L_2 + L_3 = 1$ , 体积坐标之间有  $L_1 + L_2 + L_3 + L_4 = 1$ , 因此可以重新定义新的坐标变量, 如对于三维问题, 可设

$$\xi = L_1, \quad \eta = L_2, \quad \zeta = L_3$$

则有

$$1 - \xi - \eta - \zeta = L_4$$

那么, 相应的偏导数之间的关系变为:

$$\begin{aligned} \frac{\partial N_i}{\partial \xi} &= \frac{\partial N_i}{\partial L_1} \frac{\partial L_1}{\partial \xi} + \frac{\partial N_i}{\partial L_2} \frac{\partial L_2}{\partial \xi} + \frac{\partial N_i}{\partial L_3} \frac{\partial L_3}{\partial \xi} + \frac{\partial N_i}{\partial L_4} \frac{\partial L_4}{\partial \xi} = \frac{\partial N_i}{\partial L_1} - \frac{\partial N_i}{\partial L_4} \\ \frac{\partial N_i}{\partial \eta} &= \frac{\partial N_i}{\partial L_2} - \frac{\partial N_i}{\partial L_4} \\ \frac{\partial N_i}{\partial \zeta} &= \frac{\partial N_i}{\partial L_3} - \frac{\partial N_i}{\partial L_4} \end{aligned} \quad (2-130)$$

二维情况,  $\xi = L_1, \eta = L_2, 1 - \xi - \eta = L_3$



故:  $\frac{\partial N_i}{\partial \xi} = \frac{\partial N_i}{\partial L_1} \frac{\partial L_1}{\partial \xi}, \frac{\partial N_i}{\partial \eta} = \frac{\partial N_i}{\partial L_2} \frac{\partial L_2}{\partial \xi}$

同时, 体积微元和面积微元的积分限必须做必要的修改,

$$\int_V G(x, y, z) dx dy dz = \int_0^1 \int_0^{1-L_2} \int_0^{1-L_2-L_3} G^*(\xi, \eta, \zeta) \det \mathbf{J} dL_1 dL_2 dL_3$$

## 2.9.2 平面 4 结点四边形等参单元

前面介绍的矩形双线性单元虽然有较高的计算精度, 但只能适应比较规则的区域, 对不规则的区域, 必须用任意的四边形单元来代替。

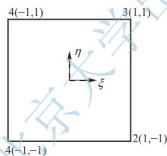
### 1. 单元位移函数

如图 2.31 所示为边长为 2 的正方形标准单元和直四边形单元。由式(2-33)知道, 标准单元的位移函数为:

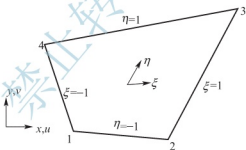
$$\begin{bmatrix} u \\ v \end{bmatrix} = \begin{bmatrix} N_1 & 0 & N_2 & 0 & N_3 & 0 & N_4 & 0 \\ 0 & N_1 & 0 & N_2 & 0 & N_3 & 0 & N_4 \end{bmatrix} \boldsymbol{\delta}^{\text{e}} = \mathbf{N} \boldsymbol{\delta}^{\text{e}} \quad (2-131)$$

其中,  $\mathbf{N}$  为标准单元的形函数矩阵, 且

$$N_i(\xi, \eta) = \frac{1}{4} (1 + \xi \xi_i) (1 + \eta \eta_i) \quad (i=1, 2, 3, 4) \quad (2-132)$$



(a) 标准元



(b) 直四边形单元

图 2.31 平面 4 结点四边形等参单元

对于标准单元的计算, 可以按照前面介绍的矩形单元分析的步骤进行。它本身并没有多大的使用价值, 但可以利用它得到实际计算单元。利用形函数表达式(2-132)做如下的坐标变换:

$$\begin{cases} x(\xi, \eta) = \sum_{i=1}^4 N_i(\xi, \eta) x_i \\ y(\xi, \eta) = \sum_{i=1}^4 N_i(\xi, \eta) y_i \end{cases} \quad (2-133)$$

使得图 2.31(a)中  $\xi\eta$  平面上的四个角点分别映射为图 2.31(b)中  $xy$  平面上的四个角点。如果对实际计算单元的位移函数仍采用标准元的形函数, 即式(2-132), 可以证明它满足完备性和协调性的要求。由于描述单元变形的函数和描述单元几何形状的函数相同, 故称计算元为等参元(iso-parametric element)。下面是计算平面 4 结点等参单元的形函数及其

导数(对局部坐标)。

```
void plane_Q4_N(float s, float t, float* N, float** DN)
/* -----
   功能: 计算平面 4 结点等参单元的形函数及其导数 (对局部坐标)
   -----
   输入:
       s: 局部坐标 x 方向
       t: 局部坐标 y 方向
   输出:
       N: 存放形函数, 大小 N[4]
       DN: 存放形函数导数, 大小 DN[4][2]
   ----- */
{
    if (N! = NULL) {
        N[0] = 0.25 * (1.0 - s) * (1.0 - t);
        N[1] = 0.25 * (1.0 + s) * (1.0 - t);
        N[2] = 0.25 * (1.0 + s) * (1.0 + t);
        N[3] = 0.25 * (1.0 - s) * (1.0 + t);
    }
    if (DN! = NULL) {
        DN[0][0] = 0.25 * (-1 + t); // 对 s 求偏导数
        DN[1][0] = 0.25 * (1 - t);
        DN[2][0] = 0.25 * (1 + t);
        DN[3][0] = 0.25 * (-1 - t);

        DN[0][1] = 0.25 * (-1 + s); // 对 t 求偏导数
        DN[1][1] = 0.25 * (-1 - s);
        DN[2][1] = 0.25 * (1 + s);
        DN[3][1] = 0.25 * (1 - s);
    }
}
```

## 2. 单元应变场

将位移函数式(2-131)代入几何方程, 可以得到其应变场:

$$\boldsymbol{\varepsilon} = \begin{bmatrix} \frac{\partial u}{\partial x} \\ \frac{\partial v}{\partial y} \\ \frac{\partial u}{\partial y} + \frac{\partial v}{\partial x} \end{bmatrix} = \mathbf{B} \boldsymbol{\delta}^{\text{e}} = [\mathbf{B}_1 \quad \mathbf{B}_2 \quad \mathbf{B}_3 \quad \mathbf{B}_4] \boldsymbol{\delta}^{\text{e}} \quad (2-134)$$

式中:



$$B_i = \begin{bmatrix} \frac{\partial N_i}{\partial x} & 0 \\ 0 & \frac{\partial N_i}{\partial y} \\ \frac{\partial N_i}{\partial y} & \frac{\partial N_i}{\partial x} \end{bmatrix} \quad (i=1, 2, 3, 4) \quad (2-135)$$

根据复合函数求导规则, 有

$$\begin{bmatrix} \frac{\partial}{\partial \xi} \\ \frac{\partial}{\partial \eta} \end{bmatrix} = \begin{bmatrix} \frac{\partial x}{\partial \xi} & \frac{\partial y}{\partial \xi} \\ \frac{\partial x}{\partial \eta} & \frac{\partial y}{\partial \eta} \end{bmatrix} \begin{bmatrix} \frac{\partial}{\partial x} \\ \frac{\partial}{\partial y} \end{bmatrix} \quad (2-136)$$

定义

$$J(\xi, \eta) = \begin{bmatrix} \frac{\partial x}{\partial \xi} & \frac{\partial y}{\partial \xi} \\ \frac{\partial x}{\partial \eta} & \frac{\partial y}{\partial \eta} \end{bmatrix} \quad (2-137)$$

称  $J(\xi, \eta)$  为雅可比(Jacobi)矩阵, 若  $\det J \neq 0$ , 则可以得到:

$$\begin{bmatrix} \frac{\partial}{\partial x} \\ \frac{\partial}{\partial y} \end{bmatrix} = J^{-1} \begin{bmatrix} \frac{\partial}{\partial \xi} \\ \frac{\partial}{\partial \eta} \end{bmatrix} \quad (2-138)$$

将式(2-133)代入式(2-137)得:

$$J(\xi, \eta) = \begin{bmatrix} \sum_{i=1}^4 \frac{\partial N_i}{\partial \xi} x_i & \sum_{i=1}^4 \frac{\partial N_i}{\partial \xi} y_i \\ \sum_{i=1}^4 \frac{\partial N_i}{\partial \eta} x_i & \sum_{i=1}^4 \frac{\partial N_i}{\partial \eta} y_i \end{bmatrix} = \begin{bmatrix} \frac{\partial N_1}{\partial \xi} & \frac{\partial N_2}{\partial \xi} & \frac{\partial N_3}{\partial \xi} & \frac{\partial N_4}{\partial \xi} \\ \frac{\partial N_1}{\partial \eta} & \frac{\partial N_2}{\partial \eta} & \frac{\partial N_3}{\partial \eta} & \frac{\partial N_4}{\partial \eta} \end{bmatrix} \begin{bmatrix} x_1 & y_1 \\ x_2 & y_2 \\ x_3 & y_3 \\ x_4 & y_4 \end{bmatrix} \quad (2-139)$$

其中,

$$\begin{cases} \frac{\partial N_i}{\partial \xi} = \frac{1}{4} \xi_i (1 + \eta_i \eta) \\ \frac{\partial N_i}{\partial \eta} = \frac{1}{4} \eta_i (1 + \xi_i \xi) \end{cases} \quad (i=1, 2, 3, 4) \quad (2-140)$$

故为雅可比矩阵  $J(\xi, \eta)$  为:

$$J = \frac{1}{4} \begin{bmatrix} \xi_1 (1 + \eta_1 \eta) & \xi_2 (1 + \eta_2 \eta) & \xi_3 (1 + \eta_3 \eta) & \xi_4 (1 + \eta_4 \eta) \\ \eta_1 (1 + \xi_1 \xi) & \eta_2 (1 + \xi_2 \xi) & \eta_3 (1 + \xi_3 \xi) & \eta_4 (1 + \xi_4 \xi) \end{bmatrix} \begin{bmatrix} x_1 & y_1 \\ x_2 & y_2 \\ x_3 & y_3 \\ x_4 & y_4 \end{bmatrix} \quad (2-141)$$

设

$$A = \sum_{i=1}^4 \xi_i \eta_i x_i, B = \sum_{i=1}^4 \xi_i \eta_i y_i, e_1 = \sum_{i=1}^4 \xi_i x_i, e_2 = \sum_{i=1}^4 \eta_i x_i, e_3 = \sum_{i=1}^4 \xi_i y_i, e_4 = \sum_{i=1}^4 \eta_i y_i$$

则

$$\mathbf{J} = \frac{1}{4} \begin{bmatrix} e_1 + A\eta & e_3 + B\eta \\ e_2 + A\xi & e_4 + B\xi \end{bmatrix} \quad (2-142)$$

其对行列式的值:

$$\det \mathbf{J} = \frac{1}{16} [(e_1 e_4 - e_2 e_3) + (Be_1 - Ae_2)\xi + (Ae_4 - Be_2)\eta] \quad (2-143)$$

当  $\det \mathbf{J} \neq 0$  时,  $\mathbf{J}$  存在逆矩阵, 即

$$\mathbf{J}^{-1} = \frac{1}{4 \det \mathbf{J}} \begin{bmatrix} e_1 + B\xi & -(e_3 + B\eta) \\ -(e_2 + A\xi) & e_4 + A\eta \end{bmatrix} \quad (2-144)$$

下面是计算平面等参单元几何矩阵的子程序, 该程序对于 4 结点和 8 结点等参单元均适应, 关于雅可比矩阵的计算程序见 2.9.1 节内容。

```
void plane_B(float**DNxy, float**B, int numEleNode)
-----*/
    功能: 计算平面等参单元的几何矩阵
-----
    输入:
        numEleNode: 单元结点数
        DNxy: 形函数对整体坐标 x, y 的偏导数, DNxy[i][0] 对 x, DNxy[i][1] 对 y
    输出:
        B: 几何矩阵, 大小 B[3][2*numEleNode]
-----*/
{
    int i, i2;

    for (i=0; i<numEleNode; i++) {
        i2=i*2;
        B[0][i2]=DNxy[i][0]; B[0][i2+1]=0.0;
        B[1][i2]=0.0;        B[1][i2+1]=DNxy[i][1];
        B[2][i2]=DNxy[i][1]; B[2][i2+1]=DNxy[i][0];
    }
}
```

讨论: 什么情况下  $\det \mathbf{J} \neq 0$  呢?

从式(2-143)可以看出,  $\det \mathbf{J}$  是  $\xi$ 、 $\eta$  的线性函数, 要使  $\det \mathbf{J} \neq 0$  在整个单元上成立, 只需要  $\det \mathbf{J}$  在 4 个结点处的值具有同一符号即可。因为由线性函数的性质可知, 这时  $\det \mathbf{J}$  在整个单元也将有同一的符号, 从而使得  $\det \mathbf{J} \neq 0$ 。

以结点 1 为例, 将局部坐标  $(-1, -1)$  代入式(2-143)有:

$$\det \mathbf{J}_{(-1, -1)} = \frac{1}{4} \begin{vmatrix} x_2 - x_1 & y_2 - y_1 \\ x_4 - x_1 & y_4 - y_1 \end{vmatrix} = \frac{1}{4} l_{12} l_{14} \sin \theta_1$$

这里  $\theta_1$  为整体坐标系任意四边形单元的 12 边和 14 边所夹的角,  $l_{12}$  为 12 边的长度,  $l_{14}$  为 14 边的长度 [图 2.32(a)]。同理, 可得在其他结点上的  $\det \mathbf{J}$ :

$$\det \mathbf{J}_{(1, -1)} = \frac{1}{4} l_{21} l_{23} \sin \theta_2, \quad \det \mathbf{J}_{(1, 1)} = \frac{1}{4} l_{31} l_{34} \sin \theta_3, \quad \det \mathbf{J}_{(-1, 1)} = \frac{1}{4} l_{41} l_{43} \sin \theta_4$$



由于四边形内角和为  $2\pi$ , 即

$$\theta_1 + \theta_2 + \theta_3 + \theta_4 = 2\pi$$

所以只有在

$$0 < \theta_i < \pi \quad (i=1, 2, 3, 4)$$

的条件下才会使  $\det \mathbf{J}$  符号一致, 且大于 0。这说明为保证  $\det \mathbf{J} \neq 0$ , 在整体坐标系下划分的四边形必须为凸的四边形, 而不能出现有一个内角大于  $\pi$  的凹四边形, 如图 2.32(b) 所示右边的单元划分是错误的。通常, 为了保证计算的精度, 在划分单元时尽量使四边形形状接近正方形。

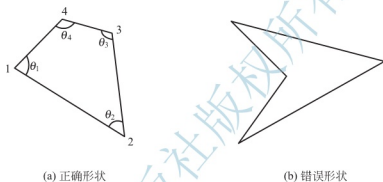


图 2.32 四边形的形状

### 3. 单元应力场

与前面分析的一样, 单元内的应力场为:

$$\boldsymbol{\sigma} = \mathbf{DB} \boldsymbol{\delta}^e = \mathbf{S} \boldsymbol{\delta}^e = [\mathbf{S}_1 \quad \mathbf{S}_2 \quad \mathbf{S}_3 \quad \mathbf{S}_4] \boldsymbol{\delta}^e \quad (2-145)$$

对于平面应力问题, 其中,

$$\mathbf{S} = \mathbf{DB}_i = \frac{E}{1-\mu^2} \begin{bmatrix} \frac{\partial N_i}{\partial x} & \mu \frac{\partial N_i}{\partial y} \\ \mu \frac{\partial N_i}{\partial x} & \frac{\partial N_i}{\partial y} \\ \frac{1-\mu}{2} \frac{\partial N_i}{\partial y} & \frac{1-\mu}{2} \frac{\partial N_i}{\partial x} \end{bmatrix} \quad (i=1, 2, 3, 4) \quad (2-146)$$

下面是计算平面等参单元应力矩阵的子程序。

```
void plane_S(float ** D, float ** B, float ** S, int numEleNode)
```

```
/*
```

```
功能: 计算平面等参单元应力矩阵 S=D*B
```

```
输入:
```

```
numEleNode: 单元结点数
```

```
D: 弹性矩阵 3*3
```

```
B: 几何矩阵 3*(numEleNode*2)
```

```
输出:
```

```
S: 应力矩阵, 3*(numEleNode*2)
```

```
-----*/
```



```

{
    int i, j, k;
    for(i=0; i<3; i++) {
        for(j=0; j<numEleNode*2; j++) {
            S[i][j] = 0.0;
            for(k=0; k<3; k++) S[i][j] += D[i][k] * B[k][j];
        }
    }
}

```

#### 4. 单元刚度矩阵

单元刚度矩阵为:

$$\mathbf{K}^{\text{e}} = \int_V \mathbf{B}^T \mathbf{D} \mathbf{B} dV = h \int_A \mathbf{B}^T \mathbf{D} \mathbf{B} dA = h \int_{-1}^1 \int_{-1}^1 \mathbf{B}^T \mathbf{D} \mathbf{B} \det \mathbf{J} d\xi d\eta \quad (2-147)$$

式中,  $h$  为单元厚度。 $\mathbf{K}^{\text{e}}$  可划分为子矩阵的形式, 子矩阵的计算公式为:

$$\mathbf{k}_{ij} = t \int_{-1}^1 \int_{-1}^1 \mathbf{B}_i^T \mathbf{D} \mathbf{B}_j |\mathbf{J}| d\xi d\eta \quad (i, j = 1, 2, 3, 4) \quad (2-148)$$

对于平面应力问题,

$$\mathbf{B}_i^T \mathbf{D} \mathbf{B}_j = \frac{E}{1-\mu^2} \begin{bmatrix} \frac{\partial N_i}{\partial x} \frac{\partial N_j}{\partial x} + \frac{1-\mu}{2} \frac{\partial N_i}{\partial y} \frac{\partial N_j}{\partial y} & \mu \frac{\partial N_i}{\partial x} \frac{\partial N_j}{\partial y} + \frac{1-\mu}{2} \frac{\partial N_i}{\partial y} \frac{\partial N_j}{\partial x} \\ \mu \frac{\partial N_i}{\partial y} \frac{\partial N_j}{\partial x} + \frac{1-\mu}{2} \frac{\partial N_i}{\partial x} \frac{\partial N_j}{\partial y} & \frac{\partial N_i}{\partial y} \frac{\partial N_j}{\partial y} + \frac{1-\mu}{2} \frac{\partial N_i}{\partial x} \frac{\partial N_j}{\partial x} \end{bmatrix} \quad (i, j = 1, 2, 3, 4) \quad (2-149)$$

其单元刚度矩阵计算子程序如下:

```

void plane_Q4_ke(INFO_NODE*node, INFO_MATERIAL*material, int*eNd, int em,
    float**ke, int ngaus, int flag)

```

/\* -----

功能: 计算平面 4 结点等参单元的单元刚度矩阵

----- \*/

输入:

node: 结构数组, 存放结点信息  
 material: 材料特性数组, 存放弹性模量等数据  
 eNd: 单元结点编号  
 em: 单元材料号, 从 1 开始  
 Ksai: 高斯积分点  
 Weight: 高斯积分点权系数  
 ngaus: 高斯积分点数  
 flag: >0 平面应力问题; <=0 平面应变问题

输出:

ke: 单元刚度矩阵, 8\*8

```

----- */
{

```



```
int dim=2;
int numNodeElem=4;
int dofElem=8;
int i,j,k,ig,jg;
float s,t,coef;
float**eXY=NULL;
float E,mu,h;
float detJ;
float**D=NULL;
float*N= NULL;
float**DN= NULL;
float**DNxy= NULL;
float**B;
float**S;
float**Jacobi=NULL;
float**InvJacobi=NULL;
float*Ksai=NULL; // 高斯积分点位置
float*Weight=NULL; // 高斯积分点权系数

Ksai=alloc1float(ngaus);
Weight=alloc1float(ngaus);
D =alloc2float(3,3);
N =alloc1float(numNodeElem);
B =alloc2float(3,dofElem);
S =alloc2float(3,dofElem);
eXY=alloc2float(numNodeElem,dim);
DN =alloc2float(numNodeElem,dim);
DNxy=alloc2float(numNodeElem,dim);
Jacobi=alloc2float(dim,dim);
InvJacobi=alloc2float(dim,dim);

// 求取高斯积分点权系数
gauss_coef(ngaus,Ksai,Weight);

// 从总的结点坐标中取出本单元的结点坐标
for(i=0;i<numNodeElem;i++){
    eXY[i][0]=node[eNd[i]-1].x;
    eXY[i][1]=node[eNd[i]-1].y;
}

// 从材料库中取出本单元的弹性模量和泊松比
E=material[em-1].E;
mu=material[em-1].mu;
```

```

h=mat1[em-1].h;

// 单元刚度矩阵置 0
for(i=0;i<dofElem;i++){
    for(j=0;j<dofElem;j++) ke[i][j]=0.0;
}

// 计算弹性矩阵 D
plane_elastic_matrix(E,mu,D,flag);

for(ig=0;ig<ngaus;ig++){
    for(jg=0;jg<ngaus;jg++){

        s=Ksai[ig];
        t=Ksai[jg];
        plane_Q4_N(s,t,N,DN); // 计算形函数 N,其关于局部坐标的导数 DN
        detJ=plane_jacobi(eXY,DN,Jacobi,InvJacobi,DNxy,numNodeElem);
        plane_B(DNxy,B,numNodeElem);
        plane_S(D,B,S,numNodeElem);

        coef=h*detJ*Weight[ig]*Weight[jg];
        // 计算上三角矩阵
        for(i=0;i<dofElem;i++){
            for(j=i;j<dofElem;j++){
                for(k=0;k<3;k++){ ke[i][j]+=coef*B[k][i]*S[k][j];
            }
        }
    }
}

// 形成下三角矩阵
for(i=1;i<dofElem;i++){
    for(j=0;j<i;j++) ke[i][j]=ke[j][i];
}
}

```

结点信息结构的定义:

```

typedef struct{
    int n; // 结点自由度
    float x,y,z;
    int *m; // 结点位移编码
    float *u; // 结点位移
}INFO_NODE;

```

材料信息结构的定义:



```
typedef struct{
    float E;          // 弹性模量
    float G;          // 剪切模量
    float A;          // 截面积
    float Ip;         // 极惯性矩
    float Iy;         // 绕 y 轴惯性矩
    float Iz;         // 绕 z 轴惯性矩
    float mu;         // 泊松比
    float h;          // 单元厚度
}INFO_MATERIAL;
```

### 5. 等效结点荷载计算

#### 1) 集中力

单元上任意点受集中力  $\mathbf{F} = [F_x \ F_y]^T$  作用时, 其等效结点荷载为:

$$\mathbf{F}_E^e = \mathbf{N}^T \mathbf{F}$$

#### 2) 体积力

设单元内单位体积上作用的体积力为  $\mathbf{p}_v = [p_x \ p_y]^T$ , 则移置到单元各结点的等效结点荷载为:

$$\mathbf{F}_E^e = h \int_{-1}^1 \int_{-1}^1 \mathbf{N}^T \begin{bmatrix} p_x \\ p_y \end{bmatrix} \det \mathbf{J} d\xi d\eta$$

#### 3) 表面力

设单元某边上作用的表面力为  $\mathbf{p}_s = [p_x \ p_y]^T$ , 则移置到单元各结点的等效结点力为:

$$\mathbf{F}_E^e = h \int_l \mathbf{N}^T \begin{bmatrix} p_x \\ p_y \end{bmatrix} ds$$

下面是表面力等效结点荷载的子程序:

```
void plane_Q4_load (INFO_NODE*node,int eNo,int*eNd,int*nNoLoad,float**press,
    int nGaus,float*eLoad)
```

```
/* -----
```

功能:计算平面 4 结点等参单元的等效结点荷载 (分布荷载)

```
-----
```

输入:

node:结构数组,存放结点信息

eNo:作用单元号

eNd:单元结点号,eNd[4]

nNoLoad:作用结点号,nNoLoad[2]

press:结点处的荷载大小,2\*2, press[0][0]—第 1 个结点 x 方向,  
press[0][1]—第 1 个结点 y 方向,

nGaus:高斯积分点数

输出:

eLoad:单元等效结点荷载

```

-----*/
{
    int i,j,ig;
    float s;
    float**eXY=NULL;
    float*Ni=NULL;
    float*DNi=NULL;
    float*r=NULL;
    float pgash[2],dgash[2],Px,Py;

    int dofNode=2;          // 结点自由度数
    int dofElem;            // 单元自由度数
    int numNodeElem=4;      // 单元结点数
    int numNodeLoad=2;      // 面荷载作用边界结点数
    dofElem=dofNode*numNodeElem;
    // 高斯积分点及其权系数
    float*ksai,*Hk;
    ksai=alloc1float(nGaus);
    Hk =alloc1float(nGaus);
    gauss_coef(nGaus,ksai,Hk);
    Ni =alloc1float(numNodeLoad);
    DNi =alloc1float(numNodeLoad);
    r =alloc1float(dofNode*numNodeLoad);
    eXY=alloc2float(numNodeLoad,dofNode);
    // 从总的结点坐标中取出面荷载作用边界结点坐标
    for (i=0;i<numNodeLoad;i++){
        eXY[i][0]=node[nNoLoad[i]-1].x;
        eXY[i][1]=node[nNoLoad[i]-1].y;
    }

    for (i=0;i<dofElem;i++) r[i]=0.0;
    for (ig=0;ig<nGaus;ig++){
        s=ksai[ig];
        // 计算边界处的形函数及其偏导数
        Ni[0]=0.5*(1.0-s);
        Ni[1]=0.5*(1.0+s);
        DNi[0]=-0.5;
        DNi[1]=0.5;
        // 计算压力在 x、y 方向的值
        for (i=0;i<dofNode;i++){
            pgash[i]=0.0;
            dgash[i]=0.0;
            for (j=0;j<numNodeLoad;j++){

```



```

pgash[i]+=press[j][i]*Ni[j];
dgash[i]+=exY[j][i]*Dni[j];
}
}
Px=dgash[0]*pgash[1]-dgash[1]*pgash[0];
Py=dgash[0]*pgash[0]-dgash[1]*pgash[1];
// 计算在结点处的等效荷载
for(i=0;i<numNodeLoad;i++){
    r[2*i]=Px*Ni[i]*Hk[ig];
    r[2*i+1]=Py*Ni[i]*Hk[ig];
}
}
// 按结点顺序存放单元等效结点荷载
for(i=0;i<numNodeElem;i++){
    for(j=0;j<numNodeLoad;j++){
        if(nNoLoad[j]==eNd[i]){
            eLoad[2*i]+=r[2*j];
            eLoad[2*i+1]+=r[2*j+1];
            break;
        }
    }
}
}
}

```

### 2.9.3 平面 8 结点四边形等参单元

由于 4 结点四边形等参单元的边界是直线, 对一些曲线区域进行划分时适应能力较差。为了进一步提高计算精度, 可以在 4 结点四边形基础上增加结点数目, 提高位移函数的阶数, 其中使用比较多的是 8 结点曲四边形等参单元(图 2.33)。

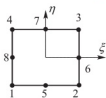
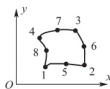


图 2.33 8 结点曲四边形等参单元



设其结点如图 2.33 所示, 在局部坐标系, 8 个结点的坐标分别为: 1(-1, -1), 2(1, -1), 3(1, 1), 4(-1, 1), 5(0,

-1), 6(1, 0), 7(0, 1), 8(-1, 0)。其插值函数为:

$$N_i = \begin{cases} \frac{1}{4}(1+\xi\xi)(1+\eta\eta)(\xi\xi+\eta\eta-1) & (i=1, 2, 3, 4) \\ \frac{1}{2}(1-\xi^2)(1+\eta\eta) & (i=5, 7) \\ \frac{1}{2}(1-\eta^2)(1+\xi\xi) & (i=6, 8) \end{cases} \quad (2-150)$$

此时坐标变换的雅可比矩阵为:

$$\mathbf{J}(\xi, \eta) = \begin{bmatrix} \sum_{i=1}^8 \frac{\partial N_i}{\partial \xi} x_i & \sum_{i=1}^8 \frac{\partial N_i}{\partial \xi} y_i \\ \sum_{i=1}^8 \frac{\partial N_i}{\partial \eta} x_i & \sum_{i=1}^8 \frac{\partial N_i}{\partial \eta} y_i \end{bmatrix} = \begin{bmatrix} \frac{\partial N_1}{\partial \xi} & \frac{\partial N_2}{\partial \xi} & \cdots & \frac{\partial N_8}{\partial \xi} \\ \frac{\partial N_1}{\partial \eta} & \frac{\partial N_2}{\partial \eta} & \cdots & \frac{\partial N_8}{\partial \eta} \end{bmatrix} \begin{bmatrix} x_1 & y_1 \\ x_2 & y_2 \\ \vdots & \vdots \\ x_8 & y_8 \end{bmatrix}$$

通过坐标变换关系式(2-116)可知整体坐标系下单元的形状。以局部坐标下单元的263边为例,其直线方程为 $\xi=1$ ,将其代入式(2-116),可得:

$$\begin{cases} x = a\eta^2 + b\eta + c \\ y = d\eta^2 + e\eta + f \end{cases}$$

消去参数 $\eta$ ,可知是一条抛物线方程。

同样,为了保证 $\det \mathbf{J} \neq 0$ ,类似于前面4结点等参单元的分析,单元形状必须有一定的限制。划分单元时整体坐标系下曲四边形的任意两条对边即使通过适当延长也不能在单元上出现交点(图2.34),否则会使计算无法进行下去。

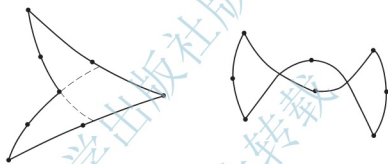


图 2.34 错误的单元形状

## 2.9.4 空间轴对称等参单元

### 1. 单元刚度矩阵

在空间轴对称问题中,采用的整体坐标系是圆柱坐标系。如图2.35所示的4结点四边形等参单元,其坐标系的映射关系和位移模式分别采用下列形式:

$$\begin{aligned} r &= \sum_{i=1}^4 N_i r_i & z &= \sum_{i=1}^4 N_i z_i \\ u &= \sum_{i=1}^4 N_i u_i & w &= \sum_{i=1}^4 N_i w_i \end{aligned} \quad (2-151)$$

其中形函数取为式(2-132)。对于8结点轴对称等参元,式(2-151)中4变为8,相应的形函数为(2-150)。应变场为:

$$\boldsymbol{\varepsilon} = \begin{bmatrix} \frac{\partial u}{\partial r} \\ \frac{u}{r} \\ \frac{\partial w}{\partial z} \\ \frac{\partial u}{\partial z} + \frac{\partial w}{\partial r} \end{bmatrix} = \mathbf{B} \boldsymbol{\delta}^{\oplus} = [\mathbf{B}_1 \quad \mathbf{B}_2 \quad \mathbf{B}_3 \quad \mathbf{B}_4] \boldsymbol{\delta}^{\oplus} \quad (2-152)$$

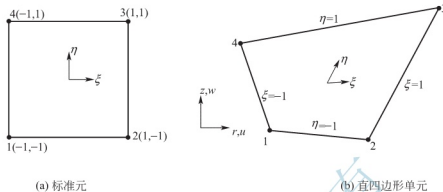


图 2.35 轴对称等参单元

其中,

$$\mathbf{B}_i = \begin{bmatrix} \frac{\partial N_i}{\partial r} & 0 \\ \frac{N_i}{r} & 0 \\ 0 & \frac{\partial N_i}{\partial z} \\ \frac{\partial N_i}{\partial z} & \frac{\partial N_i}{\partial r} \end{bmatrix} \quad (i=1, 2, 3, 4) \quad (2-153)$$

而

$$\begin{bmatrix} \frac{\partial N_i}{\partial r} \\ \frac{\partial N_i}{\partial z} \end{bmatrix} = \mathbf{J}^{-1} \begin{bmatrix} \frac{\partial N_i}{\partial \xi} \\ \frac{\partial N_i}{\partial \eta} \end{bmatrix} \quad (2-154)$$

应力场为:

$$\boldsymbol{\sigma} = \mathbf{DB}\boldsymbol{\delta}^{\oplus} = \mathbf{S}\boldsymbol{\delta}^{\oplus} = [\mathbf{S}_1 \quad \mathbf{S}_2 \quad \mathbf{S}_3 \quad \mathbf{S}_4] \boldsymbol{\delta}^{\oplus} \quad (2-155)$$

$$\mathbf{S}_i = \mathbf{DB}_i = \frac{E(1-\mu)}{(1-2\mu)(1+\mu)} \begin{bmatrix} \frac{\partial N_i}{\partial r} + \frac{\mu}{1-\mu} \frac{N_i}{r} & \frac{\mu}{1-\mu} \frac{\partial N_i}{\partial z} \\ \frac{\mu}{1-\mu} \frac{\partial N_i}{\partial r} + \frac{N_i}{r} & \frac{\mu}{1-\mu} \frac{\partial N_i}{\partial z} \\ \frac{\mu}{1-\mu} \left( \frac{\partial N_i}{\partial r} + \frac{N_i}{r} \right) & \frac{\partial N_i}{\partial z} \\ \frac{(1-2\mu)}{2(1-\mu)} \frac{\partial N_i}{\partial z} & \frac{(1-2\mu)}{2(1-\mu)} \frac{\partial N_i}{\partial r} \end{bmatrix} \quad (i=1, 2, 3, 4) \quad (2-156)$$

当  $r=0$  时, 可以用  $\frac{\partial N_i}{\partial r}$  代替  $\frac{N_i}{r}$ , 以消除奇异项。

单元刚度矩阵为:

$$\mathbf{k}^{\oplus} = 2\pi \int_{-1}^1 \int_{-1}^1 \mathbf{B}^T \mathbf{DB} r |J| d\xi d\eta \quad (2-157)$$

将  $\mathbf{k}^{\oplus}$  可划分为子矩阵的形式, 子矩阵的计算公式为:



$$k_{ij} = 2\pi \int_{-1}^1 \int_{-1}^1 \mathbf{B}_i^T \mathbf{B}_j \mathbf{D}_j r |J| d\xi d\eta \quad (i, j = 1, 2, 3, 4) \quad (2-158)$$

其中,

$$\mathbf{B}_i^T \mathbf{D} \mathbf{B}_j = \frac{E(1-\mu)}{(1-2\mu)(1+\mu)} \begin{bmatrix} \frac{\partial N_i}{\partial r} \left( \frac{\partial N_j}{\partial r} + \frac{\mu}{1-\mu} \frac{N_j}{r} \right) & \frac{\mu}{1-\mu} \frac{\partial N_i}{\partial r} \frac{\partial N_j}{\partial z} \\ + N_i \left( \frac{\mu}{1-\mu} \frac{\partial N_j}{\partial r} + \frac{N_j}{r} \right) \frac{1}{r} & + \frac{\mu}{1-\mu} \frac{N_i}{r} \frac{\partial N_j}{\partial z} \\ \frac{(1-2\mu)}{2(1-\mu)} \frac{\partial N_i}{\partial r} \frac{\partial N_j}{\partial z} & + \frac{(1-2\mu)}{2(1-\mu)} \frac{\partial N_i}{\partial z} \frac{\partial N_j}{\partial r} \\ \frac{\mu}{1-\mu} \frac{\partial N_i}{\partial z} \left( \frac{\partial N_j}{\partial r} + \frac{N_j}{r} \right) & \frac{\partial N_i}{\partial z} \frac{\partial N_j}{\partial z} \\ \frac{(1-2\mu)}{2(1-\mu)} \frac{\partial N_i}{\partial z} \frac{\partial N_j}{\partial z} & + \frac{(1-2\mu)}{2(1-\mu)} \frac{\partial N_i}{\partial r} \frac{\partial N_j}{\partial r} \end{bmatrix} \quad (i, j = 1, 2, 3, 4) \quad (2-159)$$

## 2. 等效结点荷载计算

### 1) 体积力

设单元内单位体积上作用的体积力为  $\mathbf{p}_v = [p_r \quad p_z]^T$ , 则移置到单元各结点的等效结点力为:

$$\mathbf{F}_n^{\text{e}} = 2\pi \int_{-1}^1 \int_{-1}^1 r \mathbf{N}^T \begin{bmatrix} p_r \\ p_z \end{bmatrix} |J| d\xi d\eta \quad (2-160)$$

### 2) 表面力

设单元某边上作用的表面力为  $\mathbf{p}_s = [\sigma \quad \tau]^T$ ,  $\sigma$ 、 $\tau$  分别为单元表面力在作用边外法线方向和切线方向的投影。则移置到单元各结点的等效结点力为

$$\mathbf{F}_s^{\text{e}} = 2\pi \int_i r \mathbf{N}_i^T \begin{bmatrix} r dx + \sigma dz \\ r dz - \sigma dr \end{bmatrix} ds \quad (2-161)$$

## 2.9.5 数值积分

在有限单元法分析中, 计算单元刚度矩阵时往往需要进行积分运算。通常工程中遇到的定积分  $\int_a^b f(x) dx$ , 若知道被积函数  $f(x)$  的原函数  $F(x)$ , 则其定积分可以表示为  $F(b) - F(a)$ 。然而计算单元刚度矩阵的原函数往往没有具体的数学表达式, 因此必须进行数值积分。

### 1. Newton-Cotes 积分

若将积分区间  $[a, b]$  划分为  $n$  等分, 步长  $h = (b-a)/n$ , 选取等间距点  $x_i = a + ih$  构造出的插值型求积公式:

$$I = (b-a) \sum_{i=0}^n H_i^{(n)} f(x_i) \quad (2-162)$$

称为 Newton-Cotes 积分公式, 式中  $H_i^{(n)}$  称为 Cotes 系数 (又称为权系数), 有

$$H_i^{(n)} = \frac{(-1)^{n-i}}{n! (n-i)!} \int_0^n \prod_{j=0, j \neq i}^n (\xi - j) d\xi \quad (2-163)$$



Cotes 系数与被积函数  $f(x)$  无关, 只与积分点的个数和位置有关, 表 2-1 列出了 Cotes 系数表的开始部分。当积分点过多时, 权系数可能出现负值, 会增大积分误差。常用的梯形或抛物线积分公式是 Newton-Cotes 积分的两种简单情形。

表 2-1 Cotes 系数表

$n$	权系数 $H_i^{(n)}$						
1	$\frac{1}{2}$	$\frac{1}{2}$					
2	$\frac{1}{6}$	$\frac{2}{3}$	$\frac{1}{6}$				
3	$\frac{1}{8}$	$\frac{3}{8}$	$\frac{3}{8}$	$\frac{1}{8}$			
4	$\frac{7}{90}$	$\frac{16}{45}$	$\frac{2}{15}$	$\frac{16}{45}$	$\frac{7}{90}$		
5	$\frac{19}{288}$	$\frac{25}{96}$	$\frac{25}{144}$	$\frac{25}{144}$	$\frac{25}{96}$	$\frac{19}{288}$	
6	$\frac{41}{840}$	$\frac{9}{35}$	$\frac{9}{280}$	$\frac{34}{105}$	$\frac{9}{280}$	$\frac{9}{35}$	$\frac{41}{840}$
7	$\frac{751}{17280}$	$\frac{3577}{17280}$	$\frac{1323}{17280}$	$\frac{2989}{17280}$	$\frac{2989}{17280}$	$\frac{1323}{17280}$	$\frac{3577}{17280}$

## 2. 高斯(Gauss)积分

上述 Newton-Cotes 积分是在等间距上取积分点, 若积分点  $\xi_i$  不是等间距分布, 其积分点位置由下述方法确定。

首先构造一个多项式  $P(\xi)$ , 使得:

$$P(\xi) = \prod_{j=1}^n (\xi - \xi_j) \quad (2-164)$$

再由下列条件确定  $n$  个积分点的位置:

$$\int_a^b \xi^i P(\xi) d\xi = 0 \quad (i = 0, 1, 2, \dots, n-1) \quad (2-165)$$

由式(2-164)和式(2-165)可知: ①在积分点上  $P(\xi_i) = 0$ ; ②多项式  $P(\xi)$  与不高于  $n-1$  次多项式序列  $\xi^i (i=0, 1, 2, \dots, n-1)$  在积分区间  $[a, b]$  上正交。由此可见,  $n$  个积分点的位置  $\xi_i$  是由  $n$  次多项式  $P(\xi)$  在求积域  $[a, b]$  内与  $\xi^0, \xi^1, \xi^2, \dots, \xi^{n-1}$  相正交的条件所决定的, 即  $\xi_i$  是方程式(2-165)的解。被积函数  $f(\xi)$  可由  $2n-1$  次多项式  $\psi(\xi)$  来近似, 即

$$\psi(\xi) = \sum_{i=1}^n l_i^{(n-1)}(\xi) f(\xi_i) + \sum_{i=0}^{n-1} \beta_i \xi^i P(\xi) \quad (2-166)$$

这里  $l_i^{(n-1)}(\xi)$  为  $n-1$  阶拉格朗日插值函数。那么, 用上述多项式的积分  $\int_a^b \psi(\xi) d\xi$  代替原积分  $\int_a^b f(\xi) d\xi$  的代数精度为  $2n-1$  阶。以多项式  $P(\xi)$  的零点  $\xi_i$  作为基点, 称为高斯点, 原积分写成:

$$\int_a^b f(\xi) d\xi = \int_a^b \psi(\xi) d\xi + R_{2n-1} = \sum_{i=1}^n H_i f(\xi_i) + R_{2n-1} \quad (2-167)$$

其中,

$$H_i = \int_a^b L_i^{(n-1)}(\xi) d\xi \quad (2-168)$$

通常取积分值:

$$\int_a^b f(\xi) d\xi = \sum_{i=1}^n H_i f(\xi_i) \quad (2-169)$$

为高斯积分。

通常为了计算积分点的位置  $\xi$  和权系数  $H_i$ , 把积分范围进行规格化, 若  $a=-1, b=1$ , 这样计算得到的  $\xi$  和  $H_i$  见表 2-2。当原积分区域不是  $[-1, 1]$  时, 积分点的坐标和积分系数分别为  $\frac{a+b}{2} - \frac{a-b}{2}\xi_i$  和  $\frac{b-a}{2}H_i$ 。

表 2-2 列出了高斯积分点的坐标与权系数。

表 2-2 高斯积分点的坐标与权系数

积分点 $n$	积分点 $\xi_i$	权系数 $H_i$
1	0.0000000000000000	2.0000000000000000
2	0.577350229189626	1.0000000000000000
3	0.774596669241483	0.5555555555555556
	0.0000000000000000	0.8888888888888889
4	0.861136311594053	0.347854845137454
	0.339981043584856	0.652145154862546
5	0.906179845938664	0.236926885056189
	0.538469310105683	0.478628670499366
	0.0000000000000000	0.5688888888888889
6	0.932469514203152	0.171324492379170
	0.661209386466265	0.360761573048139
	0.238619186083197	0.467913934572691

下面程序根据高斯积分点数确定其坐标与权系数:

```
void gauss_coef(int n, float*Xk, float*Hk)
```

```
/*
```

```
功能:确定 Gauss 积分点的系数,积分点最大为 4
```

```
输入:
```

```
    n: 积分点数
```

```
输出:
```

```
    Xk: 积分点坐标
```

```
    Hk: 加权系数
```

```
-----*/
```

```
{
    switch(n){
        case 2:Xk[0]=-0.577350229189626;
                Xk[1]=0.577350229189626;
                Hk[0]=1.0;
                Hk[1]=1.0;
```



```

        Hk[1]=1.0;
        break;
    case 3:Xk[0]=-0.774596669241483;
        Xk[1]= 0.0;
        Xk[2]= 0.774596669241483;
        Hk[0]= 0.555555555555556;
        Hk[1]= 0.888888888888889;
        Hk[2]= 0.555555555555556;
        break;
    case 4:Xk[0]=-0.861136311594053;
        Xk[1]=-0.339981043584856;
        Xk[2]= 0.339981043584856;
        Xk[3]= 0.861136311594053;
        Hk[0]= 0.347854845137454;
        Hk[1]= 0.652145154862546;
        Hk[2]= 0.652145154862546;
        Hk[3]= 0.347854845137454;
        break;
    default:
        Xk[0]= 0.0;
        Hk[0]= 2.0;
    }
}

```

**例 2-5** 分别用 Newton-Cotes 积分法和 Gauss 积分法计算  $\int_0^3 (2^r - r) dr$ , 并与精确解进行比较。

**解:** (1) 该积分的精确解

$$\int_0^3 (2^r - r) dr = \left( \frac{1}{\ln 2} 2^r - \frac{1}{2} r^2 \right) \Big|_0^3 = 5.5989$$

(2) 两点 Newton-Cotes 积分

积分点位置:  $r_1=0$ ,  $r_2=3$

积分权系数:  $H_1=0.5$ ,  $H_2=0.5$

积分点上函数值:  $f(r_1)=2^0-0=1$ ,  $f(r_2)=2^3-3=5$

故积分为:  $\int_0^3 (2^r - r) dr = (b-a)[H_1 f(r_1) + H_2 f(r_2)] = 9$

误差:  $\epsilon = \frac{9-5.5989}{5.5989} \times 100 = 60.75\%$

(3) 三点 Newton-Cotes 积分

积分点位置:  $r_1=0$ ,  $r_2=1.5$ ,  $r_3=3$

积分权系数:  $H_1=0.1667$ ,  $H_2=0.6667$ ,  $H_3=0.1667$

积分点上函数值:  $f(r_1)=2^0-0=1$ ,  $f(r_2)=2^{1.5}-1.5=1.3284$ ,

$f(r_3)=2^3-3=5$

故积分为:  $\int_0^3 (2^r - r) dr = (b-a)[H_1 f(r_1) + H_2 f(r_2) + H_3 f(r_3)] = 5.6568$

误差:  $\epsilon = \frac{5.6568 - 5.5989}{5.5989} \times 100 = 1.03\%$

(4) 两点 Gauss 积分

积分点位置:  $r_1 = \frac{3+0}{2} - \frac{3-0}{2} \times 0.577350269 = 0.634$ ,

$r_2 = \frac{3+0}{2} + \frac{3-0}{2} \times 0.577350269 = 2.366$

积分权系数:  $H_1 = \frac{3-0}{2} \times 1.0 = 1.5$ ,  $H_2 = \frac{3-0}{2} \times 1.0 = 1.5$

积分点上函数值:  $f(r_1) = 2^{0.634} - 0.634 = 0.9179$ ,  $f(r_2) = 2^{2.366} - 2.366 = 2.7891$

故积分为:  $\int_0^3 (2^r - r) dr = H_1 f(r_1) + H_2 f(r_2) = 5.5604$

误差:  $\epsilon = \frac{5.5604 - 5.5989}{5.5989} \times 100 = -0.69\%$

### 3. 二维和三维高斯积分

对于二维和三维高斯积分, 可以采用与解析法计算多重积分相同的方法, 即在计算内层积分时, 保持外层积分变量为常量。对于二维问题, 其积分为:

$$I = \int_{-1}^1 \int_{-1}^1 f(\xi, \eta) d\xi d\eta$$

首先令  $\eta$  为常数, 进行内层积分, 有

$$\int_{-1}^1 f(\xi, \eta) d\xi = \sum_{j=1}^n H_j f(\xi_j, \eta)$$

再用同样的方法进行外层积分, 得到:

$$\begin{aligned} I &= \int_{-1}^1 \sum_{j=1}^n H_j f(\xi_j, \eta) d\eta = \sum_{i=1}^n H_i \sum_{j=1}^n H_j f(\xi_i, \eta_j) \\ &= \sum_{i=1, j=1}^n H_i H_j f(\xi_i, \eta_j) \\ &= \sum_{i, j=1}^n H_{ij} f(\xi_i, \eta_j) \end{aligned}$$

这里的  $H_i$ 、 $H_j$  即为一维高斯积分的权系数。类似地, 三维积分可以表示为:

$$I = \int_{-1}^1 \int_{-1}^1 \int_{-1}^1 f(\xi, \eta, \zeta) d\xi d\eta d\zeta = \sum_{i, j, k=1}^n H_{ijk} f(\xi_i, \eta_j, \zeta_k)$$

### 4. 一维高斯积分计算程序

```
double integral_gauss(double a, double b, double fun(double), int imax, double eps)
```

```
/*
```

本程序为三点高斯积分, 并可以自动对积分区域进行分段

输入:



a:积分下限  
b:积分上限  
fun:被积函数  
eps:精度要求  
imax:最大迭代次数  
返回:  
返回积分结果

```

-----*/
{
    int i,j;
    int iter,n,point=3; // 迭代次数,分段数,积分点数
    double h,x; // 积分步长,坐标
    double sum1,sum2,d; // 前次和后次积分结果,差
    double Xk[3],Hk[3]; // 积分点和系数

    Xk[0]=- 0.774596669241483; Xk[1]= 0.0; Xk[2]= 0.774596669241483;
    Hk[0]= 0.555555555555556; Hk[1]= 0.888888888888889;
    Hk[2]= 0.555555555555556;

    // 第一次积分,积分区间不分割
    n=1;
    h=b-a;
    sum1=0.0;
    x=a+i*h+h/2.0;
    for(j=0;j<point;j++){
        sum1=sum1+Hk[j]*fun(x+Xk[j]*h/2.0);
    }
    sum1=sum1*h/2.0;

    // 若需要,将积分区间进行分割
    d=1.0;
    iter=1;
    while(iter<imax && d>eps){
        n=2*n;
        h=h/2.0;
        sum2=0.0;
        for(i=0;i<n;i++){
            x=a+i*h+h/2.0;
            for(j=0;j<point;j++){
                sum2=sum2+Hk[j]*fun(x+Xk[j]*h/2.0);
            }
        }
        sum2=sum2*h/2.0;
        d=fabs(sum2-sum1);
    }
}

```

```
        sum1=sum2;
        iter++;
    }

    return sum1;
}
```

如对例 2-5 进行计算，可以编写如下程序：

```
#include <stdio.h>
#include <stdlib.h>
#include <math.h>

double f1(double x)           // 定义积分函数
{
    double y;
    y=pow(2.0,x)-x;           // 若对其他函数积分,只需更换此表达式
    return (y);
}

void main()                   // 主函数
{
    double sum;
    sum=integral_gauss(0.0,3.0,f1,1,1.0e-8);
    printf("积分结果:%g\n\n",sum);
}
```

## 本章小结

本章详细地介绍了连续体结构有限单元法分析的基本原理，单元分析的基本过程分为单位位移模式的确定、单元应变场分析、单元应力场分析、单元刚度方程的建立。本章所介绍的单元包括平面 3 结点三角形单元、平面 4 结点矩形单元、平面 6 结点三角形单元、轴对称问题环形 3 结点三角形单元、环形 4 结点矩形单元、空间 4 结点四面体单元、空间 8 结点正六面体单元、4 结点直四边形等参单元、8 结点曲四边形等参单元、轴对称问题环形 4 结点直四边形等参单元等。此外，本章还介绍了 Newton-Cotes 数值积分和 Gauss 数值积分方法。

对结构物进行有限单元法分析，首先必须对其进行离散化，其单元的形状和大小由多个方面的因素确定，包括计算机的运算速度、计算精度要求、预计的计算费用等。



## 习 题

2.1 在平面 3 结点三角形单元中, 试证明:

- (1) 形函数在单元任一点上三个形函数之和为 1;
  - (2) 形函数  $N_i$  在结点  $i$  上为 1, 在  $j$ 、 $m$  上为零。在单元划分时, 应注意什么?
- 2.2 平面问题中, 六结点三角形单元的位移函数可取为完全二次多项式如下:

$$u = a_1 + a_2x + a_3y + a_4x^2 + a_5xy + a_6y^2$$

$$v = a_7 + a_8x + a_9y + a_{10}x^2 + a_{11}xy + a_{12}y^2$$

检查其是否满足收敛条件。

2.3 什么是等参单元? 引入等参单元有什么好处?

2.4 在平面 3 结点三角形单元边界上作用有如图 2.36 所示的荷载, 计算其等效结点荷载。若如图 2.36 所示单元为环形 3 结点三角形单元, 其结果又怎样?

(1) 集中力  $F$  平行于  $x$  轴,  $A$  点到  $i$ 、 $j$  的距离分别为  $A_i$  和  $A_j$ ,  $ij$  边的长度为  $l$  [图 2.36(a)]。

(2) 如图 2.36 (b) 所示,  $ij$  边上有线性分布荷载最大值为  $q_0$ ,  $ij$  边长为  $l$ 。

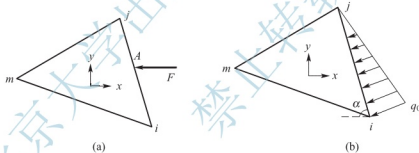


图 2.36 习题 2.4 图

2.5 已知如图 2.37 所示的三角形单元, 设其厚度为  $t$ , 弹性模量为  $E$ , 泊松比为  $\mu$ 。求: (1) 形函数  $N$ ; (2) 应力矩阵  $S$ ; (3) 单元刚度矩阵  $k^e$ 。

2.6 如图 2.38 所示三角形板, 有两个结点铰支, 对第三个结点施以单位水平位移, 这样实测的各结点力组成的刚度矩阵是否就等同于书中推导出的单元刚度矩阵? 它是否可用于有限元分析?

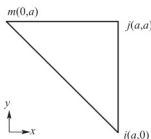


图 2.37 习题 2.5 图

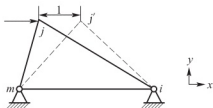


图 2.38 习题 2.6 图



2.7 已知如图 2.39 所示的悬臂梁, 荷载如图 2.39(a) 所示, 采用图 2.39(b) 所示的网格, 设泊松比  $\mu = \frac{1}{3}$ , 厚度为  $t$ , 试求结点位移分量。

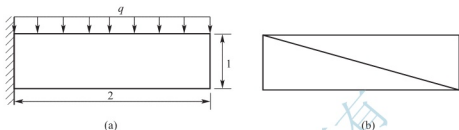


图 2.39 习题 2.7 图

2.8 如图 2.40 所示正方形薄板, 边长为  $\sqrt{2}a$ , 厚度为  $h$ , 弹性模量为  $E$ , 泊松比  $\mu = 1/3$ , 两对角受拉, 荷载沿厚度均匀分布, 大小为  $F$ , 不计重力。求板对角线长度的变化量。

2.9 从整体刚度矩阵带宽为最小的原则出发, 如图 2.41 所示结点编号哪一种好, 为什么?

2.10 如图 2.42 所示两个轴对称三角形单元, 其形状、大小、方位均相同, 但位置不同。设材料弹性模量为  $E$ , 泊松比为  $\mu = 0.15$ , 试分别计算两单元的刚度矩阵(坐标  $r, z$  取平均值  $\bar{r}, \bar{z}$ )。

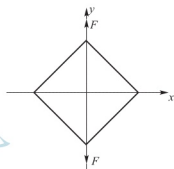


图 2.40 习题 2.8 图

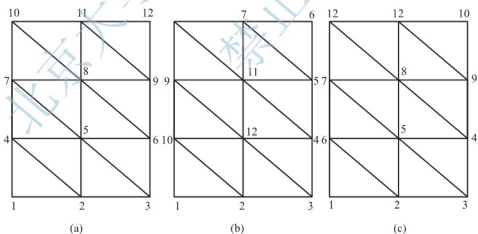


图 2.41 习题 2.9 图

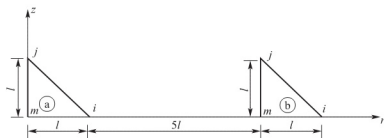


图 2.42 习题 2.10 图



2.11 如图 2.43 所示,受轴向压缩的圆柱体,直径  $d=10\text{cm}$ ,长度  $l=12\text{cm}$ ,两端面受均布荷载  $\sigma_z=60\text{MPa}$  作用。现取轴对称面的  $1/4$  均匀划分单元 [图 2.43(b)]。

- (1) 写出离散体的位移约束条件。
- (2) 求单元①、②、③、④的等效结点荷载。
- (3) 写出结点 1、2、3、4、5、6 的荷载矩阵。

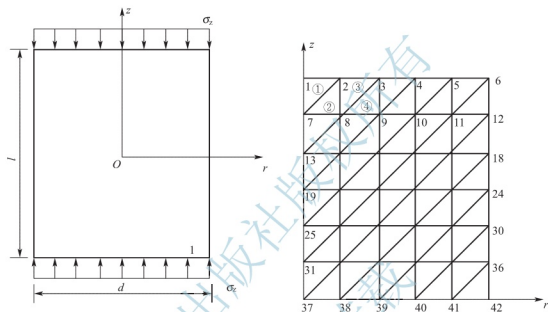


图 2.43 习题 2.11 图

2.12 考察一等参单元的位移函数与坐标变换:

$$\mathbf{d}^e = \mathbf{N} \boldsymbol{\delta}^e$$

$$x = \sum_i N_i x_i \quad y = \sum_i N_i y_i \quad z = \sum_i N_i z_i$$

试证明: (1) 使刚体位移成为可能所要满足的条件是  $\sum_i N_i = 1$ ; (2) 如果在自然坐标系表示的插值函数中含刚体位移, 那么在总体坐标系中, 常应变条件是保证满足的。(提示: 如果含有常应变, 那么可写出  $u = a_1 + a_2 x + a_3 y + a_4 z$ , 式中  $a_1, a_2, a_3, a_4$  是任意常数。)

2.13 如图 2.39(a) 所示的矩形结构, 设弹性模量为  $E$ , 泊松比  $\mu = \frac{1}{3}$ , 厚度为  $t$ 。若采用一个 4 结点单元, 或采用两个 3 结点单元, 试分析这两种计算方案的计算量、计算精度和计算效率。

- 2.14 试证明二维平行四边形单元的 Jacobi 矩阵是常数矩阵。
- 2.15 试证明三维平行六面体单元的 Jacobi 矩阵是常数矩阵。
- 2.16 试证明面积坐标与直角坐标满足下列转换关系:

$$\begin{cases} x = x_i L_i + x_j L_j + x_m L_m \\ y = y_i L_i + y_j L_j + y_m L_m \end{cases}$$

2.17 一具有弹性支承的平面结构如图 2.44 所示, 其势能泛函为:

$$\Pi = \frac{1}{2} h \int_A (\sigma_x \epsilon_x + \sigma_y \epsilon_y + \tau_{xy} \gamma_{xy}) dA + \frac{1}{2} \int_{S_1} k v^2 ds - \int_{S_2} q(x) v ds;$$

其中  $A$  为平面结构面积域,  $h$  为板的厚度,  $k$  为弹簧的弹性系数,  $v$  为沿  $y$  方向的位移, 试推导求解该问题的有限单元法分析方程, 此时的位移边界条件如何处理?

2.18 一个三角形构件如图 2.45 所示, 若采用一个 3 结点三角形单元进行分析计算, 由于结点 3 为位移约束, 经处理该结点位移约束后得到的刚度方程如下:

$$10^4 \times \begin{bmatrix} 10 & -2.5 & 1.83 & 2.5 \\ -2.5 & 4.5 & 2.5 & -2.5 \\ 1.83 & 2.5 & 5.0 & -2.5 \\ 2.5 & -2.5 & -2.5 & 20 \end{bmatrix} \begin{bmatrix} u_1 \\ v_1 \\ u_2 \\ v_2 \end{bmatrix} = \begin{bmatrix} F_{u_1} \\ F_{v_1} \\ F_{u_2} \\ F_{v_2} \end{bmatrix}$$

结点 2 为斜支座约束, 试建立以位移  $u_1$ 、 $v_1$ 、 $u_2$  和荷载  $F_{u_1}$ 、 $F_{v_1}$ 、 $F_{u_2}$  来表示的刚度方程。

2.19 在平面 3 结点三角形单元  $ijm$  的边界  $jm$  上作用有如图 2.46 所示的线分布荷载, 试计算其等效结点荷载。

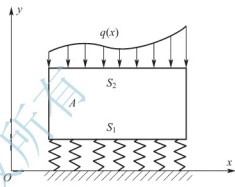


图 2.44 习题 2.17 图

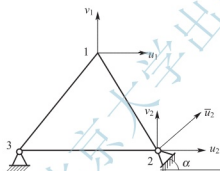


图 2.45 习题 2.18 图

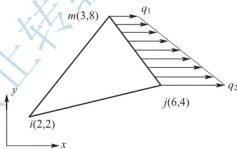


图 2.46 习题 2.19 图

# 第3章

## 杆系结构的有限单元法

### 教学目标

本章主要讲述杆件体系结构虚位移基本原理、杆系结构有限单元单元分析和整体分析的基本思想、基本原理和基本方法。通过本章的学习，应达到以下目标。

- (1) 了解杆系结构虚位移原理。
- (2) 掌握杆系结构离散化的基本方法、单元划分的基本原则。
- (3) 掌握各种杆件单元的单元结点位移-单元结点力的关系。
- (4) 掌握有限元方法分析问题的基本过程、方法。

### 教学要求

知识要点	能力要求	相关知识
杆件体系离散化的问题	(1) 了解杆件体系离散化的基本概念 (2) 掌握平面杆件系统的离散化方法	(1) 杆件结构离散化 (2) 有限单元法分析问题的基本步骤 (3) 力与位移正负号的规定
等直杆单元的单元分析	(1) 掌握常见的等直杆单元的单元分析方法 (2) 掌握单元刚度矩阵的建立方法	(1) 平面杆件的几种常见单元类型 (2) 单元刚度矩阵的建立与基本性质
杆件结构体系的整体分析	(1) 掌握坐标变换方法 (2) 掌握整体刚度矩阵的集成方法 (3) 掌握等效结点荷载等效原理和边界条件处理方法	(1) 平面与空间坐标变换 (2) 结点荷载与非结点荷载的处理 (3) 边界条件的引入 (4) 平面杆系结构有限元程序设计



### 基本概念

离散化；先处理、后处理；单元分析；整体分析；坐标转换；单元刚度矩阵、整体刚度矩阵。



### 引例

结构单元(杆件单元和板壳单元)在工程中应用比较广泛,如连续梁、桁架、刚架、拱、悬索结构、网架结构等,这种结构是由若干杆件组成的,在土木、建筑、机械、船舶、水利等工程中应用很广,它们的力学分析属于结构力学范畴。杆系结构按受力的几何特征可分为平面杆系结构和空间杆系结构。全部杆件和全部荷载均处于同一平面之内的,称为平面杆系结构,例如一般的屋盖桁架、多层厂房的刚架等;不处于同一平面内的,称为空间杆系结构,例如输电线塔架等。

随着经济建设和科技的发展,工程中所提出的结构分析问题越来越向着大型化和复杂化方向发展,这就使得传统结构力学中的力法、位移法和矩阵位移法等力学分析方法和手段难以适用,其主要原因是其计算规模巨大。有限元的出现和高效率计算工具的使用为解决上述问题创造了条件。

## 3.1 概述

杆系结构是工程中应用较为广泛的结构体系,包括平面或空间形式的梁、桁架、刚架、拱等,其组成形式虽然复杂多样,但用计算机进行分析时却较为简单。杆系结构中的每个杆件都是一个明显的单元。杆件的两个端点自然形成有限元法的结点,杆件与杆件之间则用结点相连接。显然,只要建立起杆件两端位移与杆端力之间的关系,则整体平衡方程的建立与前几章完全相同。

杆端位移与杆端力之间的关系,可用多种方法建立,包括前面采用的虚功原理,但是采用材料力学、结构力学的某些结论,不仅物理概念清晰、直观,而且推导过程简单明了。因此,本章将采用这种方法进行单元分析。至于整体平衡方程的建立,则和前面几章所讲的方法一样,即借助于单元定位向量,利用单元集成法进行。

### 3.1.1 结构离散化

有限单元法的基本思想和结构力学中的位移法一样,在几何上通过“拆分”(将结构拆成具有力-位移关系的一系列单元,或称为“结构离散化”)和“组装”(利用在结点处结构应当处于平衡状态,将拆分后的单元组装成单元集合体)使得分析的问题得到解决。在实际工程结构中采用有限元分析连续域问题,首先必须用一定的方法将所分析的结构分割成有限数量的仅在指定点(结点)相连接的子域(单元)。

对于等截面杆系结构,一般取杆件的连接点[图 3.1(a)、图 3.1(b)]、截面的变化点[图 3.1(c)]、支撑点或集中荷载的作用点[图 3.1(d)]作为结点,将结构拆分为等截面



直杆单元的集合。而对于曲杆体系(图 3.2)、连续变截面杆系结构(图 3.3),则需要将杆件划分为多个单元,每个单元近似认为是等截面直杆,即按“以直代曲、以阶状变截面面代替连续变截面”来处理,因而这样处理的结果将是近似结果,计算结果的精度将取决于杆件所划分单元的数量。

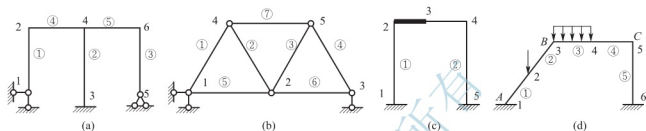


图 3.1 平面刚架和平面桁架离散

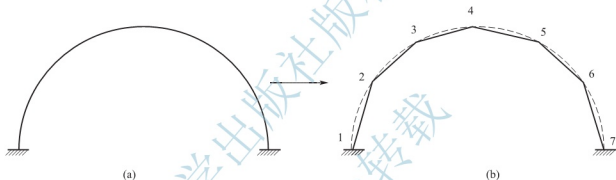


图 3.2 弯曲杆件系统及离散

对于不同的问题将采用不同类型的单元将结构进行离散化,在离散化时,主要包含两方面的内容。

#### 1. 结构离散化

结构离散化就是用结点将结构划分为有限数量的单元,并根据一定的顺序对所划分的单元及单元连接点(结点)进行编号,如图 3.1~图 3.3 所示,为后续采用数据描述做准备。

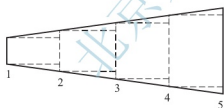


图 3.3 截面连续变化的杆件系统

#### 2. 结构数据化

对于离散化的结构,采用数字来描述结点坐标、结点支撑信息、单元材料信息和截面几何参数、单元上的荷载信息等,为后续采用有限单元法分析和程序计算提供基本输入数据。结构数据化的主要内容包括结构坐标系(包含整体坐标系和局部坐标系)的建立、结点、单元和位移的编码。

### 3.1.2 杆系结构有限单元法的基本步骤

采用有限单元法分析杆系结构主要分为以下几个步骤。

(1) 对结构进行离散化,划分为有限数量的单元。根据杆系结构的特点,对其进行单

元划分,通常取其自然的结点进行单元划分,如各种支承点、集中力作用点、杆件的铰接点、刚结点、截面面积发生突变的点等。但对于曲杆系统(图 3.2)和截面面积连续变化的杆件系统(图 3.3),则可以引入数学上的微分概念来对它们进行单元划分。对于前者,可以采用“以直代曲”的思想,任何曲杆都可以看成是由若干数量的连续直杆连接组成的;而对于后者,可以采用等截面来代替变截面,将截面连续变化的杆件看成是由若干微小的等截面杆单元组成,如图 3.3 中的虚线所示。

(2) 对结点和单元进行编码。通常结点的编码用自然数 1、2、3、…来表示,而单元的编码采用①、②、③…来表示。编码时每个单元的两个结点号码尽量连续,如图 3.4 所示。对任意杆单元,本书以字母  $i$  表示单元起始结点编码,以字母  $j$  表示单元终止结点编码。

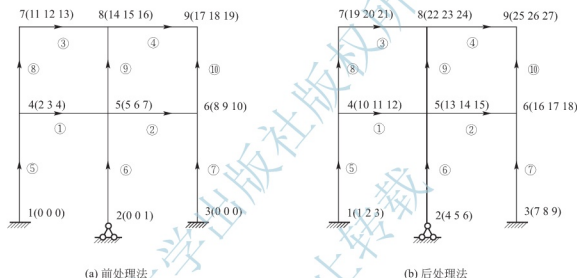


图 3.4 单元划分示意图

(3) 建立整体坐标系和各单元的局部坐标系。在进行单元分析时,可以使用整体坐标系,但为了分析的方便,通常要建立其局部坐标系,常以  $\bar{x}\bar{O}\bar{y}$  表示局部坐标系,并且局部坐标系的  $\bar{x}$  轴正向通常是由单元的起点指向单元的终点,并用“→”标示在单元上,如图 3.4 所示。应该注意的一点是,局部坐标系的  $\bar{x}$  轴到  $\bar{y}$  轴的转动方向应该与整体坐标系的  $x$  轴到  $y$  轴的转动方向一致。

(4) 对已知参数进行准备和整理。对各单元来说,需要准备的数据包括单元截面面积  $A$ 、单元长度  $l$ 、单元弹性模量  $E$ 、单元剪切模量  $G$ 、单元惯性矩  $I$  等。

(5) 对结点位移进行编码。一般来说,结点位移有自由结点位移和约束结点位移两种,对于平面杆件单元,每个结点有 3 个自由度,因而每个结点有 3 个位移(包括轴向位移  $\bar{u}$ 、横向位移  $\bar{v}$ 、转角位移  $\bar{\theta}$ )。在对结点位移进行编码时,根据求解方法的不同通常有两种编码方法:前处理法和后处理法。前处理法的思想是若结点的某个位移分量为零,则其对应的位移编码以 0 表示,如图 3.4(a)中结点 1、3 为固定端,结点的所有位移分量为 0,则给其位移编码时编为(0 0 0);结点 2 为固定铰支座,其线位移为 0,角位移不为 0,因而其位移编码为(0 0 1)。后处理法的思想是认为每个结点的位移都不为 0,按照结点顺序,给每个结点的 3 个位移分量按自然顺序均加以编码,如图 3.4(b)所示。

(6) 进行单元分析,形成单元刚度矩阵。通常运用虚位移原理或最小势能原理进行单



元分析来建立单元刚度矩阵和等效结点荷载矩阵。

(7) 进行整体分析, 形成整体刚度矩阵。局部坐标系下的单元刚度必须由单元坐标转换矩阵转换成整体坐标系下的单元刚度矩阵, 然后根据刚度集成法则集成整体刚度矩阵。需要注意的是, 如果局部坐标系与整体坐标系不一致, 则需由坐标变换将局部坐标系下的单元刚度矩阵转换为整体坐标系下的单元刚度矩阵, 然后再进行整体刚度集成。

(8) 引入边界条件。根据结点位移编码方法(前处理法和后处理法)的不同, 因而引入边界条件的方法也不同, 对于前处理法, 引入边界条件是在集成整体刚度矩阵时进行, 而对于后处理法, 则是在集成整体刚度矩阵后, 通过修改刚度方程来引入边界条件。

(9) 求解代数方程组。

(10) 求单元内力, 主要绘制其内力图和变形图。

### 3.1.3 力和位移的正负号规定

在结构分析中, 描述力和位移等矢量时总是用数值表示大小, 正负号表示方向, 而在有限单元法中力和位移的规定则有其特殊之处, 具体规定如下所示(仅限于平面杆系结构)。

#### 1. 荷载

根据荷载在结构上作用的位置的不同, 荷载可分为结点荷载和非结点荷载。作用于结点上的集中力或集中力偶称为结点荷载(或结点力), 作用在非结点上的各种荷载称为非结点荷载(或单元荷载)。当结点荷载的方向与整体坐标系坐标轴正方向一致时规定为正, 反之为负; 当非结点荷载的方向与杆件单元局部坐标系的正方向一致时为正, 反之为负。力偶荷载以从整体坐标的  $x$  轴转动  $90^\circ$  至  $y$  轴为正, 反之为负, 本章规定以顺时针转动为正。

#### 2. 结点位移

在整体坐标系中, 对于平面刚架来说, 每个结点有 3 个相互独立的位移分量, 即沿坐标轴方向的线位移  $u$  和  $v$ , 以及绕结点转动的角位移  $\theta$ , 当线位移方向与坐标轴正方向一致时为正, 反之为负, 结点角位移方向的规定同力偶荷载规定一致。

#### 3. 单元杆端力及杆端位移

单元杆端截面的内力和位移分别称为单元杆端力和杆端位移。规定单元坐标系中杆端力和杆端位移与坐标轴的正方向一致时为正, 反之为负。杆端弯矩和转角以从单元坐标系  $x$  轴转动  $90^\circ$  至  $y$  轴方向为正, 反之为负。对于平面杆系结构, 本章规定顺时针为正, 如图 3.5 所示杆端力、杆端位移均为正值。

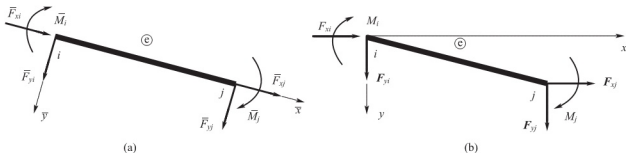


图 3.5 单元杆端力正负号规定



## 3.2 局部坐标系下的单元分析

单元分析是为整体分析做准备的,单元分析就是建立单元杆端力与杆端位移之间的关系,即建立刚度方程。在结构力学里通过线弹性小变形下的叠加原理建立了杆系结构分析的矩阵位移法,因此同样可以通过形常数和载常数来建立单元的刚度方程。

杆件是指其长度远大于其截面尺寸的一维构件。在结构力学里通常将承受轴力或扭矩的杆件称为杆,而将承受横向力和弯矩的杆件称为梁。在有限单元法中分析这两种情况的单元分别称为杆单元和梁单元。但由于在实际工程结构中,在同一构件上,上述几种受力状态往往同时存在,因此为方便起见,本书都称之为杆单元。并且,本书所讨论的杆单元均是指等截面直杆单元,对于弯曲杆件(图 3.2)和变截面杆(图 3.3),在进行单元划分时可以将其分为若干等截面杆单元,因此本书的分析方法仍然对其适用。这里从最简单的拉压杆单元开始,讨论单元刚度矩阵的建立过程。

对任意单元分析的一般步骤如下所示。

- (1) 首先用坐标或试函数建立形函数,使其满足变形协调的单元位移场,即用单元结点位移表示单元内任意一点的位移。
- (2) 通过几何方程,用结点位移表示单元内任意一点的应变。
- (3) 利用物理方程建立单元应力场,用结点位移表示单元内任意一点的应力。
- (4) 用最小势能原理建立单元刚度方程,获得单元刚度矩阵和单元等效结点荷载矩阵。

### 3.2.1 拉(压)杆单元

仅承受轴向荷载作用的等截面直杆称为拉压杆。如图 3.6 所示,设杆单元长度为  $l$ ,横截面面积为  $A$ ,单元的弹性模量为  $E$ ,在局部坐标系中杆端荷载分别为  $\bar{F}_i$  和  $\bar{F}_j$ ,杆端位移分别为  $\bar{u}_i$  和  $\bar{u}_j$ ,单元上的轴向分布荷载为  $p(x)$ ,如图 3.6 所示杆端位移和力均表示正方向,其他单元也一样,不再赘述。下面详细介绍单元分析的步骤。

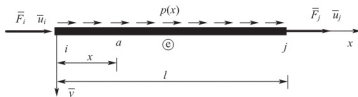


图 3.6 拉压杆单元示意图

#### 1. 建立位移场

如图 3.6 所示,在局部坐标系下杆端结点坐标为  $x_i$  和  $x_j$ ,杆件上任意一点  $a$  的坐标为  $x$ ,用结点位移表示单元上任意截面的位移。对拉压杆单元,取其位移为一次多项式,即

$$\bar{u}(x) = a + bx \quad (3-1)$$



其中,  $a$ 、 $b$  为待定系数。由位移的边界条件:

$$\bar{u}(0) = \bar{u}_i, \quad \bar{u}(l) = \bar{u}_j$$

代入式(3-1), 可得系数  $a$ 、 $b$  为:

$$a = \bar{u}_i, \quad b = \frac{\bar{u}_j - \bar{u}_i}{l}$$

这样, 任意截面的位移为:

$$\bar{u}(x) = \left(1 - \frac{x}{l}\right) \bar{u}_i + \frac{x}{l} \bar{u}_j$$

用矩阵表示为:

$$\bar{u} = N_i \bar{u}_i + N_j \bar{u}_j = [N_i \quad N_j] \begin{bmatrix} \bar{u}_i \\ \bar{u}_j \end{bmatrix} = \mathbf{N} \bar{\boldsymbol{\delta}}^{\oplus} \quad (3-2)$$

式中,  $N_i = 1 - \frac{x}{l}$ ,  $N_j = \frac{x}{l}$  称为形函数;  $\mathbf{N} = [N_i \quad N_j]$  为形函数矩阵;  $\bar{\boldsymbol{\delta}}^{\oplus} = [\bar{u}_i \quad \bar{u}_j]^T$  为局部坐标系下的结点位移矩阵。

## 2. 应力、应变分析

根据材料力学中应变的定义, 有:

$$\epsilon = \frac{d\bar{u}}{dx} = \frac{d\mathbf{N}}{dx} \bar{\boldsymbol{\delta}}^{\oplus} = \left[-\frac{1}{l} \quad \frac{1}{l}\right] \bar{\boldsymbol{\delta}}^{\oplus} = [B_i \quad B_j] \bar{\boldsymbol{\delta}}^{\oplus} = \mathbf{B} \bar{\boldsymbol{\delta}}^{\oplus} \quad (3-3)$$

式中,  $\mathbf{B} = \left[-\frac{1}{l} \quad \frac{1}{l}\right]$  为应变矩阵, 它是将应变和单元结点位移联系起来的矩阵。

由虎克定律, 其应力为:

$$\boldsymbol{\sigma} = E\epsilon = E\mathbf{B} \bar{\boldsymbol{\delta}}^{\oplus} \quad (3-4)$$

## 3. 建立单元刚度矩阵

这里考虑利用虚位移原理求单元刚度矩阵, 设杆端  $i$ 、 $j$  分别产生虚位移  $\Delta \bar{u}_i$ 、 $\Delta \bar{u}_j$ , 则由此引起的杆轴任意截面的虚位移为:

$$\Delta \bar{u} = \mathbf{N} [\Delta \bar{u}_i \quad \Delta \bar{u}_j]^T = \mathbf{N} \Delta \bar{\boldsymbol{\delta}}^{\oplus} \quad (3-5)$$

对应的虚应变为:

$$\Delta \epsilon = \mathbf{B} \Delta \bar{\boldsymbol{\delta}}^{\oplus}$$

根据虚位移原理虚功方程, 有:

$$\begin{aligned} \Delta W_{\text{外}} &= \Delta \bar{\boldsymbol{\delta}}^{\oplus T} \bar{\mathbf{F}}_d^{\oplus} + \int_0^l (\mathbf{N} \Delta \bar{\boldsymbol{\delta}}^{\oplus})^T p(x) dx = \Delta W_{\text{变}} \\ &= \int_0^l \Delta \epsilon^T \sigma A dx \\ &= \int_0^l \Delta \bar{\boldsymbol{\delta}}^{\oplus T} \mathbf{B}^T E A \mathbf{B} \bar{\boldsymbol{\delta}}^{\oplus} dx \end{aligned} \quad (3-6)$$

将上式整理得:

$$\bar{\mathbf{F}}_d^{\oplus} + \int_0^l \mathbf{N}^T p(x) dx = \int_0^l \mathbf{B}^T E A \mathbf{B} dx \bar{\boldsymbol{\delta}}^{\oplus} \quad (3-7)$$

式中,  $\bar{\mathbf{F}}_d^{\oplus} = [\bar{F}_i \quad \bar{F}_j]^T$  为局部坐标系下单元结点荷载矩阵。

令

$$\bar{\mathbf{F}}_E^{\oplus} = \int_0^l \mathbf{N}^T p(x) dx \quad (3-8)$$

$$\bar{\mathbf{k}}^{\oplus} = \int_0^l \mathbf{B}^T E A \mathbf{B} dx \quad (3-9)$$

则可以得到拉压杆单元的单元刚度方程:

$$\bar{\mathbf{F}}_J^{\oplus} + \bar{\mathbf{F}}_E^{\oplus} = \bar{\mathbf{k}}^{\oplus} \bar{\boldsymbol{\delta}}^{\oplus} \quad (3-10)$$

式中,  $\bar{\mathbf{k}}^{\oplus}$  为局部坐标系下的单元刚度矩阵;  $\bar{\mathbf{F}}_E^{\oplus}$  为局部坐标系下等效结点荷载矩阵。

根据定义, 可以进一步求得单元刚度矩阵:

$$\bar{\mathbf{k}}^{\oplus} = \frac{EA}{l} \begin{bmatrix} 1 & -1 \\ -1 & 1 \end{bmatrix} \quad (3-11)$$

同时, 可以根据式(3-8)求出等效结点荷载矩阵。但值得指出的是, 分布荷载  $p(x)$  中可以包含集中荷载。

### 3.2.2 扭转杆单元

受扭矩作用的等截面直杆单元与受轴力作用的拉压杆单元各方程的表达式类似, 只需将各变量的物理意义和符号用扭转问题的相应量和符号替换即可, 如图 3.7 所示。

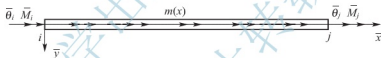


图 3.7 扭转杆单元示意图

设扭转杆单元的长度为  $l$ , 截面极惯性矩为  $I_p$ , 剪切模量为  $G$ , 杆端扭矩分别为  $\bar{M}_i$ 、 $\bar{M}_j$ , 杆端扭转角分别为  $\bar{\theta}_i$ 、 $\bar{\theta}_j$ , 单元上的分布荷载集度为  $m(x)$ 。

#### 1. 位移模式

扭转杆单元的位移模式(即任意截面的扭转角)为:

$$\bar{\theta} = \left(1 - \frac{x}{l}\right) \bar{\theta}_i + \frac{x}{l} \bar{\theta}_j = \mathbf{N} \bar{\boldsymbol{\delta}}^{\oplus} \quad (3-12)$$

式中,  $\bar{\boldsymbol{\delta}}^{\oplus} = [\bar{\theta}_i \quad \bar{\theta}_j]^T$  为局部坐标系下扭转杆单元的结点位移矩阵。

由材料力学可知, 截面扭矩为:

$$M_x = G I_p \frac{d\bar{\theta}}{dx} = G I_p \mathbf{B} \bar{\boldsymbol{\delta}}^{\oplus} \quad (3-13)$$

式中,  $G I_p$  为单元的截面抗扭刚度;  $\mathbf{B} = \frac{d\mathbf{N}}{dx} = \left[-\frac{1}{l} \quad \frac{1}{l}\right]$ 。

利用极小势能原理来进行单元分析, 杆单元的势能用泛函表示为:

$$\begin{aligned} \Pi_p &= \frac{1}{2} \int_0^l \left( M_x \frac{d\bar{\theta}}{dx} \right) dx - \int_0^l m(x) \bar{\theta} dx - \bar{\mathbf{F}}_J^{\oplus T} \bar{\boldsymbol{\delta}}^{\oplus} \\ &= \frac{1}{2} \bar{\boldsymbol{\delta}}^{\oplus T} \int_0^l \mathbf{B}^T G I_p \mathbf{B} dx \bar{\boldsymbol{\delta}}^{\oplus} - \left( \int_0^l m(x) \mathbf{N} dx + \bar{\mathbf{F}}_J^{\oplus T} \right) \bar{\boldsymbol{\delta}}^{\oplus} \end{aligned} \quad (3-14)$$



式中:  $\bar{\mathbf{F}}_d^{\oplus} = [\bar{M}_i \quad \bar{M}_j]^T$ , 为局部坐标系下扭转杆单元的结点荷载矩阵。

## 2. 单元刚度方程

由极小势能原理, 取式(3-14)中泛函的变分  $\delta \Pi_p = 0$ , 可得:

$$\bar{\boldsymbol{\delta}}^{\oplus T} \int_0^l \mathbf{B}^T G I_p \mathbf{B} dx = \int_0^l m(x) \mathbf{N} dx + \bar{\mathbf{F}}_d^{\oplus T} \quad (3-15a)$$

或写为:

$$\left( \int_0^l \mathbf{B}^T G I_p \mathbf{B} dx \right) \bar{\boldsymbol{\delta}}^{\oplus} = \int_0^l m(x) \mathbf{N}^T dx + \bar{\mathbf{F}}_d^{\oplus} \quad (3-15b)$$

令

$$\bar{\mathbf{k}}^{\oplus} = \int_0^l \mathbf{B}^T G I_p \mathbf{B} dx \quad (3-16)$$

$$\bar{\mathbf{F}}_E^{\oplus} = \int_0^l m(x) \mathbf{N}^T dx \quad (3-17)$$

可得扭转杆单元的单元刚度方程:

$$\bar{\mathbf{F}}_d^{\oplus} + \bar{\mathbf{F}}_E^{\oplus} = \bar{\mathbf{k}}^{\oplus} \bar{\boldsymbol{\delta}}^{\oplus} \quad (3-18)$$

可以看到, 其形式与拉压杆单元的单元刚度方程完全一致。同样, 由式(3-16)可以进一步求得其局部坐标系下的单元刚度矩阵:

$$\bar{\mathbf{k}}^{\oplus} = \frac{G I_p}{l} \begin{bmatrix} 1 & -1 \\ -1 & 1 \end{bmatrix} \quad (3-19)$$

## 3.2.3 仅考虑弯曲的杆单元

如图 3.8 所示, 设杆单元的长度为  $l$ , 截面惯性矩为  $I$ , 弹性模量为  $E$ , 杆端剪力分别

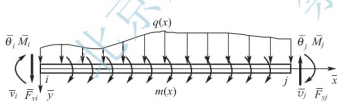


图 3.8 只计弯曲的杆单元示意图

为  $\bar{F}_{yi}$ 、 $\bar{F}_{yj}$ , 杆端弯矩分别为  $\bar{M}_i$ 、 $\bar{M}_j$ , 杆端横向位移分别为  $\bar{v}_i$ 、 $\bar{v}_j$ , 杆端扭转角分别为  $\bar{\theta}_i$ 、 $\bar{\theta}_j$ , 在单元上分布有荷载集度为  $q(x)$  的竖向分布荷载和集度为  $m(x)$  的分布力偶, 则结点位移矩阵和结点荷载矩阵分别为:

$$\bar{\boldsymbol{\delta}}^{\oplus} = [\bar{v}_i \quad \bar{\theta}_i \quad \bar{v}_j \quad \bar{\theta}_j]^T$$

$$\bar{\mathbf{F}}_d^{\oplus} = [\bar{F}_{yi} \quad \bar{M}_i \quad \bar{F}_{yj} \quad \bar{M}_j]^T$$

### 1. 位移模式

取挠曲线方程为  $x$  的三次多项式, 即单元上任意一点的挠度为:

$$\bar{v} = a + bx + cx^2 + dx^3 \quad (3-20)$$

利用单元的位移边界条件可求出待定常数, 即

$$x=0 \text{ 时, } \bar{v} = \bar{v}_i, \quad \frac{d\bar{v}}{dx} = \bar{\theta}_i$$

$$x=l \text{ 时, } \bar{v} = \bar{v}_j, \quad \frac{d\bar{v}}{dx} = \bar{\theta}_j$$

求解上式可以得到式(3-20)中的待定系数:

$$\begin{cases} a = \bar{v}_i \\ b = \bar{\theta}_i \\ c = -\frac{3}{l^2}\bar{v}_i - \frac{2}{l}\bar{\theta}_i + \frac{3}{l^2}\bar{v}_j - \frac{1}{l}\bar{\theta}_j \\ d = \frac{2}{l^3}\bar{v}_i + \frac{1}{l^2}\bar{\theta}_i - \frac{2}{l^3}\bar{v}_j + \frac{1}{l^2}\bar{\theta}_j \end{cases}$$

将系数  $a$ 、 $b$ 、 $c$ 、 $d$  代入式(3-20), 并将挠曲线方程用矩阵形式表示为:

$$\bar{v} = [1 \quad x \quad x^2 \quad x^3] \begin{bmatrix} 1 & 0 & 0 & 0 \\ 0 & 1 & 0 & 0 \\ -\frac{3}{l^2} & -\frac{2}{l} & \frac{3}{l^2} & -\frac{1}{l} \\ \frac{2}{l^3} & \frac{1}{l^2} & -\frac{2}{l^3} & \frac{1}{l^2} \end{bmatrix} \begin{bmatrix} \bar{v}_i \\ \bar{\theta}_i \\ \bar{v}_j \\ \bar{\theta}_j \end{bmatrix} = \mathbf{N} \bar{\delta}^{\oplus} \quad (3-21)$$

式中,  $\mathbf{N} = [N_1 \quad N_2 \quad N_3 \quad N_4]$  为形函数矩阵, 其中,

$$\left. \begin{aligned} N_1 &= 1 - \frac{3x^2}{l^2} + \frac{2x^3}{l^3} \\ N_2 &= x \left( 1 - \frac{2x}{l} + \frac{x^2}{l^2} \right) \\ N_3 &= \frac{3x^2}{l^2} - \frac{2x^3}{l^3} \\ N_4 &= -\frac{x^2}{l} + \frac{x^3}{l^2} \end{aligned} \right\} \quad (3-22)$$

为平面弯曲单元的形函数。

## 2. 单元刚度方程

根据式(3-21)确定的单元位移场, 可得单元上某一点的曲率为:

$$\kappa = \frac{d^2 \bar{v}}{dx^2} = \frac{d^2 \mathbf{N}}{dx^2} \bar{\delta}^{\oplus} = \mathbf{B} \bar{\delta}^{\oplus} \quad (3-23)$$

截面的弯矩为:

$$M = EI \kappa = EI \mathbf{B} \bar{\delta}^{\oplus} = \bar{\delta}^{\oplus \top} \mathbf{B}^T EI \quad (3-24)$$

其中,

$$\mathbf{B} = \frac{d^2 \mathbf{N}}{dx^2} = \frac{1}{l^2} \begin{bmatrix} -6 + 12 \frac{x}{l} & l \left( -4 + 6 \frac{x}{l} \right) & 6 - 12 \frac{x}{l} & l \left( -2 + 6 \frac{x}{l} \right) \end{bmatrix} \quad (3-25)$$

为平面弯曲杆单元的应变矩阵。

根据虚位移原理, 有

$$\begin{aligned} \Delta W_{\#} &= \Delta \bar{\delta}^{\oplus \top} \left( \int_0^l q(x) \mathbf{N}^T dx + \int_0^l m(x) \frac{d\mathbf{N}^T}{dx} dx + \bar{\mathbf{F}}_d^{\oplus} \right) = \Delta W_{\#} \\ &= \Delta \bar{\delta}^{\oplus \top} \int_0^l \mathbf{B}^T EI \mathbf{B} dx \bar{\delta}^{\oplus} \end{aligned}$$

令

$$\bar{\mathbf{F}}_E^{\oplus} = \int_0^l q(x) \mathbf{N}^T dx + \int_0^l m(x) \frac{d\mathbf{N}^T}{dx} dx \quad (3-26)$$



$$\bar{\mathbf{k}}^{\oplus} = \int_0^l \mathbf{B}^T E I B dx \quad (3-27)$$

则平面弯曲杆单元的单元刚度方程为:

$$\bar{\mathbf{F}}_d^{\oplus} + \bar{\mathbf{F}}_E^{\oplus} = \bar{\mathbf{k}}^{\oplus} \bar{\boldsymbol{\delta}}^{\oplus} \quad (3-28)$$

对式(3-27)积分, 求得单元刚度矩阵为:

$$\bar{\mathbf{k}}^{\oplus} = \frac{EI}{l^3} \begin{bmatrix} 12 & 6l & -12 & 6l \\ 6l & 4l^2 & -6l & 2l^2 \\ -12 & -6l & 12 & -6l \\ 6l & 2l^2 & -6l & 4l^2 \end{bmatrix} \quad (3-29)$$

等效结点荷载可由式(3-26)求得。当作用满跨横向均布荷载  $q$  或满跨均布力偶  $m$  时, 由式可得其等效结点荷载为:

$$\begin{aligned} \bar{\mathbf{F}}_E^{\oplus} &= \left[ -\frac{1}{2}ql \quad -\frac{1}{12}ql^2 \quad -\frac{1}{2}ql \quad \frac{1}{12}ql^2 \right]^T \\ \bar{\mathbf{F}}_E^{\oplus} &= [m \quad 0 \quad -m \quad 0]^T \end{aligned}$$

### 3.2.4 平面一般杆件单元

设杆单元的长度为  $l$ , 截面面积为  $A$ , 截面惯性矩为  $I$ , 弹性模量为  $E$ , 单元的  $i$ 、 $j$  端各有三个力分别为  $\bar{F}_{xi}$ 、 $\bar{F}_{yi}$ 、 $\bar{M}_i$  和  $\bar{F}_{xj}$ 、 $\bar{F}_{yj}$ 、 $\bar{M}_j$ , 其对应的位移分别为  $\bar{u}_i$ 、 $\bar{v}_i$ 、 $\bar{\theta}_i$  和  $\bar{u}_j$ 、 $\bar{v}_j$ 、 $\bar{\theta}_j$ 。建立如图 3.9 所示的局部坐标系, 各物理量的正向如图中所标, 则结点位移矩阵和结点荷载矩阵分别为:

$$\bar{\boldsymbol{\delta}}^{\oplus} = [\bar{u}_i \quad \bar{v}_i \quad \bar{\theta}_i \quad \bar{u}_j \quad \bar{v}_j \quad \bar{\theta}_j]^T \quad (3-30)$$

$$\bar{\mathbf{F}}^{\oplus} = [\bar{F}_{xi} \quad \bar{F}_{yi} \quad \bar{M}_i \quad \bar{F}_{xj} \quad \bar{F}_{yj} \quad \bar{M}_j]^T \quad (3-31)$$

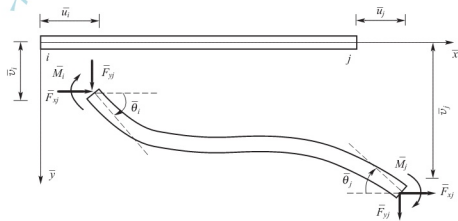


图 3.9 一般杆单元示意图

设单元上没有荷载作用, 首先考虑轴向力的作用, 由于杆端轴力  $\bar{F}_{xi}$ 、 $\bar{F}_{xj}$  只引起杆端轴向位移  $\bar{u}_i$ 、 $\bar{u}_j$ , 根据拉压杆单元的单元刚度方程(3-10), 有

$$\begin{aligned}\bar{F}_{xi} &= \frac{EA}{l}(\bar{u}_i - \bar{u}_j) = \frac{EA}{l}\bar{u}_i - \frac{EA}{l}\bar{u}_j \\ \bar{F}_{xj} &= -\frac{EA}{l}(\bar{u}_i - \bar{u}_j) = -\frac{EA}{l}\bar{u}_i + \frac{EA}{l}\bar{u}_j\end{aligned}$$

其次, 杆端弯矩 $\bar{M}_i$ 、 $\bar{M}_j$ 和杆端剪力 $\bar{F}_{yi}$ 、 $\bar{F}_{yj}$ 只与杆端的转角位移 $\bar{\theta}_i$ 、 $\bar{\theta}_j$ 和杆端的横向位移 $\bar{v}_i$ 、 $\bar{v}_j$ 有关, 根据只计弯曲杆元的单元刚度方程(3-28)[注意, 由于不考虑单元上的荷载作用, 故式(3-28)中的等效结点荷载 $\bar{F}_E^{\text{等}}$ 等于零], 由结构力学转角位移方程得:

$$\begin{aligned}\bar{M}_i &= \frac{6EI}{l^2}\bar{v}_i + \frac{4EI}{l}\bar{\theta}_i - \frac{6EI}{l^2}\bar{v}_j + \frac{2EI}{l}\bar{\theta}_j \\ \bar{M}_j &= \frac{6EI}{l^2}\bar{v}_i + \frac{2EI}{l}\bar{\theta}_i - \frac{6EI}{l^2}\bar{v}_j + \frac{4EI}{l}\bar{\theta}_j \\ \bar{F}_{yi} &= \frac{12EI}{l^3}\bar{v}_i + \frac{6EI}{l^2}\bar{\theta}_i - \frac{12EI}{l^3}\bar{v}_j + \frac{6EI}{l^2}\bar{\theta}_j \\ \bar{F}_{yj} &= -\frac{12EI}{l^3}\bar{v}_i - \frac{6EI}{l^2}\bar{\theta}_i + \frac{12EI}{l^3}\bar{v}_j - \frac{6EI}{l^2}\bar{\theta}_j\end{aligned}$$

这些关系式与结构力学中由位移法得到的表达式完全一样。现将上述表达式合并在一起, 写成如下所示的矩阵形式:

$$\begin{bmatrix} \bar{F}_{xi} \\ \bar{F}_{xj} \\ \bar{M}_i \\ \bar{F}_{yi} \\ \bar{F}_{yj} \\ \bar{M}_j \end{bmatrix} = \begin{bmatrix} \frac{EA}{l} & 0 & 0 & -\frac{EA}{l} & 0 & 0 \\ 0 & \frac{12EI}{l^3} & \frac{6EI}{l^2} & 0 & -\frac{12EI}{l^3} & \frac{6EI}{l^2} \\ 0 & \frac{6EI}{l^2} & \frac{4EI}{l} & 0 & -\frac{6EI}{l^2} & \frac{2EI}{l} \\ \frac{EA}{l} & 0 & 0 & \frac{EA}{l} & 0 & 0 \\ 0 & -\frac{12EI}{l^3} & -\frac{6EI}{l^2} & 0 & \frac{12EI}{l^3} & -\frac{6EI}{l^2} \\ 0 & \frac{6EI}{l^2} & \frac{2EI}{l} & 0 & -\frac{6EI}{l^2} & \frac{4EI}{l} \end{bmatrix} \begin{bmatrix} \bar{u}_i \\ \bar{v}_i \\ \bar{\theta}_i \\ \bar{u}_j \\ \bar{v}_j \\ \bar{\theta}_j \end{bmatrix} \quad (3-32)$$

可以将式(3-32)简写为:

$$\bar{\mathbf{F}}^{\text{e}} = \bar{\mathbf{k}}^{\text{e}} \bar{\boldsymbol{\delta}}^{\text{e}} \quad (3-33)$$

其中, 单元刚度矩阵为:

$$\bar{\mathbf{k}}^{\text{e}} = \begin{bmatrix} \frac{EA}{l} & 0 & 0 & -\frac{EA}{l} & 0 & 0 \\ 0 & \frac{12EI}{l^3} & \frac{6EI}{l^2} & 0 & -\frac{12EI}{l^3} & \frac{6EI}{l^2} \\ 0 & \frac{6EI}{l^2} & \frac{4EI}{l} & 0 & -\frac{6EI}{l^2} & \frac{2EI}{l} \\ -\frac{EA}{l} & 0 & 0 & \frac{EA}{l} & 0 & 0 \\ 0 & -\frac{12EI}{l^3} & -\frac{6EI}{l^2} & 0 & \frac{12EI}{l^3} & -\frac{6EI}{l^2} \\ 0 & \frac{6EI}{l^2} & \frac{2EI}{l} & 0 & -\frac{6EI}{l^2} & \frac{4EI}{l} \end{bmatrix} \quad (3-34)$$



计算平面刚架单元的单元刚度矩阵的函数如下所示。

```
void element_beam_2d(float L, float E, float A, float Iz, float** ke, int n)
/*
    功能: 计算平面刚架单元的单元刚度矩阵(局部坐标系中)
    -----
    输入:
        L: 单元长度
        E: 材料弹性模量
        A: 截面积
        Iz: 截面惯性矩
        n: 单元刚度矩阵的大小, 只能为 6
    输出:
        ke: 二维数组, ke[n][n]
    -----*/
{
    int i, j;
    float tmp;

    for(i=0; i<n; i++){
        for(j=0; j<n; j++){ ke[i][j]=0.0f;
        }

        tmp=E*A/L;
        ke[0][0]=tmp;    ke[0][3]=-tmp;
        ke[3][0]=-tmp;    ke[3][3]=tmp;

        tmp=E*Iz/(L*L*L);
        ke[1][1]=12*tmp;  ke[1][2]=6*tmp*L;    ke[1][4]=-ke[1][1]; ke[1][5]=ke[1][2];
        ke[2][1]=ke[1][2]; ke[2][2]=4*tmp*L*L;  ke[2][4]=-ke[1][2]; ke[2][5]=2*tmp*L*L;
        ke[4][1]=ke[1][4]; ke[4][2]=ke[2][4];    ke[4][4]=ke[1][1]; ke[4][5]=-ke[1][2];
        ke[5][1]=ke[1][5]; ke[5][2]=ke[2][5];    ke[5][4]=ke[4][5]; ke[5][5]=ke[2][2];
    }
}
```

有兴趣的读者也可以将其改写成 FORTRAN 语言。

### 3.2.5 空间杆件单元

从物理概念和计算特点上讲, 空间杆件结构与平面杆件结构同属一类结构, 因此, 有关平面杆件结构的基本理论和概念完全适用于空间杆件结构。只是对于空间杆件单元, 每个结点的自由度不同, 因此, 单元刚度矩阵的阶数也不同。

实际工程多为空间杆系结构, 用有限元法辅助计算机进行空间杆系结构的受力与变形分析比把空间杆系简化成平面杆系所得结构进行分析更精确。对于空间杆件单元, 除了



单元杆端力和结点位移数目较平面杆件单元多外,其分析方法与平面杆件单元类似。下面以空间刚架单元为例进行分析。

对于空间刚架单元,设局部坐标系的 $\bar{x}$ 轴为单元的形心主轴,横截面的两个主轴分别为 $\bar{y}$ 轴和 $\bar{z}$ 轴, $\bar{x}$ 、 $\bar{y}$ 、 $\bar{z}$ 轴的确定符合右手定则,如图 3.10 所示。设杆横截面面积为 $A$ ,单元长度为 $l$ ,在 $\bar{x}\bar{z}$ 平面内抗弯刚度为 $EI_y$ ,在 $\bar{x}\bar{y}$ 平面内的抗弯刚度为 $EI_z$ ,杆件的抗扭刚度为 $GI_p$ 。空间刚架每个结点有 6 个位移分量和 6 个结点力分量,在局部坐标系下设它们分别为:

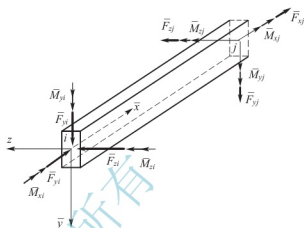


图 3.10 空间杆单元示意图

$$\bar{\delta}^{\text{e}} = [\bar{u}_i \quad \bar{v}_i \quad \bar{w}_i \quad \bar{\theta}_{xi} \quad \bar{\theta}_{yi} \quad \bar{\theta}_{zi}; \bar{u}_j \quad \bar{v}_j \quad \bar{w}_j \quad \bar{\theta}_{xj} \quad \bar{\theta}_{yj} \quad \bar{\theta}_{zj}]^T$$

$$\bar{F}^{\text{e}} = [\bar{F}_{xi} \quad \bar{F}_{yi} \quad \bar{F}_{zi} \quad \bar{M}_{xi} \quad \bar{M}_{yi} \quad \bar{M}_{zi}; \bar{F}_{xj} \quad \bar{F}_{yj} \quad \bar{F}_{zj} \quad \bar{M}_{xj} \quad \bar{M}_{yj} \quad \bar{M}_{zj}]^T$$

下面建立局部坐标系下的单元刚度方程。

首先,求出当杆端位移 $\bar{\delta}^{\text{e}}$ 中杆两端沿一个方向发生位移而其余方向位移分量为 0 时的杆端力,计算过程如下所示。

(1) 当杆件两端发生沿 $\bar{x}$ 轴正方向的位移时 [图 3.11(a)],仅沿 $\bar{x}$ 轴方向产生内力,杆端力为:

$$\bar{F}_{xi} = \frac{EA}{l}(\bar{u}_i - \bar{u}_j), \quad \bar{F}_{xj} = -\frac{EA}{l}(\bar{u}_i - \bar{u}_j)$$

(2) 当杆件两端发生沿 $\bar{y}$ 轴正方向的位移时 [图 3.11(b)],杆的两端会同时产生沿 $\bar{y}$ 轴方向的剪力和 $\bar{xOy}$ 平面内的弯矩,弯矩为:

$$\bar{M}_{zi} = \bar{M}_{zj} = \frac{6EI_z}{l^2}(\bar{v}_i - \bar{v}_j)$$

由弯矩可以求出剪力为:

$$\bar{F}_{yi} = \frac{\bar{M}_{zi} + \bar{M}_{zj}}{l} = \frac{12EI_z}{l^3}(\bar{v}_i - \bar{v}_j)$$

$$\bar{F}_{yj} = -\bar{F}_{yi} = -\frac{12EI_z}{l^3}(\bar{v}_i - \bar{v}_j)$$

(3) 当杆件两端发生沿 $\bar{z}$ 轴正方向的位移时 [图 3.11(c)],杆的两端会同时产生沿 $\bar{z}$ 轴方向的剪力和 $\bar{xOz}$ 平面内的弯矩,杆端弯矩为:

$$\bar{M}_{yi} = \bar{M}_{yj} = -\frac{6EI_z}{l^2}(\bar{w}_i - \bar{w}_j)$$

杆端剪力为:



$$\bar{F}_{zi} = -\frac{\bar{M}_{zi} + \bar{M}_{zj}}{l} = \frac{12EI_z}{l^3}(\bar{u}_i - \bar{u}_j)$$

$$\bar{F}_{zj} = \frac{\bar{M}_{zi} + \bar{M}_{zj}}{l} = -\frac{12EI_z}{l^3}(\bar{u}_i - \bar{u}_j)$$

(4) 当杆件两端发生绕 $\bar{x}$ 轴正方向的转角位移时 [图 3.11(d)], 杆的两端产生扭矩, 扭矩为:

$$\bar{M}_{xi} = \frac{GI_p}{l}(\bar{\theta}_{xi} - \bar{\theta}_{xj})$$

$$\bar{M}_{xj} = -\frac{GI_p}{l}(\bar{\theta}_{xi} - \bar{\theta}_{xj})$$

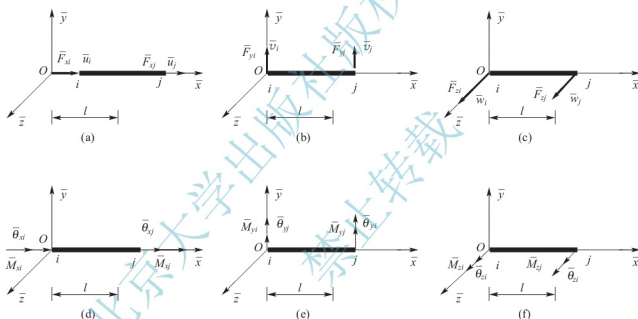


图 3.11 空间杆单元受力分解

(5) 当杆件两端发生绕 $\bar{y}$ 轴正方向的转角位移时 [图 3.11(e)], 杆的两端会同时产生沿 $\bar{z}$ 轴方向的剪力 and  $\bar{x}\bar{O}\bar{z}$ 平面内的弯矩, 杆端弯矩为:

$$\bar{M}_{yi} = \frac{4EI_y}{l}\bar{\theta}_{yi} + \frac{2EI_y}{l}\bar{\theta}_{yj}$$

$$\bar{M}_{yj} = \frac{2EI_y}{l}\bar{\theta}_{yi} + \frac{4EI_y}{l}\bar{\theta}_{yj}$$

杆端剪力为:

$$\bar{F}_{zi} = -\frac{\bar{M}_{yi} + \bar{M}_{yj}}{l} = -\frac{6EI_y}{l^2}(\bar{\theta}_{yi} + \bar{\theta}_{yj})$$

$$\bar{F}_{zj} = -\bar{F}_{zi} = \frac{6EI_y}{l^2}(\bar{\theta}_{yi} + \bar{\theta}_{yj})$$

(6) 当杆件两端发生绕 $z$ 轴正方向的转角位移时 [图 3.11(f)], 杆的两端会同时产生沿 $y$ 轴方向的剪力和 $xOy$ 平面内的弯矩, 杆端弯矩为:

$$\bar{M}_z = \frac{4EI_z}{l}\theta_{zi} + \frac{2EI_z}{l}\theta_{zj}$$

$$\bar{M}_{zj} = \frac{2EI_z}{l}\theta_{zi} + \frac{4EI_z}{l}\theta_{zj}$$

杆端剪力为:

$$\bar{F}_{yi} = \frac{\bar{M}_{zi} + \bar{M}_{zj}}{l} = \frac{6EI_z}{l^2}(\bar{\theta}_{zi} + \bar{\theta}_{zj})$$

$$\bar{F}_{yj} = -\bar{F}_{yi} = -\frac{6EI_z}{l^2}(\bar{\theta}_{zi} + \bar{\theta}_{zj})$$

将上述杆端内力叠加并整理写成矩阵形式, 得到空间杆单元的刚度矩阵:

$$\begin{bmatrix} \bar{F}_{xi} \\ \bar{F}_{yi} \\ \bar{F}_{zi} \\ \bar{M}_{xi} \\ \bar{M}_{yi} \\ \bar{M}_{zi} \\ \dots \\ \bar{F}_{xj} \\ \bar{F}_{yj} \\ \bar{F}_{zj} \\ \bar{M}_{xj} \\ \bar{M}_{yj} \\ \bar{M}_{zj} \end{bmatrix} = \begin{bmatrix} \frac{EA}{l} & 0 & 0 & 0 & 0 & 0 & \frac{EA}{l} & 0 & 0 & 0 & 0 & 0 \\ 0 & \frac{12EI_z}{l^3} & 0 & 0 & 0 & \frac{6EI_z}{l^2} & 0 & -\frac{12EI_z}{l^3} & 0 & 0 & 0 & \frac{6EI_z}{l^2} \\ 0 & 0 & \frac{12EI_y}{l^3} & 0 & 0 & -\frac{6EI_y}{l^2} & 0 & 0 & \frac{12EI_y}{l^3} & 0 & 0 & -\frac{6EI_y}{l^2} \\ 0 & 0 & 0 & \frac{GI_p}{l} & 0 & 0 & 0 & 0 & 0 & -\frac{GI_p}{l} & 0 & 0 \\ 0 & 0 & -\frac{6EI_y}{l^2} & 0 & \frac{4EI_y}{l} & 0 & 0 & 0 & \frac{6EI_y}{l^2} & 0 & \frac{2EI_y}{l} & 0 \\ 0 & \frac{6EI_z}{l^2} & 0 & 0 & 0 & \frac{4EI_z}{l} & 0 & \frac{6EI_z}{l^2} & 0 & 0 & 0 & \frac{2EI_z}{l} \\ \dots & \dots & \dots & \dots & \dots & \dots & \dots & \dots & \dots & \dots & \dots & \dots \\ -\frac{EA}{l} & 0 & 0 & 0 & 0 & 0 & -\frac{EA}{l} & 0 & 0 & 0 & 0 & 0 \\ 0 & \frac{12EI_z}{l^3} & 0 & 0 & 0 & -\frac{6EI_z}{l^2} & 0 & \frac{12EI_z}{l^3} & 0 & 0 & 0 & -\frac{6EI_z}{l^2} \\ 0 & 0 & -\frac{12EI_y}{l^3} & 0 & \frac{6EI_y}{l^2} & 0 & 0 & 0 & -\frac{12EI_y}{l^3} & 0 & \frac{6EI_y}{l^2} & 0 \\ 0 & 0 & 0 & -\frac{GI_p}{l} & 0 & 0 & 0 & 0 & 0 & \frac{GI_p}{l} & 0 & 0 \\ 0 & 0 & \frac{6EI_y}{l^2} & 0 & \frac{2EI_y}{l} & 0 & 0 & 0 & \frac{6EI_y}{l^2} & 0 & \frac{4EI_y}{l} & 0 \\ 0 & \frac{6EI_z}{l^2} & 0 & 0 & 0 & \frac{2EI_z}{l} & 0 & -\frac{6EI_z}{l^2} & 0 & 0 & 0 & \frac{4EI_z}{l} \end{bmatrix} \begin{bmatrix} \bar{u}_i \\ \bar{v}_i \\ \bar{w}_i \\ \bar{\theta}_{xi} \\ \bar{\theta}_{yi} \\ \bar{\theta}_{zi} \\ \dots \\ \bar{u}_j \\ \bar{v}_j \\ \bar{w}_j \\ \bar{\theta}_{xj} \\ \bar{\theta}_{yj} \\ \bar{\theta}_{zj} \end{bmatrix}$$

(3-35)

式中,  $E$  为弹性模量;  $G$  为剪切模量;  $A$  为单元横截面积;  $l$  为单元长度;  $I_z$  为截面绕 $z$ 轴的惯性矩;  $I_y$  为截面绕 $y$ 轴的惯性矩;  $I_p$  为绕 $x$ 轴的极惯性矩。

将式(3-35)写成矩阵表示的形式:

$$\bar{\mathbf{F}}^{\oplus} = \bar{\mathbf{k}}^{\oplus} \bar{\boldsymbol{\delta}}^{\oplus} \quad (3-36)$$

其中的单元刚度矩阵为:



$$\bar{\mathbf{k}}^{\textcircled{\circ}} = \begin{bmatrix} \frac{EA}{l} & 0 & 0 & 0 & 0 & 0 & -\frac{EA}{l} & 0 & 0 & 0 & 0 & 0 \\ 0 & \frac{12EI_z}{l^3} & 0 & 0 & 0 & \frac{6EI_z}{l^2} & 0 & -\frac{12EI_z}{l^3} & 0 & 0 & 0 & \frac{6EI_z}{l^2} \\ 0 & 0 & \frac{12EI_y}{l^3} & 0 & 0 & -\frac{6EI_y}{l^2} & 0 & 0 & -\frac{12EI_y}{l^3} & 0 & 0 & -\frac{6EI_y}{l^2} \\ 0 & 0 & 0 & \frac{GI_p}{l} & 0 & 0 & 0 & 0 & 0 & -\frac{GI_p}{l} & 0 & 0 \\ 0 & 0 & -\frac{6EI_y}{l^2} & 0 & \frac{4EI_y}{l} & 0 & 0 & 0 & \frac{6EI_y}{l^2} & 0 & \frac{2EI_y}{l} & 0 \\ 0 & \frac{6EI_z}{l^2} & 0 & 0 & 0 & \frac{4EI_z}{l} & 0 & -\frac{6EI_z}{l^2} & 0 & 0 & 0 & \frac{2EI_z}{l} \\ \hline -\frac{EA}{l} & 0 & 0 & 0 & 0 & 0 & \frac{EA}{l} & 0 & 0 & 0 & 0 & 0 \\ 0 & -\frac{12EI_z}{l^3} & 0 & 0 & 0 & -\frac{6EI_z}{l^2} & 0 & \frac{12EI_z}{l^3} & 0 & 0 & 0 & -\frac{6EI_z}{l^2} \\ 0 & 0 & -\frac{12EI_y}{l^3} & 0 & 0 & \frac{6EI_y}{l^2} & 0 & 0 & \frac{12EI_y}{l^3} & 0 & 0 & \frac{6EI_y}{l^2} \\ 0 & 0 & 0 & -\frac{GI_p}{l} & 0 & 0 & 0 & 0 & 0 & \frac{GI_p}{l} & 0 & 0 \\ 0 & 0 & \frac{6EI_y}{l^2} & 0 & \frac{2EI_y}{l} & 0 & 0 & 0 & -\frac{6EI_y}{l^2} & 0 & \frac{4EI_y}{l} & 0 \\ 0 & -\frac{6EI_z}{l^2} & 0 & 0 & 0 & \frac{2EI_z}{l} & 0 & \frac{6EI_z}{l^2} & 0 & 0 & 0 & \frac{4EI_z}{l} \end{bmatrix}$$

(3-37)

对于空间杆单元的单元刚度矩阵 $\bar{\mathbf{k}}^{\textcircled{\circ}}$ ，可以做如下理解。

(1) 矩阵 $\bar{\mathbf{k}}^{\textcircled{\circ}}$ 的第1、7列和第1、7行相交元素组成的矩阵表示杆件单元只受轴力时的单元刚度矩阵。

(2) 矩阵 $\bar{\mathbf{k}}^{\textcircled{\circ}}$ 的第4、10列和第4、10行相交元素组成的矩阵表示杆单元只受扭转作用时对应的单元刚度矩阵。

(3) 矩阵 $\bar{\mathbf{k}}^{\textcircled{\circ}}$ 的第2、6、8、12列和第2、6、8、12行相交元素组成的矩阵表示杆单元在 $\bar{xy}$ 平面发生纯弯曲时的单元刚度矩阵。

(4) 矩阵 $\bar{\mathbf{k}}^{\textcircled{\circ}}$ 的第3、5、9、11列和第3、5、9、11行相交元素组成的矩阵表示杆单元在 $\bar{xz}$ 平面发生纯弯曲时的单元刚度矩阵，但这里应该注意的是，此时结点力 $\bar{M}_{3x}$ 、 $\bar{M}_{3y}$ 的方向与坐标轴的正方向相反。

上述四种组合变形按照杆端力和结点位移分量的顺序对应排列，即可以组成空间刚架单元的单元刚度矩阵。

### 3.2.6 单元刚度矩阵的性质

从前面的分析可以看出，单元刚度矩阵具有如下性质。

(1) 单元刚度矩阵 $\bar{\mathbf{k}}^{\textcircled{\circ}}$ 为对称矩阵，其元素满足 $k_{ij} = k_{ji}$  ( $i \neq j$ )。

(2) 单元刚度矩阵 $\bar{k}^e$ 中的每个元素代表单位杆端位移引起的杆端力。其中, 元素 $k_{ij}$ 的物理意义是第 $j$ 个杆端位移分量等于1(其余位移分量等于0)时, 所引起的第 $i$ 个杆端力的分量值。

(3) 一般单元的单元刚度矩阵 $\bar{k}^e$ 是奇异矩阵, 它的元素组成的行列式等于零, 即 $|\bar{k}^e|=0$ 。根据奇异矩阵的性质,  $\bar{k}^e$ 没有逆矩阵。也就是说, 如果给定杆端位移 $\bar{\delta}^e$ , 根据式(3-33)或式(3-37)可以求出杆端力 $\bar{F}^e$ 的唯一解, 但反过来, 如果已知杆端力 $\bar{F}^e$ , 则不能根据 $\bar{\delta}^e=(\bar{k}^e)^{-1}\bar{F}^e$ 来确定杆端位移 $\bar{\delta}^e$ 的唯一解。因为即使在杆端力已知的情况下, 由于单元两端无任何约束, 所以除杆端自身变形外, 单元还可以发生任意的刚体位移。举例来说, 如果物体处于静止状态, 我们可以说其处于平衡状态, 但反过来, 如果物体处于平衡状态, 则我们不能说其一定处于静止状态。

(4) 单元刚度矩阵 $\bar{k}^e$ 具有分块的性质, 即可以用子矩阵表示 $\bar{k}^e$ 。在式(3-32)、式(3-34)和式(3-37)中, 用虚线把 $\bar{k}^e$ 分为四个子矩阵, 把 $\bar{F}^e$ 和 $\bar{\delta}^e$ 各分为两个子矩阵, 因此式(3-33)又可以写为:

$$\begin{bmatrix} \bar{F}_i^e \\ \vdots \\ \bar{F}_j^e \end{bmatrix} = \begin{bmatrix} \bar{k}_{ii}^e & \bar{k}_{ij}^e \\ \vdots & \vdots \\ \bar{k}_{ji}^e & \bar{k}_{jj}^e \end{bmatrix} \begin{bmatrix} \bar{\delta}_i^e \\ \vdots \\ \bar{\delta}_j^e \end{bmatrix} \quad (3-38)$$

其中, 对平面杆件有:

$$\begin{aligned} \bar{F}_i^e &= [\bar{F}_{xi} \quad \bar{F}_{yi} \quad \bar{M}_i]^T \\ \bar{F}_j^e &= [\bar{F}_{xj} \quad \bar{F}_{yj} \quad \bar{M}_j]^T \\ \bar{\delta}_i^e &= [\bar{u}_i \quad \bar{v}_i \quad \bar{\theta}_i]^T \\ \bar{\delta}_j^e &= [\bar{u}_j \quad \bar{v}_j \quad \bar{\theta}_j]^T \end{aligned}$$

对空间杆件有:

$$\begin{aligned} \bar{F}_i^e &= [\bar{F}_{xi} \quad \bar{F}_{yi} \quad \bar{F}_{zi} \quad \bar{F}_{xj} \quad \bar{F}_{yj} \quad \bar{F}_{zj} \quad \bar{M}_i \quad \bar{M}_j]^T \\ \bar{F}_j^e &= [\bar{F}_{xj} \quad \bar{F}_{yj} \quad \bar{F}_{zj} \quad \bar{F}_{xi} \quad \bar{F}_{yi} \quad \bar{F}_{zi} \quad \bar{M}_j \quad \bar{M}_i]^T \\ \bar{\delta}_i^e &= [\bar{u}_i \quad \bar{v}_i \quad \bar{w}_i \quad \bar{\theta}_{xi} \quad \bar{\theta}_{yi} \quad \bar{\theta}_{zi} \quad \bar{\theta}_i]^T \\ \bar{\delta}_j^e &= [\bar{u}_j \quad \bar{v}_j \quad \bar{w}_j \quad \bar{\theta}_{xj} \quad \bar{\theta}_{yj} \quad \bar{\theta}_{zj} \quad \bar{\theta}_j]^T \end{aligned}$$

用子矩阵形式表示单元刚度矩阵和单元刚度方程, 可以使其表达的物理意义更加清楚。在单元刚度矩阵 $\bar{k}^e$ 中, 其任意子矩阵 $\bar{k}_{rs}^e$ 表示杆端力 $\bar{F}_r^e$ 和杆端位移 $\bar{\delta}_s^e$ 之间的关系。

### 3.3 整体分析

为了建立平面杆件结构的整体平衡方程, 必须把局部坐标系下单元刚度矩阵和单元结点力向量转换到整体坐标系下, 而为了计算单元在局部坐标系下的杆端力, 又必须把单元在整体坐标系下的位移转换到局部坐标系下, 下面来推导这些转换关系。



### 3.3.1 平面问题坐标变换矩阵

结构离散时建立了两套坐标系(局部坐标系和整体坐标系),上述单元分析是在局部坐标系中进行的,杆轴为 $\bar{x}$ 轴,另外两轴为惯性主轴的局部坐标系。而实际杆件体系中的每根杆件(单元)方位除连续梁外并不相同,对于某一单元来说,当其局部坐标系与整个结构的整体坐标系不一致时,则由单元分析的物理量必须通过坐标转换首先变换到整体坐标系中,然后再进行整体分析,这里介绍一下求坐标变换矩阵的方法。

图 3.12 为同原点的两个坐标系,图 3.12(a)中单元的杆端力都是在局部坐标系 $\bar{xO}\bar{y}$ 表示的,图 3.12(b)表示杆端力在整体坐标系 $xOy$ 中的方向。

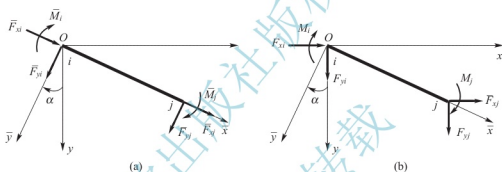


图 3.12 平面问题两种坐标系下杆端力转换关系示意图

为了导出整体坐标系和局部坐标系中杆端力之间的关系,将整体坐标系中的杆端力 $F_{xi}$ 、 $F_{yi}$ 分别投影到局部坐标系中的 $\bar{x}$ 、 $\bar{y}$ 轴上,或者说将整体坐标系中的杆端力 $F_{xi}$ 、 $F_{yi}$ 分解为 $\bar{x}$ 、 $\bar{y}$ 上的分力,即

$$\begin{cases} \bar{F}_{xi} = F_{xi} \cos \alpha + F_{yi} \sin \alpha \\ \bar{F}_{yi} = -F_{xi} \sin \alpha + F_{yi} \cos \alpha \end{cases} \quad (3-39)$$

这里,  $\alpha$  表示由整体坐标系的 $x$ 轴转到局部坐标系 $\bar{x}$ 轴的转角,角度转动的正负由右手定则确定,对于平面杆系结构,本书中以顺时针方向转动为正。在两个坐标系中,力偶分量保持不变,即有

$$\bar{M}_i = M_i \quad (3-40)$$

同理,对于 $j$ 端的杆端力,有

$$\begin{cases} \bar{F}_{xj} = F_{xj} \cos \alpha + F_{yj} \sin \alpha \\ \bar{F}_{yj} = -F_{xj} \sin \alpha + F_{yj} \cos \alpha \\ \bar{M}_j = M_j \end{cases} \quad (3-41)$$

将式(3-39)、式(3-40)、式(3-41)表示为矩阵形式:

$$\begin{bmatrix} \bar{F}_{xi} \\ \bar{F}_{yi} \\ \bar{M}_i \\ \bar{F}_{xj} \\ \bar{F}_{yj} \\ \bar{M}_j \end{bmatrix} = \begin{bmatrix} \cos\alpha & \sin\alpha & 0 & 0 & 0 & 0 \\ -\sin\alpha & \cos\alpha & 0 & 0 & 0 & 0 \\ 0 & 0 & 1 & 0 & 0 & 0 \\ 0 & 0 & 0 & \cos\alpha & \sin\alpha & 0 \\ 0 & 0 & 0 & -\sin\alpha & \cos\alpha & 0 \\ 0 & 0 & 0 & 0 & 0 & 1 \end{bmatrix} \begin{bmatrix} F_{xi} \\ F_{yi} \\ M_i \\ F_{xj} \\ F_{yj} \\ M_j \end{bmatrix} \quad (3-42)$$

将式(3-42)写成如下所示矩阵形式:

$$\bar{\mathbf{F}}^{\oplus} = \mathbf{T}^{\oplus} \mathbf{F}^{\oplus} \quad (3-43)$$

式中,

$$\mathbf{T}^{\oplus} = \begin{bmatrix} \cos\alpha & \sin\alpha & 0 & 0 & 0 & 0 \\ -\sin\alpha & \cos\alpha & 0 & 0 & 0 & 0 \\ 0 & 0 & 1 & 0 & 0 & 0 \\ 0 & 0 & 0 & \cos\alpha & \sin\alpha & 0 \\ 0 & 0 & 0 & -\sin\alpha & \cos\alpha & 0 \\ 0 & 0 & 0 & 0 & 0 & 1 \end{bmatrix} \quad (3-44)$$

为两种坐标系下单元杆端力的坐标变换矩阵。

局部坐标系下的单元杆端力矩阵为:

$$\bar{\mathbf{F}}^{\oplus} = [\bar{F}_{xi} \quad \bar{F}_{yi} \quad \bar{M}_i \quad \bar{F}_{xj} \quad \bar{F}_{yj} \quad \bar{M}_j]^T \quad (3-45)$$

整体坐标系下的单元杆端力矩阵为:

$$\mathbf{F}^{\oplus} = [F_{xi} \quad F_{yi} \quad M_i \quad F_{xj} \quad F_{yj} \quad M_j] \quad (3-46)$$

从坐标转换矩阵 $\mathbf{T}^{\oplus}$ 的表达式(3-44)可以看出,  $\mathbf{T}^{\oplus}$ 为正交矩阵, 其逆矩阵等于其转置矩阵, 即

$$\mathbf{T}^{\oplus-1} = \mathbf{T}^{\oplus T} \quad (3-47)$$

并且

$$\bar{\mathbf{T}}^{\oplus-1} \bar{\mathbf{T}}^{\oplus} = \mathbf{I} \quad (3-48)$$

式中,  $\mathbf{I}$ 为单位矩阵。

同理可以得到两种坐标系下的杆端位移之间的转换关系为:

$$\bar{\boldsymbol{\delta}}^{\oplus} = \mathbf{T}^{\oplus} \boldsymbol{\delta}^{\oplus} \quad (3-49)$$

$\bar{\boldsymbol{\delta}}^{\oplus}$ 和 $\boldsymbol{\delta}^{\oplus}$ 分别为局部坐标系和整体坐标系下的杆端位移矩阵,  $\mathbf{T}^{\oplus}$ 为转换矩阵。将式(3-43)、式(3-49)代入式(3-33)中, 可得:

$$\mathbf{T}^{\oplus} \mathbf{F}^{\oplus} = \bar{\mathbf{k}}^{\oplus} \mathbf{T}^{\oplus} \boldsymbol{\delta}^{\oplus} \quad (3-50)$$

式(3-50)两边同乘以 $\mathbf{T}^{\oplus-1}$ , 并考虑式(3-47)和式(3-48), 可以得到:

$$\mathbf{F}^{\oplus} = \mathbf{T}^{\oplus-1} \bar{\mathbf{k}}^{\oplus} \mathbf{T}^{\oplus} \boldsymbol{\delta}^{\oplus} = \mathbf{T}^{\oplus T} \bar{\mathbf{k}}^{\oplus} \mathbf{T}^{\oplus} \boldsymbol{\delta}^{\oplus}$$

令

$$\mathbf{k}^{\oplus} = \mathbf{T}^{\oplus T} \bar{\mathbf{k}}^{\oplus} \mathbf{T}^{\oplus} \quad (3-51)$$



得:

$$\mathbf{F}^{\oplus} = \mathbf{k}^{\oplus} \boldsymbol{\delta}^{\oplus} \quad (3-52)$$

式(3-52)即为整体坐标系下的单元刚度方程。式(3-51)为两种坐标系下单元刚度矩阵的转换公式,利用该式可求得整体坐标系下的单元刚度矩阵。

对于轴力单元来说,在整体坐标系下的杆端力矩阵和杆端位移矩阵分别为:

$$\mathbf{F}^{\oplus} = [F_{xi} \quad F_{xi} \quad F_{xj} \quad F_{xj}]^T$$

$$\boldsymbol{\delta}^{\oplus} = [u_i \quad v_i \quad u_j \quad v_j]^T$$

由于不需要考虑杆端转角位移  $\theta$  和杆端力偶  $M$ ,故在坐标转换矩阵式(3-44)中应删去第3、6行和第3、6列元素,轴力单元的坐标转换矩阵为:

$$\mathbf{T}^{\oplus} = \begin{bmatrix} \cos\alpha & \sin\alpha & 0 & 0 \\ -\sin\alpha & \cos\alpha & 0 & 0 \\ 0 & 0 & \cos\alpha & \sin\alpha \\ 0 & 0 & -\sin\alpha & \cos\alpha \end{bmatrix} \quad (3-53)$$

对于一般单元来说,若  $\alpha=0$ ,则有  $\mathbf{k}^{\oplus} = \mathbf{k}^{\ominus}$ 。

从前面的分析可以看出,整体坐标系下的单元刚度矩阵  $\mathbf{k}^{\oplus}$  与局部坐标系下的单元刚度矩阵  $\mathbf{k}^{\ominus}$  是同阶矩阵,它们具有类似的性质。

下面是计算平面刚架单元坐标转换矩阵的函数。

```
void coord_trans_beam_2d(float xi, float yi, float xj, float yj, float**Te, int n)
/*
```

功能:计算平面刚架单元的坐标转换矩阵

输入:

xi, yi:单元起点 x, y 坐标

xj, yj:单元终点 x, y 坐标

n:转换矩阵的大小,只能为 6

输出:

Te:二维数组, Te[n][n], 存放转换矩阵的元素

```
-----*/
```

```
{
    int i, j;
    float len;           //单元长度
    float lxbx, lxby;     //局部坐标系的 x 轴与整体坐标系的 x, y 轴的方向余弦
    len = sqrt((xj - xi) * (xj - xi) + (yj - yi) * (yj - yi));
    lxbx = (xj - xi) / len; //cos
    lxby = (yj - yi) / len; //sin
    for(i=0; i<n; i++){
        for(j=0; j<n; j++){
            Te[i][j] = 0.0;
        }
        Te[0][0] = lxbx;      Te[0][1] = lxby;
        Te[1][0] = -lxby;     Te[1][1] = lxbx;
    }
}
```



$$\left. \begin{aligned} \text{Te}[2][2] &= 1.0; \\ \text{Te}[3][3] &= 1 \times b \times; & \text{Te}[3][4] &= 1 \times b \times y; \\ \text{Te}[4][3] &= -1 \times b \times y; & \text{Te}[4][4] &= 1 \times b \times x; \\ \text{Te}[5][5] &= 1.0; \end{aligned} \right\}$$

### 3.3.2 空间问题坐标变换矩阵

对于平面杆件体系来说,局部坐标系下的单元刚度矩阵可以通过坐标转换得到整体坐标系下的单元刚度矩阵,对于空间杆系结构来说,可以通过同样的方法得到整体坐标系下的单元刚度矩阵,下面进行简要介绍。

首先,考察结点  $i$  在局部坐标系  $O\bar{x}\bar{y}\bar{z}$  下的杆端力  $\bar{F}_{xi}$ 、 $\bar{F}_{yi}$ 、 $\bar{F}_{zi}$  与在整体坐标系下的杆端力  $F_{xi}$ 、 $F_{yi}$ 、 $F_{zi}$  的关系。设  $\bar{x}$  轴与  $x$ 、 $y$ 、 $z$  轴的夹角分别为  $\bar{x}x$ 、 $\bar{x}y$ 、 $\bar{x}z$  (图 3.13), 则  $\bar{x}$  轴与  $x$ 、 $y$ 、 $z$  轴的方向余弦分别为:

$$l_{\bar{x}x} = \cos(\bar{x}, x), \quad l_{\bar{x}y} = \cos(\bar{x}, y), \quad l_{\bar{x}z} = \cos(\bar{x}, z) \quad (3-54)$$

将杆端力  $F_{xi}$ 、 $F_{yi}$ 、 $F_{zi}$  向  $\bar{x}$  轴投影, 可以

求得杆端力  $\bar{F}_{xi}$ :

$$\bar{F}_{xi} = F_{xi}l_{\bar{x}x} + F_{yi}l_{\bar{x}y} + F_{zi}l_{\bar{x}z}$$

同理, 可以求得  $\bar{F}_{yi}$  和  $\bar{F}_{zi}$ :

$$\bar{F}_{yi} = F_{xi}l_{\bar{y}x} + F_{yi}l_{\bar{y}y} + F_{zi}l_{\bar{y}z}$$

$$\bar{F}_{zi} = F_{xi}l_{\bar{z}x} + F_{yi}l_{\bar{z}y} + F_{zi}l_{\bar{z}z}$$

用矩阵形式表示为:

$$\begin{bmatrix} \bar{F}_{xi} \\ \bar{F}_{yi} \\ \bar{F}_{zi} \end{bmatrix} = \begin{bmatrix} l_{\bar{x}x} & l_{\bar{x}y} & l_{\bar{x}z} \\ l_{\bar{y}x} & l_{\bar{y}y} & l_{\bar{y}z} \\ l_{\bar{z}x} & l_{\bar{z}y} & l_{\bar{z}z} \end{bmatrix} \begin{bmatrix} F_{xi} \\ F_{yi} \\ F_{zi} \end{bmatrix} \quad (3-55)$$

式(3-55)即为结点  $i$  的杆端力在局部坐标系和整体坐标系下的转换关系。其中的矩阵

$$\lambda = \begin{bmatrix} l_{\bar{x}x} & l_{\bar{x}y} & l_{\bar{x}z} \\ l_{\bar{y}x} & l_{\bar{y}y} & l_{\bar{y}z} \\ l_{\bar{z}x} & l_{\bar{z}y} & l_{\bar{z}z} \end{bmatrix} \quad (3-56)$$

称为关系矩阵。

与上面的推导类似, 同样可以用  $M_{xi}$ 、 $M_{yi}$ 、 $M_{zi}$  表示  $\bar{M}_{xi}$ 、 $\bar{M}_{yi}$ 、 $\bar{M}_{zi}$ , 并且对于结点  $j$  的相对应的转换关系, 其转换关系矩阵同样为  $\lambda$ 。

综上所述, 整体坐标系下单元杆端力矩阵与局部坐标系下单元杆端力矩阵关系为:

$$\bar{F}^{\text{e}} = T^{\text{e}} F^{\text{e}} \quad (3-57)$$

其中的  $T^{\text{e}}$  为:

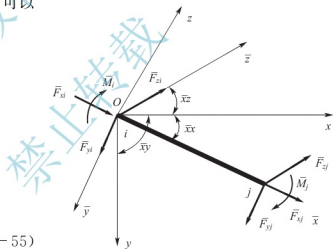


图 3.13 空间问题两种坐标系下杆端力转换关系示意图



$$\mathbf{T}^{\textcircled{\circ}} = \begin{bmatrix} \lambda & 0 & 0 & 0 \\ 0 & \lambda & 0 & 0 \\ 0 & 0 & \lambda & 0 \\ 0 & 0 & 0 & \lambda \end{bmatrix} \quad (3-58)$$

称为空间坐标系的单元转换矩阵,它是  $12 \times 12$  阶矩阵,且为正交矩阵,满足:

$$\mathbf{T}^{\textcircled{\circ}-1} = \mathbf{T}^{\textcircled{\circ}T}$$

对于杆端位移,用同样的方法可以推导出在局部坐标系和整体坐标系中的转换关系为:

$$\bar{\boldsymbol{\delta}}^{\textcircled{\circ}} = \mathbf{T}^{\textcircled{\circ}} \boldsymbol{\delta}^{\textcircled{\circ}} \quad (3-59)$$

将式(3-57)、式(3-59)代入式(3-36)中,可得空间刚架杆件单元在整体坐标系中的单元刚度方程为:

$$\mathbf{F}^{\textcircled{\circ}} = \mathbf{k}^{\textcircled{\circ}} \boldsymbol{\delta}^{\textcircled{\circ}} \quad (3-60)$$

其中,

$$\mathbf{k}^{\textcircled{\circ}} = \mathbf{T}^{\textcircled{\circ}T} \mathbf{k}^{\textcircled{\circ}} \mathbf{T}^{\textcircled{\circ}} \quad (3-61)$$

表示空间单元在整体坐标系中的单元刚度矩阵。可以看出,式(3-60)和式(3-61)与平面结构中对应的表达式完全一致,其不同之处仅在于单元转换矩阵不同。

在平面结构中,杆件的位置可以由单元的两个结点  $i$  和  $j$  确定,但在空间结构体系里,仅仅通过单元的两个结点并不能完全确定杆件在空间的位置,因为主惯性轴相同的  $ij$  杆,其截面形心主轴仍可有不同方向。为确定杆件在空间的确切位置,还需要在杆件轴线外另取一点  $k$ ,以确定其形心主轴方向。

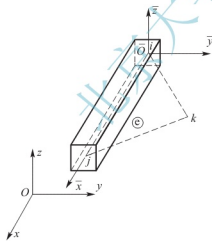


图 3.14 空间坐标转换关系

如图 3.14 所示,杆件整体坐标系为  $xyz$ ,局部坐标系为  $\bar{x}\bar{y}\bar{z}$ ,  $\bar{O}\bar{y}$  为杆件截面形心主轴之一,在杆件外取一点  $k$ ,则单元的位置可由  $i, j, k$  三点的坐标确定。

设  $i, j, k$  三点在整体坐标系中的坐标分别为  $(x_i, y_i, z_i)$ 、 $(x_j, y_j, z_j)$ 、 $(x_k, y_k, z_k)$ ,则式(3-56)中的第一行元素可以确定如下:

$$\left. \begin{aligned} l_{\bar{x}x} &= \frac{x_j - x_i}{l} \\ l_{\bar{x}y} &= \frac{y_j - y_i}{l} \\ l_{\bar{x}z} &= \frac{z_j - z_i}{l} \end{aligned} \right\} \quad (3-62)$$

其中,  $l$  为杆长,可按式(3-62)求得:

$$l = \sqrt{(x_j - x_i)^2 + (y_j - y_i)^2 + (z_j - z_i)^2} \quad (3-63)$$

则局部坐标系中  $\bar{O}\bar{x}$  轴方向的矢量  $\mathbf{x}$  可以表示为:

$$\mathbf{x} = l_{\bar{x}x} \mathbf{i} + l_{\bar{x}y} \mathbf{j} + l_{\bar{x}z} \mathbf{k} \quad (3-64)$$

其中,  $\mathbf{i}, \mathbf{j}, \mathbf{k}$  为三个坐标轴方向的单位矢量。

在整体坐标系中, 矢量 $\vec{ik}$ 和 $\vec{jk}$ 可表示为:

$$\vec{ik} = (x_k - x_i, y_k - y_i, z_k - z_i), \quad \vec{jk} = (x_k - x_j, y_k - y_j, z_k - z_j)$$

平面 $ijk$ 与 $\bar{O}z$ 轴的矢量 $z$ 垂直, 根据矢量运算规则, 有

$$XT = \vec{ik} \times \vec{jk} = \begin{vmatrix} i & j & k \\ x_k - x_i & y_k - y_i & z_k - z_i \\ x_k - x_j & y_k - y_j & z_k - z_j \end{vmatrix} \quad (3-65)$$

令

$$YZ = \begin{vmatrix} y_k - y_i & z_k - z_i \\ y_k - y_j & z_k - z_j \end{vmatrix}, \quad ZX = - \begin{vmatrix} x_k - x_i & z_k - z_i \\ x_k - x_j & z_k - z_j \end{vmatrix}, \quad XY = \begin{vmatrix} x_k - x_i & y_k - y_i \\ x_k - x_j & y_k - y_j \end{vmatrix}$$

则有

$$z = YZi + ZXj + XYk \quad (3-66)$$

$\bar{O}z$ 轴的方向余弦为:

$$\left. \begin{aligned} l_{\bar{z}x} &= YZ/l_2 \\ l_{\bar{z}y} &= ZX/l_2 \\ l_{\bar{z}z} &= XY/l_2 \end{aligned} \right\} \quad (3-67)$$

其中,

$$l_2 = \sqrt{(YZ)^2 + (ZX)^2 + (XY)^2} \quad (3-68)$$

由 $\bar{O}y$ 轴的方向余弦之和等于1, 则

$$l_{\bar{y}x}^2 + l_{\bar{y}y}^2 + l_{\bar{y}z}^2 = 1 \quad (3-69)$$

由三坐标轴相互垂直, 可得:

$$\mathbf{y} \cdot \mathbf{x} = 0 \quad (3-70)$$

$$\mathbf{y} \cdot \mathbf{z} = \mathbf{y} \cdot (\mathbf{x} \times \vec{ik}) = 0 \quad (3-71)$$

联立式(3-69)、式(3-70)、式(3-71)得:

$$\left. \begin{aligned} l_{\bar{y}x} &= S_1/l_3 \\ l_{\bar{y}y} &= S_2/l_3 \\ l_{\bar{y}z} &= S_3/l_3 \end{aligned} \right\} \quad (3-72)$$

式中,

$$\begin{aligned} S_1 &= (1 - l_{\bar{x}x}^2)(x_k - x_i) - l_{\bar{x}x}l_{\bar{x}y}(y_k - y_i) - l_{\bar{x}x}l_{\bar{x}z}(z_k - z_i) \\ S_2 &= -l_{\bar{x}x}l_{\bar{x}y}(x_k - x_i) + (1 - l_{\bar{x}y}^2)(y_k - y_i) - l_{\bar{x}y}l_{\bar{x}z}(z_k - z_i) \\ S_3 &= -l_{\bar{x}x}l_{\bar{x}z}(x_k - x_i) - l_{\bar{x}y}l_{\bar{x}z}(y_k - y_i) + (1 - l_{\bar{x}z}^2)(z_k - z_i) \end{aligned}$$

$$l_3 = \sqrt{S_1^2 + S_2^2 + S_3^2}$$

由式(3-62)、式(3-67)、式(3-72)便可确定空间坐标转换矩阵(3-58)。

下面是计算空间刚架单元坐标转换矩阵的函数。



```
void coord_trans_bean_2d(float xi, float yi, float zi, float xj, float yj, float zj,
float xk, float yk, float zk, float**Te, int n)
```

```
/*
```

功能: 计算空间刚架单元的坐标转换矩阵

输入:

xi, yi, zi: 单元起点 x, y, z 坐标

xj, yj, zj: 单元终点 x, y, z 坐标

xk, yk, zk: 单元参考点 x, y, z 坐标

n: 转换矩阵的大小, 只能为 12, 可以省略

输出:

Te: 二维数组, Te[n][n], 存放转换矩阵的元素

```
-----*/
```

```
{
    int i, j;
    float len; // 单元长度
    float lxbx, lxy, lxbz; // 局部坐标系的 x 轴与整体坐标系的 x、y、z 轴的方向余弦
    float lybx, lyby, lybz; // 局部坐标系的 y 轴与整体坐标系的 x、y、z 轴的方向余弦
    float lzbx, lzy, lzbz; // 局部坐标系的 z 轴与整体坐标系的 x、y、z 轴的方向余弦
    len = sqrt((xj - xi) * (xj - xi) + (yj - yi) * (yj - yi) + (zj - zi) * (zj - zi));
    lxbx = (xj - xi) / len;
    lxy = (yj - yi) / len;
    lxbz = (zj - zi) / len;

    float YZ, ZX, XY;
    YZ = (yk - yi) * (zk - zj) - (zk - zi) * (yk - yj);
    ZX = (xk - xi) * (zk - zj) + (zk - zi) * (xk - xj);
    XY = (xk - xi) * (yk - yj) - (yk - yi) * (xk - xj);
    len = sqrt(YZ * YZ + ZX * ZX + XY * XY);
    lzbx = YZ / len;
    lzy = ZX / len;
    lzbz = XY / len;

    float s1, s2, s3;
    s1 = (1 - lxbx * lxbx) * (xk - xi) - lxbx * lxy * (yk - yi) - lxbx * lxbz * (zk - zi);
    s2 = -lxy * lxbx * (xk - xi) + (1 - lxy * lxy) * (yk - yi) - lxy * lxbz * (zk - zi);
    s3 = -lxbz * lxbx * (xk - xi) - lxbz * lxy * (yk - yi) + (1 - lxbz * lxbz) * (zk - zi);
    len = sqrt(s1 * s1 + s2 * s2 + s3 * s3);
    lybx = s1 / len;
    lyby = s2 / len;
    lybz = s3 / len;

    for (i = 0; i < n; i++) {
```

```

for (j=0;j<n;j++) Te[i][j]=0.0;
}

for (i=0;i<12;i+=3){
    Te[i][i]=1xbx;      Te[i+1][i+1]=1xby;      Te[i][i+2]=1xbz;
    Te[i+1][i]=1ybx;    Te[i+1][i+1]=1yby;    Te[i+1][i+2]=1ybz;
    Te[i+2][i]=1zbx;    Te[i+2][i+1]=1zbby;    Te[i+2][i+2]=1zbz;
}
}

```

### 3.3.3 杆系结构的整体分析

对杆系结构进行单元分析，仅仅是有限元分析中的第一步，目的是要对整个结构进行分析，研究结构的整体性能。因此，在对结构的各单元分析完成后，必须将单元分析的结果进行整合，即对结构进行整体分析。整体分析的过程实际上是将单元分析的结果进行有效组合，建立整体刚度方程并求解结点位移的过程。根据对结点位移的编码方式，可分为“后处理法”和“先处理法”来建立整体刚度方程。

#### 1. 后处理法

所谓后处理法，就是由单元刚度矩阵形成整体刚度矩阵，建立刚度方程后再引入支承条件，进而求解结点位移的方法。运用这种方法时，首先假设所有结点位移均为未知量，按照顺序统一进行编码，如图 3.15 所示的平面杆件单元。

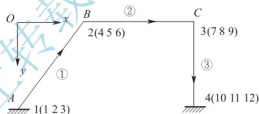


图 3.15 后处理法位移编码示意图

结点位移矩阵为：

$$\delta = [\delta_1 \quad \delta_2 \quad \delta_3 \quad \delta_4]^T$$

$$= [u_1 \quad v_1 \quad \theta_1 \quad u_2 \quad v_2 \quad \theta_2 \quad u_3 \quad v_3 \quad \theta_3 \quad u_4 \quad v_4 \quad \theta_4]^T$$

结点荷载矩阵为：

$$F = [F_1 \quad F_2 \quad F_3 \quad F_4]^T$$

$$= [F_{1x} \quad F_{1y} \quad M_1 \quad F_{2x} \quad F_{2y} \quad M_2 \quad F_{3x} \quad F_{3y} \quad M_3 \quad F_{4x} \quad F_{4y} \quad M_4]^T$$

求出各单元刚度方程后，根据平衡条件和位移连续条件，可以建立整个结构的位移法方程：

$$\begin{bmatrix} F_1 \\ F_2 \\ F_3 \\ F_4 \end{bmatrix} = \begin{bmatrix} k_{11}^{(1)} & k_{12}^{(1)} & 0 & 0 \\ k_{21}^{(1)} & k_{22}^{(1)} + k_{22}^{(2)} & k_{23}^{(2)} & 0 \\ 0 & k_{31}^{(1)} & k_{32}^{(1)} + k_{32}^{(2)} & k_{33}^{(3)} \\ 0 & 0 & k_{41}^{(2)} & k_{42}^{(2)} \end{bmatrix} \begin{bmatrix} \delta_1 \\ \delta_2 \\ \delta_3 \\ \delta_4 \end{bmatrix}$$

将上式写成矩阵形式为：

$$F = K\delta$$

(3-73)

其中， $K$  为结构的整体刚度矩阵，有



$$\mathbf{K} = \begin{bmatrix} K_{11} & K_{12} & K_{13} & K_{14} \\ K_{21} & K_{22} & K_{23} & K_{24} \\ K_{31} & K_{32} & K_{33} & K_{34} \\ K_{41} & K_{42} & K_{43} & K_{44} \end{bmatrix} \quad (3-74)$$

但应该注意到,在建立方程(3-73)的过程中,假设所有结点位移未知,因此整个结构在外力作用下,除了发生弹性变形外,还可能发生刚体位移,这样各结点位移不能唯一确定,即式(3-74)为奇异矩阵,不能求逆矩阵,或者说对式(3-73)求解可得到无穷多个解。实际上,在图 3.15 所示刚架中,结点 1 和结点 4 均为固定端,其 6 个位移分量均为 0,即有

$$u_1 = v_1 = \theta_1 = u_4 = v_4 = \theta_4 = 0$$

这样,将上述支承条件引入方程(3-73)中,即令式(3-73)中的  $\delta_1$  和  $\delta_4$  等于 0,可得到修改后的整体刚度方程:

$$\begin{bmatrix} F_1 \\ F_2 \\ \vdots \\ F_3 \\ F_4 \end{bmatrix} = \begin{bmatrix} K_{11} & K_{12} & K_{13} & K_{14} \\ K_{21} & K_{22} & K_{23} & K_{24} \\ \vdots & \vdots & \vdots & \vdots \\ K_{31} & K_{32} & K_{33} & K_{34} \\ K_{41} & K_{42} & K_{43} & K_{44} \end{bmatrix} \begin{bmatrix} 0 \\ \delta_2 \\ \vdots \\ \delta_3 \\ 0 \end{bmatrix}$$

对上述方程进行化简,可以得到两组方程:

$$\begin{bmatrix} F_2 \\ F_3 \end{bmatrix} = \begin{bmatrix} K_{22} & K_{23} \\ K_{32} & K_{33} \end{bmatrix} \begin{bmatrix} \delta_2 \\ \delta_3 \end{bmatrix} \quad (3-75)$$

和

$$\begin{bmatrix} F_1 \\ F_4 \end{bmatrix} = \begin{bmatrix} K_{12} & 0 \\ 0 & K_{43} \end{bmatrix} \begin{bmatrix} \delta_2 \\ \delta_3 \end{bmatrix} \quad (3-76)$$

这样,利用式(3-75)可以求得结点位移  $\delta_2$  和  $\delta_3$ ,再根据式(3-76)可以求得支座反力  $F_1$  和  $F_4$ 。

上述步骤是就特定的结构进行讨论的,实际上对于一般杆件结构来说,均可以按上述步骤进行分析,不管结构具有多少个结点位移分量,通过调整其顺序,总可以将其分为两组,一组包含所有未知结点位移分量  $\delta_f$ ,另一组包含所有已知结点位移分量  $\delta_r$ ,对应的结点力分量也可以分别表示为  $F_f$  和  $F_r$ ,即

$$\delta = \begin{bmatrix} \delta_f \\ \delta_r \end{bmatrix}, \quad F = \begin{bmatrix} F_f \\ F_r \end{bmatrix}$$

与此相对应,整体刚度矩阵  $K$  也可以重新排列,分为 4 个子块。这样整体刚度方程可以重新写为:

$$\begin{bmatrix} F_f \\ F_r \end{bmatrix} = \begin{bmatrix} K_{ff} & K_{fr} \\ K_{rf} & K_{rr} \end{bmatrix} \begin{bmatrix} \delta_f \\ \delta_r \end{bmatrix}$$

展开以后写成:

$$F_f = K_{ff} \delta_f + K_{fr} \delta_r \quad (3-77)$$

$$F_r = K_{rf} \delta_f + K_{rr} \delta_r \quad (3-78)$$

已知  $F_f$  和  $\delta_r$  时,可以根据式(3-77)计算  $\delta_f$ ,然后根据式(3-78)计算支座反力  $F_r$ 。

## 2. 先处理法

所谓先处理法,就是先引入支承条件,即仅对未知结点位移进行编码,得到的位移矩阵中不包含已知的约束位移分量,可以直接得到方程(3-77)来求解自由结点位移分量。

如图 3.16 所示的平面刚架结构,由于在 A 和 F 处为固定支座,其位移为 0,故位移编码为 0; E 处为固定铰支座,线位移为 0,角位移不为 0,故其角位移编码不为 0,线位移编码为 0;在 C 处,BC 杆与 EC 杆在 C 点刚接,然后与 DC 杆铰接,故 BC 杆和 EC 杆在 C 端有相同的角位移和线位移,但 DC 杆在 C 端的角位移与 BC(EC)杆在 C 端的角位移不相同,因此在 C 处编两个结点 3 和 4,但结点 3 和 4 的线位移相同,故采用相同的编号,各结点位移编码如图 3.16 所示。

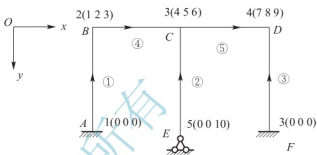


图 3.16 先处理法位移编码示意图

综上所述,利用先处理法对单元结点位移编码时,仅对独立的位移分量按自然数顺序编号,若某些位移分量由于连接条件的限制彼此相等,则编为同一位移号。在支座处,由于刚性约束而使位移分量为零时,则对应的编号为 0。

## 3. 杆系结构整体刚度矩阵

下面以先处理法为例,介绍如何将离散的单元重新集装成整体结构,使其满足力的平衡条件和位移的连续条件,得到结构的整体刚度方程。

由单元刚度矩阵集成整体刚度矩阵通常采用刚度集成法。其计算过程可以分为两步:首先求出各单元的贡献矩阵(将单元刚度矩阵扩阶为与整体刚度矩阵同阶的矩阵),然后将它们叠加起来形成整体刚度矩阵。但这样处理在实际中很少采用,因为在编程过程中需先将各单元的刚度矩阵扩阶成单元贡献矩阵储存起来,而各单元贡献矩阵的阶数与整体刚度矩阵的阶数相同,因此占用的计算机内存空间非常大,不利于节约资源,并且在实际中有可能耗尽所有资源。故在实际中并不是采用贡献矩阵法,而是利用各单元的定位数组,采用“边定位,边累加”的方法。

所谓单元的定位数组,就是将单元<sup>①</sup>的始端及末端的位移编码排成一行(始端在前,末端在后),写成如下的形式:

$$\bar{m}^{\text{①}} = (m_1 \quad m_2 \quad m_3 \quad \cdots \quad m_n)$$

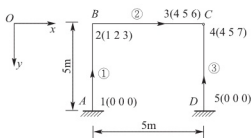


图 3.17 先处理法

如图 3.17 所示,各单元的定位数组分别为:

$$m^{\text{①}} = (0 \quad 0 \quad 0 \quad 1 \quad 2 \quad 3)$$

$$m^{\text{②}} = (1 \quad 2 \quad 3 \quad 4 \quad 5 \quad 6)$$

$$m^{\text{③}} = (0 \quad 0 \quad 0 \quad 4 \quad 5 \quad 7)$$

这样处理得到的整体刚度矩阵与叠加所有贡献矩阵得到的结果完全一致,且可以节约大量的存储空间。

结构有 3 个单元,5 个结点,7 个独立的位移



分量, 这样其整体刚度矩阵应为  $7 \times 7$  阶矩阵, 即

$$\mathbf{K} = \begin{bmatrix} K_{11} & K_{12} & K_{13} & K_{14} & K_{15} & K_{16} & K_{17} \\ K_{21} & K_{22} & K_{23} & K_{24} & K_{25} & K_{26} & K_{27} \\ K_{31} & K_{32} & K_{33} & K_{34} & K_{35} & K_{36} & K_{37} \\ K_{41} & K_{42} & K_{43} & K_{44} & K_{45} & K_{46} & K_{47} \\ K_{51} & K_{52} & K_{53} & K_{54} & K_{55} & K_{56} & K_{57} \\ K_{61} & K_{62} & K_{63} & K_{64} & K_{65} & K_{66} & K_{67} \\ K_{71} & K_{72} & K_{73} & K_{74} & K_{75} & K_{76} & K_{77} \end{bmatrix}$$

对于单元①来说, 其单元定位数组为  $m^{\text{①}} = (0 \ 0 \ 0 \ 1 \ 2 \ 3)$ , 将定位数组标记在单元刚度矩阵的上面和右侧, 其与单元刚度矩阵一起写成如下形式:

$$\mathbf{K}^{\text{①}} = \begin{array}{cccccc} 0 & 0 & 0 & 1 & 2 & 3 \\ \left[ \begin{array}{cccccc} k_{11} & k_{12} & k_{13} & k_{14} & k_{15} & k_{16} \\ k_{21} & k_{22} & k_{23} & k_{24} & k_{25} & k_{26} \\ k_{31} & k_{32} & k_{33} & k_{34} & k_{35} & k_{36} \\ k_{41} & k_{42} & k_{43} & k_{44} & k_{45} & k_{46} \\ k_{51} & k_{52} & k_{53} & k_{54} & k_{55} & k_{56} \\ k_{61} & k_{62} & k_{63} & k_{64} & k_{65} & k_{66} \end{array} \right] & \begin{array}{l} \text{①} \\ 0 \\ 0 \\ 0 \\ 1 \\ 2 \\ 3 \end{array} \end{array}$$

按先处理法, 单元刚度矩阵中对应位移分量编号为 0 的元素不进入整体刚度矩阵, 非 0 位移编码指明了其余各元素在整体刚度矩阵中的行、列号。例如,  $k_{51}^{\text{①}}$  对应于第 5 行位移编码为 2, 第 4 列的位移编码为 1, 则它在整体刚度矩阵中应放在  $K_{21}$  的位置。以此类推,  $\mathbf{K}^{\text{①}}$  中各元素在整体刚度矩阵  $\mathbf{K}$  中的位置为:

$$\begin{array}{lll} k_{11}^{\text{①}} \rightarrow K_{11} & k_{15}^{\text{①}} \rightarrow K_{12} & k_{16}^{\text{①}} \rightarrow K_{13} \\ k_{24}^{\text{①}} \rightarrow K_{21} & k_{35}^{\text{①}} \rightarrow K_{22} & k_{36}^{\text{①}} \rightarrow K_{23} \\ k_{41}^{\text{①}} \rightarrow K_{31} & k_{65}^{\text{①}} \rightarrow K_{32} & k_{66}^{\text{①}} \rightarrow K_{33} \end{array}$$

单元②的刚度矩阵和它的定位数组为:

$$\mathbf{K}^{\text{②}} = \begin{array}{cccccc} 1 & 2 & 3 & 4 & 5 & 6 \\ \left[ \begin{array}{cccccc} k_{11} & k_{12} & k_{13} & k_{14} & k_{15} & k_{16} \\ k_{21} & k_{22} & k_{23} & k_{24} & k_{25} & k_{26} \\ k_{31} & k_{32} & k_{33} & k_{34} & k_{35} & k_{36} \\ k_{41} & k_{42} & k_{43} & k_{44} & k_{45} & k_{46} \\ k_{51} & k_{52} & k_{53} & k_{54} & k_{55} & k_{56} \\ k_{61} & k_{62} & k_{63} & k_{64} & k_{65} & k_{66} \end{array} \right] & \begin{array}{l} \text{②} \\ 1 \\ 2 \\ 3 \\ 4 \\ 5 \\ 6 \end{array} \end{array}$$

$\mathbf{K}^{\text{②}}$  中各元素在整体刚度矩阵  $\mathbf{K}$  中的位置为:

$$k_{ij}^{\text{②}} \rightarrow K_{ij} \quad (i=1, 2, \dots, 6; j=1, 2, \dots, 6)$$

单元③的刚度矩阵和它的定位数组为:



$$k^{(3)} = \begin{array}{c} \begin{array}{cccccc} 0 & 0 & 0 & \vdots & 4 & 5 & 7 \end{array} \\ \left[ \begin{array}{cccccc} k_{11} & k_{12} & k_{13} & k_{14} & k_{15} & k_{16} \\ k_{21} & k_{22} & k_{23} & k_{24} & k_{25} & k_{26} \\ k_{31} & k_{32} & k_{33} & k_{34} & k_{35} & k_{36} \\ k_{41} & k_{42} & k_{43} & k_{44} & k_{45} & k_{46} \\ k_{51} & k_{52} & k_{53} & k_{54} & k_{55} & k_{56} \\ k_{61} & k_{62} & k_{63} & k_{64} & k_{65} & k_{66} \end{array} \right] \begin{array}{l} 0 \\ 0 \\ 0 \\ 4 \\ 5 \\ 7 \end{array} \end{array}$$

$k^{(3)}$ 中各元素在整体刚度矩阵  $K$  中的位置为:

$$\begin{array}{lll} k_{11}^{(3)} \rightarrow K_{44} & k_{15}^{(3)} \rightarrow K_{45} & k_{16}^{(3)} \rightarrow K_{47} \\ k_{21}^{(3)} \rightarrow K_{54} & k_{25}^{(3)} \rightarrow K_{55} & k_{26}^{(3)} \rightarrow K_{57} \\ k_{61}^{(3)} \rightarrow K_{74} & k_{65}^{(3)} \rightarrow K_{75} & k_{66}^{(3)} \rightarrow K_{77} \end{array}$$

这样,按照以上所讲的定位方法,将  $k^{(1)}$ 、 $k^{(2)}$ 、 $k^{(3)}$  中的相关元素累加到整体刚度矩阵对应的元素上,可以得到整体刚度矩阵:

$$K = \begin{bmatrix} k_{11}^{(1)} + k_{11}^{(2)} & k_{15}^{(1)} + k_{15}^{(2)} & k_{16}^{(1)} + k_{16}^{(2)} & k_{14}^{(1)} & k_{15}^{(1)} & k_{16}^{(1)} & 0 \\ k_{21}^{(1)} + k_{21}^{(2)} & k_{25}^{(1)} + k_{25}^{(2)} & k_{26}^{(1)} + k_{26}^{(2)} & k_{24}^{(1)} & k_{25}^{(1)} & k_{26}^{(1)} & 0 \\ k_{31}^{(1)} + k_{31}^{(2)} & k_{35}^{(1)} + k_{35}^{(2)} & k_{36}^{(1)} + k_{36}^{(2)} & k_{34}^{(1)} & k_{35}^{(1)} & k_{36}^{(1)} & 0 \\ k_{41}^{(2)} & k_{42}^{(2)} & k_{43}^{(2)} & k_{44}^{(2)} + k_{44}^{(3)} & k_{45}^{(2)} + k_{45}^{(3)} & k_{46}^{(2)} & k_{46}^{(3)} \\ k_{51}^{(2)} & k_{52}^{(2)} & k_{53}^{(2)} & k_{54}^{(2)} + k_{54}^{(3)} & k_{55}^{(2)} + k_{55}^{(3)} & k_{56}^{(2)} & k_{56}^{(3)} \\ k_{61}^{(2)} & k_{62}^{(2)} & k_{63}^{(2)} & k_{64}^{(2)} & k_{65}^{(2)} & k_{66}^{(2)} & 0 \\ 0 & 0 & 0 & k_{74}^{(3)} & k_{75}^{(3)} & 0 & k_{76}^{(3)} \end{bmatrix}$$

在实际编程过程中,集成整体刚度矩阵的过程为“边定位,边累加”,其过程可以概括如下。

(1) 根据最大位移编号数,建立整体刚度矩阵  $K$  并存储空间、初始化 0,若位移个数为  $n$ ,则整体刚度矩阵为  $n \times n$  阶矩阵。

(2) 对单元循环,根据其定位数组,将其元素累加到整体刚度矩阵  $K$  中对应的元素上,直到处理完所有的单元为止。

**例 3-1** 如图 3.18 所示刚架结构 ABCD,各杆件截面尺寸相同,  $A=0.5\text{m}^2$ ,材料性质一样,杆件尺寸如图所示,弹性模量  $E=3 \times 10^3\text{MPa}$ ,截面惯性矩  $I=\frac{1}{24}\text{m}^4$ ,试求刚架的整体刚度矩阵  $K$ 。

**解:** (1) 单元划分、建立局部坐标系和整体坐标系(图 3.18),对单元和结点编号。

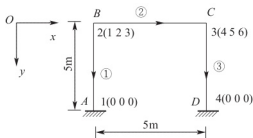


图 3.18 例 3-1 刚架结构

$$\frac{EA}{l} = 0.3 \times 10^3, \quad \frac{4EI}{l} = 0.1 \times 10^3, \quad \frac{6EI}{l^2} = 0.03 \times 10^3, \quad \frac{12EI}{l^3} = 0.012 \times 10^3$$



(2) 计算局部坐标系中的单元刚度矩阵 $\bar{k}^{\text{e}}$ 。由于单元①、②、③的几何尺寸完全一样, 因此其单元刚度矩阵 $\bar{k}^{\text{e}} = \bar{k}^{\text{e}} = \bar{k}^{\text{e}}$ , 根据式(3-34)可以得到刚度矩阵:

$$\bar{k}^{\text{e}} = \bar{k}^{\text{e}} = \bar{k}^{\text{e}} = \begin{bmatrix} 0.3 & 0 & 0 & -0.3 & 0 & 0 \\ 0 & 0.012 & 0.03 & 0 & -0.012 & 0.03 \\ 0 & 0.03 & 0.1 & 0 & -0.03 & 0.05 \\ -0.3 & 0 & 0 & 0.3 & 0 & 0 \\ 0 & -0.012 & -0.03 & 0 & 0.012 & -0.03 \\ 0 & 0.03 & 0.05 & 0 & -0.03 & 0.1 \end{bmatrix} \times 10^3$$

(3) 计算整体坐标系中的单元刚度矩阵。对于单元①, 其局部坐标系与整体坐标系的夹角为 $90^\circ$ , 故根据式(3-44), 计算其坐标转换矩阵为:

$$T^{\text{e}} = \begin{bmatrix} 0 & 1 & 0 & 0 & 0 & 0 \\ -1 & 0 & 0 & 0 & 0 & 0 \\ 0 & 0 & 1 & 0 & 0 & 0 \\ 0 & 0 & 0 & 0 & 1 & 0 \\ 0 & 0 & 0 & -1 & 0 & 0 \\ 0 & 0 & 0 & 0 & 0 & 1 \end{bmatrix}$$

单元①的定位数组为:

$$m^{\text{e}} = (0 \quad 0 \quad 0 \quad 1 \quad 2 \quad 3)$$

根据式(3-51)计算单元①在整体坐标系下的单元刚度矩阵为:

$$k^{\text{e}} = T^{\text{eT}} \bar{k}^{\text{e}} T^{\text{e}} = \begin{bmatrix} 0 & 0 & 0 & 1 & 2 & 3 \\ 0 & 0.012 & 0 & -0.012 & 0 & -0.03 \\ 0 & 0 & 0.3 & 0 & -0.3 & 0 \\ 0 & -0.03 & 0 & 0.03 & 0 & 0.05 \\ 1 & -0.012 & 0 & 0.03 & 0 & 0.03 \\ 2 & 0 & -0.3 & 0 & 0 & 0 \\ 3 & -0.03 & 0 & 0.05 & 0 & 0.1 \end{bmatrix} \times 10^3$$

对于单元②, 由于其局部坐标系与整体坐标系一致, 因此两种坐标系下的单元刚度矩阵相同, 即有

$$k^{\text{e}} = \begin{matrix} & \begin{matrix} 1 & 2 & 3 \end{matrix} & \vdots & \begin{matrix} 4 & 5 & 6 \end{matrix} \\ \begin{matrix} 1 \\ 2 \\ 3 \end{matrix} & \begin{bmatrix} 0.3 & 0 & 0 \\ 0 & 0.012 & 0.03 \\ 0 & 0.03 & 0.1 \end{bmatrix} & & \begin{bmatrix} -0.3 & 0 & 0 \\ 0 & -0.012 & 0.03 \\ 0 & -0.03 & 0.05 \end{bmatrix} \\ \vdots & & & \\ \begin{matrix} 4 \\ 5 \\ 6 \end{matrix} & \begin{bmatrix} -0.3 & 0 & 0 \\ 0 & -0.012 & -0.03 \\ 0 & 0.03 & 0.05 \end{bmatrix} & & \begin{bmatrix} 0.3 & 0 & 0 \\ 0 & 0.012 & -0.03 \\ 0 & -0.03 & 0.1 \end{bmatrix} \end{matrix} \times 10^3$$

对于单元③, 其局部坐标系与整体坐标系的夹角为 $90^\circ$ , 同理可得其整体坐标系下的单元刚度矩阵为:

$$k^{\text{③}} = \begin{matrix} & \begin{matrix} 4 & 5 & 6 & \vdots & 0 & 0 & 0 \end{matrix} \\ \begin{matrix} 4 \\ 5 \\ 6 \\ 0 \\ 0 \\ 0 \end{matrix} & \begin{bmatrix} 0.012 & 0 & -0.03 & -0.012 & 0 & -0.03 \\ 0 & 0.3 & 0 & 0 & -0.3 & 0 \\ -0.03 & 0 & -0.1 & 0.03 & 0 & 0.05 \\ \hline -0.012 & 0 & 0.03 & 0.012 & 0 & 0.03 \\ 0 & -0.3 & 0 & 0 & 0.3 & 0 \\ -0.03 & 0 & 0.05 & 0.05 & 0 & 0.1 \end{bmatrix} \end{matrix} \times 10^3$$

(4) 根据先处理法形成如下所示整体刚度矩阵  $K$ 。

$$K = \begin{bmatrix} 0.312 & 0 & 0.03 & -0.3 & 0 & 0 \\ 0 & 0.312 & 0.03 & 0 & -0.012 & 0.03 \\ 0.03 & 0.03 & 0.2 & 0 & -0.03 & 0.05 \\ -0.3 & 0 & 0 & 0.312 & 0 & 0 \\ 0 & -0.012 & -0.03 & 0 & 0.312 & -0.03 \\ 0 & 0.03 & 0.05 & -0.03 & -0.03 & 0.2 \end{bmatrix} \times 10^3$$

以上就是平面结构整体刚度矩阵的计算过程，对于空间结构来说，其处理过程完全一致，不同的是单元刚度矩阵为  $12 \times 12$  的方阵，对应的定位数组有 12 个元素。

### 3.4 等效结点荷载和边界条件

作用在结构上的荷载按其作用位置不同，可分为结点荷载和非结点荷载两种。由于用有限元法分析结构时，整体平衡方程本质上是各结点的平衡方程，因此必须把非结点荷载按静力等效的原则等效到结点上，形成等效结点荷载。

#### 3.4.1 非结点荷载的处理

根据有限元方法的离散思想，需将作用于单元上的外荷载(包括集中荷载、面分布荷载、体分布荷载、力偶等)按照虚功等效的原则等效到结点上，成为等效结点荷载  $F_E$ 。这里的虚功等效，是指原力系与等效结点荷载在任何可能的微小位移(虚位移)上所做的虚功相等。

实际上，在前面的分析中已经介绍了求等效结点荷载的方法，如式(3-8)、式(3-17)、式(3-26)分别可用以求不同情况下的等效结点荷载。通常，可以做如下考虑。

第一步，在局部坐标系下求单元 $\textcircled{e}$ 的固端力  $F^{\text{②}}$ 。对于某个单元 $\textcircled{e}$ ，假定单元的两端均固定，然后根据静力平衡求得固定端的反力，表 3-1 列出了几种非结点荷载作用下单元的固端力计算公式。



表 3-1 平面刚架单元固端力

荷载类型	荷载简图	单元固端力		
			始端 $i$	终端 $j$
1		$\bar{F}_x^{\text{固}}$	0	0
		$\bar{F}_y^{\text{固}}$	$-\frac{1}{2}qa\left(2-2\frac{a^2}{l^2}+\frac{a^3}{l^3}\right)$	$-\frac{1}{2}\frac{qa^3}{l^3}\left(2-\frac{a}{l}\right)$
		$\bar{M}^{\text{固}}$	$-\frac{qa^2}{12}\left(6-8\frac{a}{l}+3\frac{a^2}{l^2}\right)$	$\frac{qa^3}{12l}\left(4-3\frac{a}{l}\right)$
2		$\bar{F}_x^{\text{固}}$	0	0
		$\bar{F}_y^{\text{固}}$	$-F\frac{b^2}{l^2}\left(1+2\frac{a}{l}\right)$	$-F\frac{a^2}{l^2}\left(1+2\frac{b}{l}\right)$
		$\bar{M}^{\text{固}}$	$-F\frac{ab^2}{l^2}$	$F\frac{a^2b}{l^2}$
3		$\bar{F}_x^{\text{固}}$	0	0
		$\bar{F}_y^{\text{固}}$	$M\frac{6ab}{l^2}$	$-M\frac{6ab}{l^2}$
		$\bar{M}^{\text{固}}$	$M\frac{b}{l}\left(2-3\frac{b}{l}\right)$	$M\frac{a}{l}\left(2-3\frac{a}{l}\right)$
4		$\bar{F}_x^{\text{固}}$	0	0
		$\bar{F}_y^{\text{固}}$	$-\frac{qa}{4}\left(2-3\frac{a^2}{l^2}+1.6\frac{a^3}{l^3}\right)$	$-\frac{qa^3}{4l^2}\left(3-1.6\frac{a}{l}\right)$
		$\bar{M}^{\text{固}}$	$-\frac{qa^2}{6}\left(2-3\frac{a}{l}+1.2\frac{a^2}{l^2}\right)$	$\frac{qa^3}{4l}\left(1-0.8\frac{a}{l}\right)$
5		$\bar{F}_x^{\text{固}}$	$-F\frac{b}{l}$	$-F\frac{a}{l}$
		$\bar{F}_y^{\text{固}}$	0	0
		$\bar{M}^{\text{固}}$	0	0
6		$\bar{F}_x^{\text{固}}$	$-\rho a\left(1-\frac{a}{2l}\right)$	$-\rho\frac{a^2}{2l}$
		$\bar{F}_y^{\text{固}}$	0	0
		$\bar{M}^{\text{固}}$	0	0
7		$\bar{F}_x^{\text{固}}$	0	0
		$\bar{F}_y^{\text{固}}$	$m\frac{a^2}{l^2}\left(\frac{a}{l}+3\frac{b}{l}\right)$	$-m\frac{a^2}{l^2}\left(\frac{a}{l}+3\frac{b}{l}\right)$
		$\bar{M}^{\text{固}}$	$-m\frac{ab^2}{l^2}$	$m\frac{a^2b}{l^2}$

第二步, 根据单元固端力求单元②的等效结点荷载 $\mathbf{F}_E^{\textcircled{2}}$ 。根据局部坐标系与整体坐标系单元杆端力的变换式, 固端内力在两种坐标系下的变换形式可以写成:

$$\mathbf{F}_F^{\textcircled{2}} = \mathbf{T}^{\textcircled{1}} \mathbf{F}_F^{\textcircled{2}} \quad (3-79)$$

因此, 整体坐标系下的等效结点荷载矩阵 $\mathbf{F}_E^{\textcircled{2}}$ 可以由式(3-80)计算:

$$\mathbf{F}_E^{\textcircled{2}} = -\mathbf{F}_F^{\textcircled{2}} \quad (3-80)$$

以下函数用来计算二维杆单元的等效结点荷载。

```
void loading_beam2d (float L, int eLType, float Q1, float Q2, float a, float b, float
* fe, int n)
/*
-----
    输入:
        L:单元长度
        eLType:荷载类型, 见下面解释
        Q1, Q2:荷载在开始点、结束点的大小, 对于集中荷载, Q2 不起作用
        a:Q1 作用点距 i 结点的距离
        b:荷载作用长度, 集中荷载为 0
        n:等效结点荷载矩阵的大小, 此处为 6
    输出:
        fe:等效结点荷载矩阵, 大小为 6
-----*/
{
    float L2, L3;
    float a2, a3, b2, b3;
    float Fxi, Fyi, Mi, Fxj, Fyj, Mj;

    L2=L*L;
    L3=L*L2;
    a2=a*a;
    a3=a*a2;
    b2=b*b;
    b3=b*b2;

    switch (eLType) {
        case 1://线分布力, 指向 y 轴
            Fxi=0.0;
            Fyi= (20*a3+2*b3+10*a2* (2*b-3*L)+10*a*b* (b-2*L)-5*b2*L+10*L3) *Q1+
                (20*a3+8*b3+10*a*b* (3*b-4*L)+10*a2* (4*b-3*L)-15*b2*L+10*L3) *Q2;
            Fyi*=b/ (20.0*L3);
            Mi= (30*a3+30*a2* (b-2*L)+5*a* (3*b2-8*b*L+6*L2)+b* (3*b2-10*b*L+10*
                L2)) *Q1+ (30*a3+60*a2* (b-L)+5*a* (9*b2-16*b*L+6*L2)+2*b* (6*b2-15
```



```

        *b*L+10*L2)) * Q2;
Mi *=b/(60.0*L2);

Fxi=0.0;

Fyj=0.0;

(20*a3+b2*(2*b-5*L)+10*a2*(2*b-3*L)-10*a*b*(b-2*L))*Q1+(20*a3+b2*(8*b-15*L)+10
*a*b*(3*b-4*L)-10*a2*(4*b-3*L))*Q2;
Fyj*=-b/(20.0*L3);
Mj=(30*a3+b2*(3*b-5*L)+5*a*b*(3*b-4*L)+30*a2*(b-L))*Q1+(30*a3+5*a
*b*(9*b-8*L)+3*b2*(4*b-5*L)+30*a2*(2*b-L))*Q2;
Mj*=-b/(60.0*L2);
break;
case 2://集中力,指向 y 轴
Fxi=0.0;
Fyi=Q1*(L+2*a)*(L-a)*(L-a)/L3;
Mi=Q1*a*(L-a)*(L-a)/L2;
Fxi=0.0;
Fyj=Q1*a*a*(3*L-2*a)/L3;
Mj=Q1*a*a*(a-L)/L2;
break;
case 3://线分布力偶,指向 z 轴
Fxi=0.0;
Fyi=(6*a2+4*a*b+b2-6*a*L-2*b*L)*Q1+
(6*a2+8*a*b+3*b2-6*a*L-4*b*L)*Q2;
Fyi*=b/(2.0*L3);
Mi=(18*a2+3*b2+12*a*(b-2*L)-8*b*L+6*L2)*Q1+
(18*a2+9*b2+24*a*(b-L)-16*b*L+6*L2)*Q2;
Mi*=b/(12.0*L2);
Fxi=0.0;
Fyj=(6*a2+4*a*b+b2-6*a*L-2*b*L)*Q1+
(6*a2+8*a*b+3*b2-6*a*L-4*b*L)*Q2;
Fyj*=-b/(2.0*L3);
Mj=(18*a2+b*(3*b-4*L)+12*a*(b-L))*Q1+
(18*a2+24*a*b+9*b2-12*a*L-8*b*L)*Q2;
Mj*=b/(12.0*L2);
break;
case 4://集中力偶,指向 z 轴
Fxi=0.0;
Fyi=6*Q1*a*(a-L)/L3;
Mi=Q1*(L2-4*L*a+3*a2)/L2;
Fxi=0.0;
Fyj=6*Q1*a*(L-a)/L3;

```

```

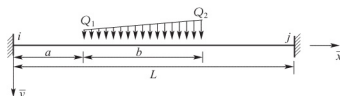
Mj=Q1*a*(3*a-2*L)/L2;
break;
case 5://线分布力,指向 x 轴
Fxi=-b*((3*a+b-3*L)*Q1+(3*a+2*b-3*L)*Q2)/(6.0*L);
Fyi=0.0;
Mi=0.0;
Fxi=b*((3*a+b)*Q1+(3*a+2*b)*Q2)/(6.0*L);
Fyj=0.0;
Mj=0.0;
break;
case 6://集中力,指向 x 轴
Fxi=Q1*(L-a)/L;
Fyi=0.0;
Mi=0.0;
Fxi=Q1*a/L;
Fyj=0.0;
Mj=0.0;
break;
default:
Fxi=0.0;
Fyi=0.0;
Mi=0.0;
Fxi=0.0;
Fyj=0.0;
Mj=0.0;
break;
}

fe[0]=Fxi; fe[1]=Fyi; fe[2]=Mi;
fe[3]=Fxi; fe[4]=Fyj; fe[5]=Mj;
return;
}

```

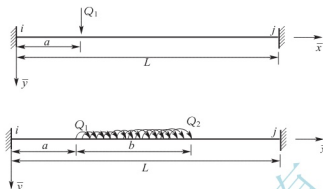
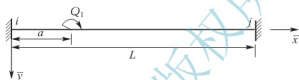
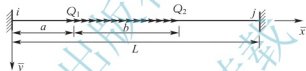
荷载类型说明:

(1) 线分布的力(指向  $y$  轴)。



(2) 集中力(指向  $y$  轴)。

(3) 线分布的力偶(指向  $z$  轴)。


 (4) 集中力偶(指向  $z$  轴)。

 (5) 线分布的力(指向  $x$  轴)。

 (6) 集中力(指向  $x$  轴)。

### 3.4.2 等效结点荷载

前面将作用于杆件上的非结点荷载通过坐标转换矩阵,得到了整体坐标系下非结点荷载的等效结点荷载,将其和直接作用于结点上的结点荷载  $F_d$  叠加可得总结点荷载  $F$ , 或称“综合结点荷载”。

$$F = F_E + F_d \quad (3-81)$$

结点荷载  $F_d$  可按其作用结点方位直接累加至总结点荷载阵列中。

### 3.4.3 边界条件的处理

#### 1. 铰结点

在杆系结构中,除了刚性结点外,通常会有一些杆件通过铰结点与其他杆件连接,如



图 3.19 所示的杆件系统中, 有 4 根杆件汇交于  $D$  点, 其中  $BD$  杆在  $D$  端通过铰支座与其他杆件铰接, 其余 3 根杆为刚性接触。对于这样的铰结点, 具有以下性质。

(1) 铰结点上的各杆具有相同的线位移, 但截面的转角位移不相同。

(2) 结点上具有铰接杆端时不承受弯矩作用。如图 3.19(a) 所示结构中,  $BD$  杆在  $D$  端的杆端弯矩为 0, 只有  $CD$ 、 $ED$ 、 $GD$  杆在结点  $D$  上与外弯矩保持平衡。

对于这样的结点, 在对其进行单元划分时, 通常考虑在  $D$  处设置两个结点。按照先处理法, 对图 3.19(a) 所示结构进行位移编码, 如图 3.19(b) 所示。

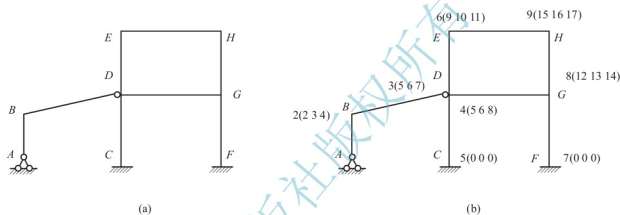


图 3.19 铰结点的处理示意图

## 2. 弹性支承点

在实际工程中, 有时会遇到弹性支承的情况(图 3.20), 这时一般将弹性支座看作是结构约束点沿约束方向的一个弹簧, 弹簧的刚度系数为  $k$ ,  $k$  在数值上等于使弹簧支座沿约束方向产生单位位移时所需施加的力。



图 3.20 弹性支承点的处理示意图

设结构的第  $i$  个结点位移分量  $\delta_i$  为弹性支座约束, 弹簧的刚度系数为  $k$ , 则结构产生  $\delta_i$  位移时所引起的支座反力为:

$$F_R = -k\delta_i$$

这里的负号表示支座反力方向与约束点位移方向始终相反。 $F_R$  作用在受约束的结点上, 它是结点外力的一部分。由整体刚度方程可知, 第  $i$  个平衡方程应为:

$$K_{i1}\delta_1 + K_{i2}\delta_2 + \cdots + K_{ii}\delta_i + \cdots + K_{in}\delta_n = F_i + F_R$$

式中,  $F_i$  为原有的第  $i$  个结点上的荷载分量  $i$ 。将  $F_R$  代入并进行整理可得:

$$K_{i1}\delta_1 + K_{i2}\delta_2 + \cdots + (K_{ii} + k)\delta_i + \cdots + K_{in}\delta_n = F_i$$

这样就引入了弹性支承的约束条件。根据以上的分析, 引入弹性支承的具体做法可以归结为: 先解除弹性支承点约束, 在  $i$  处给一个结点号, 形成总刚度矩阵; 然后在总刚度矩阵中将第  $i$  行的主元素  $K_{ii}$  加上弹性支承的刚度系数  $k$ , 此时第  $i$  行变为:



$$K_{i1} \quad K_{i2} \quad K_{i3} \cdots K_{in} + k \cdots K_{in}$$

以上介绍的处理方法既适用于以线位移为弹性约束的情况,同样也适用于以角位移为弹性约束的情况。如果结构有多个弹性支座,可同时引入,即只需将相应的主对角线元素加上相应的弹簧刚度系数就可以了。

**例 3-2** 求图 3.21 所示刚架的等效结点荷载。

**解:** 建立如图 3.21 所示单元坐标系和结构整体坐标系,结点编码如图。

(1) 求各单元在局部坐标系下的固端

力  $\bar{F}_i^{\text{①}}$ 。

对于单元①,由表 3-1 知:

$$\bar{F}_i^{\text{①}} = \bar{F}_{ij}^{\text{①}} = 0, \quad \bar{F}_j^{\text{①}} = \bar{F}_{ji}^{\text{①}} = 4 \text{ kN}, \quad \bar{M}_i^{\text{①}} = -\bar{M}_j^{\text{①}} = 5 \text{ kN}$$

对于单元②:

$$\bar{F}_i^{\text{②}} = \bar{F}_{ij}^{\text{②}} = 0, \quad \bar{F}_j^{\text{②}} = \bar{F}_{ji}^{\text{②}} = -30 \text{ kN}, \quad \bar{M}_i^{\text{②}} = -\bar{M}_j^{\text{②}} = -25 \text{ kN}$$

对于单元③,由于无荷载作用,故

$$\bar{F}_i^{\text{③}} = \bar{F}_{ij}^{\text{③}} = 0, \quad \bar{F}_j^{\text{③}} = \bar{F}_{ji}^{\text{③}} = 0, \quad \bar{M}_i^{\text{③}} = -\bar{M}_j^{\text{③}} = 0$$

将单元①~③的固端力写成矩阵形式:

$$\begin{aligned} \bar{\mathbf{F}}^{\text{①}} &= [0 \quad 4 \quad 5 \quad 0 \quad 4 \quad -5]^T \\ \bar{\mathbf{F}}^{\text{②}} &= [0 \quad -30 \quad -25 \quad 0 \quad -30 \quad 25]^T \\ \bar{\mathbf{F}}^{\text{③}} &= [0 \quad 0 \quad 0 \quad 0 \quad 0 \quad 0]^T \end{aligned}$$

(2) 求整体坐标系下各单元的等效结点荷载。

对于单元①,  $\alpha = 90^\circ$ ; 对于单元②,  $\alpha = 0^\circ$ ; 对于单元③,  $\alpha = 90^\circ$ , 根据式(3-79)可得整体坐标系下的单元杆端力。

$$\begin{aligned} \mathbf{F}_i^{\text{①}} &= \mathbf{T}^{\text{①T}} \bar{\mathbf{F}}_i^{\text{①}} = \begin{bmatrix} -4 & 0 & 5 & -4 & 0 & -5 \end{bmatrix}^T \\ \mathbf{F}_j^{\text{①}} &= \mathbf{T}^{\text{①T}} \bar{\mathbf{F}}_j^{\text{①}} = \begin{bmatrix} 4 & 5 & 6 & 0 & 0 & 0 \end{bmatrix}^T \\ \mathbf{F}_i^{\text{②}} &= \mathbf{T}^{\text{②T}} \bar{\mathbf{F}}_i^{\text{②}} = \begin{bmatrix} 0 & -30 & -25 & 0 & -30 & 25 \end{bmatrix}^T \\ \mathbf{F}_j^{\text{②}} &= \mathbf{T}^{\text{②T}} \bar{\mathbf{F}}_j^{\text{②}} = \begin{bmatrix} 0 & 0 & 0 & 0 & 0 & 0 \end{bmatrix}^T \\ \mathbf{F}_i^{\text{③}} &= \mathbf{T}^{\text{③T}} \bar{\mathbf{F}}_i^{\text{③}} = \begin{bmatrix} 0 & 0 & 0 & 0 & 0 & 0 \end{bmatrix}^T \end{aligned}$$

由式(3-80)和式(3-81)并利用先处理法可得整体坐标系下的总结点荷载矩阵:

$$\mathbf{F} = \begin{bmatrix} 4 & 30 & 20 & 10 & 36 & -15 \end{bmatrix}^T$$

## 3.5 应用实例

应用有限元位移法对杆系结构进行分析,如果按照“先处理法”的思想,其步骤可以

归纳如下。

- (1) 对单元进行划分, 整理原始数据, 对单元和结点进行编号, 确定每个单元的局部坐标系和整个结构的整体坐标系。
- (2) 计算局部坐标系中的单元刚度矩阵。
- (3) 确定每个单元的坐标转换矩阵, 计算整体坐标系下的单元刚度矩阵。
- (4) 根据各单元的位移分量编号, 形成单元的定位数组, 按照“对号入座, 同号叠加”的方法, 形成结构的整体刚度矩阵。
- (5) 计算总的结点荷载矩阵。在这一步中, 必须首先将非结点荷载转换成等效结点荷载, 再与对应的结点荷载叠加, 形成总的结点荷载矩阵。
- (6) 求解结构的整体刚度方程, 计算未知的结点位移矩阵。
- (7) 计算各单元的杆端力。
- (8) 对计算结果进行整理, 如果需要, 作出其内力图。

下面结合实例来讲述有限元方法的应用。

**例 3-3** 如图 3.22 所示刚架, 试用有限单元法分析, 作出其内力图。其中, 各杆截面尺寸相同, 材料性质一样, 杆长  $AB=BC=l=5\text{m}$ , 截面积  $A=0.5\text{m}^2$ , 弹性模量  $E=3\times 10^4\text{MPa}$ , 截面惯性矩  $I=\frac{1}{24}\text{m}^4$ 。

**解:** (1) 单元划分、建立局部坐标系和整体坐标系(图 3.22), 并对数据进行整理, 对单元和结点编号。

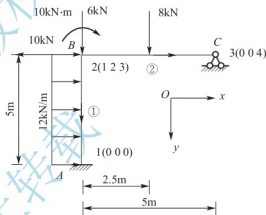


图 3.22 例 3-3 图

$$\frac{EA}{l}=3\times 10^6 \quad \frac{4EI}{l}=1\times 10^6$$

$$\frac{6EI}{l^2}=0.3\times 10^6 \quad \frac{12EI}{l^3}=0.12\times 10^6$$

(2) 求局部坐标系中的单元刚度矩阵 $\bar{k}^{\text{e}}$ 。由于单元①、单元②的尺寸完全一样, 因此其单元刚度矩阵 $\bar{k}^{\text{e}}=\bar{k}^{\text{e}}$ , 根据式(3-34)可以得到:

$$\bar{k}^{\text{e}}=\bar{k}^{\text{e}}=\begin{bmatrix} 3 & 0 & 0 & -3 & 0 & 0 \\ 0 & 0.12 & 0.3 & 0 & -0.12 & 0.3 \\ 0 & 0.3 & 1 & 0 & -0.3 & 0.5 \\ -3 & 0 & 0 & 3 & 0 & 0 \\ 0 & -0.12 & -0.3 & 0 & 0.12 & -0.3 \\ 0 & 0.3 & 0.5 & 0 & -0.3 & 1 \end{bmatrix} \times 10^6$$

(3) 求整体坐标系中的单元刚度矩阵。对于单元①, 其局部坐标系与整体坐标系的夹



角为  $90^\circ$ ，故根据式(3-44)计算其坐标转换矩阵为：

$$\mathbf{T}^{\text{①}} = \begin{bmatrix} 0 & 1 & 0 & 0 & 0 & 0 \\ -1 & 0 & 0 & 0 & 0 & 0 \\ 0 & 0 & 1 & 0 & 0 & 0 \\ 0 & 0 & 0 & 0 & 1 & 0 \\ 0 & 0 & 0 & -1 & 0 & 0 \\ 0 & 0 & 0 & 0 & 0 & 1 \end{bmatrix}$$

单元的定位数组为：

$$\mathbf{m}^{\text{①}} = (1 \quad 2 \quad 3 \quad 0 \quad 0 \quad 0)$$

根据式(3-51)计算单元①在整体坐标系下的单元刚度矩阵为：

$$\mathbf{k}^{\text{①}} = \begin{matrix} & \begin{matrix} 1 & 2 & 3 & 0 & 0 & 0 \end{matrix} \\ \begin{matrix} 1 \\ 2 \\ 3 \\ 0 \\ 0 \\ 4 \end{matrix} & \begin{bmatrix} 0.12 & 0 & -0.3 & -0.12 & 0 & -0.3 \\ 0 & 3 & 0 & 0 & -3 & 0 \\ -0.3 & 0 & 1 & 30 & 0 & 0.5 \\ -0.12 & 0 & 0.3 & 0.12 & 0 & 0.3 \\ 0 & -3 & 0 & 0 & 3 & 0 \\ -0.3 & 0 & 0.5 & 0.3 & 0 & 1 \end{bmatrix} \end{matrix} \times 10^6$$

对于单元②，由于其局部坐标系与整体坐标系一致，因此两种坐标系下的单元刚度矩阵相同，即有

$$\mathbf{k}^{\text{②}} = \bar{\mathbf{k}}^{\text{②}} = \begin{matrix} & \begin{matrix} 1 & 2 & 3 & 0 & 0 & 4 \end{matrix} \\ \begin{matrix} 1 \\ 2 \\ 3 \\ 0 \\ 0 \\ 4 \end{matrix} & \begin{bmatrix} 3 & 0 & 0 & -3 & 0 & 0 \\ 0 & 0.12 & 0.3 & 0 & -0.12 & 0.3 \\ 0 & 0.3 & 1 & 0 & -0.3 & 0.5 \\ -3 & 0 & 0 & 3 & 0 & 0 \\ 0 & -0.12 & -0.3 & 0 & 0.12 & -0.3 \\ 0 & 0.3 & 0.5 & 0 & -0.3 & 1 \end{bmatrix} \end{matrix} \times 10^6$$

(4) 形成整体刚度矩阵  $\mathbf{K}$ 。根据前面介绍的方法建立如下所示整体刚度矩阵。

$$\mathbf{K} = \begin{bmatrix} 3.12 & 0 & -0.3 & 0 \\ 0 & 3.12 & 0.3 & 0.3 \\ -0.3 & 0.3 & 2 & 0.5 \\ 0 & 0.3 & 0.5 & 1 \end{bmatrix} \times 10^6$$

(5) 求总结点荷载。

首先，求各单元在局部坐标系中的固端内力  $\bar{\mathbf{F}}_f^{\text{②}}$ 。对于单元①(这里应该注意，其局部坐标系的  $\bar{y}$  轴方向向左)， $q = -12 \text{ kN/m}$ ， $a = l = 5 \text{ m}$ ， $b = 0$ ，根据表 3-1 可得：

$$\bar{\mathbf{F}}_{fi}^{\text{①}} = \bar{\mathbf{F}}_{fj}^{\text{①}} = 0, \quad \bar{\mathbf{F}}_{ys}^{\text{①}} = \bar{\mathbf{F}}_{yy}^{\text{①}} = 30 \text{ kN}, \quad \bar{\mathbf{M}}_f^{\text{①}} = -\bar{\mathbf{M}}_j^{\text{①}} = 25 \text{ kN} \cdot \text{m}$$

对于单元②,  $F=8\text{kN}$ ,  $a=b=2.5\text{m}$ ,  $l=5\text{m}$ , 根据表 3-1 可得:

$$\bar{F}_{ji}^{\textcircled{2}} = \bar{F}_{jx}^{\textcircled{2}} = 0, \quad \bar{F}_{jy}^{\textcircled{2}} = \bar{F}_{jy}^{\textcircled{2}} = -4\text{kN}, \quad \bar{M}_j^{\textcircled{2}} = -\bar{M}_j^{\textcircled{2}} = -5\text{kN} \cdot \text{m}$$

因此有

$$\bar{\mathbf{F}}_j^{\textcircled{2}} = [0 \quad 30 \quad 25 \quad 0 \quad 30 \quad -25]^T$$

$$\bar{\mathbf{F}}_j^{\textcircled{2}} = [0 \quad -4 \quad -5 \quad 0 \quad -4 \quad 5]^T$$

其次, 求整体坐标系下各单元的等效结点荷载。对于单元①,  $\alpha=90^\circ$ ; 对于单元②,  $\alpha=0^\circ$ , 由式(3-79)、式(3-80)求得各单元的等效结点荷载为:

$$\mathbf{F}_E^{\textcircled{1}} = \begin{bmatrix} 1 & 2 & 3 & 0 & 0 & 0 \\ 30 & 0 & -25 & 30 & 0 & 25 \end{bmatrix}^T$$

$$\mathbf{F}_E^{\textcircled{2}} = \begin{bmatrix} 1 & 2 & 3 & 0 & 0 & 4 \\ 0 & 4 & 5 & 0 & 4 & -5 \end{bmatrix}^T$$

第三, 求刚架等效结点荷载矩阵。按照“同号叠加”的方法, 有

$$\mathbf{F}_E = [30 \quad -4 \quad -20 \quad -5]^T$$

第四, 求直接作用在结点上的荷载。

$$\mathbf{F}_D = [-10 \quad 6 \quad 10 \quad 0]^T$$

最后, 求总的结点荷载矩阵。

$$\mathbf{F} = \mathbf{F}_D + \mathbf{F}_E = [20 \quad 10 \quad -10 \quad -5]^T$$

(6) 求解结构的整体刚度方程, 计算未知的结点位移矩阵  $\delta$ 。这里的整体刚度方程为:

$$10^6 \times \begin{bmatrix} 3.12 & 0 & -0.3 & 0 \\ 0 & 3.12 & 0.3 & 0.3 \\ -0.3 & 0.3 & 2 & 0.5 \\ 0 & 0.3 & 0.5 & 1 \end{bmatrix} \begin{bmatrix} u_2 \\ v_2 \\ \theta_2 \\ \theta_3 \end{bmatrix} = \begin{bmatrix} 20 \\ 10 \\ -10 \\ -5 \end{bmatrix}$$

解得:

$$\delta = \begin{bmatrix} u_2 \\ v_2 \\ \theta_2 \\ \theta_3 \end{bmatrix} = \begin{bmatrix} 6.0654 \\ 3.9729 \\ -3.5865 \\ -4.3986 \end{bmatrix} \times 10^{-6}$$

(7) 计算各单元的杆端内力。首先从求出的结点位移矩阵  $\delta$  中取出各单元在整体坐标系下的杆端位移矩阵  $\delta^{\textcircled{i}}$ , 有

$$\delta^{\textcircled{1}} = \begin{bmatrix} u_2 \\ v_2 \\ \theta_2 \\ u_1 \\ v_1 \\ \theta_1 \end{bmatrix} = \begin{bmatrix} 6.0654 \\ 3.9729 \\ -3.5865 \\ 0 \\ 0 \\ 0 \end{bmatrix} \times 10^{-6}, \quad \delta^{\textcircled{2}} = \begin{bmatrix} u_2 \\ v_2 \\ \theta_2 \\ u_3 \\ v_3 \\ \theta_3 \end{bmatrix} = \begin{bmatrix} 6.0654 \\ 3.9729 \\ -3.5865 \\ 0 \\ 0 \\ -4.3986 \end{bmatrix} \times 10^{-6}$$



然后计算杆端内力。对于单元①,有

$$\begin{aligned}\bar{\mathbf{F}}^{\text{①}} &= \bar{\mathbf{k}}^{\text{①}} \bar{\boldsymbol{\delta}}^{\text{①}} + \bar{\mathbf{F}}_f^{\text{①}} = \bar{\mathbf{k}}^{\text{①}} \mathbf{T}^{\text{①}} \boldsymbol{\delta}^{\text{①}} + \bar{\mathbf{F}}_f^{\text{①}} \\ &= 10^6 \times \begin{bmatrix} 3 & 0 & 0 & -3 & 0 & 0 \\ 0 & 0.12 & 0.3 & 0 & -0.12 & 0.3 \\ 0 & 0.3 & 1 & 0 & -0.3 & 0.5 \\ -3 & 0 & 0 & 3 & 0 & 0 \\ 0 & -0.12 & -0.3 & 0 & 3.12 & -0.3 \\ 0 & 0.3 & 0.5 & 0 & -0.3 & 1 \end{bmatrix} \begin{bmatrix} 0 & 1 & 0 & 0 & 0 & 0 \\ -1 & 0 & 0 & 0 & 0 & 0 \\ 0 & 0 & 1 & 0 & 0 & 0 \\ 0 & 0 & 0 & 0 & 1 & 0 \\ 0 & 0 & 0 & -1 & 0 & 0 \\ 0 & 0 & 0 & 0 & 0 & 1 \end{bmatrix} \\ &= 10^6 \times \begin{bmatrix} 6.0654 \\ 3.9729 \\ -3.5865 \\ 0 \\ 0 \\ 0 \end{bmatrix} + \begin{bmatrix} 0 \\ 30 \\ 25 \\ 0 \\ 30 \\ -25 \end{bmatrix} = \begin{bmatrix} 11.919\text{kN} \\ 28.196\text{kN} \\ 19.594\text{kN} \cdot \text{m} \\ -11.919\text{kN} \\ 31.804\text{kN} \\ -28.613\text{kN} \cdot \text{m} \end{bmatrix}\end{aligned}$$

对于单元②,有

$$\begin{aligned}\bar{\mathbf{F}}^{\text{②}} &= \bar{\mathbf{k}}^{\text{②}} \bar{\boldsymbol{\delta}}^{\text{②}} + \bar{\mathbf{F}}_f^{\text{②}} = \bar{\mathbf{k}}^{\text{②}} \boldsymbol{\delta}^{\text{②}} + \bar{\mathbf{F}}_f^{\text{②}} \\ &= 10^6 \times \begin{bmatrix} 3 & 0 & 0 & -3 & 0 & 0 \\ 0 & 0.12 & 0.3 & 0 & -0.12 & 0.3 \\ 0 & 0.3 & 1 & 0 & -0.3 & 0.5 \\ -3 & 0 & 0 & 3 & 0 & 0 \\ 0 & -0.12 & -0.3 & 0 & 3.12 & -0.3 \\ 0 & 0.3 & 0.5 & 0 & -0.3 & 1 \end{bmatrix} \begin{bmatrix} 0 \\ 0 \\ 0 \\ 0 \\ 0 \\ 0 \end{bmatrix} \\ &= 10^{-6} \times \begin{bmatrix} 6.0654 \\ 3.9729 \\ -3.5865 \\ 0 \\ 0 \\ -4.3986 \end{bmatrix} + \begin{bmatrix} 0 \\ -4 \\ -5 \\ 0 \\ -4 \\ 5 \end{bmatrix} = \begin{bmatrix} 18.196\text{kN} \\ -5.919\text{kN} \\ -9.594\text{kN} \cdot \text{m} \\ -18.196\text{kN} \\ -2.081\text{kN} \\ 0 \end{bmatrix}\end{aligned}$$

(8) 根据结点平衡条件,计算支座反力。

$$\mathbf{F}_{R1} = \begin{bmatrix} -31.804\text{kN} \\ -11.919\text{kN} \\ -28.613\text{kN} \cdot \text{m} \end{bmatrix}, \quad \mathbf{F}_{R3} = \begin{bmatrix} -18.196\text{kN} \\ -2.081\text{kN} \\ 0 \end{bmatrix}$$

根据已知结果,作出内力图和位移曲线,如图 3.23 所示。

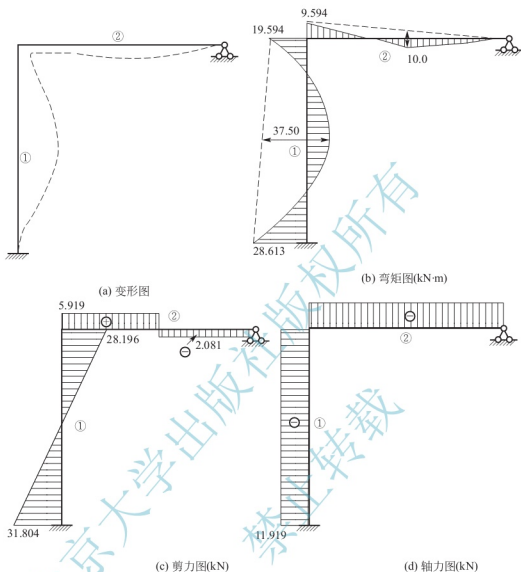


图 3.23 内力图和位移曲线

**例 3-4** 求如图 3.24(a)所示的刚架  $B$  点位移及各杆的内力。设各杆材料和集合性质相同，杆长  $AB=BC=l=2.4\text{m}$ ，截面面积  $A=0.005\text{m}^2$ ，弹性模量  $E=2.1\times 10^2\text{GPa}$ ，剪切模量  $G=9\times 10^4\text{MPa}$ ，极惯性矩  $I=2.6\times 10^{-5}\text{m}^4$ ，惯性矩  $I_y=1.2\times 10^{-5}\text{m}^4$ ，惯性矩  $I_z=3.0\times 10^{-5}\text{m}^4$ ，外力  $F=10\text{kN}$ ， $q=15\text{kN/m}$ 。

**解：**(1) 确定结点，进行单元划分，建立整体坐标系和各单元局部坐标系 [图 3.24 (b)]，其中局部坐标系的  $\bar{x}$  轴如图中所示， $\bar{y}$  轴向下， $\bar{z}$  轴根据右手定则确定。

(2) 形成局部坐标系中的单元刚度矩阵  $\bar{k}^e$ 。根据已知条件，可以计算出：

$$\begin{aligned}\frac{EA}{l} &= 4.375 \times 10^5 \text{ kN/m}, & \frac{GI}{l} &= 9.75 \times 10^2 \text{ kN} \cdot \text{m} \\ \frac{2EI_y}{l} &= 2.1 \times 10^3 \text{ kN} \cdot \text{m}, & \frac{4EI_y}{l} &= 4.2 \times 10^3 \text{ kN} \cdot \text{m} \\ \frac{2EI_z}{l} &= 5.25 \times 10^3 \text{ kN} \cdot \text{m}, & \frac{4EI_z}{l} &= 1.05 \times 10^4 \text{ kN} \cdot \text{m}\end{aligned}$$

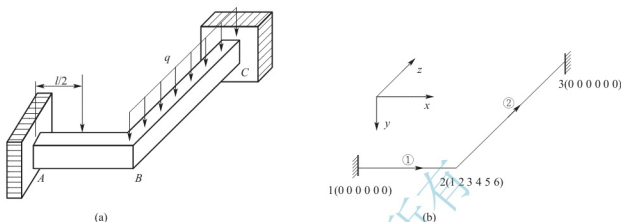


图 3.24 例 3-4 图

$$\frac{6EI_y}{l^2} = 2.625 \times 10^3 \text{ kN}, \quad \frac{6EI_z}{l^2} = 6.5626 \times 10^3 \text{ kN}$$

$$\frac{12EI_y}{l^3} = 2.1875 \times 10^3 \text{ kN/m}, \quad \frac{12EI_z}{l^3} = 5.4688 \times 10^3 \text{ kN/m}$$

将以上数据代入式(3-37), 可以得到局部坐标系中的单元刚度矩阵:

$$\bar{\mathbf{k}}^{\text{①}} = \begin{bmatrix} 437500 & 0 & 0 & 0 & 0 & 0 & -437500 & 0 & 0 & 0 & 0 & 0 \\ 0 & 5469 & 0 & 0 & 0 & 6563 & 0 & -5469 & 0 & 0 & 0 & 6563 \\ 0 & 0 & 2188 & 0 & -2625 & 0 & 0 & 0 & -2188 & 0 & -2625 & 0 \\ 0 & 0 & 0 & 975 & 0 & 0 & 0 & 0 & 0 & -975 & 0 & 0 \\ 0 & 0 & -2625 & 0 & 4200 & 0 & 0 & 0 & 2625 & 0 & 2100 & 0 \\ 0 & 6563 & 0 & 0 & 0 & 10500 & 0 & -6563 & 0 & 0 & 0 & 5250 \\ \hline -437500 & 0 & 0 & 0 & 0 & 0 & 437500 & 0 & 0 & 0 & 0 & 0 \\ 0 & -5469 & 0 & 0 & 0 & -6563 & 0 & 5469 & 0 & 0 & 0 & -6563 \\ 0 & 0 & -2188 & 0 & 2625 & 0 & 0 & 0 & 2188 & 0 & 2625 & 0 \\ 0 & 0 & 0 & -975 & 0 & 0 & 0 & 0 & 0 & 975 & 0 & 0 \\ 0 & 0 & -2625 & 0 & 2100 & 0 & 0 & 0 & 2625 & 0 & 4200 & 0 \\ 0 & 6563 & 0 & 0 & 0 & 5250 & 0 & -6563 & 0 & 0 & 0 & 10500 \end{bmatrix}$$

$$\bar{\mathbf{k}}^{\text{②}} = \bar{\mathbf{k}}^{\text{①}}$$

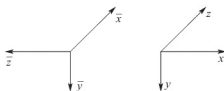


图 3.25 单元②局部坐标与整体坐标的关系

(3) 形成整体坐标系中的单元刚度矩阵 $\mathbf{k}^{\text{②}}$ 。对于单元①, 因局部坐标系与整体坐标系相同, 故有

$$\mathbf{k}^{\text{①}} = \bar{\mathbf{k}}^{\text{①}}$$

对于单元②, 其局部坐标系与整体坐标系如图 3.25 所示, 因此局部坐标系与整体坐标系的关系矩阵为:

$$\lambda = \begin{bmatrix} 0 & 0 & 1 \\ 0 & 1 & 0 \\ -1 & 0 & 0 \end{bmatrix}$$

这样, 其单元坐标转换矩阵为:



$$\mathbf{T}^{(2)} = \begin{bmatrix} \lambda & 0 & 0 & 0 \\ 0 & \lambda & 0 & 0 \\ 0 & 0 & \lambda & 0 \\ 0 & 0 & 0 & \lambda \end{bmatrix}$$

根据两种坐标系下单元刚度矩阵的转换关系:

$$\mathbf{k}^{\textcircled{2}} = \mathbf{T}^{\textcircled{2}\text{T}} \mathbf{k}^{\textcircled{2}} \mathbf{T}^{\textcircled{2}}$$

可求得整体坐标系下单元②的单元刚度矩阵:

$$\mathbf{k}^{\textcircled{2}} = \begin{bmatrix} 2188 & 0 & 0 & 0 & 2625 & 0 & -2188 & 0 & 0 & 0 & 2625 & 0 \\ 0 & 5469 & 0 & -6563 & 0 & 0 & 0 & -5469 & 0 & -6563 & 0 & 0 \\ 0 & 0 & 437500 & 0 & 0 & 0 & 0 & 0 & -437500 & 0 & 0 & 0 \\ 0 & -6563 & 0 & 10500 & 0 & 0 & 0 & -6563 & 0 & 5250 & 0 & 0 \\ 2625 & 0 & 0 & 0 & 4200 & 0 & -2625 & 0 & 0 & 0 & 2100 & 0 \\ 0 & 0 & 0 & 0 & 0 & 975 & 0 & 0 & 0 & 0 & 0 & -975 \\ \hline -2188 & 0 & 0 & 0 & -2625 & 0 & 2188 & 0 & 0 & 0 & -2625 & 0 \\ 0 & -5469 & 0 & 6563 & 0 & 0 & 0 & 5469 & 0 & 6563 & 0 & 0 \\ 0 & 0 & -437500 & 0 & 0 & 0 & 0 & 0 & 437500 & 0 & 0 & 0 \\ 0 & -6563 & 0 & 5250 & 0 & 0 & 0 & 6563 & 0 & 10500 & 0 & 0 \\ 2625 & 0 & 0 & 0 & -2100 & 0 & -2625 & 0 & 0 & 0 & 4200 & 0 \\ 0 & 0 & 0 & 0 & 0 & -975 & 0 & 0 & 0 & 0 & 0 & 975 \end{bmatrix}$$

(4) 求整体刚度矩阵。单元①的定位数组为:

$$\mathbf{m}^{(1)} = (0 \ 0 \ 0 \ 0 \ 0 \ 0 \ 1 \ 2 \ 3 \ 4 \ 5 \ 6)$$

单元②的定位数组为:

$$\mathbf{m}^{(2)} = (1 \ 2 \ 3 \ 4 \ 5 \ 6 \ 0 \ 0 \ 0 \ 0 \ 0 \ 0)$$

根据定位数组和单元刚度矩阵可以求得整体刚度矩阵:

$$\mathbf{K} = \begin{bmatrix} 439688 & 0 & 0 & 0 & 2625 & 0 \\ 0 & 10938 & 0 & -6563 & 0 & -6563 \\ 0 & 0 & 439688 & 0 & 2625 & 0 \\ 0 & -6563 & 0 & 11475 & 0 & 0 \\ 2625 & 0 & 2625 & 0 & 8400 & 0 \\ 0 & -6563 & 0 & 0 & 0 & 11475 \end{bmatrix}$$

(5) 求总结点荷载。单元①和单元②的固端力矩阵分别为:

$$\bar{\mathbf{F}}_f^{(1)} = [0 \ -5 \ 0 \ 0 \ 0 \ -3 \ 0 \ -5 \ 0 \ 0 \ 0 \ 3]^{\text{T}}$$

$$\bar{\mathbf{F}}_f^{(2)} = [0 \ 18 \ 0 \ 0 \ 0 \ -7.2 \ 0 \ 18 \ 0 \ 0 \ 0 \ 7.2]^{\text{T}}$$

根据公式

$$\mathbf{F}_F^{\textcircled{2}} = -\mathbf{T}^{\textcircled{2}\text{T}} \bar{\mathbf{F}}_f^{\textcircled{2}}$$

在整体坐标系下, 单元①和单元②的等效结点荷载分别为:



$$\bar{\mathbf{F}}_E^{\textcircled{1}} = [0 \quad 5 \quad 0 \quad 0 \quad 0 \quad 3 \quad 0 \quad 5 \quad 0 \quad 0 \quad 0 \quad -3]^T$$

$$\bar{\mathbf{F}}_E^{\textcircled{2}} = [0 \quad 18 \quad 0 \quad -7.2 \quad 0 \quad 0 \quad 0 \quad 18 \quad 0 \quad 7.2 \quad 0 \quad 0]^T$$

根据定位数组,可得总的结点荷载矩阵为:

$$\mathbf{F} = [0 \quad 23 \quad 0 \quad -7.2 \quad 0 \quad -3]^T$$

(6) 求解结构的整体刚度方程,计算未知的结点位移矩阵  $\delta$ 。这里的整体刚度方程为:

$$\mathbf{F} = \mathbf{K} \cdot \delta$$

求得结点未知位移为:

$$\delta = [0 \quad 5.0029 \times 10^{-3} \quad 0 \quad 2.2337 \times 10^{-3} \quad 0 \quad 2.5097 \times 10^{-3}]^T$$

(7) 求单元杆端力。

$$\bar{\mathbf{F}}^{\textcircled{1}} = \bar{\mathbf{k}}^{\textcircled{1}} \delta^{\textcircled{1}} + \bar{\mathbf{F}}_f^{\textcircled{1}} = \bar{\mathbf{k}}^{\textcircled{1}} \mathbf{T}^{\textcircled{1}} \delta^{\textcircled{1}} + \bar{\mathbf{F}}_f^{\textcircled{1}}$$

$$= [0 \quad -15.302 \quad 0 \quad -2.178 \quad 0 \quad -22.186 \quad 0 \quad 5.302 \quad 0 \quad 2.178 \quad 0 \quad -2.532]^T$$

$$\bar{\mathbf{F}}^{\textcircled{2}} = \bar{\mathbf{k}}^{\textcircled{2}} \delta^{\textcircled{2}} + \bar{\mathbf{F}}_f^{\textcircled{2}} = \bar{\mathbf{k}}^{\textcircled{2}} \mathbf{T}^{\textcircled{2}} \delta^{\textcircled{2}} + \bar{\mathbf{F}}_f^{\textcircled{2}}$$

$$= [0 \quad -5.299 \quad 0 \quad 2.535 \quad 0 \quad 2.180 \quad 0 \quad -30.703 \quad 0 \quad -2.535 \quad 0 \quad 28.302]^T$$

(8) 绘内力图,如图 3.26 所示。

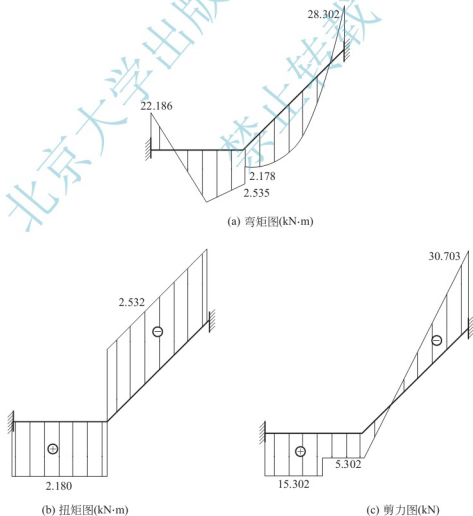


图 3.26 内力图

## 3.6 有限程序设计方法

有限元方法能成功地解决各种各样的固体力学问题，如杆系、板与壳、复杂的三维物体和大变形问题等。不论结构的几何形状和边界条件多么复杂，不论材料性质和外加荷载如何多变，使用有限元方法均可获得满意的答案，有限元解决实际问题的能力远远超过了经典的方法，并且已经取得了很大的成就，因而受到普遍重视。无论是大型飞机、大型舰船，还是高层建筑、水利大坝，均可使用有限元方法方便地对其进行结构分析。现在，掌握有限元方法的原理和应用，对于一个从事结构分析与设计的工程师来说，已经是必不可少的了。有限元方法的实施，离不开程序设计。如果一个结构工程师不仅懂得有限元方法的原理，而且还会应用有限元程序设计方法，无疑会在工作中如虎添翼。

程序设计的基本目标是用算法对问题的原始数据进行处理，从而获得所期望的效果。但这仅仅是程序设计的基本要求。要全面提高程序的质量，提高编程效率，使程序具有良好的可读性、可靠性、可维护性以及良好的结构，编制出好的程序，应当是每位程序设计工作者追求的目标，而要做到这一点，就必须掌握正确的程序设计方法和技术。

一般来讲，程序开发的过程大致可分为三个阶段：①程序功能的规定；②程序结构的设计，源程序及其说明的编写；③调试和纠错。

目前在实际的程序开发中，流行着两种截然不同的方法，即面向过程的方法和面向对象的方法。大量的资料显示，在开发大型应用软件时，面向对象的方法与传统的过程化程序设计方法相比，具有很大的优越性。然而在开发一些规模不大的中小型程序时，面向过程的方法仍然有一定的优势。

本节将以平面杆系结构的静力分析为例，介绍用面向过程的方法进行有限元主体程序设计。

### 3.6.1 结构化与模块化程序设计方法

#### 1. 结构化程序设计

结构化程序的概念首先是从以往编程过程中无限制地使用转移语句而提出的。转移语句可以使程序的控制流程强制性地转向程序的任一处，如果一个程序中多处出现这种转移情况，将会导致程序流程无序可循，程序结构杂乱无章，这样的程序是令人难以理解和接受的，并且容易出错。因此，实际中很少用这种转移语句，并提出三种基本结构语句，即顺序结构、选择结构和循环结构。1996年，计算机科学家 Bohm 和 Jacopini 证明了这样的事实：任何简单或复杂的算法都可以由这三种基本结构组合而成。

(1) 顺序结构表示程序中的各操作是按照它们出现的先后顺序执行的，其流程如图 3.27 所示，整个结构只有一个入口点 a 和一个出口点 b。这种结构的特点是：程序从入口点 a 开始，按顺序执行所有操作，直到出口点 b 处，所以称为顺序结构。

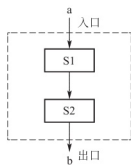


图 3.27 顺序结构



(2) 选择结构表示程序的处理步骤出现了分支,它需要根据某一特定的条件选择其中的一个分支执行。选择结构有单选择、双选择和多选择三种形式(图 3.28)。

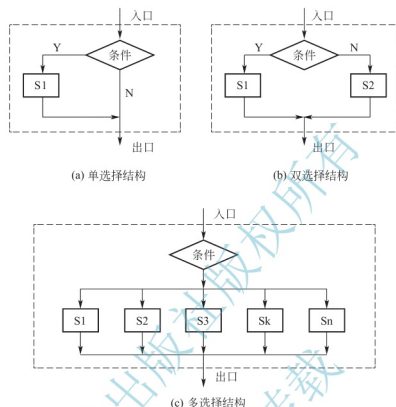


图 3.28 选择结构

(3) 循环结构表示程序反复执行某个或某些操作,直到某条件为假(或为真)时才可终止循环。循环结构的基本形式有两种:当型循环和直到型循环(图 3.29)。当型循环:先判断条件,当满足给定的条件时执行循环体,并且在循环终端处流程自动返回到循环入口;如果条件不满足,则退出循环体直接到达流程出口处。直到型循环:从结构入口处直接执行循环体,在循环终端处判断条件,如果条件不满足,返回入口处继续执行循环体,直到条件为真时再退出循环到达流程出口处,是先执行后判断。

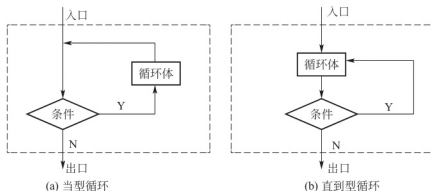


图 3.29 循环结构

## 2. 模块化程序设计

所谓模块,就是具有一定功能的相对独立的程序段。每个模块都由对外接口和内部处理功能两部分组成。对外部而言,通过向该模块传递一定的参数,经过模块处理,完成一

定的功能后再返回。如 C/C++、C# 语言中的函数，FORTRAN 语言中的子程序等。一般来说，模块具有如下特性。

- (1) 每个模块都有一个名称以便被其他模块调用。
- (2) 每个模块都具有明确的功能。
- (3) 除主模块(如 C 语言的 main 函数)外，原则上各模块可以相互调用。
- (4) 每个模块都可以作为一个独立的编译单位进行编译和调试。

### 3. 面向对象的程序设计

面向对象的程序设计方法是一种新的程序设计思想，这种基本思想是运用对象、类、继承、封装、聚合、消息传递、多态性等概念来构造系统进行程序设计。该方法强调直接以问题域中的事物为中心来思考问题、认识问题，并根据这些事物的本质特征，把它们表示为系统中的对象，作为系统构成的基本单位。它对描述事物的属性、特点及事物之间的关系具有一种先进的软件开发方法，它较传统的程序设计思想更接近于人的思维，它把待求解问题变得简单，而且是一整套关于如何看待软件系统与现实关系，以什么观点来研究问题并进行求解，以及进行系统构造的软件方法学。

与结构化程序设计相比，面向对象的程序设计更结构化、更模块化、更抽象。面向对象方法的主要特点如下所示。

- (1) 从问题域中客观存在的事物出发来构造软件系统，用对象作为这些事物的抽象表示，并以此作为系统的基本构成单位。
- (2) 事物的静态特征由对象的属性表示，动态特征由对象的方法表示。
- (3) 对象的属性与方法结合成一个整体。
- (4) 对事物进行分类。
- (5) 运用抽象的原则。
- (6) 复杂对象可以由简单对象聚合。
- (7) 对象间通过消息进行通信。
- (8) 通过关联表达对象之间的静态关系。

面向对象方法的优点如下所示。

- (1) 维护简单。面向对象方法支持、鼓励软件工程实践中的信息隐藏、数据抽象和封装，在一个对象内的修改被局部隔离。
- (2) 可扩充性。可以根据需要在各个类中增加内容，而不影响其他类。
- (3) 代码重用。面向对象开发鼓励重用，不仅包括软件的重用，还包括分析、设计的模型重用。

所以面向对象方法是当今计算机领域的主流技术，对促进计算机科学技术发展具有十分重要的意义。

## 3.6.2 杆系结构基本处理模块

有限元的程序设计内容通常包括三部分：前处理、分析计算、后处理。其中，前处理主要负责读入数据、生成模型、网格划分，为有限元的计算做好准备；分析计算主要是进行有限元矩阵的计算、组装、求解；后处理主要对计算的结果进行各个方式、各个角度的输出，如图 3.30 所示。

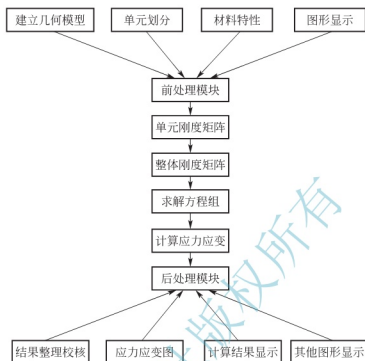


图 3.30 有限元程序基本处理模块

前处理模块的主要功能是为后面的有限元计算准备必要的数 据，这些数据包括几何模型的建立、单元的划分(包括单元数、单元编码、结点数、结点坐标、结点编码等)、材料的性质(如单元长度、截面面积、弹性模量、剪切模量、截面惯性矩、极惯性矩等)、荷载信息等，这些信息按照一定的格式保存在文件中，以备以后读取。通常好的程序还可以将生成的有限元模型用图形的形式直观地显示出来。

分析计算模块是有限元分析的主题和核心，主要包括以下几个方面。

- (1) 计算单元的刚度矩阵。
- (2) 组装总体刚度矩阵。
- (3) 根据已知的位移边界条件，进行约束处理，消除总体刚度矩阵的奇异性。
- (4) 求解整体刚度矩阵，得出结点的位移向量。
- (5) 根据结点的位移向量求出每个单元的应力和应变状态。

后处理模块的主要功能是对有限元的计算结果进行整理，根据不同的需要绘制各种图形，如弯矩图、剪力图、轴力图、位移曲线图、应力应变图等，更复杂一点的程序可以将计算结果以彩色等值线显示、梯度显示、矢量显示、粒子流迹显示、立体切片显示、透明及半透明显示(可看到结构内部)等图形方式显示出来。

## 本章小结

本章从简单结构入手，详细介绍了有限元方法分析问题的基本思想以及基本解题过程，包括单元划分方法、位移场的选取、单元刚度矩阵的建立、等效结点荷载的计算、结构的整体分析等；同时介绍了有限元程序设计方法，并就如何编写计算机程序

对杆系结构进行有限元分析进行了介绍。

通过本章学习,学生应了解杆系结构的离散化方法,熟练掌握单元划分的基本原则、有限元方法分析问题的基本过程,熟悉等效结点荷载的计算方法,能够运用所学知识对杆系结构进行有限元分析,能够编写杆系结构的计算机程序。

## 习 题

3.1 试用 FORTRAN 语言或 C/C++ 语言编写关于矩阵运算的程序模块(包括矩阵的加、减、乘、转置、求逆、行列式计算等)。

3.2 试用 FORTRAN 语言或 C/C++ 语言编写用 Gauss 主元素消去法求解线性方程组的程序模块。

3.3 试用 FORTRAN 语言或 C/C++ 语言编写平面桁架结构的有限元分析程序,并用所编写的程序对某一桁架结构进行分析。

3.4 试用 FORTRAN 语言或 C/C++ 语言编写平面刚架结构的有限元分析程序,并用所编写的程序对某一刚架结构进行分析。

3.5 试用 FORTRAN 语言或 C/C++ 语言编写空间桁架结构的有限元分析程序,并用所编写的程序对某一桁架结构进行分析。

3.6 试用 FORTRAN 语言或 C/C++ 语言编写空间刚架结构的有限元分析程序,并用所编写的程序对某一刚架结构进行分析。

3.7 试推导图 3.31 所示三种情况的等效结点荷载。

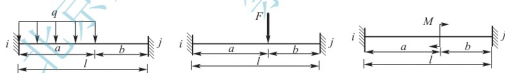


图 3.31 习题 3.7 图

3.8 用先处理法计算图 3.32 所示结构刚度矩阵的元素  $K_{22}$ 、 $K_{33}$ 、 $K_{13}$ 。

3.9 用先处理法计算图 3.33 所示刚架结构刚度矩阵的元素  $K_{22}$ 、 $K_{34}$ 、 $K_{15}$ , 设  $EI$ 、 $EA$  均为常数。

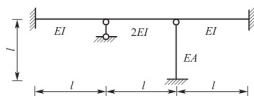


图 3.32 习题 3.8 图

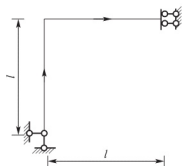


图 3.33 习题 3.9 图

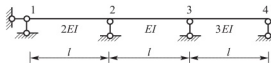


图 3.34 习题 3.10 图

40GPa,  $A=0.02\text{m}^2$ ,  $I=4\times 10^{-4}\text{m}^4$ 。

3.12 试分别用先处理法和后处理法计算图 3.36 所示的刚架结构, 设  $E$ 、 $I$ 、 $A$  为常数。

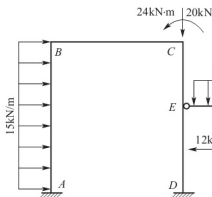


图 3.35 习题 3.11 图

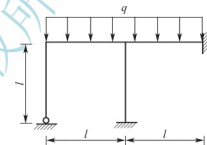


图 3.36 习题 3.12 图

3.13 如图 3.37 所示桁架, 设各杆  $EA$  为常数, 试求桁架内力。

3.14 计算图 3.38 所示结构结点 4 的等效结点荷载列阵。

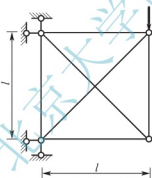


图 3.37 习题 3.13 图

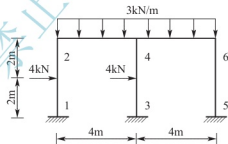


图 3.38 习题 3.14 图

3.15 计算图 3.39 所示的刚架结构的内力。已知所有杆件的截面相同, 且  $E=20\text{GPa}$ ,  $A=0.2\text{m}^2$ ,  $I=3\times 10^{-4}\text{m}^4$ ,  $q=10\text{kN/m}$ ,  $F=60\text{kN}$ 。

3.16 如图 3.40 所示, 抗弯刚度为  $EI$ , 长度为  $l$  的悬臂梁  $AB$ , 在其自由端有刚度系数为  $k$  的弹簧支承, 求在力  $F$  作用下梁中点的挠度和转角。

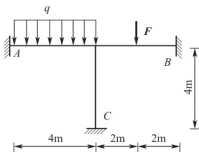


图 3.39 习题 3.15 图



图 3.40 习题 3.16 图



3.17 求图 3.41 所示平面桁架各杆的轴力, 已知各杆  $EA$  相同且  $EA=2 \times 10^5 \text{ kN}$ 。

3.18 试求图 3.42 所示结构  $ABC$  梁的弯矩图, 设  $E$ 、 $I$ 、 $A$  为常数。

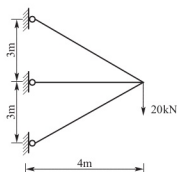


图 3.41 习题 3.17 图

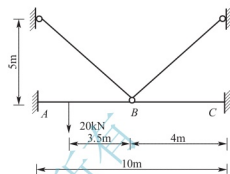


图 3.42 习题 3.18 图

3.19 试写出图 3.43 所示空间刚架结构的结点信息和结点位移向量的编号及单元定位数组。

3.20 试计算图 3.44 所示结构各杆的轴力及  $C$  点的竖向位移。已知各杆材料相同, 截面积相同,  $A=0.025 \text{ m}^2$ ,  $E=30 \text{ GPa}$ 。

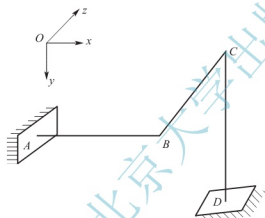


图 3.43 习题 3.19 图

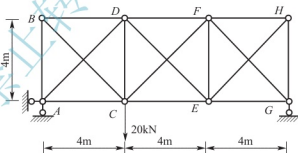


图 3.44 习题 3.20 图

3.21 试计算图 3.45 所示空间桁架各杆的轴力。已知各杆材料相同, 截面面积相同,  $A=0.01 \text{ m}^2$ ,  $E=300 \text{ GPa}$ 。

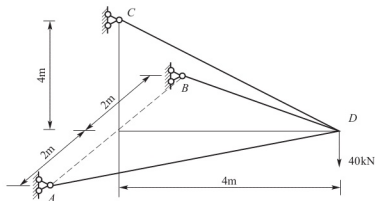


图 3.45 习题 3.21 图



3.22 试计算图 3.46 所示空间刚架的内力及结点 A 的位移。已知各杆材料相同，截面面积  $A=0.036\text{m}^2$ ，弹性模量  $E=210\text{GPa}$ ， $G=84\text{GPa}$ ，极惯性矩  $I=1.44\times 10^{-3}\text{m}^4$ ，惯性矩  $I_y=1.8\times 10^{-3}\text{m}^4$ ，惯性矩  $I_z=6.3\times 10^{-4}\text{m}^4$ ，力  $F=1360\text{kN}$ ， $EO=DO=CO=BO=7.2\text{m}$ ， $AO=2.8\text{m}$ 。

3.23 分析图 3.47 所示结构并绘制有关图件，其中  $i=EI/l$  或  $i=EA/l$ ， $EI=30000$ ， $EA=40000$ 。

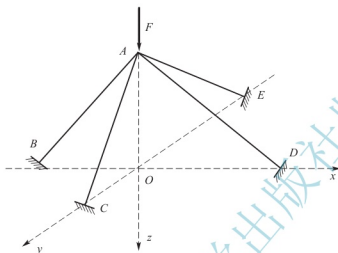


图 3.46 习题 3.22 图

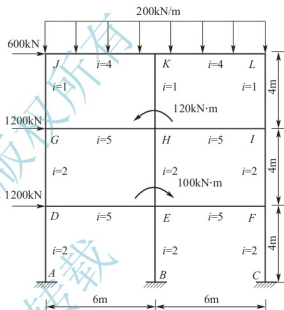


图 3.47 习题 3.23 图